

ТРУДЫ  
НАУЧНО-ИССЛЕДОВАТЕЛЬСКОГО ИНСТИТУТА ГЕОЛОГИИ АРКТИКИ  
МИНИСТЕРСТВА ГЕОЛОГИИ И ОХРАНЫ НЕДР СССР

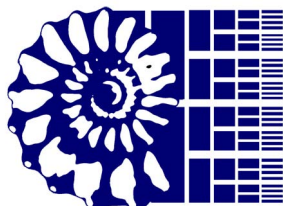
---

ТОМ 110

Н. С. ВОРОНЕЦ

СТРАТИГРАФИЯ  
И ГОЛОВОНОГИЕ МОЛЛЮСКИ  
ЮРСКИХ И НИЖНЕМЕЛОВЫХ  
ОТЛОЖЕНИЙ  
ЛЕНО-АНАБАРСКОГО РАЙОНА

Под редакцией  
кандидата геолого-минералогических наук  
*Г. Я. Крымгольца*



<http://jurassic.ru/>



ГОСУДАРСТВЕННОЕ НАУЧНО-ТЕХНИЧЕСКОЕ ИЗДАТЕЛЬСТВО  
ЛИТЕРАТУРЫ ПО ГЕОЛОГИИ И ОХРАНЕ НЕДР  
МОСКВА 1962

---

## ВВЕДЕНИЕ

Настоящая работа посвящена изучению головоногих моллюсков из юрских и нижнемеловых отложений центральной части севера Сибири. В процессе геологосъемочных и поисково-разведочных работ и стратиграфических исследований, проводившихся в Советской Арктике, был собран богатый палеонтологический материал. Ввиду наличия в нем большого числа своеобразных и новых форм потребовались специальные методы его изучения. В первую очередь монографической обработке подверглись аммониты и белемниты, как имеющие наиболее важное стратиграфическое значение.

Основным материалом для данной работы послужили коллекции фауны, найденной при специальных послонных сборах в 1952 и 1954 гг. Е. С. Ершовой (Лаптинской) в бассейне нижнего течения р. Лены и на полуострове Урюнг-Тумус и в 1953 г. Т. М. Емельянцевым и Е. С. Ершовой в районе Анабарского залива. Кроме того, были использованы материалы, полученные К. М. Громовым, И. Г. Николаевым, Т. М. Емельянцевым, К. В. Соловьевым и М. М. Маландиным, Г. А. Ермолаевым, М. М. Маландиным, И. П. Глушинским и Е. А. Кононовой, М. М. Мигаем, Р. А. Ростовым, В. А. Руцковым, В. Г. Чичмаревым в результате сборов, проведенных ими в предшествующих сезонах. Местонахождения изученной фауны показаны на рис. 1 (стр. 7).

В работе приводится описание 104 видов и вариететов.

Описано 76 форм аммонитов; из них 2 рода, впервые встреченные на севере Сибири, один подрод, 27 новых видов и 6 новых разновидностей. Кроме того, описано 3 вида, выделенных В. И. Бодылевским.

Из белемнитов описано 28 видов; из них один представитель рода, впервые встреченного на севере Сибири, и 12 новых видов.

В процессе работы автору оказали большую помощь В. П. Ренгартен, В. И. Бодылевский и Г. Я. Крымгольц.

Зарисовки лопастных линий в основном сделаны Е. С. Ершовой; карты и разрез выполнены М. А. Лимаренко; фототаблицы изображений фауны изготовлены К. А. Степановой в фотолаборатории Научно-исследовательского института геологии Арктики.

---

## ИСТОРИЯ ИЗУЧЕНИЯ ГОЛОВОНОГИХ МОЛЛЮСКОВ ИЗ ЮРСКИХ И НИЖНЕМЕЛОВЫХ ОТЛОЖЕНИЙ ЛЕНО-АНАБАРСКОГО РАЙОНА

Первые сведения о наличии остатков головоногих моллюсков в юрских и нижнемеловых отложениях Лено-Анабарского района получены в 1848 г. А. Миддендорфом; фауна была собрана по р. Оленек и передана для определения А. Кейзерлингу. А. Кейзерлинг (1848) описал эту фауну очень кратко, ссылаясь на свою более раннюю (1846) работу по Печорскому краю, и изобразил только некоторые формы. Приводим список цефалопод, найденных на р. Оленек: *Belemnites kirghisensis* d'Orb., *B. hastites* (?) Blainv., *Ammonites polyptychites* Keys., *A. diptychus* Keys., *A. uralensis* d'Orb., *A. cordatus* Sow. и *A. juvenescens* nov. sp.

Эту фауну, по современным представлениям разновозрастную, А. Кейзерлинг считал принадлежащей юрским отложениям. Несколько позднее Ю. И. Штубендорф доставил три образца, из которых два были выбиты из валунов на междуречье Оленек—Анабар, а третий найден между устьями рек Хатанги и Анабар. Эти экземпляры были изображены и определены Ф. Б. Шмидтом (1872) под названием *Ammonites polyptychites* var. *stübendorffi*. Кроме того, Ф. Б. Шмидт в этой же работе упоминает об обломке *Belemnites* sp., найденном в верховье р. Оленек. Впоследствии А. П. Павлов (1913), подробно изучавший эти образцы, пришел к заключению, что экземпляр, изображенный в работе Ф. Б. Шмидта (1872, табл. IIIa, фиг. 3), является самостоятельным видом *Polyptychites stübendorffi* Schm., а другой (1872, табл. III, фиг. 13; сильно уменьшен) принадлежит новому виду *Polyptychites tschekanovskii* Pavl.

В 1886 г. А. П. Чекановский установил наличие мезозойских отложений «по левобережью р. Лены от г. Якутска до р. Аякит и далее на запад через водораздел в бассейн р. Оленек и по этой реке до ее устья». Он впервые выделил в юре два горизонта — более нижний «суракский» и верхний — «иноцерамовый».

Фауна из сборов А. П. Чекановского изучалась И. И. Лагузеном (1886). На основании определения аммонита *Olcostephanus diptychus* Keyserling (1848, табл. II, фиг. 15), встреченного в «иноцерамовых» слоях, и сопоставления его с фауной Печорского края и других областей Лагузен считал слои, заключающие этот аммонит, принадлежащими верхнему волжскому ярусу или еще более древним отложениям.

Позже Д. Н. Соколов (1910) отметил, что *Olcostephanus diptychus* La Hùsèp не может быть отнесен к виду, впервые описанному А. Кейзерлингом из отложений Печорского края, и принадлежит к другой группе аммонитов. Более всего он напоминает, как предполагает В. И. Бодылевский (1948), *Cranocéphalites* и близок видам *C. furcatus*

Spath и *C. inconstans* Spath из батских отложений Восточной Гренландии, изображенным у Л. Спэта (1932, табл. VI, фиг. 1 и 8).

В 1899 г. Э. В. Толль во время экспедиции вдоль р. Анабар собрал богатый палеонтологический материал. Цефалоподы из этих сборов были определены А. О. Михальским. В связи с этим ему удалось выделить отложения следующих возрастов:

**Лейас.** *Amaltheus margaritatus* Montf. var. *compressa* Quenst., *Belemnites janus* Dumort., *B. tolli* sp. nov., *Belemnites rudis* Phill., *Belemnites* sp.

**Оксфорд.** *Cardioceras excavatum* Sow., *C. cordatum* Sow., *C. tolli* sp. nov., *Cardioceras* sp. nov.

**Неоком.** *Olcostephanus payeri* Toulou, *O. polyptychus* Keys., *O. stubendorffi* Schm., *O. gravesiformis* Pavl., *O. diptychus* var., *Olcostephanus* sp. nov. aff. *triptychus* Nik., *Olcostephanus* sp. nov. cf. *ramulicosta* Pavl., *Olcostephanus* sp. nov., *Belemnites subquadratus* Roem.

Дальнейшая монографическая обработка коллекции Э. В. Толля и фауны, собранной в том же районе И. П. Толмачевым, была осуществлена А. П. Павловым (1913). В результате указанной работы значительно пополнился список фауны и была уточнена стратиграфия района. Приводим список цефалопод из работы А. П. Павлова (1913).

**Средний лейас.** *Belemnites brevis* (Blv.) Hebert, *B. janus* Dumort., *B. tolli* sp. nov. (Mikh.), *B. gigantoides* sp. nov., *Amaltheus margaritatus* var. *compressa* Quenst., *A. margaritatus* var. *laevis* Quenst., *Phylloceras hebertinum* Reynès, *Phylloceras* sp. (?).

**Нижний келловей** (и верхний бат — по некоторым авторам). *Cadoceras elatmae* (Nik.), *Macrocephalites ishmae* var. *arctica* New.

**Оксфорд.** *Cardioceras cordatum* Sow., *C. subcordatum* sp. nov., *C. caelatum* sp. nov., *C. precaelatum* sp. nov., *C. sparsicosta* sp. nov., *C. fluctuans* sp. nov., (?) *Cardioceras* cf. *vertebrale* Sow., *Cardioceras* cf. *kostromense* Nik., *C. excavatum* Sow., *C. excavatum* var. *arctica* sp. nov., *C. jacuticum* sp. nov., *Cardioceras* aff. *roullieri* Nik., *C. anabarense* sp. nov., *C. tolli* Pavl. sp. (Mikh.), *C. laevisculptum* sp. nov.

**Нижний портланд.** *Belemnites obeliscoides* Phill., *Belemnites* cf. *porrectus* Phill., *B. magnificus* d'Orb.

**Нижние зоны нижнего неокома.** *Tollia tolli* sp. nov., *T. tolmatschowi* sp. nov., *T. latelobata* sp. nov., *Belemnites anabarenensis* sp. nov.

**Верхняя зона нижнего неокома** (и, может быть, средний неоком бореального типа). *Temnoptychites* sp., *Polyptychites diptychoides* sp. nov., *P. varisculptus* sp. nov., *Polyptychites* cf. *rinnei* Koen., *Polyptychites* cf. *ovatus* Koen., *Polyptychites* cf. *polyptychus* Keys., *P. oerlinghusanus* Weerth(?), *Polyptychites* cf. *ramulicosta* Pavl. et Lampr., *P. ramulicosta* Pavl. et Lampr., *P. densicosta* sp. nov., *P. conferticosta* sp. nov., *P. anabarenensis* sp. nov., *P. stubendorffi* F. Schm., *P. middenдорffi* sp. nov., *P. tschekanowskii* sp. nov., *P. tscherskii* sp. nov., *Euryplichites gravesiformis* Pavl., *E. globulosus* Koen., *Simbirskites*(?) *tenuisculptus* sp. nov., *Simbirskites tonsbergensis* Weerth.

Устанавливая такое подразделение слоев юры и мела, А. П. Павлов отмечает:

1. Нахождение рода *Phylloceras*, представители которого считаются глубоководными животными, в отложениях среднего лейаса противоречит представлению о мелководном характере этих отложений.

2. Присутствие *Simbirskites* наводит на мысль о наличии в Арктике средне-неокомских (готеривских) отложений.

3. Ввиду отсутствия в коллекциях цефалопод из средней юры, верхнего келловая, верхнего оксфорда, верхнего портланда и верхнего волжского яруса, можно предположить, что эта область подвергалась «неоднократно гидрократическим и геократическим перемещениям береговой линии».



Последующие исследования дали возможность уточнить стратиграфическое распространение некоторых форм. Так, белемниты, отнесенные А. П. Павловым к среднему лейасу, являются в действительности верхнелейасовыми формами. В результате послонных сборов фауны, проведенных Е. С. Ершовой в 1953 г., было установлено, что аммонит *Phylloceras hebertinum* Pavl. (non Reynès), тождественный описанному А. П. Павловым, встречен в валанжине, хотя А. П. Павлов считал его лейасовым; аммониты, сходные с описанными А. П. Павловым, как «*Simbirskites*» *tönsbergensis* и «*Simbirskites*» *tenuisculptus*, встречены

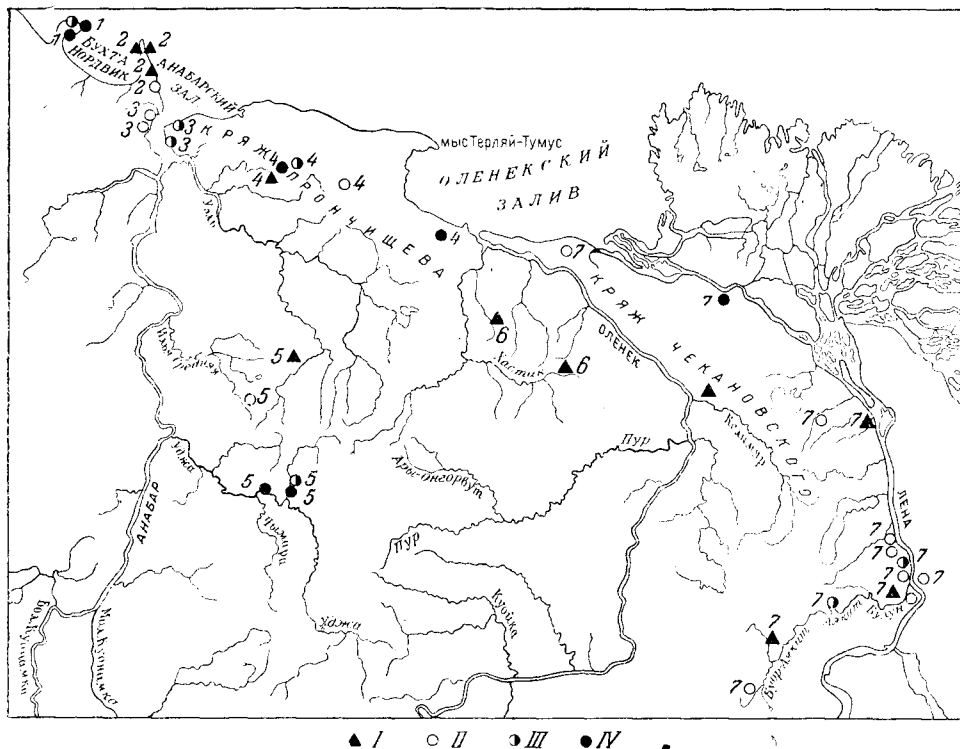


Рис. 1. Схематическая обзорная карта местонахождений фауны в Лено-Анабарском районе (масштаб 1:2 500 000):

I — в отложениях меловой системы; II — в отложениях верхней юры; III — в отложениях средней юры; IV — в отложениях нижней юры.  
 1 — полуостров Урюнг-Тумус; 2 — полуостров Пахса; 3 — Анабарская губа; 4 — кряж Прончищева; 5 — правые притоки р. Анабар; 6 — левые притоки р. Оленек; 7 — низовья р. Лены

совместно с полиптихитами среднего валанжина. Отличаясь некоторыми особенностями в скульптуре, они не могут быть отнесены к роду *Simbirskites* (Бодылевский, 1957).

После Великой Октябрьской социалистической революции в результате широкого развития геологических работ на севере Сибири были собраны богатые палеонтологические материалы, которые обрабатывались преимущественно В. И. Бодылевским, частично Н. С. Воронец и другими палеонтологами. В 1933 г. Громов и Канин доставили коллекцию фауны, собранную на Оленекско-Анабарском побережье моря Лаптевых; среди этой фауны были определены цефалоподы. Часть коллекции собрана в тех же местах, где проводил сборы Э. В. Толль; другая часть образцов впервые была получена из отложений кряжа Прончищева. Фауна определена Н. С. Воронец. Списки фауны даны в работе Г. Э. Фришенфельда (1938). В результате изучения этих сборов в районе хребта Прончищева был выделен верхний лейас по *Nannobelus prontschischtevi* V o г o n. и *Hastites* cf. *exilis* (d'O r b.) и верхний валан-

жин (зона *Polyptychites polyptychus*) — по *Polyptychites* sp. (*Polyptychites* cf. *incrassata* P a v l.), *P. incrassata* P a v l., *Polyptychites* aff. *tschekanovskii* P a v l., *P. tscherskii* P a v l., *Polyptychites* aff. *sphericus* К о е н.

В 1933—1934 гг. А. А. Романов, исследуя бассейн рек Оленек, Анабар и Попигай, собрал большую коллекцию фауны. Цефалоподы были обработаны Г. Я. Крымгольцем (1953). Здесь были определены: *Lytoceras subtile* О р р., *Tollia vai* K r i m h., *Polyptychites stubendorffi* (S c h m i d t), *P. ramulicosta* P a v l., *Pachyteuthis* cf. *anabarensis* P a v l. Они относятся к верхней зоне нижнего валанжина—верхнему валанжину.

В. И. Бодылевский в сводке, составленной к XVII сессии Международного геологического конгресса, на основании изучения обширных материалов предложил такое расчленение морских отложений юры и нижнего мела арктической части Сибири (см. стр. 9).

**I. Нижняя юра.** Нижний лейас — по рыбам; средний лейас — без указания фауны; верхний лейас — по находкам *Dactylioceras*, белемнитов, пластинчатожаберных.

**II. Средняя юра.** Ааленский ярус — по *Ludwigia concava* (S o w.) и пластинчатожаберным; байос — фаунистически не охарактеризован; нижние горизонты батского яруса не установлены; верхние горизонты бата выделены по находкам *Cranocephalites*, *Arctocephalites* и пластинчатожаберных.

**III. Верхняя юра.** Нижний келловей — по *Arcticoceras ishmae* (К e y s.) и *Cadoceras elatmae* (N i k.), причем слои с *Arcticoceras* — более древние, чем слои с *C. elatmae*; средний келловей — по *Cadoceras milashevici* (N i k.) и *Cadoceras tschefkini* (d'О r b.) [наличие последней формы иногда указывает на присутствие нижних слоев верхнего келловей]; верхний келловей — по *Quenstedticeras keyserlingi* D. S o k.; нижний оксфорд — по *Cardioceras* ex gr. *cordatum* (S o w.); верхний оксфорд — по *Cardioceras* (*Amoeboceras*) ex gr. *alternans* (B u c h); нижний кимеридж — по *Cardioceras* ex gr. *kitchini* S a l f i e l d; верхний кимеридж — по ауцеллам; нижний волжский ярус: нижняя зона — по *Perisphinctes panderi* d'О r b.; верхняя зона — по *Perisphinctes* (*Epiovirgatites*) *nikitini* (M i c h.), хотя в Арктике вместо него встречаются сходные формы; верхний волжский ярус — предположительно перерыв.

**IV. Нижний мел.** Инфраваланжин (соответствует по возрасту рязанскому горизонту Европейской части СССР); верхняя часть инфраваланжина определена по *Craspedites spasskensis* (N i k.) и *Craspedites suprasubditus* (B o g.); нижний валанжин представлен зоной *Tollia*; средний валанжин — зоной *Temnoptychites* и зоной *Polyptychites*; верхний валанжин — по *Polyptychites polyptychus* (К e y s.) и *Polyptychites bidichotomus* (L e u m.). Выше залегают угленосные отложения.

В 1939 г. В. И. Бодылевский для Анабаро-Хатангского района предложил следующую схему (табл. 1) стратиграфического расчленения юры и мела, предполагая, так же как и А. П. Павлов, что *Simbirskites tonsbergensis* P a v l o w (non W e e r t h) характеризует готерив.

В 1932—1942 гг. И. Г. Николаев при геологических исследованиях в районе Оленекской протоки собрал обширный палеонтологический материал.

Приводим состав фауны из коллекции И. Г. Николаева (определение В. И. Бодылевского):

**Аален.** *Ludwigia* cf. *concava* (S o w.), *Hastites* cf. *clavatus* (S c h l o t h.).

**Нижний келловей.** *Arcticoceras ishmae* (К e y s.), *Cadoceras wosnesenskii* (G r e w.) var.

**Нижний — верхний келловей.** *Cadoceras* sp. nov. aff. *stenomorphus* (К e y s.), *Cadoceras* aff. *tschefkini* (d'О r b.), *Cadoceras* cf. *nikitini* S o k.,

Схема стратиграфического расчленения юрских и меловых отложений

Геологический возраст		Главнейшие руководящие формы	
Нижний мел	?Готерив—баррем		Угленосная толща
	Готерив		<i>Simbirskites tonsbergensis</i>
	Валанжин	верхний	<i>Polyptychites</i> cf. <i>bidichotomus</i> <i>Polyptychites</i> cf. <i>polyptychus</i> <i>Ostrea anabarensis</i> sp. nov., <i>Pecten</i> ( <i>Camptonectes</i> ) <i>cinctus</i>
		средний	<i>Polyptychites</i> cf. <i>ovatus</i> <i>Temnoptychites</i> sp. sp. nov.
		нижний	<i>Tollia tolli</i> <i>Tollia tolmatschowi</i>
Инфраваланжин		<i>Subcraspedites</i> aff. <i>groenlandicus</i> <i>Aucella volgensis</i>	
Верхняя юра	Верхний волжский ярус		П е р е р ы в
	Нижний волжский ярус — кимеридж		<i>Belemnites magnificus</i> <i>Belemnites</i> cf. <i>porrectus</i> <i>Belemnites</i> sp. nov. (aff. <i>porrectus</i> Pavl.)
	Кимеридж		<i>Cardioceras kitchini</i> var. <i>Aucella pallasii</i>
	Оксфорд	верхний	<i>Cardioceras alternans</i> <i>Aucella bronni</i> (из валунов мыса Челюскин)
		нижний	<i>Cardioceras</i> ex gr. <i>cordatum</i>
	Келловей	верхний	<i>Quenstedticeras</i> cf. <i>keyserlingi</i> <i>Cadoceras nikitini</i>
		средний	<i>Cadoceras tschejkini</i>
		нижний	<i>Cadoceras elatmae</i> <i>Cadoceras calyx</i> <i>Cadoceras</i> cf. <i>freboldi</i>
	Средняя юра	Бат	<i>Cranocephalites</i> <i>Inoceramus retrorsus</i>
Байос		«Сурацкий ярус» Чекановского	Отложения байоса не выделены, но, возможно, присутствуют
Аален			<i>Ludvigia concava</i> <i>Pseudomonotis lenaensis</i>
Нижняя юра	Верхний лейас		<i>Dactyloceras</i> , <i>D. janus</i> , <i>Belemnites tolli</i> , <i>B. brevis</i> , <i>Pseudomonotis vai</i> (sp. nov.)
	Средний лейас		<i>Amaltheus margaritatus</i> , <i>Harpax</i> , <i>Myophoria laevigata</i>
	Нижний (?) лейас		<i>Lepidotus rugosus</i> <i>Tancredia</i> (?)
T <sub>3</sub> — J <sub>1</sub>	Рэт—лейас		Слой с растительными остатками

*C. doroschini* (Eichw.), *Quenstedticeras* sp. nov. (*Q. mariae* Sok. non d'Orb.), *Quenstedticeras* cf. sp. nov., *Cylindroteuthis* cf. *subrediviva* (Lem.), *Cylindroteuthis* cf. *beaumonti* (d'Orb.).

**Нижняя зона нижнего валанжина.** *Craspedites*(?) sp. nov. (Bodul.) (aff. *suprasubditus* Bogosl.).

**Верхняя зона нижнего валанжина.** *Tollia* sp. nov. (Bodul.) (aff. *latelobata* Pavl.).

В 1938—1939 гг. Д. С. Гантман, А. И. Гусев и Ф. И. Иванов собрали фауну в бассейне нижнего течения р. Оленек. Фауна цефалопод представлена (по определению Н. С. Воронец) *Cadoceras* sp. nov., *Cylindroteuthis* sp., *Hastites clavata* (Schloth.).

Тогда же Д. С. Гантманом доставлена с междуречья Хастах—Оленек дополнительная коллекция фауны, среди которой Н. С. Воронец определены *Passaloteuthis tolli* (Pavl.), *P. janus* (Dumort.), *Hastites* aff. *clavata* (Schloth.), *Craspedites* aff. *suprasubditus* (Bogosl.), *Paracraspedites*(?) ex gr. *spasskensis* (Nik.).

На основании находок трех первых белемнитов возраст вмещающих слоев определяется как верхний лейас, а по двум последним аммонитам — как нижний валанжин.

В 1949 г. Д. С. Сороков доставил коллекцию фауны с междуречья Хастах—Пур, среди которой определены *Passaloteuthis tolli* (Pavl.) и *Hastites* cf. *subclavata* (Voltz), указывающие на верхнелейасовый возраст вмещающих пород (определение Н. С. Воронец).

В 1949 г. М. М. Маландин и К. В. Соловьев в районе Оленекской протоки собрали большую коллекцию, в которой, кроме пелеципод, встречен *Cadoceras nikolajevi* Bodul. (определение Н. С. Воронец), указывающий на верхний келловей.

В 1949 г. К. К. Демочкидов и В. А. Первунинский передали на определение В. И. Бодылевскому коллекцию фауны с р. Келимьяр. По комплексу цефалопод охарактеризованы: верхний лейас — *Hastites subclavata* (Voltz), *H. exilis* (d'Orb.); аален — *Ludwigia* cf. *conca* (Sow.), *Hastites* cf. *clavata* (Schloth.); нижняя зона нижнего валанжина — *Craspedites*(?) sp. nov. (aff. *suprasubditus* Bogosl.); верхняя зона нижнего валанжина — *Tollia* sp. nov. (aff. *lateralis* Pavl.).

В юго-восточной части бассейна р. Анабар (р. Уджа) Г. А. Ермолаевым и В. Я. Кобаньковым в 1949—1953 гг. была собрана богатая коллекция фауны (определение Н. С. Воронец). Здесь по комплексу цефалопод охарактеризованы следующие отложения: средний лейас — *Amaltheus margaritatus* Montf., *A. margaritatus* var. *laevis* Quenst.; верхний келловей(?) — *Quenstedticeras*(?) sp. nov.; нижний оксфорд — *Cardioceras coelatum* Pavl., *C. tolli* Pavl., *Cylindroteuthis* sp. indet., *Pachyteuthis* sp. indet.; верхний кимеридж — нижний волжский ярус — *Cylindroteuthis magnifica* (d'Orb.), нижний валанжин — *Tollia tolmatshowi* Pavl. и *Tollia anabarensis* (Pavl.); средний валанжин — *Temnoptychites grandiosus* sp. nov. и *Polyptychites* sp.

В 1950 г. В. Н. Скатаров и Н. В. Кулаков там же собрали обширный палеонтологический материал, который был передан на определение Н. С. Воронец. По комплексу цефалопод охарактеризованы: верхний лейас — *Passaloteuthis* cf. *tollii* (Pavl.) и *Hastites* ex gr. *subclavata* (Voltz); средний келловей — *Cadoceras* aff. *tscheffkini* (d'Orb.), *C. milaschevici* (Nik.) и *C. stenolobum* (Keys.).

В 1950 г. Т. П. Кочетковым доставлена фауна из скважин, пробуренных на Усть-Оленекском участке. Головоногие моллюски *Amaltheus* sp. и *Belemnites* sp. на глубине 245,45—259,15 м (определение Н. С. Воронец) найдены в скв. К-300 и в скв. К-302; на глубине 20,0—22,0 м встречены *Dactylioceras*(?) *holandrei* Dumortier (non d'Orb.); в интервале 52,7—55,45 м обнаружен *Megateuthis* sp. indet. (cf. *rhenana* Bayle); в промежутке 56,85—58,15 м найден *Salpingoteuthis tubularis*

(Young et Bird); в слое 155,70—156,76 м установлен *Hastites compactus* Kolb.

В 1951 г. П. И. Глушинский, Е. А. Кононова и М. М. Маландин, работая в районе Оленекской протоки, собрали следующих цефалопод (определение Н. С. Воронец): из верхнеюрских отложений — *Cadoceras* sp. nov. (келловей), *Cardioceras anabarensis* Pavl. (нижний оксфорд), *Cylindroteuthis magnifica* (d'Orb.) (верхний кимеридж — нижний волжский ярус); из нижнемеловых отложений — *Polyptychites* sp. (cf. *tschekanowskii* Pavl.), присутствие которой указывает на нижнюю зону верхнего валанжина.

В 1952 г. Л. И. Санкина, проводившая исследования по р. Лене, в районе мыса Чекуровского, собрала фауну нижнего келловей (определение Н. С. Воронец) — *Cadoceras* sp. sp. nov., *Cylindroteuthis* cf. *subextansa* (Nik.).

В том же году О. Н. Кутузов, работавший северо-западнее этого района (бассейн рек Буотар, Атыркан и др.), собрал коллекцию фауны, среди которой имеется несколько экземпляров цефалопод плохой сохранности: *Cylindroteuthis* sp. indet. (бат?), *Ammonites (Tollia?)* sp. и *Polyptychites* sp. indet. (валанжин).

В 1953 г. проводились геологосъемочные работы на левобережье нижнего течения р. Лены. Собранный здесь коллекция фауны была передана на определение Н. С. Воронец. Немногочисленные цефалоподы в коллекции Д. С. Сорокова были представлены следующими формами: *Hastites* cf. *subclavata* (Voltz), *Cylindroteuthis* cf. *obeliscoides* (Pavl.) и *Cylindroteuthis* cf. *porrecta* (Phill.). Первая форма указывает на присутствие здесь отложений лейаса, а по двум последним возраст пород определен как кимеридж — нижний волжский ярус; в коллекции Р. А. Ростова определен *Hastites subclavata* (Voltz) (верхний лейас), *Arcticoceras* sp. indet. (нижний келловей) и *Tollia* cf. *tolli* Pavl. (нижний валанжин); в коллекции Г. А. Брейслера *Temnoptychites* sp. (нижняя зона среднего валанжина).

В 1953 г. В. А. Рудцов доставил богатую коллекцию мезозойской фауны, собранную в центральной части хребта Прончищева. Из цефалопод наибольший интерес представляют: *Cadoceras* aff. *calyx* Sprath, *Cadoceras* aff. *modiolare* (d'Orb.) (нижний келловей); *Cadoceras* aff. *tschekini* (d'Orb.) (*C. diversus* sp. nov.), *Cadoceras* sp. nov. (средний келловей); *Temnoptychites prontschischtevi* sp. nov. (средний валанжин) и *Polyptychites stubendorffi* (Schm.), *P. tscherskii* Pavl. и *P. middenдорffi* Pavl. (верхний валанжин).

Из приведенного обзора находок головоногих моллюсков в центральной части Советской Арктики видно, что монографическая обработка их осуществлена главным образом в дореволюционные годы, а вся многочисленная фауна из коллекций последующих сборов в основном подвергалась лишь предварительному определению. Накопившаяся за большой период времени обширная коллекция остатков головоногих моллюсков показала, что многие северные формы имеют своеобразные особенности и что среди них встречается много новых видов. Но имевшиеся коллекции, собранные во время геологосъемочных и других геологических работ, были недостаточны для монографического изучения фауны. Необходимо было поставить специальные работы по детальному изучению разрезов и последнему сбору фауны. Такие работы были организованы Научно-исследовательским институтом геологии Арктики и проведены в 1952, 1953 и 1954 гг. Е. С. Ершовой и Т. М. Емельянцевым. Ими изучены наиболее полные разрезы, из которых с большой тщательностью собран богатый палеонтологический материал. Ввиду хорошей сохранности собранной фауны этот материал представляет особую ценность.

## КРАТКАЯ ХАРАКТЕРИСТИКА ОПОРНЫХ РАЗРЕЗОВ

При монографической обработке имевшейся в распоряжении автора фауны головоногих из юрских и нижнемеловых отложений центральной части Советской Арктики за основу были взяты цефалоподы, имевшиеся в коллекции Е. С. Ершовой, так как они собраны с точной послышной привязкой и представлены большим числом экземпляров. Е. С. Ершова в 1952, 1953 и 1954 гг. (во время летних полевых работ) осмотрела выходы мезозойских отложений в нижнем течении р. Лены, на р. Кигилях, на мысе Чуча и р. Чубукулах, а также в районе Анабарской губы, на полуостровах Пахса и Урюнг-Тумус. Полные списки предварительно определенной фауны из собранной Е. С. Ершовой коллекции приводятся П. И. Глушинским (1953), Т. М. Емельянцевым (1954) и Н. С. Воронец (1954, 1955).

В 1952 г. Ершова послышно собрала мезозойскую фауну по разрезам в нижнем течении р. Лены. По цефалоподам здесь охарактеризованы: верхний бат ( $J_2bt$ ) — *Arctocephalites kigilakhensis* sp. nov., *Cylindroteuthis* cf. *subextensa* (Nik.); зона *Arcticoceras* нижнего келловея ( $J_3cl_1^1$ ) — *Arcticoceras* sp. indet.; зона *Cadoceras subcalyx* нижнего келловея ( $J_3cl_1^1$ ) — *Cadoceras subcalyx* sp. nov., *Cadoceras*(?) *excelsus* sp. nov., *C. densicostatum* sp. nov., *C. variable* Spath, *Cylindroteuthis* cf. *subextensa* (Nik.); нижний оксфорд ( $J_3oxf_1$ ) — *Cardioceras* cf. *cordatum* (Sow.); зона *Tollia* ( $Cr_1vln_1^2$ ) — *Tollia* sp. indet., *Phylloceras* sp. indet.

В 1953 г. Т. М. Емельянец и Е. С. Ершова произвели послышное описание разреза и сборы фауны на западном и восточном берегах Анабарской губы и на восточном берегу полуострова Пахса. На левом берегу Анабарской губы и далее к северу на полуострове Пахса имеется наиболее полный стратиграфический разрез, представленный всеми тремя отделами юры и нижним мелом. Разрез составлен в основном по нескольким обнажениям, в которых последовательно прослеживаются все более высокие слои (рис. 2 и рис. 3\*). Здесь на породах триаса залегают отложения юры. Контакт между ними проходит по сбросу. К северу от сброса обнажены (снизу вверх) наиболее низкие горизонты юры (обн. 6):

$J_1^{(2)}$  а) Песчаники серые, мелкозернистые, тонко- и параллельнослоистые, переслаивающиеся с серыми алевролитами и (реже) с аргиллитами. В прослоях песчаника встречены плохой сохранности *Nucula* sp. и *Tancredia* sp. № 1. Видимая мощность 4 м.

б) Темно-коричневые аргиллиты с прослоями темных глинистых известняков. Мощность 3 м.

в) Песчаники те же, что и в слое «а», но со стяжениями марказита и линзочками галечника. В них обнаружены *Myophoria* aff. *laevigata* Ziet., *Panope emelianzevi* sp. nov. Мощность 20 м.

\* Названия родов *Leda*, *Pseudomonotis*, *Eumorphotis*, *Inoceramus* (см. рис. 3), в соответствии с принятой ныне систематикой, должны быть заменены на *Nuculana*, *Meleagrinnella*, *Arctotis*, *Eoinoceramus*.

- г) Переслаивание темно-серых алевролитов и аргиллитов. В середине пачки наблюдаются линзы глинистого известняка. Мощность 5 м.
- д) Песчаники те же, что и в слоях «а» и «в». Мощность 7—8 м.
- е) Песчаники серые с голубоватым оттенком, мелкозернистые, тонко-параллельнослоистые; по плоскостям наложения наблюдаются

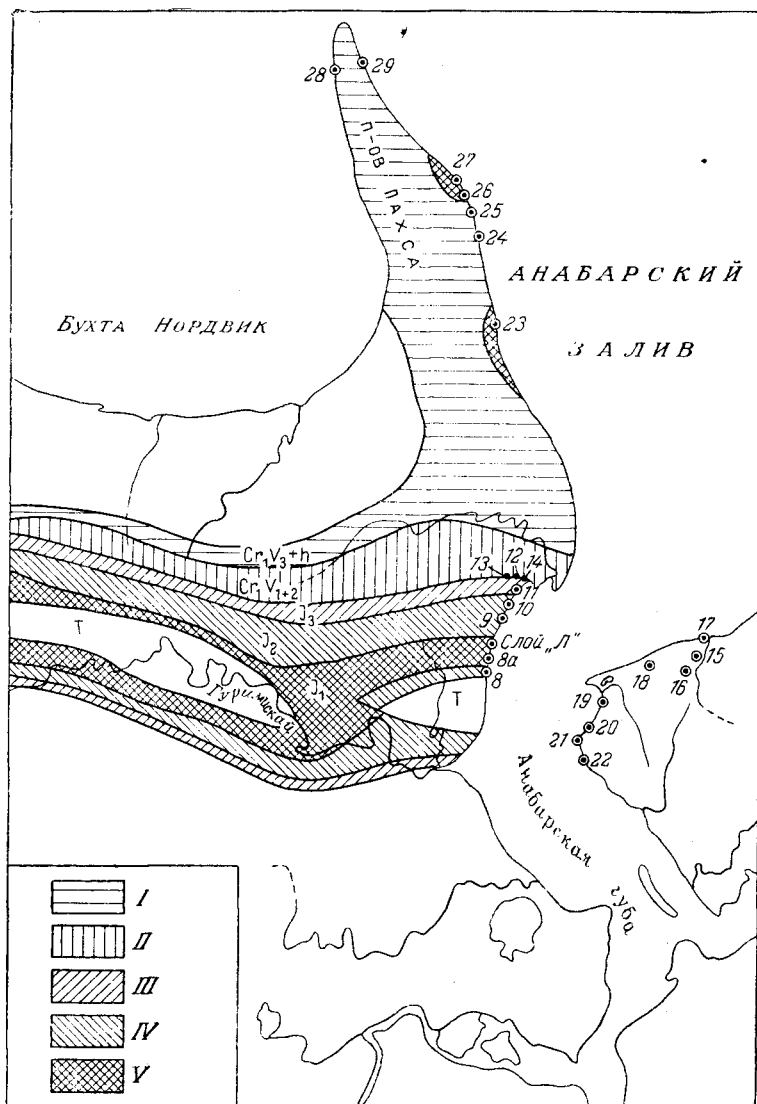


Рис. 2. Схематическая геологическая карта района Анабарской губы и полуострова Пауха с нанесенными пунктами послонных сборов фауны (составил Т. М. Емельянцеv):

I — нижний мел (верхний валанжин — готерив); II — то же (заланжин средний и нижний); III — верхняя юра; IV — средняя юра; V — нижняя юра (Т — триасовые отложения — см. карту; в условных обозначениях не указываются).

примазки алевроито-глинистого материала. Редко встречаются прослои и линзы более плотных известковистых песчаников. В основании пачки встречена фауна — *Myophoria* aff. *laevigata* Ziet., *Panope* sp. nov. № 1; в 20 м выше подошвы пачки — *Meleagrinnella lisabetae* sp. nov. Мощность 30 м.

ж) Переслаивание темно-серых алевролитов с серыми мелкозернистыми песчаниками. В линзах известковистых песчаников найдены *Chlamys* sp. nov., *Rhynchonella* sp. Мощность 5 м.

Описанные слои предположительно отнесены или к нижней части среднего лейаса, или к верхам нижнего лейаса.

Описание разреза после 450-метрового перерыва продолжено в обн. 8, в котором с юга на север прослеживается постепенное увеличение мощности пород среднего лейаса.

J<sub>1</sub><sup>2</sup> а) Тонкослоистые алевролиты и аргиллиты, часто имеющие охристо-коричневый цвет, с прослоями и конкрециями глинисто-алевролитистых известняков серо-голубоватого цвета, содержащих *Harpax* ex gr. *spinus* Sow., *Harpax* sp. nov. № 1, 2, 3. Видимая мощность 6 м.

б) Песчаники серого цвета, содержащие линзы галечников, обуглившуюся окатанную древесину, линзы песчаных известняков. Наблюдаются скопления раковин *Harpax* sp. и *Pleuromya* sp. Мощность 15 м.

в) Алевролиты темно-серые, тонко- и неяснослоистые, с прослойками аргиллитов того же цвета. В нижних 30 м пачки встречены *Harpax* ex gr. *spinus* Sow., а в верхних 20 м — *Harpax* aff. *laevigatus* d'Orb., *Nuculana formosa* Voronetz, *Nuculana* aff. *jacutica* Petr., *Amaltheus*(?) sp. и др. Мощность 50 м.

г) Алевролиты темно-серые, массивные, с прослойками аргиллитов и известковистых алевролитов. Здесь найдены *Amaltheus margaritatus* var. *depressa* Quenst., *Nuculana formosa* Voronetz и др. Мощность 20 м.

д) Алевролиты темно-серые, грубо- и неяснослоистые, с частыми прослойками алевролитистого известняка, к которому приурочены находки *Meleagrinnella tiungensis* Petr., *Tancredia schiriae* Bodyl., *Tancredia* sp. sp., *Harpax* ex gr. *spinus* Sow., *Harpax* ex gr. *terquemi* Desl., *Nuculana* aff. *jacutica* Petr. и др. Мощность 10 м.

е) Аргиллиты серые, тонкослоистые, с прослоями серых алевролитов. Присутствуют линзовидные прослои известняков, конкреции пирита и тонкие линзочки ракушняка, состоящие из мелких *Tancredia* sp. indet. Мощность 20 м (отложения, залегающие выше, относятся к верхнему лейасу).

J<sub>1</sub><sup>3</sup> ж) Песчаники светло-серые, тонко- и среднеслоистые, с тонкими прослоями алевролитов, а иногда аргиллитов. К линзовидным прослоям известковистых разностей пород обычно приурочены скопления раковин *Nuculana* и *Tancredia*.

В основании песчаников встречена *Nuculana* aff. *jacutica* Petr. и др.; в 10 м от подошвы (ж<sub>3</sub>) — *Nuculana jacutica* Petr., *Tancredia* sp. nov.; в 15 м (ж<sub>4</sub>) — *Passaloteuthis subinaudita* sp. nov., образующие массовые скопления в виде небольших линз; в 20 м от подошвы (ж<sub>5</sub>) — *Salpingoteuthis tubularis* (Young et Bird); в 23 м (ж<sub>6</sub>) — *Mesoteuthis oxycona* (Hehl in Zieten), *Passaloteuthis subinaudita* sp. nov. и др.; в 28—30 м (ж<sub>7</sub>) — *Passaloteuthis* cf. *tolli* (Pavl.), *Tancredia* sp. nov. № 8; в 34 м (ж<sub>8</sub>) — *Passaloteuthis tolli* (Pavl.), *Mesoteuthis aequalis* sp. nov., *Megateuthis giganteoides* Pavl., *Nannobelus janus* (Dum.); в 37 м (ж<sub>9</sub>) — *Pseudolioceras* sp. indet., *Mesoteuthis oxycona* (Hehl in Ziet.), *Mesoteuthis conoidea* (Opp.), *Tancredia* aff. *securiformis* (Dunk.); в 40 м (ж<sub>10</sub>) — *Dactylioceras mucronatum* (d'Orb.), *Nannobelus pavlovi* Grimh., *Mesoteuthis conoidea* (Opp.). Последний слой (ж<sub>10</sub>) может быть отнесен к зоне *Dactylioceras commune* (т. е. к средней части тоарского яруса). Мощность пачки 40 м.

з) Песчаники светло-серые, зеленоватые, тонко-, средне- и толсто-слоистые, с пропластками серых алевролитов, известковистых песчаников и линзами коричневатых-серых пиритизированных известняков. Содержат следующую фауну: *Nannobelus* cf. *janus* (Dumort.), *Mytiloi-*



*des jacuticus* Petr., *Mytiloides anabarensis* sp. nov., *Modiolus numismalis* Orpel, *Tancredia gigantea* sp. nov., *Tancredia* sp. nov. № 5 и др. Мощность 6 м.

и) Алевролиты темно-серые, тонко- и среднеслоистые, чередующиеся с прослоями зеленовато-серых, мелкозернистых тонкослоистых песчаников. Известковистые алевролиты и (реже) известковистые песчаники наблюдаются в виде тонких линзовидных прослоев. Здесь обнаружены: *Passaloteuthis* sp. indet., *Arctotis vai* Bodyl., *Tancredia* aff. *subtilis* Lah., *Mytiloides marchaensis* Petr. и др. Мощность 18—20 м.

к) Песчаники светло-серые, зеленоватые, тонкослоистые, переслаивающиеся с темно-серыми тонкослоистыми алевролитами. Песчаники по простиранию часто переходят в известковистые крепкие разности. В алевролитах наблюдаются стяжения марказита. В этом слое содержатся следующие виды: *Hastites* ex gr. *clavata* (Schloth.), *Meleagrinella* aff. *sparsicosta* Petr., *Tancredia* sp. и др. Мощность 15 м.

Слой, лежащие выше, мы относим к средней юре. В основании их наблюдаются признаки небольшого размыва.

Ж<sub>2</sub>аа л) Песчаники, в нижней части светло-серые, массивные; мощность 1—2 м. В верхней части они переслаиваются с темно-серыми тонкослоистыми алевролитами; встречена *Tancredia* sp. Мощность 8 м.

м) Песчаники серые, неяснослоистые, сильно известковистые. К подошве слоя часто приурочены тонкие линзовидные скопления галечника, среди которого встречается обугленная окаменелая древесина. Здесь обнаружены: *Eoinoceras* ex gr. *retrorsus* Keys., *Tancredia* cf. *namanaensis* Petr. Мощность 1,5 м.

н) Песчаники темно-серые, мелкозернистые, тонкослоистые, переслаивающиеся с плотными известковистыми алевролитами. Наблюдаются стяжения марказита. В этом слое содержатся: *Eoinoceras* ex gr. *retrorsus* Keys., *Arctotis lahuseni* Ersch. (in litt.), *Tancredia* sp. nov. Мощность 15 м.

о) Песчаники серые, известковистые, тонкослоистые, участками листовато-слоистые. Здесь встречены: *Nuculana acuminata* Goldf., *Eoinoceras* ex gr. *retrorsus* Keys. Мощность 1,5—2 м.

п) Песчаники слюдястые, мелкозернистые, тонколистоватые. Местами по простиранию песчаники переходят в более плотные известковистые разности. Содержат неопределимые остатки пластинчатожаберных. Мощность 5 м.

р) Алевролиты серые, тонко переслаивающиеся с голубовато-серыми песчаниками. Много стяжений марказита, которые, разрушаясь, придают породе охристую окраску. В этих отложениях определены: *Ludwigia* aff. *rudis* Buckm., *Hastites* aff. *clavata* (Schloth.), *Arctotis lahuseni* Ersch. (in litt). Мощность 10 м.

с) Песчаники серые, тонко- и неяснослоистые, в основании известковистые. Наблюдаются небольшие линзы ракушняка, состоящего из створок *Arctotis lahuseni* Ersch. (in litt.). В основании слоя обнаружены: *Ludwigia* cf. *rudis* Buckm., *Arctotis lenaensis* Lah., *Eoinoceras* ex gr. *retrorsus* Keys., *Nuculana acuminata* Goldf., *Tancredia* sp. nov. № 8. В четырех метрах над подошвой данного слоя песчаников (с<sub>1</sub>) были найдены: *Ammonites* sp., *Normannites* sp., *Salpingoteuthis* (?) sp., *Panope* sp., *Scurria* sp. Мощность 5—6 м. *Normannites* указывает на байос (Ж<sub>2</sub>bj), а встреченные ниже *Ludwigia* характерны для верхнего аалена.

г) Песчаники серые, мелкозернистые, слабоуплотненные, переслаивающиеся с серыми алевролитами. Среди песчаников залегают линзовидные прослои и конкреции сильно известковистых разностей, содержащие много пластинчатожаберных. В нижней части найдены *Arctotis*

*sublaevis* Bodyl., *Eoinoceramus* ex gr. *retrorsus* Keys., *Tancredia* sp. nov. № 9; в 4 м от подошвы ( $T_1$ ) — многочисленные *Pleuromya* sp. Видимая мощность 25 м. Далее породы скрыты под четвертичными отложениями.

В обн. 9, расположенном в 100 м севернее устья р. Кен, выходят отложения средней юры, относимые нами к батскому ярусу (снизу вверх):

J<sub>2</sub>b<sub>1</sub> а) Песчаники плотные, плитчатые, тонко-неяснослоистые, известковистые, содержащие *Arctotis lenaensis* (L a h.), *Pleuromya* sp. Видимая мощность 3 м.

б) Аргиллиты тонкослоистые, сланцеватые, чередующиеся с тонкими прослоями алевролитов темно-серых аргиллитов, среди которых встречаются линзовидные прослои известковистых алевролитов. В отложениях этого слоя встречены: *Arctotis lenaensis* (L a h.), *Eoinoceramus* ex gr. *retrorsus* Keys. Мощность 10 м.

в) Алевролиты темно-серые, неяснослоистые, оскольчатые; имеется четыре линзовидных прослоя алевролитов известняков. В низах пачки содержатся: *Eoinoceramus porrectus* Eichw., *Eoinoceramus* ex gr. *retrorsus* Keys.; в 20 м выше ( $B_5$ ) — *Arctotis lenaensis* (L a h.), *Belemnites* gen. indet., *Pleuromya* sp., *Bureiamya* sp.; в 73 м выше ( $B_{17}$ ) — *Perna* sp., *Tancredia*(?) sp. Общая мощность пачки 85—90 м.

Описание разреза (после 100 м задернованного пологого участка) продолжается в обн. 10. Здесь обнажаются:

а) Алевролиты светло-коричневые, тонкослоистые. Мощность 10 м.

б) Песчаники алевролитистые, тонкозернистые, грубо- и неяснослоистые. В кровле наблюдается слой известняков серых, песчано-алевролитистых, массивных, с изменяющейся от 1 до 3 м мощностью. В данном слое встречены *Eoinoceramus* sp., *Tancredia*(?) sp. Мощность 13 м.

в) Алевролиты темно-серые, тонкосланцеватые, переслаивающиеся с серыми тонкослоистыми песчаниками. Встречаются конкреции песчано-алевролитистых известняков шаровидной или эллипсоидальной формы. Видимая мощность 9—10 м.

После перерыва в наблюдении продолжается описание разреза в обн. 11 (в 75 м севернее), в котором выходят (снизу вверх):

J<sub>3</sub>c<sub>1</sub> а) Алевролиты, подобные тем, которые содержатся в слое «в» обн. 10, с прослоями серых тонколистватослоистых песчаников, с тонкими прослоями и небольшими конкрециями темно-серых алевролитистых известняков.

б) В 28 м от подошвы, выше прослоя известняка (мощностью 0,7 м), наблюдается зона сильно пиритизированных алевролитов, которые в выветренной части окрашены в охристо-бурый цвет. В конкрециях алевролитистых известняков часто содержатся остатки аммонитов.

В нижних 28 м встречены неопределимые остатки пластинчатожабберных. На уровне 28 м ( $a_{11}$ ) обнаружены *Cadoceras subcalyx* sp. nov., *Pleuromya decurtata* Phill., *Tancredia* sp. В слое  $a_{12}$  встречено много *Cadoceras elatmae* (Nik.), *C. falsus* sp. nov., *C. emelianzevi* sp. nov., *C. subtenuicostatum* sp. nov., *C. subcatostoma* sp. nov. Мощность пачки 32 м.

В обн. 12, расположенном в 175 м севернее обн. 11, выходят:

J<sub>3</sub>ox<sub>1</sub> а) Алевролитистые известняки, серые, неправильно слоистые, содержащие *Cardioceras excavatum* (Sow.) var. nov., *C. delicatum* Buckm., *C. subcordatum* Pavl., *Cardioceras* cf. *arcticum* Pavl., *Pleuromya* sp., которые относятся к нижнему оксфорду. Видимая мощность 2,5 м. Более высокие горизонты верхней юры описаны значительно севернее (примерно в 40 км от обн. 12), в обн. 26, где с севера на юг от линии сброса выходят следующие отложения (снизу вверх):

J<sub>3</sub>oxf<sub>2</sub>(?) б) Аргиллиты темно-голубоватые, с прослойками глинисто-глауконитовых песчаников; в верхних 4 м слоя аргиллиты приобретают темную окраску. У основания (б<sub>3</sub>) встречены *Camptonecles* sp., *Astarte* cf. *depressoides* L a h., а в 6 м выше (б<sub>2</sub>) — *Cardioceras* sp. indet., *Cardioceras* cf. ex gr. *zenaidae* I l o v., *Pachyteuthis* sp. По найденной фауне эти отложения можно условно отнести к среднему оксфорду. Видимая мощность 10—12 м.

J<sub>3</sub>oxf<sub>3</sub>—vlg<sub>5</sub> в) Глинистые породы с прослойками глинисто-глауконитовых песчаников. В пачке наблюдается три уровня (1, 10 и 20 м от подошвы), к которым приурочены известняки, залегающие в виде прослоев или конкреций линзовидной или сферической формы. В кровле встречены аргиллиты (мощность 4,5 м) темного цвета, массивные, с большим количеством белемнитов. На основании послойно собранной здесь фауны отложения можно расчленить следующим образом.

**Верхний оксфорд.** Ему соответствуют самые нижние слои (б<sub>11</sub>), содержащие *Amoeboceras alternans* (V u s h). Мощность 2 м.

**Нижний кимеридж.** Сюда относятся следующие слои: б<sub>10</sub> с *Amoeboceras* ex gr. *kitchini* S a l f. и *Pachyteuthis* sp. nov.; б<sub>8</sub> (в 4 м выше) — с *Amoeboceras* cf. *elegans* S p a t h и *Pachyteuthis* sp.; б<sub>6</sub> (в 8 м над б<sub>10</sub>) — с *Cylindroteuthis* aff. *porrecta* (P h i l l.), *Cylindroteuthis* aff. *magnifica* (d' O r b.) и *Cylindroteuthis* sp. sp.; б<sub>5</sub> (в 10 м от б<sub>10</sub>) — с *Amoeboceras* sp. nov., *Cylindroteuthis* cf. *magnifica* (d' O r b.), *Cylindroteuthis porrecta* (P h i l l.). Мощность слоев б<sub>10</sub>—б<sub>5</sub> составляет 10 м.

**Верхний кимеридж—нижний волжский ярус.** Включает слои б<sub>4</sub> и б<sub>2</sub> с *Cylindroteuthis magnifica* (d' O r b.), *Cylindroteuthis* sp. sp., *Cylindroteuthis porrecta* (P h i l l.). Мощность 6 м.

**Верхний волжский ярус.** Представлен слоем б<sub>1</sub>, содержащим в 2 м от подошвы *Pachyteuthis* cf. *subquadrata* (R o e m.) и *Cylindroteuthis* cf. *magnifica* (d' O r b.), а в кровле — *Pachyteuthis russiensis* d' O r b. и *Cylindroteuthis* sp. Мощность 4,5 м.

J<sub>3</sub>vlg<sub>5</sub>—C<sub>1</sub>vln<sub>1</sub>. Залегающие выше отложения (а<sub>26</sub>) представлены аргиллитами темно-серыми, темно-голубоватыми, неяснослоистыми. Глинистые известняки серого цвета залегают в виде линзовидных прослоев или конкреций, обычно приуроченных к определенным уровням. По фауне здесь можно выделить отложения верхнего волжского яруса и нижнего валанжина (зоны *Subcraspedites* и *Tollia*). Мощность 50 м.

**Верхний волжский ярус** (слой а<sub>23</sub>, в 2 м от подошвы) представлен отложениями, содержащими *Cylindroteuthis comes* sp. nov., *Pachyteuthis* cf. *magnifica* (d' O r b.), *Aucella subinflata* P a v l.

**Нижний валанжин** (зона *Subcraspedites*) представлен отложениями с *Subcraspedites* ex gr. *bidevexus* B o g o s l. — слой а<sub>19</sub> (в 6 м выше); *Taimyroceras*(?) *bodylevskyi* sp. nov. — слой а<sub>15</sub> (в 8 м выше); *Subcraspedites* ex gr. *bidevexus* B o g o s l. — слой а<sub>13</sub> (в 6 м выше); *Subcraspedites* ex gr. *bidevexus* B o g o s l., *Subcraspedites* ex gr. *subpressulus* B o g o s l. — слой а<sub>10</sub> (в 6 м выше).

Мощность слоев а<sub>23</sub>—а<sub>10</sub> составляет 30 м.

Далее (см. слои а<sub>9</sub>—а<sub>1</sub>) развиты аргиллиты, не содержащие остатков фауны. Мощность 18 м.

Зона *Tollia* охватывает самые верхи описываемого обнажения, где найдена *Tollia tolli* P a v l., *T. pakhsaensis* sp. nov. (слой «а»). Мощность 2 м.

В обн. 25, в 500 м к юго-востоку по простиранию пород, мощность пород возрастает (снизу вверх):

а) Аргиллиты голубовато-серые, плотные; среди них наблюдаются конкреции глинистых известняков различной формы. В 7 м от подошвы встречены *Tollia*(?) sp., *Aucella trigonoides* L a h., *Aucella terebratuloides* L a h., а в кровле — *Tollia tolmatshowi* P a v l., *Tollia pakhsaensis* sp. nov., *Tollia emelianzevi* sp. nov. Мощность пачки 22 м.

б) Алевролиты глинистые, содержащие множество конкреций и линзовидных прослоев известняков. В основании его залегает прослой мощностью 0,2 м, состоящий из конкреций глинистого известняка. Наблюдаются стяжения марказита. Вверх по разрезу содержание глинистого материала уменьшается и, реже, встречаются конкреции известняков. В основном отложения данной пачки принадлежат зоне *Tollia*, только верхи содержат фауну среднего валанжина (зона *Polyptychites*).

В нижней части (слои б<sub>6</sub>—б<sub>3</sub>) фауна не найдена. В 22 м от подошвы (слой б<sub>2</sub>) присутствует *Tollia tolli* P a v l.; тот же вид встречен в 8 м выше (слой б<sub>1</sub>). Общая мощность 40 м. В верхней части (мощность 9 м) фауна не обнаружена.

Отложения зоны *Polyptychites* начинаются в самой кровле слоев «б» (1 м), где в темно-серых массивных алевролитах встречены *Astieriptychites astieriptychus* (B o d y l.) и *Astieriptychites astieriformis* V o r o n e t z.

Выше залегает пласт серого плотного известняка (мощность 0,5 м), который сменяется вверх по разрезу глинистыми алевролитами темно-серыми, тонкослоистыми, с *Polyptychites conferticosta* P a v l. Мощность 10 м.

Далее по направлению на юг описание разреза произведено в отдельных обнажениях, причем в обн. 24 фауна не найдена. В обн. 23 обнаружены *Tollia tolli* P a v l., *T. kordikovi* B o d y l., *T. emelianzevi* sp. nov., *T. pakhsaensis* sp. nov., *Cylindroteuthis subobeliscoides* sp. nov., принадлежащие зоне *Tollia* нижнего валанжина.

Наиболее высокорасположенные отложения нижнего мела были описаны на восточном побережье самой северной части полуострова Пахса в обн. 29, где вскрыты аргиллиты темно-серые, массивные, среднеслоистые, с тонкими прослоями и отдельными конкрециями темно-серых и серых очень крепких глинистых известняков. Данные отложения прослежены на расстоянии 3 км.

Комплекс собранной фауны указывает на принадлежность отложений к зоне *Polyptychites* среднего валанжина. Здесь найдена следующая фауна (снизу вверх): *Euryptychites pateraeformis* sp. nov. (слой а<sub>8</sub>); в 3 м выше — *Polyptychites* sp. (а<sub>7</sub>); в 3 м выше предыдущего слоя обнаружены *Astieriptychites* sp. (а<sub>6</sub>); в 3 м выше слоя а<sub>6</sub> — *Neocraspedites politus*, *Euryptychites pavlovi* sp. nov. (а<sub>5</sub>); в 3 м выше слоя а<sub>5</sub> — *Astieriptychites astieriptychus* (B o d y l.), *Euryptychites pateraeformis* sp. nov. (а<sub>4</sub>); в 3 м выше слоя а<sub>4</sub> — *Polyptychites* sp. nov. indet., *Polyptychites subovatus* sp. nov., *Astieriptychites* sp. (а<sub>3</sub>); в 15 м выше слоя а<sub>3</sub> — *Euryptychites pateraeformis* sp. nov. (а<sub>2</sub>); в 8 м выше слоя а<sub>2</sub> — *Astieriptychites astieriptychus* (B o d y l.), *Polyptychites conferticosta* P a v l., *Tollia* (*Polyptychites*?) *mira* sp. nov. (а<sub>1</sub>); в 12 м выше слоя а<sub>1</sub> — *Euryptychites pavlovi* sp. nov., *Polyptychites* cf. *rinnei* K o e n e n, *Polyptychites* sp. nov. indet. и *Virgatoptychites*(?) *pakhsaensis* sp. nov. (слой а).

Общая мощность пачки 50 м.

Более высокие горизонты нижнемеловых отложений, фаунистически охарактеризованные по комплексу головоногих, в данном районе не были встречены.

На правом берегу Анабарской губы имеются только небольшие и разрозненные обнажения. Коллекция фауны цефалопод по сборам, проведенным в 1953 г. Е. С. Ершовой и Т. М. Емельянцевым в этих обнажениях, немногочисленна. Она содержит в основном формы, встречающиеся на левобережье Анабарской губы.

Некоторый интерес представляет обн. 22, расположенное в 5 км южнее урочища Хорго. Здесь, в разрезе батского яруса, встречены остатки *Cephalopoda*, на основании которых дополняется характеристика, данная по сборам фауны на левом берегу.

Здесь выходят следующие породы (снизу вверх):

J<sub>2</sub>bt<sub>1</sub> а) Алевролиты темно-серые, неяснослоистые, с отдельными хорошо выдержанными пластами алевритистых известняков мощностью от 0,5 до 1,0 м. Нахождение здесь *Cranocephalites* sp. indet. указывает на нижнюю часть бата. Видимая мощность 25—30 м.

б) Породы, литологически сходные с породами слоя «а»; среди них появляются отдельные конкреции очень плотных алевритистых известняков. Размеры конкреций — от нескольких сантиметров до 0,5 м. Мощность 25—30 м.

в) Аргиллиты алевролитистые, темно-серые, тонкослоистые, на выветрелых поверхностях имеющие ржаво-желтоватую окраску. Здесь присутствуют крупные конкреции глинисто-алевролитистых известняков. Фауна плохой сохранности — *Phylloceras* sp., *Pleuromya* sp., *Rhynchonella* sp. Мощность 10 м.

J<sub>2</sub>bt<sub>2</sub>. г) Алевролиты темно-серые, неяснослоистые, с конкрециями и линзовидными прослоями глинистых известняков. Здесь собраны *Arctocephalites* aff. *elliptica* Spath, указывающие на верхний бат. Мощность пачки 40 м.

J<sub>1</sub>. В более нижних слоях на правобережье Анабарской губы были встречены лейасовые формы: *Dactylioceras* cf. *commune* (Sow.), *Nannobelus pavlovi* Krimh., *N. janus* (Dumont.), *Passaloteuthis tolli* (Pavl.), *Hastites exilis* (d'Orb.).

В 1954 г. Е. С. Ершова производила описание и послыйный сбор фауны на полуострове Урюнг-Тумус. В этом районе отложения разбиты частыми сбросами, и сопоставлять отдельные разрезы можно главным образом по фауне.

По головоногим моллюскам здесь были выделены отложения следующих возрастов:

**Верхний лейас.** *Dactylioceras* aff. *crassulosus* (Simp.), *Nannobelus pavlovi* Krimh., *N. parvus* sp. nov., *N. difficilis* sp. nov., *Nannobelus* aff. *difficilis* sp. nov., *Passaloteuthis tolli* Pavl., *Mesoteuthis oxycona* (Hehl in Zieten), *M. subrostriformis* sp. nov., *M. laptinskajae* sp. nov.

**Нижний аален.** *Pseudolioceras* плохой сохранности.

**Верхний аален.** *Ludwigia* sp. indet. плохой сохранности.

**Нижний бат** (слои с *Morrisiceras*), *Morrisiceras laptinskajae* sp. nov., *M. sibiricum* sp. nov., *Calliphylloceras subatlas* sp. nov., *Cranocephalites vulgaris* Spath, *C. pompeckji* (Madsen), *C. pompeckji* var. *laevis* Spath, *C. pompeckji* var. *sublaevis* var. nov., *C. gracilis* Spath, *C. gracilis* var. *dissimulare* var. nov., *C. furcatus* Spath, *C. nordvikensis* sp. nov., *C. defonticeroides* sp. nov.

**Верхний бат.** *Arctocephalites* aff. *ellipticus* Spath, *A. nudus* Spath.

**Нижний келловей.** *Arcticoceras excentricum* sp. nov.

---

---

## СОПОСТАВЛЕНИЕ СХЕМ РАСЧЛЕНЕНИЯ ЮРСКИХ И НИЖНЕМЕЛОВЫХ ОТЛОЖЕНИЙ ЛЕНО-АНАБАРСКОГО РАЙОНА СО СХЕМАМИ ЦЕНТРАЛЬНОЙ ЧАСТИ СЕВЕРА СИБИРИ И ДРУГИХ РАЙОНОВ

В прилагаемой корреляционной таблице расчленения юрских и нижнемеловых отложений, охарактеризованных фауной головоногих моллюсков, сопоставляется сводная стратиграфическая схема описанных районов с местными схемами центральной части севера Сибири и схемами Северо-Западной Европы, Гренландии и Аляски (см. схему в конце книги).

При составлении таблицы была использована схема зонального расчленения юры Западной Европы по В. Аркеллу (Arkell, 1946, 1956).

Палеонтологическую характеристику юрских и нижнемеловых отложений Гренландии мы находим в работах Л. Спэта (Spath, 1932, 1935, 1936, 1952).

Данные о юрских отложениях Аляски нами заимствованы у Р. Имлея (Imlay, 1953). Здесь необходимо отметить, что в корреляционной таблице Р. Имлея бат Аляски охарактеризован по находке *Cranocephalites*, нижнюю границу распространения которых он условно понижает до слоев байоса, содержащих *Sphaeroceras*. Верхний предел распространения *Cranocephalites* Р. Имлею неизвестен. Слои с *Arctocephalites* в отложениях Аляски пока встречены не были, и распространение этого рода принимается по аналогии с его распространением в Северной Америке, где породы с *Arctocephalites* залегают ниже слоев с *Arcticoceras*. Поэтому *Arctocephalites*, по мнению Р. Имлея, характерен для верхнего бата, а *Cranocephalites* — для нижнего. В соответствии с этим он пересматривает и возраст слоев Гренландии, содержащих указанные формы.

Сводная стратиграфическая схема юрских и нижнемеловых отложений севера Сибири разработана и принята на Межведомственном совещании по стратиграфии Сибири, происходившем в 1956 г. в Ленинграде (1959). В результате настоящей работы в схему внесены некоторые изменения.

Из корреляционной таблицы видно, что границы между отделами, ярусами и зонами, устанавливаемые в трудах зарубежных авторов и у нас, в основном совпадают.

В сравнении с подразделениями, принятыми в Атласе руководящих форм ископаемых (т. VIII, 1947), в последней сводке В. Аркелла (1956) имеется ряд изменений:

- 1) увеличен объем нижнего лейаса за счет включения в него нижних зон плинсбахского яруса;
- 2) домерский ярус вошел в состав плинсбахского яруса;
- 3) в байосский ярус включен ааленский ярус;
- 4) келловейский ярус отнесен к средней юре;
- 5) рязанский горизонт рассматривается как самые верхи юрской системы.

На основании анализа нашего материала и из сопоставления нашей сводной схемы со схемами зарубежных авторов можно сделать следующие выводы:

1. В наиболее древних слоях (обн. 6) содержатся своеобразные и пока мало изученные остатки пластинчатожаберных — *Meleagrinnella lisabetae* sp. nov. (in litt.) и *Panope emelianzevi* sp. nov. (in litt.), отсутствующие в вышележащих слоях, в которых встречены *Amaltheus margaritatus* Montf. (обн. 8г).

Учитывая расстояние между указанными обнажениями (400 м) и угол падения слоев (6—7°), в которых содержатся упомянутые моллюски, можно прийти к выводу, что их разделяет толща мощностью 120 м.

Слои с упомянутыми формами (обн. 6) мы сопоставляем с плинсбахским ярусом.

2. Слои, заключающие *Amaltheus*, мы сопоставляем с аналогичными слоями Аляски, которые зарубежные исследователи относят к нижней зоне домера (к верхнему плинсбаху). В Гренландии эти слои не установлены.

3. Отложения тоарского яруса у нас охарактеризованы присутствием *Dactylioceras* и многочисленных белемнитов. Эти слои по *Dactylioceras* хорошо сопоставляются с синхроничными слоями Гренландии, которые охарактеризованы теми же родами и приравнены там к зоне bifrons. В комплекс фауны из отложений верхнего лейаса Гренландии А. Розенкранц (Rosenkranz, 1934) включает *Pseudolioceras lythense* (Y. et B.), *P. dumortieri* Buckman, *P. compactile* (Simpson) и *P. beyrichi* (Schloenb.). При этом автор отмечает, что все они встречены в более высоких слоях, а слои, содержащие *Pseudolioceras beyrichi* (Schloenb.), относят к нижнему аалену условно. Данные о белемнитах Гренландии из верхнего лейаса — *Megateuthis rhennani*\* (Oppel), *Megateuthis* aff. *conoidea* (Oppel), *Megateuthis* cf. *quenstedti* (Oppel) — автор приводит в общем списке, не указывая пункты их сбора. У нас белемниты верхнего лейаса отличаются большим разнообразием как в родовом, так и в видовом отношении.

4. Встреченный на Урюнг-Тумусе *Pseudolioceras*, близкий к *Pseudolioceras beyrichi* (Schloenb.), является руководящей формой для нижнего аалена. Мы сопоставляем слои, его заключающие, с соответствующими слоями Гренландии и слоями с *Pseudolioceras* и *Tmetoceras* Аляски.

Верхний аален охарактеризован на нашей схеме присутствием *Ludwigia*; иногда вместе с ней находят *Hastites clavata* Schlotheim. Головоногие моллюски в этих слоях Гренландии не встречены. Соответствующие слои на Аляске, согласно данным Р. Имлея, также охарактеризованы по находкам *Tmetoceras* и *Pseudolioceras*.

5. Отложения байоса у нас охарактеризованы присутствием аммонита плохой сохранности, предположительно *Normannites* (??). К тому же ярусу нами отнесены вышележащие породы (обн. 8, слой «т») мощностью 25 м, заключающие *Arctotis sublaevis* Bodyl. и другие формы пластинчатожаберных, еще мало изученные. Это заключение основывается на том, что описываемые слои подстилаются породами аалена, содержащими *Ludwigia*, и перекрываются слоями нижнего бата с *Cranocephalites*. Тогда слои с *Normannites* надо сопоставлять с нижним байосом Западной Европы и слоями, охарактеризованными *Normannites* и *Teloceras*, на Аляске. В Гренландии не встречены синхроничные слои, установленные по комплексу аммонитов.

\* Здесь надо отметить, что Г. Я. Крымгольц (1947) упомянутые выше виды белемнитов считает принадлежащими к роду *Mesoteuthis*. Этой точки зрения придерживаемся и мы.

6. Батский ярус на севере Сибири охарактеризован по фауне аммонитов — *Morrisiceras*, *Cranocephalites*, *Arctocepalites*. Слои с *Morrisiceras* должны быть сопоставлены с зоной *Tulites*, которая распространена в Англии. Представители *Cranocephalites* у нас собраны из отложений с *Morrisiceras* и выше. Поэтому мы считаем нижней границей распространения *Cranocephalites* зону *Tulites*. На правом берегу Анабарской губы *Arctocepalites* (обн. 22) встречены выше зоны распространения *Cranocephalites*. На этом основании, а также с учетом того, что зоной *Tulites* завершается батский ярус, слои с *Arctocepalites* в нашей схеме помещены в верхнебатский подъярус. Отложения с *Cranocephalites* и *Arctocepalites* хорошо сопоставляются с подобными отложениями Гренландии, к которым Л. Спэт (1932) отнес отложения с *Cranocephalites* к зоне *discus*, а слои с *Arctocepalites* — к зоне *herveyi*. Л. Спэт немного ошибся в своих построениях. Р. Имлей слои с *Cranocephalites* применительно к отложениям Аляски справедливо относит к нижнему бату. Нашими данными подтверждается мнение Р. Имлея по этому вопросу. Верхняя граница распространения этих моллюсков ему неясна.

7. Келловой на севере Сибири представлен всеми тремя подъярусами. Нижняя часть нижнего келловея охарактеризована по находке *Arcticoceras*, верхняя часть — по *Cadoceras elatmae* (Nik.), *C. calyx* Spath и по другим новым видам этого рода. Слои с *Arcticoceras* и *Cadoceras* соответственно хорошо совпадают с такими же слоями Гренландии. Слои с *Arcticoceras* на Аляске не установлены, а слои с *Cadoceras* охватывают верхнюю часть нижнего подъяруса и средний подъярус келловея; последний соответствует среднему подъярусу с *Cadoceras tschekini* (d'Orbigny) по нашей схеме. В Гренландии эта часть келловея не установлена. В нижнекелловой северной Сибири встречено много новых видов, отличающихся от видов как Гренландии, так и Аляски. Верхний келловой охарактеризован по находкам *Quenstedticeras* и *Cadoceras nikitini* (Sok.) На Аляске, по мнению Р. Имлея, этот подъярус представлен слоями с *Paracadoceras*.

8. Оксфорд также представлен тремя подъярусами, которые хорошо сопоставляются с синхроничными отложениями Гренландии, охарактеризованными наличием форм *Cardioceras*. На Аляске в отложениях нижнего оксфорда содержатся *C. martini*; в среднем оксфорде — *C. distans*, верхний оксфорд и нижний кимеридж представлены отложениями с *Amoeboceras* (без разграничения на зоны).

9. В отложениях нижнего кимериджа на севере Сибири обнаружены *Pictonia*, *Rasenia*, *Amoeboceras* (*Amoebites*). В синхроничных слоях Гренландии им соответствуют слои с *Rasenia* и *Amoeboceras* (*Amoebites*).

В верхнем кимеридже севера Сибири собраны многочисленные *Cylindroteuthis* и *Pachyteuthis*. В синхроничных отложениях Гренландии встречены: в нижних слоях — *Rasenia*, *Euprionoceras* и *Hoplocardioceras*, в более высоких слоях — *Subplanites* (?) sp. и *Sphinctoceras*. В аналогичных слоях Аляски аммониты не встречены.

10. Нижний волжский ярус севера Сибири охарактеризован по комплексу форм *Subplanites*, *Pavlovia*, *Dorsoplanites* (?) и многочисленным, но еще мало изученным белемнитам. В Гренландии отложениям J<sub>3</sub>vlg<sub>1</sub> соответствуют слои с *Pectinatites* и *Pallasiceras* (верхний кимеридж — по Спэту, 1936). В отложениях J<sub>3</sub>vlg<sub>3</sub> севера Сибири установлено присутствие *Laugeites*; в аналогичных образованиях Гренландии обнаружены *Eipallasiceras*, *Glaucolithites* и *Laugeites*. В отложениях Аляски аммониты этого возраста не встречены.

11. Верхний волжский ярус охарактеризован по находкам *Aucella subinflata* Pavl. и новому виду *Cylindroteuthis comes* sp. nov. и другим, мало изученным белемнитам. В синхроничных слоях Гренландии



дии содержатся *Craspedites* и *Titanites*. В аналогичных отложениях Аляски аммониты не встречены.

12. В отложениях валанжина собрана богатая коллекция аммонитов.

Нижняя зона нижнего валанжина охарактеризована по находкам *Subcraspedites* ex gr. *bidevexus* Bogosl., *Craspedites subpressulus* Bogosl., *Taimyroceras*(?) *bodylevskiyi* sp. nov.; в верхней зоне обнаружены многочисленные и в видовом отношении разнообразные *Tollia*. Нижние слои можно сопоставить с соответствующими отложениями Гренландии, содержащими *Subcraspedites*, а более высокие сопоставляются со слоями, содержащими *Tollia payeri* (Toula). Сопоставлять слои с *Praetollia* (= *Paracraspedites* и *Hectoroceras*) Гренландии с синхроничными отложениями севера Сибири пока еще невозможно.

Нижняя зона среднего валанжина севера Сибири охарактеризована по *Temnoptychites*. В Гренландии в этой зоне не обнаружено аммонитов. Верхняя зона среднего валанжина на севере Сибири охарактеризована по *Polyptychites*, *Euryptychites* и присутствию своеобразного рода *Astieriptychites* (*Simbirskites* — по А. П. Павлову).

Очень может быть, что *Astieriptychites* встречаются и в более высоких слоях — в нижней зоне верхнего валанжина. Эти слои соответствуют слоям *Polyptychites* Age Гренландии.

13. *Neocraspedites*, *Dichotomites* и *Bochianites*, найденные в Хатангском районе, В. И. Бодылевский относит к нижнему готериву, а *Simbirskites*(?) (*Astieriptychites*) — к готерив-баррему. В Гренландии слои с *Neocraspedites* и *Dichotomites*, по свидетельству Л. Спэта (1952) и Д. Донована (1953), отнесены к среднему валанжину (*Polyptychites* Age). Сопоставление слоев с *Neocraspedites* и *Dichotomites* севера Сибири с соответствующими слоями Гренландии, где встречены эти аммониты, все еще представляет значительные трудности. Анабарские «*Simbirskites*»(?), как показало их изучение, принадлежат к роду *Astieriptychites*, и по возрасту их следует считать относящимися к верхней зоне среднего валанжина, но, может быть, некоторые виды встречаются и в нижней зоне верхнего валанжина.

---

**ОПИСАНИЕ ФАУНЫ**  
**ТИП MOLLUSCA**  
**КЛАСС СЕРНАЛОРОДА**  
**ПОДКЛАСС ЕСТОСОСНЛІА**  
**Надотряд Ammonoidea**  
**Отряд Ammonitida**  
**Подотряд Phylloceratina**  
**Надсемейство Phyllocerataceae**  
**Семейство Phylloceratidae Zittel, 1884**  
**Подсемейство Phylloceratinae Zittel, 1884**  
**Род *Phylloceras* Suess, 1865**  
**Тип рода — *Ammonites heterophyllum* Sowerby, 1820**  
***Phylloceras* sp. (ex gr. *heterophyllum* Sowerby)**  
**Табл. I, фиг. 1; табл. II, фиг. 1**

Материал. Один экземпляр (колл. Т. М. Емельянцева).

Описание. Крупный обломок очень большой (от 350 до 375 мм в диаметре) раковины. Обороты высокие, очень объемлющие; толщина значительно меньше высоты, что может быть связано с некоторой деформацией раковины. Раковина покрыта очень тонкими, слегка изгибающимися ребрышками, промежутки между которыми значительно больше ширины ребрышек.

Лопастная линия плохо наблюдается, но по характеру принадлежит роду *Phylloceras*; линии сильно сближены между собой; седла с тонкими стволами; наружное седло двураздельное.

Сравнение. Описываемый аммонит напоминает *Phylloceras heterophyllum* (Sowerby) (1842—1844, стр. 305, табл. 266), встреченный в слоях с *Ludwigia murchisonae* Англии и отличается своими большими размерами и большей сжатостью раковины. То же сходство он имеет и с *Phylloceras supraliasicum* Rompreckj (1900, стр. 29, табл. IV, фиг. 1, 1a), известным из нижнелейасовых отложений, которого Помпецкий выделил из *Phylloceras heterophyllum* Quenstedt (1858, стр. 101; 1846—1849, стр. 313, табл. 40, фиг. 2; стр. 401, табл. 51, фиг. 1).

Местонахождение. Правый берег Анабарской губы.  
Возраст. Лейас.

Материал. Один экземпляр (колл. Е. С. Ершовой).

Описание. Имеющийся в нашем распоряжении один неполный экземпляр (жилая камера и часть последующего оборота не сохранились) с высокими оборотами и маленьким пупком отличается своеобразной скульптурой, которая хорошо наблюдается только при косом освещении (табл. II, фиг. 2). Скульптура состоит из слабо выраженных валикообразных ребер (17 на полуоборот), наклоненных вперед, сглаживающихся у пупка, несколько расширяющихся к периферии и переходящих без перерыва через сифональную часть. Расстояния между валиками больше ширины валиков. Кроме того, вся раковина покрыта очень тонкими линиями нарастания, направленными согласно расположению валиков; расстояние между линиями гораздо больше ширины линий. Продольные линии очень тонкие и редкие, пересекают валики и линии нарастания, образуя своеобразную сетку.



Рис. 4. Лопастная линия *Phylloceras subatlas* sp. nov. при диаметре раковины 57 мм (×2,5).

Лопастные линии внутреннего и внешнего оборотов отличаются следующей особенностью: первое седло лопастной линии внутреннего оборота, при диаметре раковины 20 мм, трехраздельное, а у того же образца на внешнем обороте, при диаметре раковины 57 мм (рис. 4), первое седло двураздельное, почти симметричное. В связи с этим и учитывая особенности скульптуры, родовую принадлежность данного экземпляра мы оставляем с вопросом.

#### Размеры (в мм)

Диаметр раковины . . . . .	20(100)
Высота оборота . . . . .	11(55)
Толщина оборота . . . . .	8(40)
Диаметр пупка . . . . .	1(5)

Сравнение. Описываемый вид отличается от *Phylloceras* sp. (ex gr. *heterophyllum* Sowerby), а также от *Phylloceras heterophyllum* (Sowerby) (1842—1844, стр. 305, табл. 266) своеобразной скульптурой и лопастной линией.

От *Phylloceras atlas* Dumortier (1867, т. IV, стр. 106, табл. XXX, фиг. 4а, б) из зоны *Hildoceras bifrons* и *Dactyloceras commune* средне-тоарских отложений бассейна р. Роны описываемый аммонит отличается более узкими и слабыми валикообразными ребрами с большими промежутками между ними и тонкой сеткой, отсутствующей у ронской формы.

До некоторой степени наш экземпляр своей тонкой скульптурой похож на *Ph. tonsuni* Voeltz (1912, стр. 75, табл. XII, фиг. 5 и 6) из оксфорда Нидерландской Индии (Индонезия), но отличается отсутствием вставных ребер-линий, наличием продольных линий, а не отдельных штрихов между радиальными ребрышками, и своеобразной лопастной линией.

Местонахождение. Полуостров Урюнг-Тумус, обн. 5, обр. 5.

Возраст. Нижний бат, слои с *Morrisiceras*.

Подсемейство *Phylloporachyoceratinae* Collignon, 1937

Род *Phylloporachyoceras* Spath, 1927

Тип рода — *Ammonites infundibulum* d'Orbigny, 1841

*Phylloporachyoceras praeinfundibulum* sp. nov.

Табл. I, фиг. 2, 3а, б; табл. II, фиг. 3

Материал. Восемь экземпляров (колл. Т. М. Емельянцева и Е. С. Ершовой).

Описание. Раковина дискоидальная, инволютная. Высота значительно превосходит толщину. Обороты с боков несколько уплощены. Пупок очень мал и практически неизмерим. Раковина (до 17 мм в диаметре) покрыта радиальными штрихами, не сильно наклоненными вперед. На большем экземпляре (начиная приблизительно

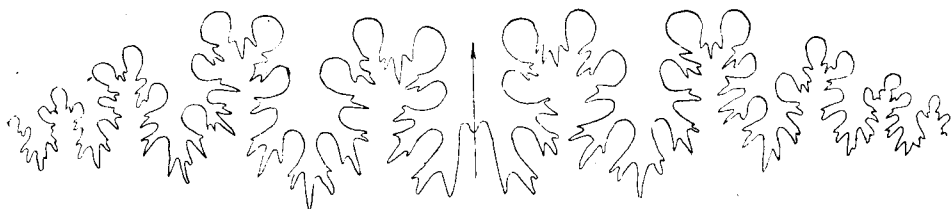


Рис. 5. Лопастная линия *Phylloporachyoceras praeinfundibulum* sp. nov. при диаметре раковины 51 мм (×4).

с диаметра 25 мм) рёбра имеются только на внешней стороне; они короткие, резкие, закругленные; расстояние между ними немного больше ширины ребра. При диаметре раковины 40 мм — на 10 мм насчитывается 4 ребра. Последние пол-оборота состоят из жилой камеры, на которой хорошо сохранилась та же скульптура. Приводится изображение лопастной линии (рис. 5) молодого экземпляра, изображенного на табл. I, фиг. 2. Внешнее и боковые седла трехзубчатой выемкой разделены на несимметричные ветви, состоящие из двух или одного листочка.

Сравнение. От *Phylloporachyoceras infundibulum* d'Orbigny (1842, стр. 131, табл. XXXIX, фиг. 4 и 5) описываемый экземпляр отличается более короткими ребрами и менее сложной лопастной линией.

Местонахождение. Полуостров Пахса, обр. 23а, 23а<sub>1</sub>, 25б и 1025/2.

Возраст. Нижний валанжин, слой с *Tollia*.

*Phylloporachyoceras lenaense* sp. nov.

Табл. III, фиг. 1

Материал. Четыре экземпляра (колл. Е. С. Ершовой).

Описание. Раковина очень объемлющая, сжатая с боков; истинная толщина неизвестна из-за деформации раковины. Пупок очень маленький. Боковая поверхность близ пупка гладкая. На периферии раковина покрыта ребрами, начинающимися на расстоянии двух третей высоты оборота от пупка. Ребра заостренные, постепенно усиливающиеся по направлению к брюшной стороне. Расстояние между ребрами больше ширины ребра; три четверти последнего оборота занято жилой камерой.

На рис. 6 приводится изображение лопастной линии, которая несколько напоминает лопастную линию у *Phylloporachyoceras infundibulum* (d'Orbigny).

Размеры (в мм)

Диаметр раковины . . . . .	70(100)
Высота оборота . . . . .	40(61)
Толщина оборота . . . . .	?
Диаметр пупка . . . . .	3(4)

Сравнение. Описываемые формы напоминают *Phyllopachyceras infundibulum* (d'Orbigny) (1842), но отличаются более короткими и более часто расположенными ребрами и менее сложной лопастной линией, у которой сифональная лопасть одной длины с первой боковой.

От *Phyllopachyceras praeinfundibulum* (см. стр. 26) данный вид отличается более многочисленными ребрами и лопастной линией, которая занимает среднее положение между лопастной линией *Phyllopachyceras infundibulum* и *Phyllopachyceras praeinfundibulum*.



Рис. 6. Лопастная линия *Phyllopachyceras*(?) *lenaense* sp. nov. при диаметре раковины 55 мм (×3).

От *Phyllopachyceras ptychostoma* Venescke (in Zittel, 1898, стр. 68, табл. VII, фиг. 4) описываемый вид отличается более узкими и короткими ребрами.

Местонахождение. Река Лена, обн. 2п, 2о, 13н, 14п.

Возраст. Нижний валанжин, слои с *Tollia tolli*.

Надсемейство **Eoderooceratidae**

Семейство **Dactylioceratidae** Hyatt, 1867

Род ***Dactylioceras*** Hyatt, 1867

Тип рода — *Ammonites communis* Sowerby

*Dactylioceras commune* (Sowerby)

Табл. III, фиг. 4

1842. *Ammonites communis* Sowerby. Mineral Conchologie, стр. 159, табл. 107, фиг. 2 и 3.

1842. *Ammonites communis* d'Orbigny. Paléontologie Française. Terrains jurassiques, vol. 1, Cephalopoda, стр. 336, табл. 108.

1874. *Ammonites communis* Dumortier. Études Paléontologiques sur les dépôts jurassiques du bassin in Rhône, часть 4, стр. 93, табл. XXVI.

1927. *Koinodactylites communis* Buckman. Type Ammonites, табл. DCCVII.

Материал. Один экземпляр (колл. Е. С. Ершовой и Т. М. Емельянцева).

Описание. Раковина несколько деформирована. Она дискообразная; обороты слабо нарастающие; пупок широкий, мелкий и плоский. Ребра, направленные радиально, начинаются от шва и на боковой поверхности немного увеличиваются; близ внешнего перегиба они раздваиваются и проходят без перерыва через сифональную сторону. В результате деформации создается впечатление, что ребра разветвляются вблизи внешнего перегиба. Одиночных ребер на наружном

обороте не имеется, вставные очень редки. Межреберные расстояния шире ребер. На полуобороте насчитывается внутренних ребер 18—19, сифональных—37. Лопастная линия не обнаружена.

#### Размеры (в мм)

Диаметр раковины . . . . .	30(100)
Высота оборота . . . . .	8?(27)
Толщина оборота . . . . .	?
Диаметр пупка . . . . .	13(43)

Сравнение. От голотипа (1842, фиг. 3) ничем не отличается. От французского *Dactylioceras commune* d'Orbigny (1842) отличается меньшей величиной раковины и отсутствием трехраздельных ребер. От ронской формы отличается величиной раковины.

Местонахождение. Анабарская губа, обн. 19, обр. 19б.

Возраст. Тоарский ярус.

Распространение. Тоарские отложения Англии, Франции и Аляски.

#### *Dactylioceras mucronatum* (d'Orbigny)

Табл. III, фиг. 2

1842. *Ammonites mucronatus* d'Orbigny. Paleontologie Française. Terrains jurassiques. Vol. 1, Cephalopodes, стр. 328, табл. 104, фиг. 4—8.

Материал. Один образец (колл. Е. С. Ершовой и Т. М. Емельянцева).

Описание. Единственный и немного деформированный экземпляр, поэтому измерения даны приблизительно. Раковина маленькая, дисковидная; обороты очень медленно нарастающие. Пупок широкий, мелкий и плоский. Ребра отходят от шва; на боковой поверхности они очень приподнимаются и чуть изгибаются; на внешнем перегибе образуют ясные бугорки и затем разделяются на две и три сглаженные и тонкие ветви; переходящие через брюшную сторону без перерыва. Здесь иногда встречаются вставные ребра, доходящие до линии бугорков. Расстояние между внутренними ребрами значительно больше ширины ребер. Расстояние между внешними ребрами тоже шире толщины ребер. На  $\frac{1}{4}$  оборота внутренних ребер 8, внешних — 20.

На предшествующем обороте ребра также очень приподняты начиная от шва, а затем на сифональной части как будто исчезают. Лопастная линия не обнаружена.

#### Размеры (в мм)

Диаметр раковины . . . . .	17?(100)
Высота оборота . . . . .	4,5?(26)?
Толщина оборота . . . . .	5?(29)?
Диаметр пупка . . . . .	8(46)?

Сравнение. Описываемый экземпляр по орнаментации наружного оборота тождествен *Dactylioceras mucronatum* (d'Orb.). Отличие заключается в численности ребер: у нашей формы на четверть оборота приходится на одно ребро больше.

От *D. brownianum* (d'Orbigny) (1842, табл. 104, фиг. 1 и 2) отличается меньшим числом более резких ребер и присутствием вставных ребер.

От *D. gracile* (Simpson) (Buckman, 1909—1930, табл. CVII) описываемый вид отличается большей шириной пупка и иной скульптурой: у *D. gracile* (Simpson) внутренние ребра направлены прямо, не имеют ясно выраженных бугорков; внешние ребра наклонены вперед; разделяющиеся ребра чередуются с одиночными.

Местонахождение. Анабарская губа, обр. 8ж<sub>10</sub>.  
Возраст. Нижняя юра (тоарский ярус).  
Распространение. Тоарский ярус Англии и Франции.

*Dactylioceras* aff. *crassulosum* (Simpson)

Табл. III, фиг. 5

Материал. Один неполный экземпляр (колл. Е. С. Ершовой).

Описание. Раковина деформирована, представлена плоской спиралью, с мало объемлющими оборотами, прикрывающими не более четверти высоты предыдущего оборота. Пупок широкий, мелкий и плоский. Раковина покрыта прямыми ребрами, отходящими от шва несколько назад (?), узкими и очень постепенно расширяющимися по направлению к сифональной части, где часть их раздваивается; после этого они направляются вперед и без перерыва переходят через сифональную часть. Наблюдаются редкие одиночные ребра той же мощности и того же направления, что и раздваивающиеся. Промежутки между ребрами немного шире толщины ребер. Число ребер на половине оборота: внутренних — 20, внешних — 28. Лопастная линия неизвестна.

Размеры (в мм)

Диаметр раковины . . . . .	34(100)
Высота оборота . . . . .	10(29)
Толщина оборота . . . . .	?
Диаметр пупка . . . . .	16,5(48)

Сравнение. Описываемый вид по изгибающимся ребрам больше всего напоминает *Dactylioceras crassulosum* (Simpson) (Buckman, 1909—1930, табл. LVIII, фиг. 1 и 2), но отличается от него присутствием одиночных ребер (два на половине оборота) и меньшим пупком. Более полное сравнение провести трудно, так как наш экземпляр по размерам значительно меньше английской формы.

От *Dactylioceras commune* (Sowerby) (1842, стр. 159, табл. 107, фиг. 2 и 3) описываемый вид отличается меньшим числом изгибающихся ребер и бугорками в местах их ветвления.

Мы не выделяем нашу форму в самостоятельный вид из-за недостаточной сохранности материала.

Местонахождение. Полуостров Урюнг-Тумус, обр. 6б.

Возраст. Нижняя юра (тоарский ярус).

Распространение. Тоарский ярус Англии.

## Надсемейство *Amaltheoidea*

Семейство *Amaltheidae* Hyatt, 1867

Род *Amaltheus* Montfort, 1808

Тип рода — *Amaltheus margaritatus* Montfort, 1808

*Amaltheus margaritatus* var. *compressa* Quenstedt

Табл. III, фиг. 3 и 7

1885—1888. *Ammonites margaritatus* var. *compressa* Quenstedt. Die Ammoniten des schwäbischen Jura, стр. 327, табл. 41, фиг. 17.

1913. *Amaltheus margaritatus* Павлов. Юрские и меловые Cephalopoda севера Сибири, стр. 59, табл. XVII, фиг. 4 и 5.

Материал. Пять экземпляров (колл. Г. Е. Ермолаева, Е. С. Ершовой, В. Г. Чичмарева, Т. М. Емельянцева).

## Размеры (в мм)

Диаметр раковины . . . . .	32(100)
Высота оборота . . . . .	14(44)
Диаметр пупка . . . . .	13(40)

Сравнение. Изображенная форма хорошо соответствует описанному Ф. Квенштедтом варианту *Amaltheus margaritatus*. Один образец (табл. III, фиг. 3) тождествен изображенному у А. П. Павлова на фиг. 4. Второй экземпляр (табл. III, фиг. 7), обладающий более значительным пупком, соответствует экземпляру на фиг. 5 (Павлов, 1913). Последний является переходной формой к варианту *depressa*.

Местонахождение. Река Уджа, обр. 2836б; Анабарская губа, обр. 8г<sub>1</sub>.

Возраст. Нижняя юра (домерский ярус).

Распространение. Домерский ярус бассейна р. Буреи, Средиземноморской и Среднеевропейской провинций и Аляски.

• *Amaltheus margaritatus* var. *depressa* (Quenstedt)

Табл. III, фиг. 8а, б

1885—1888. *Amaltheus margaritatus* var. *depressus* Quenstedt. Die Ammonites des schwäbischen Jura, стр. 133, 127, табл. 42, фиг. 8.

Материал. Имеющийся у нас единственный экземпляр (колл. В. Г. Чичмарева) совершенно совпадает с экземплярами, приведенными в синонимике.

Местонахождение. Среднее течение р. Уджи, обр. 1812.

Возраст. Нижняя юра (домерский ярус).

Распространение. Там же, где и предыдущий вид.

## Надсемейство Stephanocerataceae

### Семейство Macrocephalitidae Buckman, 1922

Род *Morrisceras* Buckman, 1920

Тип рода—*Ammonites macrocephalites* var. *Morris* et Lycett, 1850

(=*Ammonites morrisi* Oppel)

*Morrisceras lapinskajae* Voronetz

Табл. XV, фиг. 3а, б

1957. *Morrisceras lapinskajae* Воронеж. Первые находки *Morrisceras* и *Xenoccephalites* на севере Сибири, стр. 21, табл. 1, фиг. 2а, б, в.

Материал. Один экземпляр (колл. Е. С. Ершовой).

Описание. Небольшая, сильно инволютная раковина. Сечение оборота полукруглое, слабо сжатое с вентральной стороны. Толщина оборота несколько превышает высоту. Наибольшей толщины наружный оборот достигает близ пупка. Пупок очень узкий, глубокий, с обрывистыми стенками и резко закругленным перегибом. Стенки пупка, перегиб и часть оборота до его середины покрыты линиями нарастания, которые после перегиба сильно наклоняются вперед, а к середине оборота немного выпрямляются. Ребра имеются только на внешней стороне оборота; начиная от его середины ребра по направлению к брюшной стороне постепенно утолщаются и переходят через последнюю в виде широких валиков. По мере приближения к жилой камере ребра начинают сглаживаться, но не до полного их угасания, и остаются заметными на всей сохранившейся части жилой камеры. Ребра имеют своеобразную форму: они спускаются более круто к устью и более полого в противоположном направлении. На внешней части полуоборота имеется 21 ребро.



Лопастная линия сильно рассечена (рис. 7). Сифональная лопасть широкая и длинная. Первая боковая лопасть широкая, длиннее сифональной, трехконечная (третья веточка разрушена). Вторая боковая лопасть короткая, широкая, неправильно двухконечная. Внешнее седло широкое у основания, кверху вытягивается и вспомогательной глубокой лопастью делится на две неравные части: большую — внешнюю и меньшую — внутреннюю. Первое боковое седло трехраздельное, значительно ниже и немного меньше внешнего. Второе боковое седло значительно ниже внешнего и первого бокового седла. Последние три лопастные линии перед жилой камерой сильно сближены.

Размеры у конца внешнего оборота (в мм)

Диаметр раковины . . . . .	34(100)
Высота оборота . . . . .	17,5(51)
Толщина оборота . . . . .	18,25(53)
Диаметр пупка . . . . .	4,5(1,3)

Сравнение. Этот вид был описан в статье, указанной в синонимике. От *Morrisiceras morrиси* (Oppel) (1856—1858, стр. 478, § 61, № 15) = *Ammonites macrocephalites* var. *Morris et Lycett* (1850—1852, стр. 12, табл. II, фиг. 3, 3а) из зоны *Tulites* батских отложений Англии описываемая форма отличается меньшим размером раковины, большей толщиной оборотов, меньшим числом ребер, лопастной линией более вытянутыми седлами и второй боковой лопастью с более длинной долей, расположенной ближе к внешней стороне.

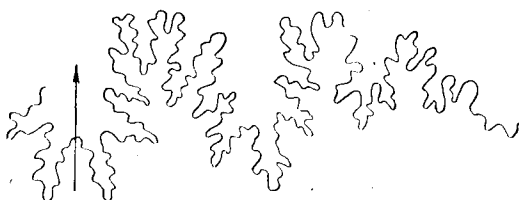


Рис. 7. Лопастная линия *Morrisiceras lapinskajae* Voronetz при диаметре раковины около 25 мм (×2).

Местонахождение. Полуостров Урюнг-Тумус, обн. 5, обр. 5б.

Возраст. Нижний бат, слои с *Morrisiceras*.

Распространение представителей рода *Morrisiceras* ограничивается зоной *Tulites* батских отложений Западной Европы.

*Morrisiceras sibiricum* Voronetz

Табл. XV, фиг. 2а, б, в

1957. *Morrisiceras sibiricum* Воронец. Первые находки *Morrisiceras* и *Xenocephalites* на севере Сибири, стр. 22, табл. I, фиг. 1а, б, в, г.

Материал. Один экземпляр (колл. Е. С. Ершовой).

Описание. Небольшая раковина с сильно объемлющими оборотами, с полукруглым, немного сжатым с вентральной стороны поперечным сечением; наибольшая толщина оборота в нижней его трети. Высота внутреннего (предыдущего) оборота меньше толщины; высота последнего оборота близ жилой камеры немного превышает его толщину. Пупок очень узкий, глубокий. Стенки пупка обрывистые, покрыты линиями нарастания. Пупковый перегиб закругленный.

На внутреннем обороте сразу после перегиба начинаются тонкие валикообразные ребра, сильно наклоненные вперед. По направлению к внешней стороне они сильно утолщаются. Наибольшей толщины ребра достигают при переходе через внешнюю сторону, где они образуют изгиб, обращенный выпуклостью вперед. На внутренних оборотах некоторые ребра раздваиваются близ перегиба: на половину обо-

рота приходится 7 раздвоенных, 2 одиночных и 2 вставных ребра. На паружном обороте все внутренние ребра сглажены, и эта часть раковины несет только линии нарастания. На внешней стороне оборота ребра остаются резкими. При приближении к жилой камере ребра постепенно начинают сглаживаться, но не до полного угасания. На внешней стороне последнего полуоборота число ребер—17. Жилая камера сохранилась частично.

Лопастная линия сильно рассечена (рис. 8). Сифональная лопасть длинная и довольно широкая. Первая боковая лопасть почти одинаковой длины с сифональной, широкая и трехконечная. Вторая боковая лопасть значительно меньше первой, неширокая, трехконечная. Высота седел равномерно убывает к пупку; внешнее седло трехраздельное,

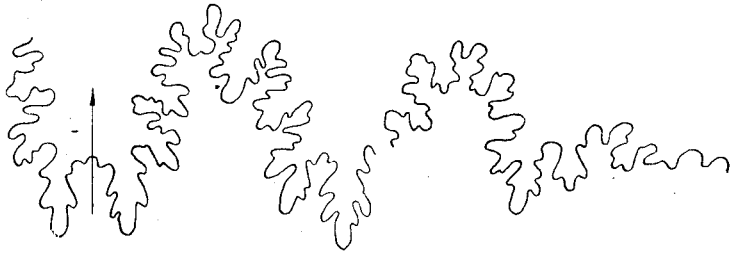


Рис. 8. Лопастная линия *Morrisiceras sibiricum* Voronetz при диаметре раковины 33 мм (×2).

широкое; первое боковое седло немного ниже, но значительно уже внешнего; второе боковое седло двураздельное.

Размеры (в мм)

	У конца внешнего оборота	Внутрен- него слепка
Диаметр раковины . . . . .	41(100)	26(100)
Высота оборота . . . . .	22,5(55)	13,5(52)
Толщина оборота . . . . .	21(51)	14,5(56)
Диаметр пупка . . . . .	5,5(1,2)	?

Сравнение. От *Morrisiceras lapinskajae* Voronetz (см. стр. 30) описываемый вид отличается большим размером раковины, более высоким последним оборотом, более наклоненными вперед и грубыми ребрами и иной лопастной линией (вторая боковая лопасть значительно уже, седла более узкие и стройные; второе боковое седло выше других).

От *Morrisiceras morrisoni* (Oppel) (1856—1858, стр. 478) = *Macrocephalites macrocephalites* var. Morris et Lycett (1850—1852) рассматриваемый вид отличается малым размером раковины, более узкими ребрами и лопастной линией с более низким вторым боковым седлом.

Местонахождение. Полуостров Урюнг-Тумус, обн. 5, обр. 5г.

Возраст. Нижний бат, слои с *Morrisiceras*.

Распространение рода *Morrisiceras*—см. стр. 31.

#### Род *Cranocephalites* Spath, 1932

Тип рода—*Cranocephalites vulgaris* Spath

*Cranocephalites vulgaris* Spath

Табл. IV, фиг. 1а, б, в; табл. V, фиг. 1а, б; табл. VII, фиг. 1а, б; табл. X, фиг. 1а, б; табл. XXII, фиг. 2а, б

1932. *Cranocephalites vulgaris* Spath. The invertebrate Faunas of the Bathonian-Calloviaian Deposits of Jameson Land (East Greenland), стр. 20, табл. I, фиг. 2—4, б; табл. IV, фиг. 3а, б; табл. X, фиг. 3а, б.

Материал. Восемь экземпляров (колл. Е. С. Ершовой и Э. В. Апсит).

Описание. Раковина объемлющая. В молодом возрасте, примерно при диаметре до 40 мм, высота оборота превосходит толщину; с возрастом толщина увеличивается и становится больше высоты. Сифональная часть несколько уплощена. Пупок глубокий и узкий, у начала жилой камеры он расширяется. Стенка закругленная. Ребра на боковой поверхности наклоняются вперед, резкие, острые в молодом возрасте, при приближении к жилой камере притупляются; ниже середины оборота делятся на две ветви. Среди них наблюдаются вставные ребра. На сифональной стороне все ребра сглаживаются.

Значительно расчлененная лопастная линия наблюдается на двух экземплярах. На более молодом сифональная лопасть длинная. Первая боковая лопасть трехконечная, одинаковой длины с сифональной; вторая боковая лопасть одноконечная, маленькая, гораздо короче первой. Седла понижаются по направлению к пупку. Внешнее седло умеренно широкое; первое боковое седло двураздельное, неширокое; второе боковое седло ниже первого. У взрослого экземпляра внешнее седло и первое боковое седло почти одинаковой высоты.

Имеется экземпляр (табл. IV, фиг. 1), у которого после повреждения, выраженного глубоким и широким пережимом, первая и вторая боковые лопасти приобретают явное двураздельное окончание на обеих боковых сторонах.

#### Размеры (в мм)

	Обр. 5г <sub>2</sub> (табл. XXII, фиг. 2)	Обр. 5г <sub>3</sub> (табл. IV, фиг. 1)	Обр. 5г, (табл. X, фиг. 1)	Обр. 240, (табл. V, фиг. 1)
Диаметр раковины . . . . .	43(100)	56(100)	55,5(100)	67(100)
Высота оборота . . . . .	21,53(49)	28(50)	27,5(50)	35,5(50)
Толщина оборота . . . . .	23,25(53)	29(51)	29(52)	36,5(54)
Диаметр пупка . . . . .	3,5(8)	7,5(11)	5(9)	8,5(12)

Сравнение. Описываемые экземпляры очень похожи на гренландские: больший экземпляр (табл. V, фиг. 1) сходен с изображенным на табл. IV, фиг. 3 (Spath, 1932), а меньший (табл. X, фиг. 1) — с изображенным на табл. X, фиг. 3 (там же). Наши экземпляры отличаются только более расширенной верхней боковой лопастью.

Местонахождение. Полуостров Урюнг-Тумус, обн. 5, обр. 5г<sub>2</sub>, 5г<sub>3</sub>, 5з<sub>2</sub>; р. Лена, обр. 5062; Новая Земля, обр. 240 (валун).

Возраст. Нижний бат.

Распространение. Нижний бат бассейна р. Лены, Новой Земли, Гренландии.

#### *Cranosephalites pompeckji* (Madsen)

Табл. VII, фиг. 1а, б; табл. XXIII, фиг. 3

1909. *Macrocephalites pompeckji* Madsen. On Jurassice Fossils from East Greenland, стр. 189, табл. VIII, фиг. 5 и 6.

1913. *Macrocephalites pompeckji* Соколов. Окаменелости из валунов на Новой Земле, стр. 61, табл. 1, фиг. 2 (non 1).

1932. *Cranosephalites pompeckji* Spath. The Invertebrate Faunas of the Bathonian-Callovian Deposits of Jameson Land (East Greenland), стр. 16, табл. III, фиг. 3; табл. IX, фиг. 8—10; табл. V, фиг. 3, 6—8; табл. IX, фиг. 4; табл. XIII, фиг. 1а, б.

Материал. Пять экземпляров (колл. Е. С. Ершовой).

Описание. Раковина инволютная, с оборотами, несколько вытянутыми в высоту, уплощенными на боках и с довольно круто закруг-

ленной сифональной стороной. Пупок довольно узкий до значительно узкого, глубокий, расширяющийся к устью. Пупковый перегиб крутой. Жилая камера занимает три четверти оборота. Устье простое (обр. 2в). Обороты покрыты резкими ребрами, направленными на стенках пупка немного назад; после перегиба они отклоняются несколько вперед и прямо переходят через сифональную сторону. На середине боковой поверхности оборота ребра разделяются на две (редко на три)-ветви, между которыми встречаются вставные ребра. Кроме того, на наружной стороне ядра наблюдается 4—5 не очень глубоких пережимов. На жилой камере ребра расширяются, несколько сглаживаются и на сифональной стороне затухают. Лопастная линия сохранилась частично, перед жилой камерой.

Размеры (в мм)

	Обр. 2в <sub>1</sub>		Обр. 3е (табл. VII, фиг. 1)	
Диаметр раковины . . . . .	78,25(100)	65(100)	70(100)	56(100)
Высота оборота . . . . .	34,50(45)	34(52)	32(46)	28,25(50)
Толщина оборота . . . . .	?	—	31,5(45)	28,25(50)
Диаметр пупка . . . . .	17(21)	8,25(13)	14,50(20)	7,50(11)

Сравнение. Описываемые экземпляры совершенно похожи на *Cranoecephalites pompeckji* (Madson) и на один из экземпляров, описанных Д. Н. Соколовым из валунов Новой Земли. Лопастная линия наших экземпляров не соответствует изображенной Д. Н. Соколовым (1913, стр. 62, рис. 1а, б); она тоже является одной из последних перед жилой камерой, но гораздо более рассечена и близка к изображению, данному Л. Спэтом (1932, табл. III, фиг. 5), хотя лопасти ее несколько укорочены.

Местонахождение. Полуостров Урюнг-Тумус, обн. 2, обр. 2в (два экземпляра); обн. 3, обр. 3е (два экземпляра); обн. 5, обр. 5и.

Возраст. Нижний бат.

Распространение. Нижний бат бассейна р. Лены, Новой Земли, Гренландии.

*Cranoecephalites pompeckji* var. *laevis* Spath

Табл. VI, фиг. 2

1932. *Cranoecephalites pompeckji* var. *laevis* Spath. The Invertebrate Faunas of the Bathonian-Callovia Deposits of Jameson Land (East Greenland), стр. 18, табл. VI, фиг. 2.

Материал. Три экземпляра (колл. Е. С. Ершовой).

Описание. Раковина инволютная. Толщина превосходит высоту. Пупок при диаметре 82 мм довольно узкий, глубокий, расширяющийся к устью (эксцентричный). Стенки крутые. Жилая камера занимает немного больше трех четвертей оборота. Устье простое. Раковина на внутренних оборотах покрыта очень резкими, слабо изгибающимися ребрами; на пупковой стенке они направлены немного назад и приобретают почти радиальное направление на боковой поверхности; далее переходят прямо через сифональную сторону. На последней половине оборота на пупковой стенке ребра сглажены — они начинаются только на перегибе и слабо наклонены вперед. Внутренние ребра разделяются надвое ниже середины оборота; кроме того, имеются вставные ребра одинакового размера с внешними. На жилой камере внутренние ребра сильно возвышаются, тогда как внешние понижаются и расширяются; на сифональной стороне они сглаживаются,

но не до полного исчезновения. Ребра на одной боковой поверхности несколько смещены относительно ребер на другой. Близ устья на брюшной стороне наблюдается слабое восстановление ребер. На полном обороте число внутренних ребер 17, внешних — 40. Местами сохранилась раковина. Близ начала жилой камеры наблюдается несколько неполных лопастных линий, которые, несмотря на некоторые признаки упрощения, хорошо рассечены. Изображенная лопастная линия (рис. 9) — самая последняя перед жилой камерой.

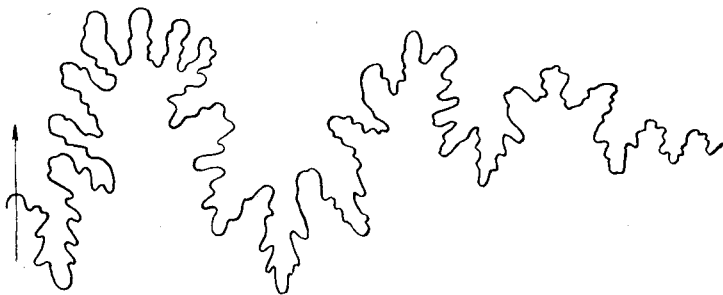


Рис. 9. Лопастная линия *Cranocephalites pompeckji* var. *laevis* Spath при диаметре раковины 64,9 мм (×2).

Размеры (в мм)

	Обр. 2г	Обр. 26—г
Диаметр раковины . . . . .	82(100)	62(100)
Высота оборота . . . . .	33(40)	27,25(44)
Толщина оборота . . . . .	?	29(47)
Диаметр пупка . . . . .	21(25)	15(24)

Сравнение. Описываемый вариант отличается от типичных *Cranocephalites pompeckji* Madsen (1909, стр. 189, табл. VIII, фиг. 5 и 6) сглаженностью ребер на жилой камере.

Наш экземпляр по сглаженности ребер на жилой камере совершенно похож на гренландскую форму, указанную в синонимике, но отличается от нее несколько меньшим числом ребер. Лопастную линию Л. Спэт не изображает, отмечая только, что она почти так же сложна, как у *C. vulgaris* Spath (l. c., табл. III, фиг. 5), но имеет поднимающиеся лопасти, как у *C. pompeckji* var. *rostrica* Spath (1932, табл. IV, фиг. 8).

Местонахождение. Полуостров Урюнг-Тумус, обн. 2, обр. 2г; обн. 4, обр. 4б.

Возраст. Нижний бат.

Распространение. Батские отложения Гренландии.

*Cranocephalites pompeckji* var. *sublaevis* var. nov.

Табл. XII, фиг. 3

Материал. Три экземпляра (колл. Е. С. Ершовой).

Описание. Из-за неполноты экземпляра, несколько сдавленного, невозможно произвести измерения. Пупок глубокий и узкий в молодом возрасте, сильно расширяется по направлению к устью. Пупковая стенка обрывистая. Жилая камера занимает три четверти оборота. Сохранилась только нижняя слабо изогнутая часть устья. Резкие ребра на внутренних оборотах довольно острые и прямые, на жилой камере широкие и менее рельефные. Ниже середины оборота они разделяются на две ветви. На боковой поверхности жилой камеры они прекрасно сохраняются до самого устья, на сифональной — исче-

зают и появляются только близ устья, в виде сглаженных ребер. Лопастная линия плохо видна; первая лопасть оканчивается тремя веточками; первое и второе седла широкие.

Сравнение. Описываемый экземпляр отличается от *Cranocephalites pompeckji* Madsen (1909) широким пупком, более редкими, грубыми и прямыми ребрами и некоторой сглаженностью расширенных ребер на жилой камере.

От *C. pompeckji* var. *laevis* Spath (1932, стр. 16, табл. V, фиг. 3) отличается своей грубой и редкой ребристостью, сохранением ребер на жилой камере и лопастной линией с широкими седлами.

От *C. pompeckji* var. *costata* Spath (1932, табл. V, фиг. 6а) отличается более широким пупком, широкими ребрами и иной лопастной линией.

От *C. inversus* Spath (1932, табл. VI, фиг. 7а) описываемый вариант отличается гораздо менее вздутой формой раковины и более острыми ребрами.

Местонахождение. Полуостров Урюнг-Тумус, обн. 3, обр. 3з; обн. 4, обр. 4б.

Возраст. Нижний бат.

#### *Cranocephalites furcatus* Spath

Табл. IX, фиг. 1

1932. *Cranocephalites furcatus* Spath. The Invertebrate Faunas of the Bathonian-Callovian Deposits of Jameson Land (East Greenland), стр. 30, табл. VI, фиг. 1 и 2а, б.

Описание. Наружный оборот частично поврежден, и отношение толщины к высоте у его конца неизвестно. Но у начала жилой камеры толщина оборота значительно превосходит высоту, а при диа-



Рис. 10. Лопастная линия *Cranocephalites furcatus* Spath при диаметре раковины 52 мм ( $\times 2,5$ ).

метре раковины 48,5 мм толщина и высота оборота равны. Если принять имеющийся пережим у конца раковины за приустьевой, то жилая камера занимает пол-оборота; но надо помнить, что такие пережимы иногда наблюдаются не только перед устьем (Спэт, 1932, *C. pompeckji* var. *laevis* sp. nov.). Пупок глубокий, довольно узкий, расширяющийся к устью. Пупковая стенка закругленная; она гладкая на внешнем обороте и ребристая — на внутренних оборотах. Ребра резкие, изгибающиеся, раздваивающиеся ниже середины оборота; имеются вставные ребра. На жилой камере ребра хотя и расширяются, но четкие, мало сглаженные. На сифональной стороне (на сохранившейся части перед жилой камерой) наблюдается узкая полоска, покрытая сглаженными ребрами. На полуобороте внутренних ребер насчитывается 9, внешних — 24.

Лопастная линия, третья от жилой камеры (рис. 10), так же расчленена, как и более далеко отстоящие линии; она отличается широкими седлами, вершины которых лежат на линии радиуса.

Размеры (в мм)

	Наружного оборота	Внутренних оборотов	
Диаметр раковины . . . . .	78,5(100)	61,5(100)	48,5(100)
Высота оборота . . . . .	37,5(47)	32,5(52)	23(47)
Толщина оборота . . . . .	?	34(55)	23(47)
Диаметр пупка . . . . .	16,5(21)	6,5(10)	4,5(9)

Сравнение. Описываемый экземпляр очень похож на экземпляр, изображенный Л. Спэтом из батских отложений Восточной Гренландии.

Описываемый нами экземпляр отличается, по-видимому, несколько более толстыми оборотами.

Лопастная линия у гренландских экземпляров неизвестна.

Местонахождение. Полуостров Урюнг-Тумус, обн. 4, обр. 4б.

Возраст. Нижний бат.

Распространение. Батские отложения Гренландии.

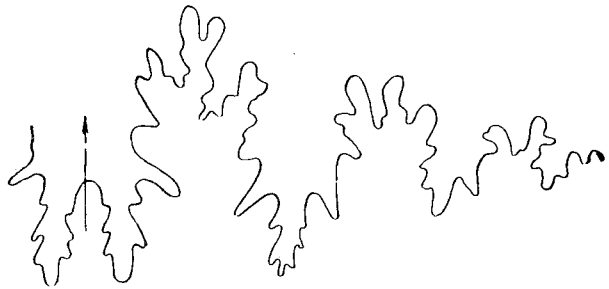


Рис. 11. Лопастная линия *Cranocephalites gracilis* Spath при диаметре раковины 44 мм (×4).

*Cranocephalites gracilis* Spath

Табл. V, фиг. 2а, б, в, г

1932. *Cranocephalites gracilis* Spath. The Invertebrate Faunas of the Bathonian-Callovian Deposits of Jameson Land (East Greenland), стр. 22, табл. III, фиг. 1а, б.

Материал. Один экземпляр (колл. Е. С. Ершовой).

Описание. Раковина сохранилась не полностью. Она инволютная. Близ устья обороты округлые; толщина превосходит высоту; на расстоянии полуоборота от устья толщина и высота оборота почти равны; боковые поверхности оборота при диаметре раковины 20,5 мм уплощены, и толщина равна высоте. Нижняя часть устья разрушена, но сохранившаяся его верхняя часть цельнокраяняя. Пупок глубокий, довольно узкий, расширяющийся к устью; пупковая стенка отвесная. При диаметре раковины 20,5 мм ребра тонкие, возвышенные, слабо извилистые, густо расположенные. На расстоянии трети высоты оборота от края пупка внутренние ребра приподнимаются, несколько заостряются и затем раздваиваются; кроме того, на половине оборота наблюдается одно вставное ребро. При этом диаметре сифональная лопасть длинная (рис. 11), немного несимметричная; первая боковая лопасть короче сифональной, трехконечная; вторая боковая — короткая, неправильно двухконечная. Внешнее седло трехраздельное; средняя часть его значительно выше двух других; первое боковое седло трехраздельное, постепенно спадающее в сторону пупка, значительно ниже первого бокового. Второе боковое седло двураздельное.

Ребра на жилой камере при диаметре раковины 78 мм сглаженные, почти радиальные, и, только приближаясь к устью, они постепенно приобретают наклон вперед. Ниже половины оборота они раздваиваются и с приближением к сифональной части сглаживаются; ребра правой и левой сторон соединяются между собой едва заметными полосками. Имеются вставные ребра. На половину оборота приходится 12 внутренних и 30 внешних ребер.

Размеры (в мм)

	Внешнего оборота	Внутреннего оборота
Диаметр раковины . . . . .	78(100)	20,5(100)
Высота оборота . . . . .	30(38)	11,75(50)
Толщина оборота . . . . .	36(46)	11,75(50)
Диаметр пупка . . . . .	19,5(25)	3,5(16)

Сравнение. Наш экземпляр очень похож на голотип *C. gracilis* Spath из батских отложений Восточной Гренландии. Отличается от него только несколько большей толщиной оборота близ устья.

От *C. gracilis* var. *ornata* Spath (1932, стр. 2, табл. II, фиг. 6a, b) из этого же местонахождения наш экземпляр отличается меньшей вздутостью оборотов и большей сглаженностью ребер. Замечание Л. Спэта, что густота ребристости на внутренних оборотах является характерной чертой для этого вида, подтверждается на нашем экземпляре. Лопастную линию Л. Спэт не изображает.

Местонахождение. Полуостров Урюнг-Тумус, обн. 2, обр. 26.

Возраст. Нижний бат.

Распространение. Батские отложения Гренландии.

*Cranoecephalites gracilis* var. *dissimularis* var. nov.

Табл. IV, фиг. 2a, б

Материал. Два экземпляра (колл. Е. С. Ершовой).

Описание. Раковина инволютная; толщина оборота превосходит высоту. Пупок довольно узкий, глубокий, с обрывистыми гладкими стенками на жилой камере. Ребра прямые, радиально расположенные



Рис. 12. Лопастная линия *Cranoecephalites gracilis* var. *dissimularis* var. nov. при диаметре раковины 43 мм (×3).

на перегородчатых оборотах; на жилой камере наклонены вперед. Ребра в нижней части оборота рельефные. На середине оборота они раздваиваются, здесь же появляются редкие вставные ребра. Внутренние ребра широкие и более возвышенные, чем периферические. Последние по направ-

лению к сифональной стороне постепенно ослабевают, а на сифональной поверхности сглаживаются. Но перед устьем последние четыре ребра на боковой поверхности опять становятся рельефными. На половине оборота можно насчитать внутренних ребер 10, внешних периферических 25. Жилая камера занимает почти три четверти оборота. Устье простое.

Лопастная линия (рис. 12) значительно рассечена. Сифональная лопасть длинная, чуть короче боковой; последняя — трехконечная, довольно широкая. Вторая боковая лопасть гораздо меньше первой, одноконечная. Внешнее седло очень высокое, значительно выше первого бокового, широкое, неправильно трехконечное. Второе боковое седло широкое, ниже первого, двураздельное.

Размеры (в мм)

	Обр. 3з (Внешний оборот)
Диаметр раковины . . . . .	55(100)
Высота оборота . . . . .	23(42)
Толщина оборота . . . . .	29,75(54)
Диаметр пупка . . . . .	13(23)



Сравнение. Сибирская разновидность отличается от голотипа *C. gracilis* Spath (1932, стр. 22, табл. III, фиг. 1а, б) из батских отложений Восточной Гренландии более толстыми внешними оборотами раковины, меньшим пупком, меньшим числом главных и вставных ребер и большей их сглаженностью на боковой поверхности оборота.

От *C. gracilis* var. *ornata* Spath (1932, стр. 22, табл. II, фиг. 6а, б) из тех же отложений Гренландии описываемые экземпляры отличаются более толстым и менее высоким последним оборотом раковины и гораздо более редкой ребристостью.

Для *C. gracilis* var. *rotunda* Spath (1932) автор не дает изображения, но указывает, что этот сорт имеет значительно бóльшую толщину (48% диаметра) и что ребристость на жилой камере почти пропадает и остаются только косые складки, как у *C. pompeckji* var. *laevis*. Наш сорт отличается от *C. gracilis* var. *rotunda* Spath отсутствием таких складок на жилой камере.

Местонахождение. Полуостров Урюнг-Тумус, обн. 3, обр. 3з; обн. 4, обр. 4г.

Возраст. Нижний бат.

*Cranocephalites nordvikensis* sp. nov.

Табл. IV, фиг. 3а, б; табл. VI, фиг. 1а, б; табл. XIII, фиг. 2а, б; 3а, б.

Материал. Шесть экземпляров (колл. Е. С. Ершовой).

Описание. Раковина при диаметре 5,75 мм (табл. XIII, фиг. 3а, б) сильно объемлющая. Обороты равномерно выпуклые, тол-

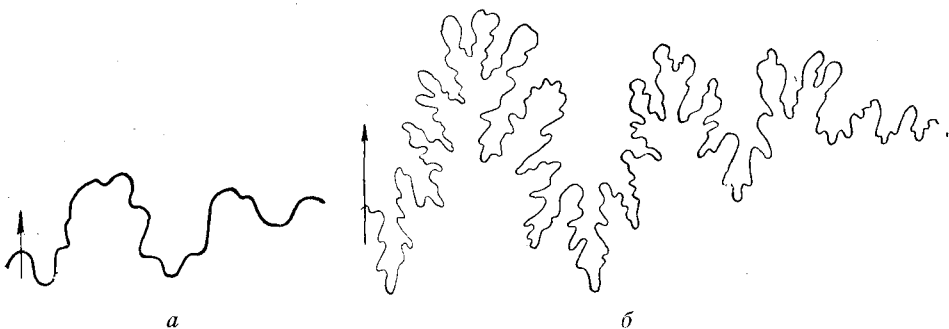


Рис. 13. Лопастная линия *Cranoecephalites nordvikensis* sp. nov.

а — на стадии развития нитевидных ребер ( $\times 14$ ); б — при диаметре раковины около 40 мм ( $\times 3$ ).

щина превосходит высоту. Пупок узкий, глубокий; пупковый перегиб закруглен. В начале оборота раковина покрыта изгибающимися линиями нарастания, среди которых выделяются более возвышенные, но тонкие ребра, у пупка соединенные по два. На внешней стороне они разделены между собой широкими расстояниями. К концу этого полуоборота на боковой поверхности у пупка на месте ребер и пучков линий нарастания образуются вздутия, которые постепенно развиваются во все более и более широкие и округлые ребра и после разветвления также переходят в широкие и закругленные ветви, промежутки между которыми становятся очень узкими — значительно уже ширины ребер. Ребра на этой стадии развития раковины имеют характер ребер рода *Morrisiceras*. Все ребра здесь раздваиваются ниже середины оборота. На половину оборота приходится 7 внутренних ребер и 14 внешних. Лопастная линия на стадии развития нитевидных ребер (рис. 13, а) очень проста.

При диаметре раковины 9 мм ребра становятся более узкими и высокими, тогда как промежутки между ними несколько расширяются. Число внутренних ребер на полуобороте 8, внешних — 16.

Сифональная и первая боковая лопасти одинаковой длины. Первая боковая — трехконечная; вторая боковая очень маленькая, тоже

трехконечная. Внешнее седло, вытянутое вверх, узкое. Первое и второе боковые седла двураздельные и ниже внешнего.

При диаметре раковины 18 мм ребра на ней становятся очень выступающими, заостренными, изгибающимися. Расстояние между ними немного превышает их ширину. Внутренние ребра у места разветвления сильно приподнимаются и заостряются. Все ребра разделены на две ветви. На половину оборота приходится 11 внутренних ребер и 22 внешних.

При диаметре раковины 40 мм высота оборота все еще меньше толщины. Ребра слабо изогнуты; расстояние между ними расширяется; пупковые ребра раздваиваются в нижней половине оборота;

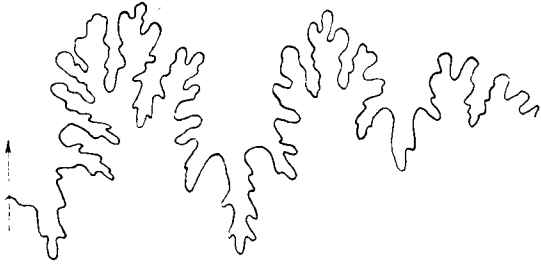


Рис. 14. Лопастная линия *Cranocephalites defonticeroides* sp. nov. при диаметре раковины 36 мм (×2).

в месте раздваивания ребра все еще приподняты и заострены. Между ребрами наблюдаются вставные, начинающиеся на уровне разветвления.

Лопастная линия сильно рассечена (рис. 13,б). Сифональная лопасть немного короче первой боковой. Первая боковая лопасть длинная, широкая, трехконечная. Вторая боковая лопасть небольшая, значительно ко-

роче первой, довольно широкая. Внешние седла широкие; двумя вспомогательными лопастями разделены на три части.

Раковина диаметром 82 мм (табл. VI, фиг. 1) сильно объемлющая. Высота у начала внешнего оборота равна его толщине. На жилой камере оборот начинает утолщаться и становится полого-выпуклым; высота превосходит толщину. Жилая камера занимает три четверти всего оборота. Устье цельнокрайное, простое; вентральная часть выдвинута немного вперед. Вдоль устья наблюдается небольшое вздутие. Пупок узкий, глубокий, сильно расширяющийся к устью. Стенки его крутые, закругленные.

Внутренние обороты покрыты изогнутыми грубыми ребрами; на стенке пупка они направлены назад, на боковой поверхности выпрямляются и принимают почти радиальное направление, переходя через вентральную сторону со слабым изгибом вперед. Ниже середины оборота они разделяются на две или три ветви; встречаются вставные ребра, доходящие до уровня мест разветвления. На жилой камере внутренние ребра сильно приподнимаются, в то время как внешние расширяются и, приближаясь к сифональной поверхности, постепенно сглаживаются. Число внутренних ребер на всем обороте 17, внешних—42. На жилой камере наблюдаются три пережима.

Предпоследняя лопастная линия перед жилой камерой довольно сильно рассечена. Сифональная лопасть не сохранилась. Первая боковая лопасть—довольно широкая сверху, имеет длинные лопастные дольки, особенно длинно ее среднее окончание. Вторая боковая лопасть очень узкая и короткая; окончание ее срезано седлом предыдущей лопастной линии. Все лопасти поднимаются к пупковому краю. Седла округлые и широкие.

К этому же виду мы относим обр. 2г. Он представляет собой молодую особь, у которой сохранилась жилая камера с цельнокрайним устьем; вдоль устья не наблюдается ясного пережима. Его скульптура очень резкая. Эта резкость сохраняется и на жилой камере. Только на сифональной стороне ребра сглаживаются, но не исчезают,

причем концы ребер правой стороны попадают в промежутки между концами ребер левой. Последние четыре ребра на вентральной стороне усиливаются и становятся опять резкими, концы их сливаются, и два последних ребра переходят через сифональную сторону, не прерываясь и почти не ослабевая. Такое восстановление ребер Л. Спэт (1932, стр. 22) отметил для *C. vulgaris*.

Размеры (в мм)

	Обр. 5г <sub>1</sub> Последовательные измерения	
	Диаметр раковины . . . . .	82(100)
Высота оборота . . . . .	37(45)	32,25(52)
Толщина оборота . . . . .	34,5(42)	31,5(51)
Диаметр пупка . . . . .	17,5(20)	8(13)

	Обр. 2г Последовательные измерения	
	Диаметр раковины . . . . .	40(100)
Высота оборота . . . . .	18,5(41)	2,5(43)
Толщина оборота . . . . .	20,5(51)	2,6(45)
Диаметр пупка . . . . .	17,5(12)	0,75(11)

	Обр. 2ж Последовательные измерения	
	Диаметр раковины . . . . .	18(100)
Высота оборота . . . . .	9(50)	4,5(50)
Толщина оборота . . . . .	10(55)	5,25(58)
Диаметр пупка . . . . .	2,25(11)	1,5(11)

Сравнение. Описываемый вид очень похож на «*Macrocephalites*» *potpeckji*, описанный Д. Н. Соколовым (1913) из валунов с Новой Земли. Отличается более узким пупком, восстановлением внешних ребер близ устья на наших экземплярах и лопастной линией.

От *Cranocephalites potpeckji* var. *laevis* Spath (1932, стр. 16, табл. V, фиг. 3) (стр. 34) описываемый вид отличается значительно меньшим пупком, более тонкими оборотами на жилой камере и высотой, превосходящей его толщину, сильными периферическими ребрами на боках оборотов, пропадающими только на сифональной части, но возобновляющимися близ устья. Кроме того, наиболее молодые обороты отличаются своей орнаментацией

Указание Л. Спэта (1932, стр. 18), что лопастная линия на незрелом экземпляре *C. potpeckji* var. *laevis* (табл. IX, фиг. 4) почти так же сложна, как изображенная на табл. III, фиг. 5, проверить не удалось ввиду отсутствия в его работе изображения лопастной линии меньшего экземпляра.

По сохранности внешних ребер на боковой поверхности жилой камеры описываемый вид несколько напоминает *C. potpeckji* var. *costata* Spath (1932, стр. 19, табл. V, фиг. 6а, б) (того же возраста и из тех же мест, что и предыдущий сорт), но отличается от него теми же особенностями, какие были приведены при сравнении с *Cranocephalites potpeckji* var. *laevis*.

Место нахождения. Полуостров Урюнг-Тумус, обн. 2, обр. 2г, 2о; обн. 5, обр. 5г, в одном слое с *Morrisiceras sibiricum* sp. nov.; обн. 5, обр. 5ж.

Возраст. Нижний бат, слой с *Morrisiceras*.

*Cranocephalites defonticeroides* sp. nov.

Табл. VIII, фиг. 2

Материал. Один экземпляр (колл. Е. С. Ершовой).

Описание. Экземпляр немного поврежден. Раковина инволютная. Толщина оборотов неизвестна. От жилой камеры сохранилась

небольшая ее часть. Устье неизвестно. Пупок узкий, глубокий, расширяющийся к устью. Стенка пупка закругленная, крутая.

Ребра начинаются от шва; они грубые, трехгранные; вначале они немного наклонены назад, а затем, перейдя перегиб, направляются почти радиально. На половине высоты оборота ребра разделяются на три части, так что 9 внутренних ребер на половине оборота соответ-

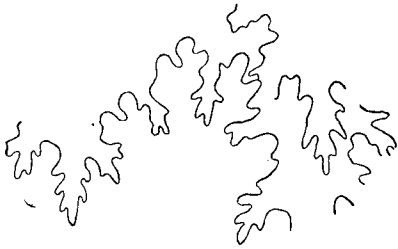


Рис. 15. Лопастная линия *Arctocephalites nudus* Spath перед жилой камерой (×2,5).

ствуют 29 внешним. Через сифональную часть переходят, не сглаживаясь. Промежутки между ребрами узкие и глубокие. На жилой камере, частично сохранившейся, внутренние ребра приобретают вид складок, внешние — сглаживаются.

Лопастная линия описываемого экземпляра имеет ту же особенность, что и лопастная линия *C. nordvikensis*: ее вторая боковая лопасть более широкая, чем у типичных *Cranocephalites* (см. рис. 14 на стр. 40).

#### Размеры (в мм)

Диаметр раковины . . . . .	56(100)
Высота оборота . . . . .	24(43)
Толщина оборота . . . . .	?
Диаметр пупка . . . . .	8(14)

Сравнение. По характеру ребристости описываемый вид напоминает представителей рода *Chondroceras* Maschke (1907), но *Chondroceras* отличается еще более широкой второй лопастью. От типичных *Cranocephalites* вид *C. defonticeroides* sp. nov. отличается почти исключительно трехветвистыми ребрами.

Местонахождение. Полуостров Урюнг-Тумус, обр. 5д.  
Возраст. Возможно, нижний бат.

#### Род *Arctocephalites* Spath, 1928

Тип рода — *Ammonites ishmae* var. *arcticus* Newton, 1897

#### *Arctocephalites nudus* Spath

Табл. VIII, фиг. 3

1932. *Arctocephalites nudus* Spath. The Invertebrate Faunas of the Bathonian-Callovian Deposits of Jameson Land (East Greenland), стр. 35, табл. IX, фиг. 3а, б; табл. XI, фиг. 1а, б; 7а, б; табл. XII, фиг. 4а, б; табл. XV, фиг. 2а, б.

Материал. Два экземпляра (колл. Е. С. Ершовой).

Описание. Раковина подверглась давлению с боков; по линии сифона сломана. Раковина сильно объемлющая, с округлыми боковыми поверхностями. Три четверти наружного оборота занято жилой камерой; остальная часть перегородчатая. Пупок очень маленький (6:70), к устью расширяющийся. Стенки пупка гладкие и отвесные; пупковый перегиб закругленный. Раковина покрыта линиями нарастания. Внутренние ребра совершенно сглажены; внешние очень слабо намечаются на перегородчатой части и затем близ устья. При рассмотрении отбитого наружного оборота удалось увидеть, что сглаживание ребер наблюдается на раковине при ее диаметре 50 мм. Ребра разделяются ниже середины боковой поверхности.

Лопастная линия (рис. 15), одна из последних имеет неполную сохранность, значительно рассечена; первая боковая лопасть длинная, трехконечная; вторая — значительно короче первой, тоже трехконечная. Первое боковое седло разделено на три части.

Сравнение. По скульптуре, начинающейся от припупковой части и быстро сглаживающейся при сравнительно небольшом диаметре раковины, описываемый экземпляр может быть отнесен к *Arctocephalites nudus* Spath; особенно наш экземпляр сходен с гренландским (см. табл. XI, фиг. 1), отличаясь лишь несколько меньшей изрезанностью лопастных линий. Близкие формы — *A. arcticus* Newton (1897, стр. 500, табл. XI, фиг. 1, 1а; 2, 2а; 3) и *A. koettlitzii* Potresckj (1893—1896, табл. 11, фиг. 12а—с) представлены ребристыми оборотами; от этих форм наш экземпляр отличается менее четкой скульптурой и лопастью линией (Spath, 1932, табл. III, фиг. 7) с широкими лопастями и седлами.

Местонахождение. Полуостров Урюнг-Тумус, обн. 2, обр. 2г.

Возраст. Бат.

Распространение. Батские отложения Гренландии.

*Arctocephalites* aff. *ellipticus* Spath

Табл. XI, фиг. 2а, б, в; табл. XXII, фиг. 4

Материал. Два образца (колл. Е. С. Ершовой и Т. М. Емельянцева).

Описание. Большая часть жилой камеры и устье раковины не сохранились. Раковина инволютная, по-видимому, имела около 60 мм в диаметре; высота перегородчатых оборотов равна их толщине; боковые поверхности уплощены. Боковая поверхность жилой камеры также уплощена. Пупок очень узкий, глубокий, с отвесной стенкой. Ребра слабо изгибающиеся, на пупковой стенке отклоняющиеся назад, а на боковых поверхностях и далее (при приближении к наружной стороне) — отклоняются вперед. Ниже половины высоты оборота, но не на равном уровне, они разделяются на две ветви, редко на три (3 ребра на обороте). Имеется много вставных ребер, так что на половину оборота приходится 11 внутренних ребер и 33 наружных. На части сохранившейся жилой камеры наблюдаются слабые линии нарастания и очень слабые полосы.

Лопастная линия сильно рассечена и несколько своеобразна. При диаметре раковины 35 мм сифональная лопасть немного несимметрична. Первая боковая лопасть одинаковой длины с сифональной, широкая и неправильно двуконечная. Вторая боковая лопасть широкая, очень короткая, трехконечная. Внешнее седло, а также первое боковое седло вспомогательными лопастями разделены на три неравные части и расположены на разной высоте: внешнее седло выше первого бокового; второе боковое седло очень низкое и двураздельное, почти симметричное.

Лопастные линии перед жилой камерой сближены; они имеют несколько иной вид: вторая боковая лопасть очень широкая, а второе боковое седло широкое и очень несимметричное.

Размеры (в мм)

Диаметр раковины . . . . .	39,25(100)
Высота оборота . . . . .	20,25(51)
Толщина оборота . . . . .	20,25(51)
Диаметр пупка . . . . .	9(7)

Сравнение. Описываемый экземпляр напоминает *A. ellipticus* Spath (1932, стр. 33, табл. XIII, фиг. 6а, б) из батских отложений Гренландии; он отличается меньшим пупком, меньшим количеством внутренних и наружных ребер и большим числом вставных ребер.

Местонахождение. Анабарская губа, обн. 22, обр. 22г; полуостров Урюнг-Тумус, обн. 5, обр. 5г<sub>2</sub>.

Возраст. Верхний бат, выше слоев с *Morrisiceras*.  
Распространение *Arctocephalites ellipticus* Spath. Батские отложения Гренландии.

*Arctocephalites* sp. indet. (aff. *elegans* Spath)

Табл. X, фиг. 3

Материал. Один экземпляр (колл. И. Г. Николаева).

Описание. Раковина небольшая, сдавленная с боков; обороты инволютные. Раковина заканчивается жилой камерой, покрытой только линиями нарастания. Устье простое, вдоль устья пережим. Перед гладкой стадией раковина покрыта тонкими ребрами, направленными вперед. Внутренние ребра, не доходя до середины боковой поверхности, раздваиваются. Пупок очень узкий и глубокий. Лопастная линия неизвестна.

Сравнение. По орнаментации описываемый образец очень сходен с *Arctocephalites elegans* Spath (1932, стр. 37, табл. X, фиг. 4a) из бата Восточной Гренландии.

Местонахождение. Река Эбетем, обр. 8.

Возраст. Верхний бат.

Распространение *Arctocephalites elegans* Spath. Батские отложения Гренландии.

*Arctocephalites kigilakhensis* sp. nov.

Табл. IX, фиг. 2a, б

Материал. Один экземпляр (колл. И. М. Мигая).

Описание. Раковина инволютная; высота оборота сильно превосходит толщину. Жилая камера занимает три четверти последнего оборота. Часть сохранившегося края устья простая, с несколько вытянутой вперед нижней частью. Вдоль устья на ядре имеется глубокий пережим, которому на раковине соответствует очень слабое понижение. Пупок очень узкий, глубокий, но при приближении к устью немного расширяется. Стенки его круто покаты. Внутренние обороты покрыты изгибающимися ребрами. От шва они сильно отклонены назад, затем, плавно изгибаясь, направляются вперед и на сифональной стороне образуют изгиб с выпуклостью, направленной вперед. На боковой поверхности они разделяются. Сглаживание ребер начинается перед жилой камерой с наружной стороны раковины. Внутренние ребра сначала остаются резкими, затем постепенно сглаживаются, и на жилой камере наблюдаются только линии нарастания и очень редкие широкие полоски, которые на последней четверти жилой камеры становятся более ясными и напоминают ребра. Лопастная линия неизвестна.

Размеры (в мм)

Диаметр раковины . . . . .	93(100)	76(100)
Высота оборота . . . . .	48,5(52)	42(51)
Толщина оборота . . . . .	42,25(45)	33,5(44)
Диаметр пупка . . . . .	9,5(10)	5(6)

Сравнение. По форме раковины с относительно высокими оборотами описываемый вид напоминает *Arctocephalites groenlandicus* Spath (1932, стр. 34, табл. IX, фиг. 1a, b; табл. X, фиг. 1a, b) из батских отложений Восточной Гренландии; отличается главным образом сильно изгибающимися ребрами на внутренних оборотах, а также большим наклоном вперед полос и восстановленных ребер на жилой камере. От *A. arcticus* Newton (in Spath, l. c., табл. XII, фиг. 2) из

батских отложений Земли Франца-Иосифа описываемый вид отличается еще и высокими оборотами раковины.

Местонахождение. Нижнее течение р. Лены, обр. 593 г.

Возраст. Верхний бат.

Род *Xenocephalites* Spath, 1928

Тип рода — *Macrocephalites neuquensis* Stehn, 1923

*Xenocephalites kononovae* Voronetz

Табл. IX, фиг. 3

1957. *Xenocephalites kononovae* Воронец. Находки *Morrisiceras* и *Xenocephalites* на севере Сибири, стр. 22, табл. I, фиг. 3а, б, в.

Материал. Один экземпляр (колл. Е. А. Кононовой).

Описание. Небольшой, очень involutory экземпляр, имеющий около 35 мм в диаметре; истинная толщина и высота оборотов

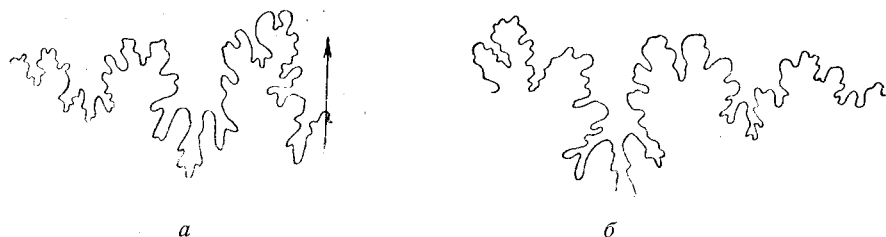


Рис. 16а, б. Лопастные линии *Xenocephalites kononovae* Voronetz при диаметре раковины около 27 мм (×3).

неизвестны ввиду того, что объект подвергся боковому давлению. Но все же можно предполагать, что высота внутренних оборотов была почти равна толщине, тогда как при приближении к жилой камере обороты были вытянуты в высоту. Жилая камера, судя по отпечатку ее пупкового края, занимала около трех четвертей оборота. Устье неизвестно. Пупок узкий (3,5 мм), довольно глубокий, расширяющийся к устью. Стенка пупка на внутренних оборотах закругленно-обрывистая, при приближении к жилой камере — обрывистая.

На последнем обороте заметны два неглубоких пережима. На молодых оборотах ребра отходят от шовной линии; они грубые, утолщающиеся по направлению к внешней стороне. Изгибаясь, ребра направляются от шва немного назад, а на боковых поверхностях поворачиваются сначала вперед, а затем выпрямляются и через сифональную часть переходят со слабым изгибом, обращенным выпуклостью вперед. Почти все ребра раздваиваются близ пупка и в месте разветвления сильно приподнимаются. С возрастом место разветвления удаляется от пупкового края, а затем внутренние ребра несколько сглаживаются. На более раннем обороте можно насчитать 9 ребер, из них 8 раздвоенных. Соответственно на сифональной стороне можно насчитать 18 ребер, из них одно вставное, не достигающее до пупкового края. При приближении к жилой камере внутренние ребра сильно сглажены, но всегда видны, а внешние расширяются и слабо сглаживаются. Форма ребер своеобразная: они круто падают в направлении к устью и полого — в противоположную сторону.

Лопастная линия (рис. 16,а—б) на расстоянии трех четвертей оборота от жилой камеры довольно сильно расчленена. На этой стадии развития раковины сифональная лопасть короткая; первая боковая лопасть трехконечная, длиннее сифональной; вторая боковая лопасть значительно короче первой, тоже трехраздельная. Внешнее седло узкое, глубокой вспомогательной лопастью разделено на две неравные части; первое боковое седло ниже внешнего и симметрично делится

на две части; второе боковое седло небольшое. Последние 6 лопастных линий перед жилой камерой более разветвлены и сильно сближены между собой. Здесь первая боковая лопасть более узкая; у второй — веточка, расположенная ближе к пупку, отделяется от двух других более широким вспомогательным седлом, благодаря чему рисунок второй боковой лопасти сильно напоминает вторую боковую лопасть *Morrisiceras lapinskae* sp. nov. Первая вспомогательная лопасть двураздельная. Седла более широкие.

Сравнение. *Xenocephalites kononovae* Voronetz отличается от *X. borealis* Spath (1932, стр. 44, табл. XIV, фиг. 4a—d), происходящего из слоев с *Cranoccephalites pompeckji* (Madsen) Восточной Гренландии, пережимами на последнем обороте, большим числом ребер, с возвышением их в местах разветвления и гораздо более узкими седлами лопастной линии. Л. Спэт (1932, стр. 45) считал, что *Xenocephalites neuquensis* (Steh n) (1924, стр. 86, табл. 1, фиг. 3) из Южной Америки обнаруживает сходную ребристость с *Xenocephalites borealis*, но трудности при сравнении этих двух видов он усматривал в том, что первый представлен жилой камерой, а второй — оборотом с перегородками. Орнаментация нашего экземпляра на части оборота перед жилой камерой в сравнении с ребристостью *Xenocephalites neuquensis* (Steh n) сильно отличается сглаженностью и гораздо большей густотой ребер. Пупок у *X. neuquensis* (Steh n), так же как и у описанного экземпляра, расширяется (в направлении) к устью.

От других представителей рода *Xenocephalites* [*X. parvus* (Steh n), *X. parvus* var. *angustumbilicata* (Steh n), *X. neuquensis* (Steh n) из Южной Америки и *X. hebertus* Imlay, *X. vicarius* Imlay и *X. hartsocki* Imlay (1953) из Аляски] наш вид отличается ребрами, разделяющимися близ пупка.

Местонахождение. Жиганский район, мыс Кыстытым, обр. 5144a.

Возраст. Бат(?), келловей(?).

Распространение *Xenocephalites*. Бат(?) Гренландии, келловей Америки.

## Семейство *Cardioceratidae* H. Douvillé, 1890

Род *Arcticoceras* Spath, 1924

Тип рода — *Ammonites ishmae* Keyserling, 1846

*Arcticoceras excentricum* sp. nov.

Табл. X, фиг. 4; табл. XIV

Материал. Шесть экземпляров (колл. Е. С. Ершовой и Т. М. Емельянцева).

Описание. Раковины сдавлены в боковом направлении, что препятствует установлению их истинных размеров. Однако облик очень узкого, глубокого пупка, резких заостренных ребер, раздваивающихся в средней части боковой поверхности, и общий габитус не вызывают сомнений в принадлежности этих раковин к данному роду. Пупок эксцентричный, стенка отвесная. Жилая камера занимает немного более двух третей оборота. Внутренние ребра немного изгибаются и направлены вперед, тогда как внешние слабо наклонены и без изгиба вперед переходят через сифональную сторону. При переходе от перегородчатой части раковины к жилой камере ребра очень быстро исчезают, начиная с внешней стороны; вся жилая камера гладкая, и только близ устья наблюдается широкий пережим.

Сравнение. Описываемый вид несколько напоминает *Arcticoceras ishmae* Keyserling (1846), но отличается широким пупком



и почти прямым направлением ребер. Теми же признаками он отличается и от *A. ishmae*, описанного Ф. Мадсенем (1909, стр. 191, табл. XIII, фиг. 7—9). От *A. kochi* Sprath (1932, стр. 53, табл. XII, фиг. 1a—c; табл. XIII, фиг. 4 и 5; табл. XIV, фиг. 1; табл. XV, фиг. 1) отличается широким и эксцентричным пупком, иным направлением ребер и отсутствием восстановленных ребер близ устья.

Местонахождение. Полуостров Урюнг-Тумус, обр. 2г; р. Хатыстах — левый приток р. Лены, обр. 63/3а и 69/3а.

Возраст. Вероятно, нижний келловей.

Род *Cadoceras* Fischer, 1882

Тип рода — *Ammonites sublaevis* Sowerby, 1814

*Cadoceras* cf. *elatmae* (Nikitin)

Табл. XII, фиг. 1a, б; 2a, б; табл. XXVI, фиг. 1a, б

Материал. Девятнадцать образцов (колл. Е. С. Ершовой и Т. М. Емельянцева).

Описание. Неоднократно хорошо описанный и изображенный [Nikitin, 1881, стр. 34, табл. (IV) XI, фиг. 20—23; 1885, табл. (VIII) X, фиг. 47; Бодылевский, 1925, стр. 62, табл. IV и V], этот вид не нуждается в повторном описании. Поэтому мы приводим только изображение некоторых из наших образцов, а также их размеры.

Размеры (в мм)

	Обр. 11a <sub>12</sub>				Обр. 734	
Диаметр раковины . . . . .	85(100)	73(100)	57(100)	32(100)	21(100)	84(100)
Высота оборота . . . . .	32(37)	32(44)	21(37)	14(44)	8,5(40)	33(39)
Толщина оборота . . . . .	58(71)	44(61)	33(69)	14,5(45)	8(38)	58(69)
Диаметр пупка . . . . .	27(31)	24(31)	18(30)	9(28)	5,24	23(27)

Сравнение. Наши экземпляры сходны с *Cadoceras elatmae* (Nikitin, 1885); отличаются лишь тем, что у наших экземпляров на середине жилой камеры имеется участок, на котором бугорки сглаживаются, но затем близ устья они снова становятся отчетливыми.

*Cadoceras elatmae* Nik. из коллекции Э. В. Толля с р. Анабар А. П. Павлов отнес к одному из вариантов этого вида, который обладает неширокой и плоской внешней стороной, что сближает его с *C. frearsi* d'Orbigny (1842), и меньшим числом бугорков.

Местонахождение. Анабарская губа, обн. 11, обр. 11a<sub>12</sub>; мыс Чекуровский, обр. 734.

Возраст. Нижний келловей.

Распространение. Нижний келловей бассейна р. Вятки, Рязанской области, Верхнего, Среднего и Нижнего Поволжья; бассейна р. Печоры, Мезенско-Вычегодского водораздела, бассейна р. Сысолы, бассейна р. Лены, острова Гукера, Прикаспийской депрессии, Днепровско-Донецкой впадины, Северного Кавказа, Франции и Англии.

*Cadoceras ognevi* Bodylevsky

Табл. XXIII, фиг. 2

1933. *Cadoceras elatmae* Огнев. Верхнеюрские окаменелости с острова Гукера, Земля Франца-Иосифа, стр. 225, табл. IV, фиг. 3 и 4 (non Caet.).

1960. *Cadoceras (Catacadoceras) ognevi* Бодылевский. Келловейские аммониты севера Сибири, стр. 57.

Материал. Шесть неполных экземпляров (колл. Е. С. Ершовой и Т. М. Емельянцева).

Описание. Раковина средней толщины; наружный оборот прикрывает четверть предыдущего. Нарастание оборотов очень постепенное. Поперечный разрез оборотов овальный. Толщина оборота при диаметре раковины 30 мм равна его высоте, затем превышает ее. Пупок широкий и мелкий у молодых особей, с возрастом несколько углубляется (судя по имеющимся обломкам взрослого экземпляра). Стенка пупка закругленная; пупковый перегиб плавно закруглен. Ребра у молодого экземпляра очень тонкие, заостренные и высокие, с возрастом у основания расширяются, оставаясь заостренными. От шва они сначала направлены назад, а затем вперед; через сифональную сторону переходят без изгиба. От шва ребра постепенно увеличиваются в высоту; перейдя середину боковой поверхности оборота, они достигают максимума высоты и приобретают вид очень узких, острых хребтиков (продолговатых бугорков). Здесь ребра раздваиваются двумя способами. Иногда переднее внешнее ребро является непосредственным продолжением внутреннего и, не прерываясь, переходит на сифональную сторону; от места наибольшего его вздутия отходит второе внешнее ребро; вначале оно очень низкое, но скоро достигает одинаковой мощности с первым и также, не прерываясь, переходит на сифональную сторону. Другие ребра разветвляются иначе: внутреннее ребро, достигнув наибольшей высоты, заканчивается, а по бокам его, слабо с ним соединяясь, появляются два внешних. Иногда наблюдается разделение ребра на три ветви, и тогда среднее из внешних ребер является непосредственным продолжением внутреннего, а два других ребра присоединяются к нему своими нижними концами.

Закономерность в распределении ребер установить не удалось. На сохранившейся части жилой камеры ребра на стенке пупка сглажены и начинаются от перегиба; на боковых и сифональной сторонах они становятся очень грубыми и делятся по типу ребер на перегородочных оборотах. Ребра одной стороны оборота соединяются с ребрами другой стороны зигзагообразно.

Лопастная линия сохранилась неполностью, — недалеко от жилой камеры, и плохо видна. Первая боковая лопасть трехконечная, по-видимому, одинаковой длины с сифональной; вторая боковая лопасть значительно меньше первой; внешнее седло широкое, неравномерно разделенное на две части; первое боковое седло широкое, ниже внешнего.

#### Размеры (в мм)

Диаметр раковины . . . . .	45(100)
Высота оборота . . . . .	15(33)
Толщина оборота . . . . .	19,5(43)
Диаметр пупка . . . . .	16(35)

Сравнение. От *Cadoceras elatmae* Ognev отличается несколько более постепенным нарастанием раковины. Он также не идентичен форме *C. elatmae* (Nik.); от последнего вида, так же как и упомянутый выше экземпляр с острова Гукера, отличается более медленным нарастанием оборотов, более широким пупком и характером раздвоения ребер. Широким пупком описываемый экземпляр отличается и от *Cadoceras subcalyx* sp. nov. (см. стр. 51—52). От других видов *Cadoceras* наши образцы отличаются скульптурой (В. И. Бодылевский назвал этот вид *Cadoceras ognevi*). Часть ребер вильчато разветвляется, напоминая ветвление ребер *Normannites*. Это заставляет нас оставить под вопросом родовую принадлежность описанного вида.

Местонахождение. Бассейн р. Лены, р. Чубукулах, обр. 18а; р. Хатыстах, обн. 64, обр. 8а.

Возраст. Нижний келловей.

Распространение. Нижний келловей острова Гукера.

Табл. VII, фиг. 2; табл. XI, фиг. 1а, б; табл. XVIII, фиг. 1а, б; табл. XIX, фиг. 1 и 2а, б

**Материал.** Двадцать два экземпляра (колл. Е. С. Ершовой и Т. М. Емельянцева).

**Описание.** Раковина инволютная. При диаметре раковины 7 мм толщина и высота оборота равны. Пупок умеренно широкий. Обороты покрыты линиями нарастания, но у конца последнего оборота появляются ребрышки.

При диаметре раковины 13,5 мм толщина и высота оборота остаются равными; наибольшая толщина — на перегибе у пупка. Пупок умеренно широкий, мелкий; пупковый край закруглен. Ребра, начинаясь от шва, немного отклоняются назад, а выше пупкового перегиба направляются вперед; на середине оборота большая часть ребер разделяется на две ветви и, переходя через сифональную поверхность, образует изгиб с выпуклостью, обращенной вперед.

При диаметре раковины 33 мм пупковый перегиб заостряется.

При диаметре раковины 43 мм толщина оборота превосходит высоту; пупок углубляется; ребра грубые и появляются на стенке пупка выше шва.

При диаметре раковины 65 мм толщина оборота значительно превосходит высоту. Пупок значительно углубляется, стенка пупка круто покатая. Ребра начинаются на некотором расстоянии от шва; по направлению к перегибу они сильно утолщаются, на перегибе становятся грубыми, образуют бугорки и затем довольно сильно наклоняются вперед; на небольшом расстоянии выше перегиба разветвляются на две ветви, редко — на три.

При диаметре раковины 78 мм толщина оборота еще более увеличивается; воронкообразный пупок углубляется; пупковый край заостренно округлый; ребра начинаются на стенке пупка близ перегиба; на последнем они образуют удлиненные сильные утолщения (бугорки), которые, приближаясь к жилой камере, начинают сглаживаться, так же как и внешние ребра.

При диаметре раковины 125 мм пупок становится широким; жилая камера занимает почти целый оборот. Устье не сохранилось. В задней части жилой камеры на пупковом перегибе еще заметны бугорки, которые скоро пропадают; внешняя часть покрыта неясными линиями нарастания, которые при приближении к устью становятся более грубыми.

Лопастная линия при диаметре раковины 13,5 мм довольно простая. Первая боковая лопасть широкая, трехконечная; вторая боковая лопасть тоже широкая, короткая. Внешнее седло сохранилось не полностью, но, судя по той части, которая сохранилась, оно должно быть широкое. Первое и второе боковые седла широкие; первое к основанию расширяется, второе — почти одной высоты с предшествующими.

У раковины диаметром 45 мм первая боковая лопасть несколько длиннее сифональной, а внешнее, первое и второе боковые седла одинаковой высоты.

Лопастная линия при диаметре раковины 80 мм (рис. 17) очень изрезана. Первая боковая лопасть заметно длиннее сифональной; она широкая, трехконечная. Вторая боковая лопасть тоже трехконечная, вдвое меньше первой; внешнее седло узкое; первое боковое седло у основания шире внешнего; второе боковое седло гораздо ниже предыдущих и почти целиком расположено на боковой поверхности над перегибом.

Размеры (в мм)

	Табл. XI, фиг. 1			Табл. VII, фиг. 2		Табл. XIX, фиг. 1 и 2		
Диаметр раковины	125(100)	78(100)	43(100)	103(100)	86(100)	43(100)	13,5(100)	6(100)
Высота оборота	41(33)	29(37)	18(42)	31(30)	31(36)	18(42)	6,5(48)	2,75(46)
Толщина оборота	103,5(83)	63(81)	28(65)	91(88)	72(84)	24(56)	6,5(48)	2,75(46)
Диаметр пупка	43(35)	25(32)	11,5(27)	40(30)	27(31)	12(28)	3,5(26)	1,5(26)



Рис. 17. Лопастная линия *Cadoceras falsum* Spath при диаметре раковины около 52 мм (×2).

Сравнение. Описываемые экземпляры похожи на *C. modiolare* Nikitin [1885, стр. 12, табл. (IX)XI, фиг. 48 и 51; фиг. 1 в тексте], но отличаются менее шаровидной формой раковины. Л. Спэт (1932, стр. 61) считает, что от голотипа «*Nautilus*» *modiolaris* Luidius = *Cadoceras sublaevis* Sowerby (1842, стр. 84, табл. 54, фиг. 1—3) вид *C. modiolare* Nikitin отличается менее шаровидными витками внутренних оборотов и выделяет его в новый вид — *C. simulans* sp. nov. Он указывает также, что эта форма, изображенная в работе С. Никитина с брюшной стороны на табл. (IX)XI, фиг. 48а, не дает истинного представления о форме этого вида, а изображение на рис. 1 (стр. 13) не относится к фиг. 48а, так как воронка пупка на рисунке уже, а толщина оборотов гораздо больше, чем у экземпляра, изображенного на фиг. 48а.

В томе VIII «Атласа руководящих форм ископаемых фаун СССР» (см. табл. XLII, фиг. 1, табл. XLIII), изданном в 1947 г., все изображения взяты из работы С. Н. Никитина и, следовательно, повторяют одну и ту же ошибку.

Местонахождение. Анабарская губа, обн. 11, обр. 11а<sub>12</sub>.  
Возраст. Нижний келловей.

*Cadoceras emelianzevi* sp. nov.

Табл. XVIII, фиг. 2а, б, в; табл. XXI, фиг. 1а, б;  
табл. XXII, фиг. 1

М а т е р и а л. Один экземпляр (колл. Е. С. Ершовой и Т. М. Емельянцева).

О п и с а н и е. Раковина инволютная. Толщина оборота уже при диаметре раковины 60 мм больше высоты, и с возрастом еще сильнее увеличивается. Боковые поверхности сильно наклонены кверху, и вентральная сторона посередине угловатая (135—140°); этот перегиб хорошо выражен на раковине вдоль всей вентральной стороны. Пупок

умеренно широкий, у молодых особей сравнительно менее глубокий, с возрастом сильно углубляется. Стенки пупка закругляются и сходят внутри уступами; в возрастном становятся отвесными. Пупковый перегиб у молодых особей закругленный; с возрастом становится острым. Жилая камера не сохранилась. У раковины диаметром до 65 мм ребра довольно резкие, закругленные; от шва они отходят несколько назад; на пупковом перегибе образуют утолщение (бугорки), после которого их направление изменяется и они приобретают наклон вперед. Ребра разделяются в нижней половине боковой поверхности и переходят через сифональную сторону с глубоким изгибом, направленным вперед. Наблюдаются вставные ребра, которые доходят до уровня раз-

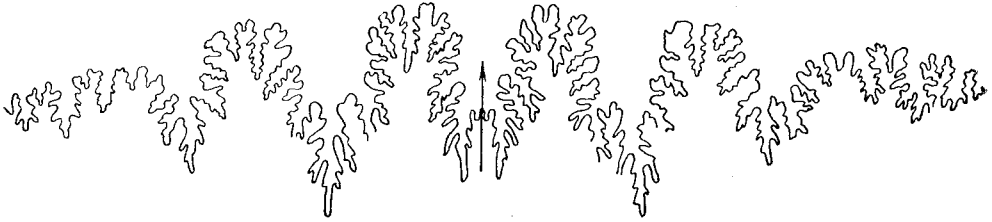


Рис. 18. Лопастная линия *Cadoceras emelianzevi* sp. nov. при диаметре раковины 88,5 мм (нат. вел.).

ветвления основных ребер. К концу этой стадии внешние ребра и ребра на пупковой стенке начинают сглаживаться, а на раковине (при ее диаметре 90 мм) совершенно сглаживаются и бугорки; на ней остаются только линии нарастания.

Лопастная линия (рис. 18) сильно рассечена, с довольно узкими седлами и клинообразными лопастями.

#### Размеры (в мм)

	Внешний оборот	Внутренние обороты		
Диаметр раковины . . . . .	105(100)	87(100)	72(100)	61(100)
Высота оборота . . . . .	41(39)	35,5(35)	30(42)	26(42)
Толщина оборота . . . . .	98(93)	80(93)	55,5(77)	35(57)
Диаметр пупка . . . . .	32(30)	25(29)	19(26)	14(23)

Сравнение. Описываемый вид немного похож на *Cadoceras simulans* Spath (1932, стр. 61) = *Cadoceras modiolare* Nikitin (1960, стр. 65, табл. III, фиг. 1; табл. IV, фиг. 1) отличается меньшей толщиной раковины, угловатостью сифональной стороны, сильным наклоном ребер вперед, их глубоким изгибом на сифональной стороне и лопастной линией. Этими же особенностями *Cadoceras emelianzevi* отличается и от *Cadoceras falsus* sp. nov.

Местонахождение. Анабарская губа, обл. 11, обр. 11a<sub>12</sub>.  
Возраст. Нижний келловей.

*Cadoceras subcalyx* sp. nov.

Табл. XX, фиг. 1а, б; 2; 4а, б

Материал. Три экземпляра (колл. Е. С. Ершовой).

Описание. Раковина представлена перегородчатыми оборотами, постепенно нарастающими и охватывающими более половины предыдущего оборота. Поперечный разрез оборота — типичный кадочерасовый. У раковины диаметром до 20 мм высота оборота превос-

ходит толщину; с возрастом толщина постепенно сильно увеличивается. Пупок умеренно широкий и мелкий у молодых экземпляров, с возрастом становится шире и углубляется; закругленные стенки пупка делаются обрывистыми. Жилая камера не сохранилась.

Обороты покрыты резкими ребрами, отходящими от шва, слабо наклоненными вперед на стенках пупка и сильно — на боковых поверхностях оборота. На раковине диаметром до 30 мм они раздваиваются на боках оборота; внутренние и внешние ребра почти одинаково развиты. Далее, по мере роста раковины, пупок ее углубляется, начинает выступать пупковый перегиб. Внутренние ребра укорачиваются и ста-



Рис. 19. Лопастная линия *Cadoceras subcalyx* sp. nov. при диаметре раковины 61 мм (×3).

новятся более мощными, в местах разветвления приподнимаются; внешние ребра остаются тонкими, резкими и, по мере приближения к устью, постепенно сглаживаются. На последнем обороте ребра большей частью разделяются на три ветви и появляются вставные ребра. На полном последнем обороте число внутренних ребер насчитывается 23, внешних — 69. Ребра на одной стороне оборота соединяются с ребрами на другой зигзагообразно.

Лопастная линия (рис. 19) сильно изрезана. Первая боковая лопасть длиннее сифональной, верхняя ее часть широкая, а нижний конец сильно оттянут; вторая боковая лопасть гораздо короче первой, и она неправильно двураздельная. Внешнее седло широкое у основания; первое боковое седло узкое, двураздельное; второе боковое седло ниже двух первых седел, широкое, неправильно двураздельное. Перегиб оборота проходит через второе боковое седло.

#### Размеры (в мм)

Диаметр раковины . . .	78(100)	48(100)	25(100)
Высота оборота . . .	27,50(35)	20(42)	10,50(42)
Толщина оборота . . .	43,50(56)	22,50(47)	11(44)
Диаметр пупка . . .	29(37)	11,50(24)	8(32)

Сравнение. Этот вид близок к *Cadoceras calyx* Spath (1932, стр. 69, табл. XX, фиг. 1a, b) из келловейских отложений (*tychonis* — горизонт) Гренландии. Отличается от него гораздо меньшей толщиной оборотов, более мелким пупком, особенно в молодом возрасте, меньшим числом реже расставленных внутренних ребер, среди которых значительно больше тройных ребер.

От *Cadoceras wosnessenskii* (Grewingk) (in Imlay, 1953, стр. 86, табл. 40, фиг. 1—12) из средней части свиты Чинитна (*Chinitna formation*) и нижней части свиты Шелихова (*Shelikhof formation*) Аляски отличается иным настианием оборотов, более широким пупком, мень-

шим числом внутренних ребер, которые делятся на гораздо более тонкие тройные ветви, и характером лопастной линии.

Местонахождение. Бассейн р. Чубукулах, обн. 18, обр. 186. Возраст. Нижний келловей.

*Cadoceras subtenuicostatum* sp. nov.

Табл. XVII, фиг. 1а, б; 2а, б; 3а, б, в; табл. XXV, фиг. 2а, б

Материал. Семь экземпляров (колл. Е. С. Ершовой и Т. М. Емельянцева).

Описание. Раковина мало вздутая. Раковина, имеющая до 30 мм в диаметре, дискообразной формы, обороты округлые; пупок умеренно широкий и мелкий; пупковый перегиб закругленный; стенки пупка покатые. Скульптура состоит из тонких, часто расположенных ребер, отходящих от шва почти радиально; выше пупкового перегиба они сильно наклонены вперед, на нижней половине боковой поверхно-



Рис. 20. Лопастная линия *Cadoceras subtenuicostatum* sp. nov. при диаметре раковины 54 мм (×2).

сти раздваиваются и через сифональную сторону переходят с изгибом, обращенным вперед. Наблюдаются одиночные и вставные ребра, рельефность которых такая же, как и у разветвляющихся; они не доходят до линии разветвления ребер.

При диаметре раковины 60 мм наблюдается пережим, от которого начинается жилая камера, занимающая около четырех пятых оборота. После пережима оборот утолщается, причем наибольшая толщина находится на пупковом перегибе. Пупок углубляется, приобретает форму неглубокой воронки с уплощенным дном; пупковый перегиб становится более угловатым; стенки пупка покрыты только линиями нарастания. Внутренние ребра, хотя они несколько сглажены, остаются в виде не очень резких приподнятых полосок, сильно направленных вперед; от них отходят очень сглаженные внешние ребра. Лопастная линия (рис. 20) отличается узкими седлами и широкими лопастями.

Размеры (в мм)

	Наружный оборот	Внутренние обороты
Диаметр раковины	77(100)	51(100) 46,5(100)
Высота оборота	37(48)	23,5(46) 21,5(46)
Толщина оборота	52(67)	26(51) 23(49)
Диаметр пупка	21(27)	14(27) 11(24)

Сравнение. По скульптуре, которая удерживается на жилой камере, описываемый вид напоминает *Cadoceras elatmae* (Nik.) (1885), отличаясь более мелким пупком, закругленным его перегибом, тонкими, часто расположенными ребрами и лопастной линией с более длинными лопастями и узкими седлами. Своей скульптурой наш вид напоминает *Cadoceras tenuicostatum* Imlay (1953, стр. 85, табл. XXXVIII, фиг. 2—4 и 7—12) из свит Чинита и Шелихов Аляски, но отличается от него более открытым пупком, сохранением ребер на жилой камере и лопастной линией с более узкими седлами. От *Cadoceras wosnessenskii* (Grevink) (in Imlay, 1953, стр. 86, табл. XL, фиг. 1—12) из тех же отложений Аляски отличается расширяющимися к основанию последними оборотами и гораздо более тонкими ребрами.

Местонахождение. Анабарская губа, обн. 11, обр. 11a<sub>12</sub>.  
Возраст. Нижний келловей.

*Cadoceras subcatostoma* sp. nov.

Табл. XXIV, фиг. 1; табл. XXV, фиг. 1

Материал. Один экземпляр (колл. Е. С. Ершовой).

Описание. Раковина инволютная. Внутренние обороты мало объемлющие; пупок довольно узкий. По мере роста раковины пупок углубляется; стенка пупка становится обрывистой, пупковый перегиб крутой и, наконец, делается заостренным. На этой стадии развития раковины ребра появляются на некотором расстоянии от шва и направляются вперед. Перейдя через перегиб, они принимают вид нешироких валиков и на середине боковой поверхности оборота делятся: в месте разветвления приподнимаются в виде плохо выраженных бугорков, после чего разветвляются на две или три части. Часто только два внешних ребра на одной стороне соединяются с соответствующим внутренним ребром на другой стороне оборота; третье ребро располагается свободно, как вставное. На половину оборота на 12 внутренних ребер приходится 39 внешних. В начале жилой камеры внешние ребра ослабевают, но, приближаясь к устью, они опять бывают хорошо видны. Жилая камера занимает три четверти оборота. Вдоль устья наблюдается несильно выраженный пережим. Лопастная линия неизвестна.

Размеры (в мм)

Диаметр раковины . . . . .	107(100)
Высота оборота . . . . .	43(40)
Толщина оборота . . . . .	61(57)
Диаметр пупка . . . . .	27(25)

Сравнение. Описываемый вид до некоторой степени можно сравнить с *Cadoceras catostoma* Romerickj (1900, стр. 263, табл. V, фиг. 1 и 2a; in Imlay, 1953, стр. 82, табл. 34, фиг. 1—14), с которым его сближает восстановление ребер близ устья жилой камеры. Отличие заключается в том, что пупок у нашего вида меньше, а внутренние ребра длиннее.

Местонахождение. Мыс Чуча, обр. 1г.

Возраст. Нижний келловей, зона *elatmae*.

*Cadoceras ventroplanum* sp. nov.

Табл. XXIII, фиг. 1a, б

Материал. Два экземпляра (колл. Р. Н. Ростова).

Описание. Раковина инволютная. Раковины молодых особей имеют маловыпуклые обороты; вентральная часть несколько уплощена; пупок мелкий, умеренно широкий; пупковый перегиб закругленный. Обороты раковин, имеющих 4—5 мм в диаметре, гладкие. Затем



от шва появляются линии нарастания, наклоненные вперед. При диаметре раковины 8 мм на стенке пупка сохраняются линии нарастания, тогда как на внешней части оборота появляются тонкие и ясные ребрышки, вначале одиночные, затем, чередуясь с ними, раздвоенные и, иногда (при диаметре 14 мм), вставные. На пупковом перегибе ребра имеют радиальное направление, а далее на боках оборота сильно наклонены вперед. Ребра разделяются на середине боковой поверхности. При диаметре раковины 59 мм толщина ее увеличивается. Вентральная сторона становится более плоской; пупок открытый, но более глубокий; пупковый перегиб закруглен. Ребра очень резкие; они имеют то же направление, что и на более молодых оборотах; к месту разветвления они сильно приподнимаются, раздваиваются и, переходя через сифональную часть, остаются резкими. Приближаясь к жилой камере, ребра постепенно начинают сглаживаться, а на ней совсем пропадают. Внутренние ребра в жилой камере также постепенно сглаживаются, но места раздвоения ребер довольно рельефно выделяются. Брюшная часть устья выдвинута вперед и сопровождается сильным пережимом; близ устья пупковый перегиб острый, а сифональная часть сильно уплощена, может быть, в результате деформации. Лопастная линия неизвестна.

#### Размеры (в мм)

Диаметр раковины . . .	95(100)	75(100)	59(100)	14(100)
Высота оборота . . .	41(43)	30(40)	24(41)	5.5(39)
Толщина оборота . . .	59(62)	46(61)	35(61)	6.5(46)
Диаметр пупка . . .	29.5(31)	22(29)	18(22)	3(21)

Сравнение. От *Cadoceras comma* Imlay (1953, стр. 83, табл. XXXV, фиг. 1—8; табл. XXXVI, фиг. 1—5) рассматриваемый вид отличается меньшим числом ребер на перегибе и более возвышенными местами разветвления, расположенными на середине боковой поверхности. От *Cadoceras wosnessenskii* (Grewingk) (in Imlay, 1953, стр. 86, табл. XL, фиг. 1—12) отличается, кроме того, и иными размерами раковины.

Местонахождение. Мыс Чекуровский, обн. 1057.

Возраст. Нижний келловей.

*Cadoceras(?) perrarum* sp. nov.

Табл. XV, фиг. 1а, б

Материал. Один экземпляр (колл. О. Н. Кутузова).

Описание. Раковина сильно инволютная. Обороты толстые, низкие, с уплощенной сифональной стороной. Пупок довольно узкий, в молодом возрасте открытый, в дальнейшем становится глубоким, с обрывистыми стенками, но с закругленным пупковым перегибом. Только на сохранившейся части жилой камеры он делается угловатым (90°). От жилой камеры сохранилась небольшая часть. Ребра острые и высокие, несколько понижающиеся на середине сифональной стороны; с приближением к жилой камере становятся грубыми и закругленными. От шва они отходят почти радиально, но, приближаясь к пупковому перегибу, значительно наклоняются вперед, и на середине боковой поверхности сильно приподнимаются в вытянутые, узкие бугорки, от которых раздваиваются и, так же направляясь вперед, переходят через сифональную сторону. Ребра одной стороны оборота соединены с ребрами другой стороны зигзагообразно. При приближении к жилой камере почти после каждого главного ребра появляются вставные ребра, а на стенке пупка они пропадают, оставаясь только на перегибе. За четверть оборота до начала жилой камеры ребра утолщаются, а на сифональной стороне несколько сглаживаются.

Лопастная линия (рис. 21) сильно рассечена. Первая боковая лопасть широкая и длинная, длиннее сифональной. Вторая боковая лопасть вдвое меньше первой. Внешнее седло сверху умеренно широкое, длинной вспомогательной лопастью разделено на две неравные части, из которых наружная больше. Первое боковое седло очень узкое, высота седел равномерно убывает к пупку.

Размеры (в мм)

Диаметр раковины . . . . .	80(100)
Высота оборота . . . . .	37(45)
Толщина оборота . . . . .	59(65)
Диаметр пупка . . . . .	20(25)

Сравнение. Описываемый вид своей грубой скульптурой не похож ни на один из известных видов *Cadoceras*. Но характер разветвления ребер и лопастная линия кадоцеровая. От рода *Erymnoceras*,



Рис. 21. Лопастная линия *Cadoceras(?) perrarum* sp. nov. при диаметре раковины 57 мм (×3).

на который он несколько похож своей грубой скульптурой, отличается более узким пупком, характером ветвления ребер, наличием вставных ребер и иной лопастной линией с узкими лопастями и седлами и первым боковым седлом, которое только немного ниже внешнего.

Местонахождение. Река Лена, мыс Чекуровский, обн. 1057. Возраст. Нижний келловей.

*Cadoceras milascheviči* var. *pura* var. nov.

Табл. XIII, фиг. 1; табл. XVI, фиг. 1

Материал. Один экземпляр (колл. Ю. М. Бушканец).

Описание. Раковина инволютная; обороты сильно объемлющие. Пупок умеренно широкий, глубокий, воронкообразный, в глубине сходящий на нет; стенки пупка очень высокие, круто спускающиеся и совершенно гладкие; пупковый перегиб заостренный, и только при приближении к устью округляется. Жилая камера занимает почти целый оборот. Перед устьем намечается слабый пережим; устье не сохранилось. Раковина гладкая, покрыта только линиями нарастания. На границе перегородчатой части и жилой камеры на боковой поверхности оборота близ пупкового перегиба наблюдается широкая вдавленность пережима; к сифональной стороне она сглаживается.

Лопастная линия сильно изрезана, напоминая лопастную линию *Cadoceras emelianzevi* sp. nov. Первая боковая лопасть длиннее сифональной. Седла довольно узкие.

Размеры (в мм)

Диаметр раковины . . . . .	180(100)
Высота оборота . . . . .	78(43)
Толщина оборота . . . . .	132(73)
Диаметр пупка . . . . .	55(30)

Сравнение. Судя по полному отсутствию ребер на пупковых стенках у самых молодых оборотов, мы считаем, что этот экземпляр очень близок к *Cadoceras milascheviči* (Nikitin) [1881, стр. 39, табл. (V)XII, фиг. 26—27], но наш экземпляр отличается большей высотой и меньшей толщиной оборотов, большей шириной пупка и несколько иным характером лопастной линии.

Местонахождение. Новая Земля, обн. 259/405.

Возраст. Средний(?) келловей.

Распространение типичной формы. Средний келловей Верхнего Поволжья и Подмосковной котловины, бассейнов рек Унжи, Печоры и Сысолы, Мезенско-Вычегодского водораздела.

*Cadoceras declinatum* sp. nov.

Табл. XXIV, фиг. 2а, б; табл. XXVII, фиг. 1а—в

Материал. Пять экземпляров (колл. П. В. Кулакова и В. Скотарова).

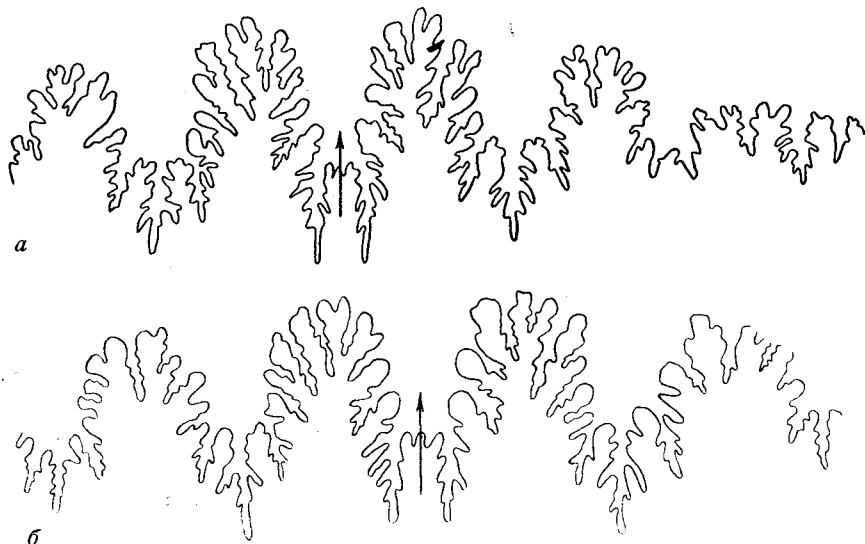


Рис. 22. Лопастная линия *Cadoceras declinatum* sp. nov.  
а — на ребристой части оборота; б — на сглаженной части оборота.

Описание. При диаметре раковины приблизительно до 25 мм обороты плоские, затем толщина постепенно наращивается; при диаметре 83 мм раковина приобретает шарообразную форму. Пупок у молодых экземпляров мелкий, с возрастом становится глубоким, воронкообразным. Стенка пупка с возрастом делается обрывистой; пупковый перегиб резкий. Ребра в молодом возрасте отходят от шва радиально, на перегибе приобретают наклон вперед и утолщаются; не доходя до середины боковой поверхности, они разделяются на две ветви. При диаметре раковины 65—70 мм ребра на стенке сглаживаются, а на перегибе пупка остаются в виде косых бугорков.

Лопастная линия (рис. 22) очень тонко и сильно изрезанная, с широкими лопастями и более узкими седлами. Первое боковое седло немного ниже внешнего, а остальные седла сильно понижены.

Размеры (в мм)

Диаметр раковины . . . . .	62(100)	82(100)
Высота оборота . . . . .	25,5(41)	31(38)
Толщина оборота . . . . .	41(57)	68(83)
Диаметр пупка . . . . .	17(27)	22(26)

Сравнение. Описываемые экземпляры отличаются от *Cadoce-  
ras tschefkini* d'Orbigny (1844, стр. 499, табл. XXXV, фиг. 10—15)  
более толстыми оборотами при том же диаметре раковины, бóльшим  
диаметром пупка, более грубыми ребрами, сохранением ясной ребри-  
тости на экземплярах большего диаметра и лопастной линией с широ-  
кими седлами и более узкими лопастями.

Следует отметить, что Д. Н. Соколов (1912, стр. 21) соединяет  
в один вид *C. tschefkini* и *C. milaschevici* на том основании, что более  
раннее исчезновение ребристости последнего нельзя считать видовым  
признаком. Нам кажется, что упомянутый признак, иное навивание  
раковины и иная лопастная линия дают достаточное основание для  
разделения этих видов. Л. Спэт (1932, стр. 60) отмечает, что *C. tschef-  
kini* из Чиппенгама (Chippenham) отличается от образцов д'Орбиньи  
(d'Orbigny) несколько меньшим сжатием оборотов с боков, более  
широким пупком и сохранением ребристости до более крупного диа-  
метра (68 мм).

Местонахождение. Оленекская протока, обр. 49в, обр. 222  
и 327е.

Возраст. Средний келловей.

Род *Cardioceras* Neumayr et Uhlig, 1881

Тип рода — *Ammonites cordatus* Sowerby, 1813

*Cardioceras subcordatum* Pavlow

Табл. XXII, фиг. 3а, б

1842. *Ammonites cordatus* (partium) Sowerby. Mineral Conchologi, стр. 37, табл.  
XVII, фиг. 4 (non 2).  
1883. *Cardioceras Rouilleri* Лагузен (non Nikitin). Фауна юрских образований  
Рязанской губернии, стр. 50, табл. V, фиг. 5.  
1913. *Cardioceras subcordatum*. Павлов. Юрские и меловые Cephalopoda севера  
Сибири, стр. 48, табл. XIV, фиг. 5.

Материал. Один экземпляр (колл. Е. С. Ершовой и  
Т. М. Емельянцева).

Описание. Обороты наполовину прикрывают предыдущие. По-  
перечное сечение сердцевидное, наибольшая толщина отмечается на  
середине оборота. Пупок умеренно широкий, мелкий. Покатая стенка  
пупка постепенно переходит в закругленный перегиб. Боковая поверх-  
ность покрыта радиальными внутренними ребрами, широко расстав-  
ленными и заканчивающимися сглаженными бугорками, после кото-  
рых они разделяются на три ветви. Последние ветви при приближе-  
нии к наружной стороне сильно загибаются вперед и переходят на  
хорошо выраженный, довольно выдающийся киль. Между ветвящимися  
ребрами имеются вставные, которые также переходят на киль. На пол-  
ном обороте внутренних ребер насчитывается 16, а внешних — 60.

Размеры (в мм)

Диаметр раковины . . . . .	40(100)
Высота оборота . . . . .	17,5(44)
Толщина оборота . . . . .	16(40)
Диаметр пупка . . . . .	14(35)

Сравнение. Описываемый экземпляр от голотипа отличается  
более толстыми оборотами, что может быть объяснено его хорошей  
сохранностью и сглаженностью внутренних ребер в одном месте на  
левой стороне раковины.

В. Аркелл (1935—1944, стр. XXIV) отмечает, что С. Букман пере-  
именовал *Ammonites cordatus* Sow., изображенный на фиг. 4, в *Car-  
dioceras cardia* Вискман (1920, т. III, стр. 15), но приоритет оста-  
ется за А. П. Павловым, который дал название этому аммониту на  
семь лет раньше С. Букмана.

Местонахождение. Анабарская губа, обн. 12, обр. 12а.  
 Возраст. Нижний оксфорд.  
 Распространение. Северная Сибирь, Европейская часть СССР, Северо-Западная Европа.

*Cardioceras pavlovi* sp. nov.

Табл. XXX, фиг. 1а, б; 2а, б; 3а, б; 5а, б

1913. *Cardioceras* aff. *Rouillieri* Павлов. Юрские и меловые Cephalopoda севера Сибири, стр. 58, табл. XVII, фиг. 1а, б.

Материал. Шесть экземпляров (колл. Е. С. Ершовой и Т. М. Емельянцева).

Описание. У молодых особей обороты раковины имеют круглое сечение. При диаметре раковины 12 мм появляется киль и далее с ростом раковины боковые поверхности уплощаются и сечение оборота принимает стрелчатое очертание. Пупок умеренно широкий, мелкий. Молодые обороты при диаметре раковины до 8 мм имеют очень нежную скульптуру. Внутренние ребра радиальные; на полуобороте их насчитывается 12. Не достигая середины боковой поверхности, они разветвляются и слабо наклоняются вперед, переходя сифональную сторону с едва заметным изгибом вперед.



Рис. 23. Лопастная линия *Cardioceras pavlovi* sp. nov. [к табл. XXX, фиг. 3 (×6)].

На сифональной стороне раковины при ее диаметре 8 мм начинает вырисовываться киль, который при диаметре раковины 12 мм вполне сформировывается. Далее, у раковины диаметром 29 мм внутренние ребра становятся более сильными и заканчиваются удлиненными бугорками. От бугорка отходят два (редко три) наклоненных вперед ребра. Между такими ветвящимися ребрами обычно наблюдается одно, иногда два вставных ребра, которые на другой стороне оборота соединяются с бугорком внутреннего ребра. По мере роста раковины увеличивается расстояние между внутренними ребрами и уменьшается их число; так, у раковины диаметром 45 мм на внешнем полуобороте их можно насчитать 8, а при диаметре в 65 мм число их составляет 6. У раковины, изображенной на табл. XXX, фиг. 1а, на правой стороне два последних перед устьем ребра почти без бугорков. Зато на ребрах, расположенных перед ними, развит один бугорок ненормальной величины, а другой поменьше, но тоже очень крупный, тогда как на левой стороне бугорки затухают постепенно (табл. XXX, фиг. 1б). Внешние ребра переходят на киль, образуя рельефные зазубринки. Лопастная линия изображена на рис. 23.

Размеры (в мм)

	Табл. XXX, фиг. 1а, б	Табл. XXX, фиг. 2а, б	Табл. XXX, фиг. 3а, б	Табл. XXX, фиг. 2а, б (внутр. обор.)
Диаметр раковины . . . . .	65(100) 55(100)	29(100)	24(100)	12(100)
Высота оборота . . . . .	30(46) 24(43)	11,5(40)	9,5(40)	6(50)
Толщина оборота . . . . .	20(31) 17(31)	10,5(36)	9(37)	5,5(46)
Диаметр пупка . . . . .	19(29) 16(29)	9,75(33)	8(33)	5(33)

Сравнение. Под названием *Cardioceras* aff. *rouillieri* (Nik.) А. П. Павлов выделил близкую к этому виду форму (*Cardioceras rouillieri*), занимающую как бы промежуточное положение между *C. jacuticum* Pavl. и *C. rouillieri* (Nik.). Наши экземпляры представлены более молодыми оборотами, чем экземпляр, описанный и изображенный А. П. Павловым, но характер главных ребер и их разветвления одинаковы.

От *C. jacuticum* Pavl. (1913, стр. 57, табл. XV, фиг. 2) рассматриваемый вид отличается меньшим числом внутренних и внешних ребер и наклоном последних вперед.

Местонахождение. Анабарская губа, обн. 12, обр. 12а, обр. 635/Е

Возраст. Нижний оксфорд.

*Cardioceras excavatum* var. *arctica* Pavlow

Табл. XVI, фиг. 2а, б; табл. XXVI, фиг. 2а, б; 3а, б; табл. XXVIII, фиг. 1а, б; 4; 5а, б; табл. XXIX, фиг. 5а, б

1913. *Cardioceras excavatum* var. *arctica* Павлов. Юрские и меловые Cephalopoda севера Сибири, стр. 54, табл. XV, фиг. 3; табл. XVI, фиг. 1.

1941. *Cardioceras (Cardioceras) arcticum* Arkell. A Monograph on the Ammonites of the English Corallian Beds, стр. 229, табл. XLIX, фиг. 1—5; табл. L, фиг. 7, 9, 10; фиг. 76 в тексте.

Материал. Пять экземпляров (колл. Е. С. Ершовой и Т. М. Емельянцева).

Размеры (в мм)

	Табл. XXIX, фиг. 5	Табл. XXVI, фиг. 2	Табл. XXVI, фиг. 3	Табл. XVI, фиг. 2
Диаметр раковины . . .	57(100)	57(100)	25(100)	50(100)
Высота оборота . . .	28(49)	27,5(48)	25(100)	25(50)
Толщина оборота . . .	22(40)	22(40)	11,5(46)	18(36)
Диаметр пупка . . .	13(23)	13,5(23)	5,5(22)	1(22)

Под названием *Cardioceras excavatum* var. *arctica* Sowerby А. П. Павлов описал форму, близкую к *Cardioceras excavatum* по скульптуре, но отличающуюся по сердцевидному поперечному сечению раковины.

В. Аркелл (1941) на основании различного поперечного сечения раковины считает, что вариеет, установленный А. П. Павловым, следует выделить в самостоятельный вид, и помещает их в разные подроды. Принимая во внимание, что наши экземпляры более толстые, чем *C. excavatum* Arkell (1935, стр. 220), и менее толстые, чем *C. arctica*, можно думать, что ряд *excavatum* — *arctica* образуют формы, связанные переходами, и только крайние его члены резко отличаются своим поперечным разрезом.

Местонахождение. Анабарская губа, обн. 12, обр. 12а, 638/1. Возраст. Нижний оксфорд.

Распространение. Нижний оксфорд Северной Сибири, Англии.

*Cardioceras excavatum* var. *scotica* Buckman

Табл. XXVIII, фиг. 2а, б

1924. *Anacardioceras scoticum* Buckman. Type Ammonites, том V, табл. CDLXIII.

1941. *Cardioceras (Scoticardioceras) excavatum* var. *scotica* Arkell. A Monograph on the Ammonites of the English Corallian Beds, стр. 221, фиг. 77—78 в тексте.

Материал. Пять экземпляров (колл. Е. С. Ершовой и Т. М. Емельянцева).

Описание. Раковина дискоидальная; сечение оборотов стрельчатое. Высота оборота почти равна половине диаметра раковины. Пупок узкий; стенка пупка на молодых оборотах закругленная, с возрастом становится отвесной и, наконец, нависающей. Внутренние ребра, в количестве 14 на половину оборота, довольно резкие, от пупка отходят радиально и, не доходя до середины боковой поверхности оборота, несколько уплощаются, после чего раздваиваются и наклоняются вперед. Среди внешних ребер иногда имеются вставные. Внешние ребра переходят на киль, образуя на нем зазубринки.

Размеры (в мм)

Диаметр раковины . . . . .	105(100)	93(100)
Высота оборота . . . . .	65(62)	51(55)
Толщина оборота . . . . .	38(34)	33(35)
Диаметр пупка . . . . .	15(14)	14,5(15)

Сравнение. От голотипа, хорошо изображенного и описанного В. Аркеллом (1941, фиг. 76 в тексте), рассматриваемый вид отличается несколько большими возвышениями внутренних ребер. Перегородочные линии очень сходны. С. Букман (1924) выделил эту форму в самостоятельный вид. В. Аркелл не согласен с ним, справедливо рассматривая описываемую форму как вариант *C. excavatum*, и причисляет к подроду *Scoticardioceras*.

Местонахождение. Анабарская губа, обн. 12, обр. 12а.

Возраст. Нижний оксфорд.

Распространение. Нижний оксфорд Северной Сибири, Англии.

*Cardioceras excavatum* var. *mutabilis* var. nov.

Табл. XXIX, фиг. 4а, б

Описание. Имеется единственный экземпляр (колл. Е. С. Ершовой и Т. М. Емельянцева), который несколько отличается от типичных *Cardioceras excavatum* Sow. Сечение оборотов стрельчатое; пупок довольно узкий. Ребристость нерезкая; характерная ее особенность состоит в том, что, подходя к килю, ребра распадаются на тонкие струйки, которые на киле переходят опять в ребра, оканчивающиеся зазубринками, так что при рассматривании раковины сбоку кажется, что киль отделен от раковины желобком. На раковине диаметром более 45 мм ребра, начиная от внутренней части, постепенно сглаживаются. Сохранившаяся первая боковая лопасть по своему характеру приближается к лопасти *Cardioceras* aff. *delicatum* Вискмана (1924).

Размеры (в мм)

Диаметр раковины . . . . .	52(100)
Высота оборота . . . . .	27,5(53)
Толщина оборота . . . . .	17(31)
Диаметр пупка . . . . .	9(17)

Сравнение. От типичных *Cardioceras excavatum* Sowerby (1842—1844) отличается характером скульптуры.

Местонахождение. Анабарская губа, обн. 12а, обр. 12а.

Возраст. Нижний оксфорд.

*Cardioceras delicatum* Вискман

Табл. XXIX, фиг. 2а, б

1926. *Anacardioceras delicatum* Вискман. Type Ammonites, том VI, табл. DCXXX.  
1941. *Cardioceras (Scoticardioceras) excavatum* var. *delicatum* Arkell. A Monograph on the Ammonites of the English Corallian Beds, стр. 224, табл. XIX, фиг. 6а.

Материал. Два экземпляра (колл. Е. С. Ершовой и Т. М. Емельянцева).

Описание. Дислоидальная раковина малой толщины, с узкими стрелчатыми оборотами и довольно узким пупком. Ребристость тонкая, от шва ребра наклонены назад; перейдя пупковый перегиб, приобретают сначала радиальное направление, затем, при приближении к сифональной части, поворачивают вперед и переходят через киль, образуя на нем хорошо выраженные зазубрины. Внутренние ребра разделяются в нижней части боковой поверхности; иногда внутреннее ребро доходит до середины боковой поверхности, где оно заканчивается, а с двух сторон от него появляются внешние ребра. Подходя к килю, ребра утончаются, иногда опять раздваиваются и затем достигают прежней толщины. Между главными ребрами наблюдаются вставные, которые иногда доходят до шва, и тогда они приобретают значение одиночных ребер. Вставные ребра, так же как и одиночные, имеют равную толщину с главными. Лопастная линия рассматриваемой формы сходна с лопастной линией *Cardioceras excavatum*. Другой экземпляр (обр. 12а), который отнесен нами к этому же виду, отличается от описанного более сильными ребрами. Лопастная линия имеет тот же характер.

Размеры (в мм)

	Обр. № 638/4	Табл. XXIX, фиг. 2
Диаметр раковины . . . . .	56,5(100)	65(100)
Высота оборота . . . . .	30(55)	36(55)
Толщина оборота . . . . .	15(27)	20(31)
Диаметр пупка . . . . .	9(16)	11(17)

Сравнение. Описываемый экземпляр очень сходен с *Cardioceras delicatum* Висктап. О характере ребристости В. Аркелл упоминает только, что она нерезкая, слабая; остальные признаки не упоминает. Судя по изображению, можно думать, что внутренние ребра отклоняются назад от радиального направления, но уверенности в этом нет.

Местонахождение. Анабарская губа, обн. 12, обр. 12а и 638/4.

Возраст. Нижний оксфорд.

Распространение. Нижний оксфорд Англии.

*Cardioceras popilaniense* Bøden

Табл. XXVIII, фиг. 3а, б

1911. *Cardioceras popilaniense* Bøden. Die Fauna des unteren Oxford von Popilani in Litauen, стр. 41, табл. II, фиг. 4 и 5.

1941. *Cardioceras (Plasmaceras) popilaniense* Arkell. A Monograph on the Ammonites of the English Corallian Beds, стр. 230, табл. I, фиг. 12.

Размеры (в мм)

Диаметр раковины . . . . .	26(100)
Высота оборота . . . . .	13(47)
Толщина оборота . . . . .	8(33)
Диаметр пупка . . . . .	6,5(25)

Материал. Один имеющийся в нашем распоряжении экземпляр (колл. Е. С. Ершовой и Т. М. Емельянцева) сходен с хорошо описанным у Бодена видом *C. popilaniense* Bøden. От *C. tenuistriata* Børgissjak (1908, стр. 10, табл. I, фиг. 13) отличается меньшим числом ребрышек (струек) в пучке.

Местонахождение. Анабарская губа, обн. 12, обр. 12а<sub>16</sub>.

Возраст. Нижний оксфорд.

Распространение. Нижний оксфорд Литвы, Англии.



*Cardioceras cf. vertebrale* (Sowerby)

Табл. XXX, фиг. 4а, б

1913. *Cardioceras cf. vertebrale* Pavlow. Юрские и меловые Cephalopoda севера Сибири, стр. 59, табл. XVII, фиг. 3.

Материал. Небольшой обломок (колл. Е. С. Ершовой и Т. М. Емельянцева) не может быть точно определен. Он обладает той особенностью, что ребра на внутренней части боковой поверхности сильно отклонены назад, а далее на боковой поверхности принимают радиальное направление. От бугорка ребра разделяются на две ветви, которые сильно наклонены вперед. Этот наклон ветвей вперед, так же как и на обломке, имевшемся у А. П. Павлова, гораздо сильнее выражен, чем на экземпляре Дж. Соверби.

Местонахождение. Анабарская губа, обн. 12, обр. 12а<sub>14</sub>.

Возраст. Нижний оксфорд.

Распространение *Cardioceras vertebrale*. Нижний оксфорд Бассейна р. Унжи; Подмосковной котловины, Верхнего, Среднего и Нижнего Поволжья, Общего Сырта, бассейна р. Урал, Прикаспийской депрессии, Донецкого бассейна, Литовской ССР, Франции, Англии.

Род *Amoeboceras* Hyatt, 1900

Тип рода — *Ammonites alternans* Buch, 1831

*Amoeboceras cf. alternans* (Buch)

Табл. XXX, фиг. 6

Материал. Имеется молодая особь (колл. Е. С. Ершовой и Т. М. Емельянцева) неполной сохранности.

Описание. Обороты более или менее четырехугольной формы, высокие и узкие. Внутренние ребра довольно грубые и каждое заканчивается бугорком, после которого ребра несколько загибаются и раздваиваются; внешние ребра отделяются от кия довольно глубокой бороздой. Киль высокий, покрыт многочисленными мелкими бугорками (на четверть оборота насчитывается 32 бугорка).

На основании упомянутых особенностей этот обломок можно отнести к *Amoeboceras alternans* Buch (in Salfeld, 1916, стр. 163, табл. XVI, фиг. 3; 4, 6, 7), но, ввиду неполной сохранности, нет твердой уверенности в принадлежности нашего экземпляра к рассматриваемому виду.

Местонахождение. Полуостров Пахса, обр. 26б<sub>11</sub>.

Возраст. Верхний оксфорд.

Распространение *Amoeboceras alternans* (Buch). Верхний оксфорд Подмосковной котловины, Верхнего, Среднего и Нижнего Поволжья, Общего Сырта, бассейнов рек Урала, Печоры и Унжи, Мезенско-Вычегодского водораздела, полуострова Таймыр, острова Фаддея, Земли Вильчека, Польши, Германии, Швейцарии, Франции, Англии, Гренландии.

*Amoeboceras (Amoebites) ex gr. kitchini* Salfeld

Табл. XXIX, фиг. 1 и 6

Материал. Четыре обломка (колл. Е. С. Ершовой и Т. М. Емельянцева).

Описание. Раздавленные обломки мало объемлющего оборота безусловно принадлежит аммонитам группы *Cardioceras kitchini* Salfeld (1916). Пупок очень широкий. На внутреннем обороте внутренние ребра высокие, притупленные, почти прямо направлены, на наружном — толстые у основания, но далее заостренные, заканчивающиеся у внешней стороны крупными продолговатыми бугорками, наклоненными вперед. Между бугорками и килем проходит глубокий желобок.

Киль покрыт тонкими поперечными зазубринками. Лопастная линия не сохранилась. К этой же группе мы относим молодой экземпляр (табл. XXIX, фиг. 6).

Упомянутые особенности украшения раковины свойственны группе *Cardioceras kitchini*, которая распространена в нижнем кимеридже.

Местонахождение. Анабарская губа, обн. 26, обр. 26б<sub>5</sub> и 26б<sub>10</sub>.

Возраст. Нижний кимеридж.

Распространение *Amoeboceras kitchini* Salf. Нижний кимеридж района Рыбинска, полуострова Таймыр, Земли Франца-Иосифа, Англии, Германии.

*Amoeboceras (Euprioniceras?) cf. aldingeri* Spath

Табл. XXIX, фиг. 32

1935. *Amoeboceras (Euprioniceras?) cf. aldingeri* Spath. The upper jurassic invertebrate faunas of Cape Leslie. Milne Land, стр. 28, табл. II, фиг. 6a.

1944. *Amoeboceras (Euprioniceras?) cf. aldingeri* Arkell. A Monograph on the Ammonites of the English Corallian Beds, стр. LXXXIII.

Материал. Аммонит плохой сохранности (колл. Е. С. Ершовой и Т. М. Емельянцева). Имеется небольшая часть последнего оборота. Остальная часть представлена отпечатком.

Описание. Близ устья бока раковины покрыты сглаженными ребрами и линиями нарастания. На остальной раковине ребра прямые, острые, сначала радиально направленные; у сифональной части становятся более возвышенными, наклонены вперед и, не доходя до кия, пропадают. Киль тонкий, мелко зазубренный. Лопастная линия неизвестна.

Сравнение. Описываемый экземпляр общим видом и характером скульптуры взрослых оборотов очень напоминает *Amoeboceras aldingeri* Spath из нижнекимериджских отложений зоны *Rasenia orbignyи* Гренландии, который относится к группе *nathorstii — robustum — sokolovi* (Arkell, 1944, стр. LXXXIII). Отличается приустьевой боковой частью поверхности и более мелкой зазубренностью кия. Но по этим признакам немного сближается с подродом *Orionodoceras*.

Местонахождение. Анабарская губа, обн. 26, обр. 26б<sub>8</sub>.

Возраст. Нижний кимеридж.

Распространение. Нижний кимеридж Гренландии.

**Надсемейство Perisphinctaceae** Wedekind, 1917

**Семейство Craspeditidae** Spath, 1924

Род *Subcraspedites* Spath, 1924

Тип рода — *Ammonites plicomphalus* Sowerby, 1829

*Subcraspedites* ex gr. *bidevexus* Bogoslovsky

Табл. XLV, фиг. 1—2; табл. LII, фиг. 2

Материал. Четыре экземпляра (колл. Е. С. Ершовой и Т. М. Емельянцева).

Размеры (в мм)

Диаметр раковины . . . . .	70(100)
Высота оборота . . . . .	30(43)
Толщина оборота . . . . .	27?(38)
Диаметр пупка . . . . .	20(28)

На табл. XLV, фиг. 1 и 2, изображен один и тот же экземпляр, но на фиг. 2 удалена часть внешнего оборота, что дало возможность увидеть характер ребер на более раннем обороте. Образцы по своему

общему облику и скульптуре, по-видимому, относятся к группе *Subcraspedites bidevexus* Bogoslovsky (1896, стр. 55, табл. III, фиг. 1—4), отличаясь от *S. bidevexus* несколько большим диаметром пупка, более закругленной брюшной стороной и большим числом внутренних ребер.

Местонахождение. Полуостров Пахса, обр. 26a<sub>10</sub>, обр. 26a<sub>13</sub>, обр. 26a<sub>19</sub>.

Возраст. Нижний валанжин.

Распространение *Subcraspedites bidevexus* Bogosl. Рязанский горизонт бассейна р. Оки.

#### Род *Tollia* Pavlow, 1913

Тип рода—*Tollia tolli* Pavlow, 1913

#### *Tollia tolli* Pavlow

1913. *Tollia Tolli* Павлов. Юрские и меловые Cephalopoda севера Сибири, стр. 39, табл. XII, фиг. 1 и 2.

Материал. Четыре экземпляра (колл. Е. С. Ершовой и Т. М. Емельянцева).

Этот вид, хорошо описанный А. П. Павловым, не нуждается в повторном описании.

Местонахождение. Полуостров Пахса, обр. 26a, 25б<sub>1</sub>, 26б<sub>2</sub>, 23a; р. Лена, обр. 378.

Возраст. Нижний валанжин.

Распространение. Нижний валанжин Северной Сибири.

#### *Tollia tolmatschowi* Pavlow

Табл. XXXV, фиг. 2a, б

1913. *Tollia Tolmatschowi* Павлов. Юрские и меловые Cephalopoda севера Сибири, стр. 40, табл. ЗП, фиг. 3; табл. XIII, фиг. 1a—с.

Материал. Два экземпляра (колл. Е. С. Ершовой и Т. М. Емельянцева).

#### Размеры (в мм)

Диаметр раковины . . . . .	65(100)	103(100)
Высота оборота . . . . .	28(43)	52(50)
Толщина оборота . . . . .	28(43)	—
Диаметр пупка . . . . .	17(26)	19,5(19)

В коллекции имеются как более молодая, так и более взрослая особи; последняя несколько повреждена. Первый экземпляр (диаметр 65 мм) имеет все признаки *Tollia tolmatschowi*, прекрасно описанные А. П. Павловым, но толщина нашего экземпляра меньше.

Экземпляр диаметром 103 мм отличается от экземпляра А. П. Павлова более узким пупком, большей высотой оборота, что можно объяснить некоторой деформацией образца и сглаженностью пережимов.

Местонахождение. Полуостров Пахса, обр. 25в.

Возраст. Нижний валанжин.

Распространение. Нижний валанжин Северной Сибири.

#### *Tollia kordikovi* Bodylevsky (ex MS)

Табл. XXXIII, фиг. 2; табл. XXXV, фиг. 1

1957. *Tollia kordikovi* Bodylevsky (ex MS).

Материал. Три экземпляра (колл. Е. С. Ершовой и Т. М. Емельянцева).

Описание. Раковина дискоидальная, сжатая с боков, с медленно растущими оборотами. Пупок умеренно широкий, мелкий, ступенчатый. Стенка пупка очень пологая; пупковый перегиб плавно за-

круглен. Ребра резкие. При диаметре раковины 24—30 мм внутренние ребра отходят почти от самого шва. У более взрослых особей они начинаются на середине пупковой стенки. На молодом обороте внутренние ребра разделяются на две или три ветви на неравном расстоянии от пупкового перегиба. На последнем обороте внутренние ребра, приближаясь к середине боковой поверхности, постепенно сглаживаются, и внешние тонкие ребра отделяются от них небольшим пространством, на котором слабо наблюдается их сочленение. Внешние ребра широко расставлены и наклонены вперед. Внутренних ребер на полном обороте насчитывается 30. Одному внутреннему ребру соответствуют три-четыре внешних. При приближении к жилой камере внутренние ребра начинают сглаживаться. Наблюдаются четыре нерезких пережима. Лопастная линия плохо сохранилась.

Размеры (в мм)

	Обр. 23а	Обр. 26а <sub>13</sub>
Диаметр раковины . . . . .	135(100)	122(103)
Высота оборота . . . . .	60(44)	— —
Толщина оборота . . . . .	32?(24)	— —
Диаметр пупка . . . . .	42(31)	38(31)

Сравнение. *Tollia kordikovi* отличается от всех видов *Tollia* более широким пупком, резкими ребрами и сохранением внутренних и внешних ребер на более взрослых экземплярах.

Местонахождение. Полуостров Пахса, обр. 23а и 26а<sub>13</sub>.

Возраст. Нижний валанжин.

*Tollia kordikovi* var. *subtilis* var. nov.

Табл. XXXIX, фиг. 1а, б

Материал. Один экземпляр (колл. Е. С. Ершовой и Т. М. Емельянцева).

Описание. Дискоидальная раковина с оборотами, охватывающими четыре пятых предыдущих оборотов; толщина их меньше высоты. Боковые стороны (стенки) уплощены. Пупок умеренно широкий, мелкий; стенка пупка закругленная. Внутренние ребра немного наклонены вперед, разделяются на середине боковой поверхности на две-три ветви; между ветвящимися пучками наблюдаются вставные ребра. На полном обороте внутренних ребер насчитывается 30; им соответствуют 103 внешних ребра. При приближении к жилой камере и на части сохранившейся жилой камеры внутренние ребра, перейдя пупковый перегиб, понижаются и несколько сглаживаются. На полном обороте наблюдается пять слабых пережимов. Лопастная линия неизвестна.

Размеры (в мм)

Диаметр раковины . . . . .	105(100)
Высота оборота . . . . .	40(38)
Толщина оборота . . . . .	32(30)
Диаметр пупка . . . . .	38(31)

Сравнение. Эта разновидность отличается от типа *Tollia kordikovi* большей высотой и меньшей толщиной оборотов и более тонкими ребрами, сглаживающимися при меньшем диаметре раковины.

Местонахождение. Полуостров Пахса, обр. 25в.

Возраст. Нижний валанжин.

*Tollia pakhsaensis* sp. nov.

Табл. XLVI, фиг. 1 и 3

Материал. Один целый экземпляр и один обломок (колл. Е. С. Ершовой и Т. М. Емельянцева).

Описание. Раковина дискоидальная, объемлющая; боковые поверхности уплощены; сифональная поверхность выпуклая. Пупок умеренно широкий; пупковый перегиб закругленный. Внутренние ребра косо поставлены, мало рельефные (на последнем обороте), при приближении к устью сглажены. Посредине оборота они разветвляются на 3—4 ветви (на 8 внутренних ребер приходится 30 внешних). Внешние ребра узкие, острые, разделены между собой широкими промежутками, сильно наклонены вперед. По мере приближения к устью связь между внутренними и внешними ребрами сглаживается. На сифональной стороне ребра образуют изгиб, направленный вперед. На молодых оборотах хорошо сохранилась грубая ребристость. Наблюдается пять мелких пережимов. Жилая камера сохранилась частично.

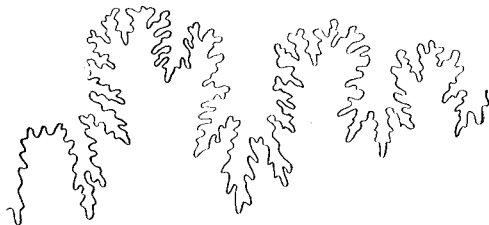


Рис. 24. Лопастная линия *Tollia pakhsaensis* sp. nov. [к табл. XLVI, фиг. 1 (нат. вел.)].

Линия, соединяющая вершины седел, поднимается к пупку (рис. 24).

#### Размеры (в мм)

Диаметр раковины . . . . .	125(100)	103(100)
Высота оборота . . . . .	53,5(43)	45(43)
Толщина оборота . . . . .	?	38(37)
Диаметр пупка . . . . .	38(30)	?

Сравнение. От *Tollia kordikovi* Водуl. рассматриваемый вид отличается более высокими оборотами и меньшим числом более тонких ребер. От *Tollia emelianzevi* sp. nov. отличается большим диаметром пупка, меньшим количеством ребер, меньшим числом ветвей в пучке и более поздним сглаживанием ребер.

Местонахождение. Полуостров Пахса, обр. 26а.

Возраст. Нижний валанжин.

#### *Tollia emelianzevi* sp. nov.

Табл. XXXI, фиг. 1; табл. XXXII, фиг. 1, 2а, б;  
табл. XXXIII, фиг. 1; табл. XXXIV, фиг. 1а, б

Материал. Семь экземпляров (колл. Е. С. Ершовой и Т. М. Емельянцева).

Описание. Раковина дискоидальная, с уплощенными боковыми поверхностями, косо поставленными к сифональной стороне, так что поперечный разрез оборотов имеет трапециoidalную форму. Внутренние молодые обороты скрыты под более взрослыми, и наблюдение над ними можно начать только при диаметре раковины 66 мм. Пупок умеренно узкий; пупковая стенка округленная и постепенно переходит в боковую сторону. Внутренние ребра отходят от шва, отклоняясь назад, и, перейдя через перегиб, приобретают наклон вперед; приблизительно на середине боковой поверхности они разделяются на три ветви. Кроме того, наблюдаются еще вставные ребра, так что на половине оборота на 13 внутренних ребер приходится 64 внешних ребра. При приближении ребер к сифональной стороне они еще более наклоняются вперед и с сильным изгибом вперед переходят на другую сторону. У раковины диаметром 75 мм ребра начинают сглаживаться; при диаметре 100 мм на боковой поверхности ребра в средней части сглажены; остаются только внутренние и внешние ребра близ сифональной стороны. Расстояние между внешними ребрами постепенно увеличивается. Лопастная линия (рис. 25,а) — характерная для рода *Tollia*. Сифональная лопасть длиннее первой боковой.

Особенность *Tollia emelianzevi* заключается в том, что первая боковая лопастная линия оканчивается двураздельными веточками.

При диаметре раковины 131 мм сохраняются внутренние ребра, имеющие вид широких и малозаметных валиков. Внешние ребра наблюдаются только на брюшной стороне; расстояние между ними широкое. Сифональная лопасть немного длиннее первой боковой лопасти, у которой сохраняется тот же характер, что и на более молодом обороте (рис. 25,б). Раковина при диаметре 270 мм совершенно гладкая. Поло-

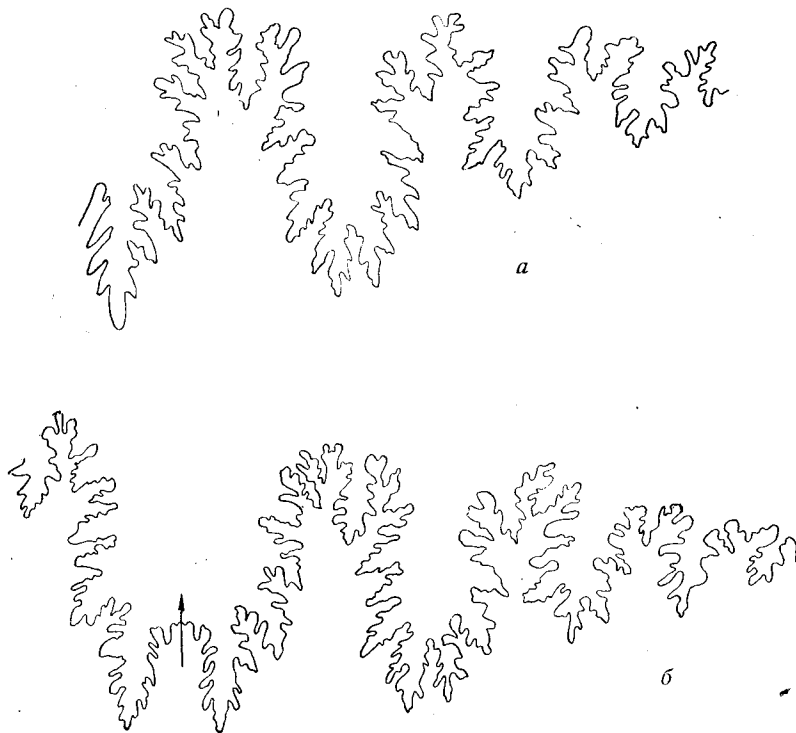


Рис. 25. Лопастная линия *Tollia emelianzevi* sp. nov.  
а — при диаметре раковины 60 мм (нат. вел.); б — при диаметре раковины 95 мм (нат. вел.).

вина оборота занята жилой камерой. Сифональная лопасть перед жилой камерой укорочена. Первая боковая лопасть остается двураздельной.

#### Размеры (в мм)

	Табл. XXXIII, фиг. 1	Табл. XXXI, фиг. 1	Табл. XXXII, фиг. 2
Диаметр раковины . . . . .	270(100) 131(100)	108(100)	66(100)
Высота оборота . . . . .	110(41) 51?(39)	50(46)	33(50)
Толщина оборота . . . . .	— 47(36)	40(37)	25(39)
Диаметр пупка . . . . .	75(27) 20?(23)	24(21)	16,5(20)

Сравнение. От *T. tolli* P a v l o w (1913, стр. 39, табл. XII, фиг. 1 и 2) описываемый вид отличается более низкими и толстыми оборотами, более узким пупком, меньшим числом внутренних ребер; более широким первым боковым седлом и двураздельной первой боковой лопастью. От *T. tolmatschowi* P a v l o w (1913, стр. 40, табл. XII, фиг. 2;

табл. XIII, фиг. 1) отличается теми же особенностями, что и от *T. tolli*, а кроме того, отсутствием явных пережимов.

Местонахождение. Полуостров Пахса, обр. 25в, обр. 23а<sub>1</sub> и 23а<sub>2</sub>.

Возраст. Нижний валанжин.

*Tollia profundumbilicata* sp. nov.

Табл. XXXVI; табл. XXXVII, фиг. 1

Материал. Один экземпляр (колл. Т. М. Емельянцева).

Описание. Раковина дискоидальная, инволютная. Боковые стороны уплощены и наклонены к сифональной части, так что поперечный разрез трапециoidalный; наибольшая толщина отмечается у пупкового перегиба. Пупок узкий и глубокий; стенка пупка крутая, с возрастом становится обрывистой; перегиб закругленно-угловатый. Внутренние ребра, в количестве 24, на последнем обороте сглажены; они неясные, немного косо поставленные, наблюдаются только близ перегиба. Имеется только один пережим.

Лопастная линия сильно рассеченная, приподнимающаяся от первой боковой лопасти по направлению к пупку, типичная для рода *Tollia*.

Размеры (в мм)

Диаметр раковины . . . . .	143(100)
Высота оборота . . . . .	67(47)
Толщина оборота . . . . .	57(40)
Диаметр пупка . . . . .	23,5(16)

Сравнение. Описываемый вид отличается от *Tollia emelianzevi* sp. nov. более низкими оборотами при одинаковой их толщине, более узким и глубоким пупком и меньшим числом внутренних ребер. Лопастные линии *Tollia profundumbilicata* и *Tollia emelianzevi* sp. nov. тождественны.

Описываемый вид отличается от всех известных видов *Tollia* более глубоким пупком.

Местонахождение. Река Анабар — кряж Прончищева, обр. 111.

Возраст. Нижний валанжин.

*Tollia (Polypychites?) mira* sp. nov.

Табл. XLI, фиг. 3а, б

Материал. Один экземпляр (колл. Е. С. Ершовой и Т. М. Емельянцева).

Описание. Дискоидальная раковина с сильно объемлющими оборотами. Пупок умеренно широкий, средней глубины, ступенчатый, занимает немного больше четверти диаметра раковины. Крутая стенка пупка переходит в закругленный пупковый перегиб. Ребра начинаются на середине стенки пупка. Близ пупкового перегиба они отходят сначала назад, а в нижней части боковой стороны наклоняются вперед. Здесь они сильно приподнимаются, не образуя бугорков, и на расстоянии одной трети высоты боковых сторон от пупкового перегиба разветвляются на два тонких ребра. Последние, в свою очередь, иногда раздваиваются следующим образом: переднее разветвлено ближе к пупковому перегибу, а заднее — на середине боковой поверхности оборота; иногда раздваивается только заднее ребро. Кроме того, между пучками наблюдаются вставные ребра, затухающие на середине боковой поверхности. На полном обороте внутренних ребер насчитывается 23. На половине оборота на 11 внутренних приходится 54 внешних ребра. В начале последнего оборота наблюдаются два пережима, расположенные на

близком расстоянии друг от друга; другие два пережима находятся недалеко от начала жилой камеры. После них внутренние ребра становятся грубыми. Ребра и пережимы через сифональную сторону переходят, не прерываясь, с выгибом вперед. Жилая камера сохранилась частично; устье неизвестно.

Лопастная линия поднимается к пупку (рис. 26).

Сифональная лопасть длиннее и шире первой боковой лопасти. Последняя несимметричная и оканчивается тремя веточками; вторая

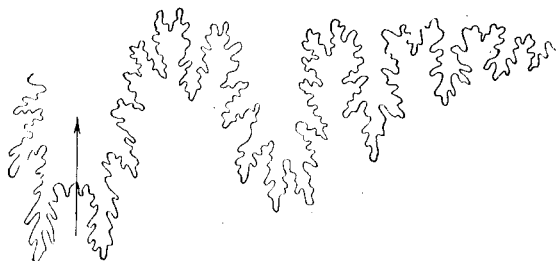


Рис. 26. Лопастная линия *Tollia* (*Polyptychites*?) *mira* sp. nov. (×2).

боковая лопасть вдвое короче и уже первой; ее центральная веточка очень длинная; три вспомогательные лопасти постепенно убывают. Внешнее седло широкое, к основанию расширяется; вспомогательной лопастью седло разделено на две неравные части; первое боковое седло наполовину уже сифонального, к основанию суживается и слабо разделено вспомогательной

лопастью на две части: второе боковое седло одинаковой ширины с первым, — оно двураздельное.

Размеры (в мм)

Диаметр раковины . . . . .	67,5(100)
Высота оборота . . . . .	28(42)
Толщина оборота . . . . .	27,5(41)
Диаметр пупка . . . . .	18(27)

Сравнение. По форме раковины описываемый экземпляр похож на *Tollia anabarensis* (Pavlov) (1913). Отличается от нее более толстыми оборотами, меньшим и более глубоким пупком, меньшим числом ребер и сифональной лопастью — более длинной, чем первая боковая лопасть.

Лопастная линия рассматриваемого вида напоминает лопастную линию *Polyptychites keyserlingi* Neum. et Uhl. [см. А. П. Павлов, 1892, табл. XV(VIII), фиг. 2с], отличаясь более узкими лопастями.

Местонахождение. Полуостров Пахса, обр. 29а.

Возраст. Средний валанжин.

*Tollia* sp. indet.

Табл. XL, фиг. 1

Материал. Два образца (колл. Е. С. Ершовой и Т. М. Емельянцева).

Описание. Раковина дискоидальная, несколько деформированная. Обороты объемлющие. Пупок узкий, мелкий. Пупковый перегиб закругленный. Внутренние ребра направлены почти радиально, но после разветвления наклоняются вперед и с изгибом вперед переходят через сифональную область. Внутренних ребер 12; им соответствует 80 внешних. На половине оборота наблюдается один слабый пережим. Жилая камера и лопастная линия неизвестны.

Размеры (в мм)

Диаметр раковины . . . . .	99(100)
Высота оборота . . . . .	45(45)
Диаметр пупка . . . . .	16(15)



Сравнение. От *Tollia tolli* Pavlow эта форма отличается значительно более узким пупком и наклоном внешних ребер. От *T. tolma-tschowi* Pavlow отличается значительно меньшим пупком и отсутствием многочисленных пережимов. Из-за плохой сохранности и отсутствия лопастной линии невозможно выделить наши экземпляры в самостоятельный вид.

Местонахождение. Полуостров Пахса, обр. 25в и 23а.  
Возраст. Нижний валанжин.

Род *Taimyroceras* Bodylevsky, 1956

Тип рода — *Taimyroceras taimyrense* Bodylevsky, 1956

*Taimyroceras(?) bodylevskyi* sp. nov.

Табл. XXXI, фиг. 2а, б, в

Материал. Один экземпляр (колл. Е. С. Ершовой и Т. М. Емельянцева).

Описание. Раковина дискоидальная, сжатая с боков, несколько уплощенная с сифональной стороны, с сильно объемлющими ( $\frac{5}{6}$ ) обо-

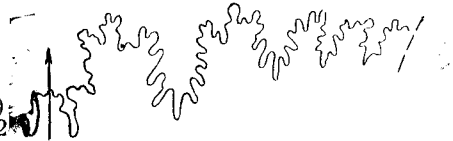


Рис. 27. Лопастная линия *Taimyroceras(?) bodylevskyi* sp. nov. [к табл. XXXI, фиг. 2а, б, в (×1,5)].

ротами. Пупок довольно глубокий, умеренно узкий; пупковая стенка пологая, гладкая; пупковый перегиб закруглен. Внутренние ребра (24 на последнем полном обороте) очень слабые в начале оборота, все более и более усиливаются в сторону устья, радиально отходят от пупкового перегиба. Выше середины боковой поверхности они разделяются на две ветви, которые, несколько ослабляясь, прямо переходят на другую сторону. Между внешними ребрами имеются промежуточные, входящие до одного уровня с местом ветвления основных ребер. Внешних ребер 74. Скульптура внутренних оборотов неизвестна. Жилая камера занимает 0,9 оборота. Устье неизвестно.

Лопастная линия мало рассеченная, приподнимающаяся по направлению к пупку (рис. 27). Первая боковая лопасть несколько короче сифональной, оканчивается тремя веточками, причем средняя мало выдается; вторая боковая лопасть вдвое меньше первой. До пупкового перегиба имеются две вспомогательные лопасти, которые постепенно уменьшаются в размерах по направлению к пупку; две другие вспомогательные лопасти расположены на пупковой стенке. Внешнее седло широкое, гораздо шире остальных, неправильно разделено на две части. Первое боковое седло несколько уже внешнего и тоже разделено на две неравные части; второе боковое седло и вспомогательные седла равны между собой по ширине и вдвое уже первых двух.

Размеры (в мм)

Диаметр раковины . . . . .	64(100)
Высота оборота . . . . .	27,5(43)
Толщина оборота . . . . .	23(36)
Диаметр пупка . . . . .	14,5(23)

Сравнение. *Taimyroceras* был выделен В. И. Бодылевским (1956) на основании отличия представителей этого рода от *Craspedites* и *Temnoptychites*. Отличием от *Craspedites* В. И. Бодылевский считает ослабление ребер на брюшной стороне оборота; на более поздней ста-

дии роста исчезновение их на той же стороне, но с усилением ребер на боковой поверхности. От *Temnoptychites* отличается скульптурой типа *Craspedites* на ранних стадиях развития, с почти радиально направленными ребрами на внешней стороне и менее расчлененной лопастной линией.

Сравнение. Описываемый экземпляр по характеру скульптуры, аналогичной скульптуре *Craspedites*, и по упрощенности лопастной линии — настоящий *Taimyroceras*. Но, ввиду отсутствия явно выраженного сглаживания ребер на внешней стороне, родовое определение несколько сомнительно. От всех видов *Taimyroceras*, описанных В. И. Бодылевским (1958), рассматриваемая форма отличается более толстыми оборотами и малой сглаженностью ребер на сифональной стороне.

Местонахождение. Полуостров Пахса, обр. 26а<sub>15</sub>.

Возраст. Нижний валанжин, слои с *Subcraspedites*.

Распространение рода *Taimyroceras* по В. И. Бодылевскому (1958). Зона *Taimyroceras* нижнего валанжина (или верхнего волжского яруса) низовьев Енисея и полуострова Таймыр.

Род *Temnoptychites* Pavlov, 1913

Тип рода — *Olcostephanus hoplitoides* Nikitin, 1888

*Temnoptychites prontschischtevi* sp. nov.

Табл. XXXVII, фиг. 2а, б

Материал. Один экземпляр (колл. В. А. Руцкова).

Описание. Раковина средней толщины, обороты довольно сильно объемлющие. Высота и толщина последнего оборота почти равны. Наибольшая толщина оборота находится вблизи пупка; по направлению к сифональной части оборот суживается, сифональная сторона закруглена. Пупок довольно узкий; пупковая стенка крутая. Внутренние ребра грубые; место их разветвления находится несколько ниже середины боковой поверхности оборота. По мере приближения к устью внутренние ребра становятся более грубыми и изогнутыми. Они разветвляются по полиптихитовому типу. На сифональной стороне они на всем последнем обороте совершенно сглажены. На боковой поверхности при приближении к устью сглаживаются периферические ребра и остаются только резкие внутренние.

Сифональная лопасть длиннее первой боковой; боковые лопасти постепенно убывающие как по длине, так и по ширине. Третья вспомогательная лопасть расположена на перегибе пупка. Внешнее седло широкое, двумя дольками разделено на три части; первое боковое седло вдвое уже внешнего, но одинаковой с ним высоты; второе боковое и первое вспомогательное седла одинаковой ширины, но последнее разделено на две части; остальные вспомогательные седла вдвое уже.

Размеры (в мм)

Диаметр раковины . . . . .	84(100)
Высота оборота . . . . .	38(45)
Толщина оборота . . . . .	39(46)
Диаметр пупка . . . . .	18,8(23)

Сравнение. Описываемый экземпляр несколько напоминает *T. triptychiformis* (Nikitin) (1884, стр. 97, табл. II, фиг. 4 и 5). Отличается формой поперечного разреза оборота и изогнутостью более редко расположенных ребер.

Местонахождение. Кряж Прончищева, обр. 429.

Возраст. Средний валанжин.

Распространение рода *Temnoptychites*. Средний валанжин, зона *Temnoptychites* Поволжья, Печоры, Ижмы; валуны на Новой Земле.

*Temnoptychites grandiosus* sp. nov.

Табл. XXXVIII, фиг. 1 и 2; табл. XLVII, фиг. 1; табл. L, фиг. 1а, б

Материал. Один экземпляр (колл. Г. А. Ермолаева).

Описание. Очень большой дискоидальный аммонит диаметром 260 мм. Обороты инволютные, поперечный разрез трапецидального очертания; боковая поверхность наклонена к сифональной стороне; последняя на внутренних, молодых оборотах уплощенная, с возрастом суживается и закругляется; толщина оборота меньше высоты; наибольшая толщина оборота — близ пупкового перегиба. Пупок узкий, на внутренних, молодых оборотах мелкий, с возрастом становится глубоким, а стенка его — крутой; пупковый перегиб закругленный. Боковая поверхность оборота гладкая, без каких-либо скульптурных украшений. Жилая камера не сохранилась; хорошо прослеживаются лопастные линии с пятью вспомогательными лопастями.

На наблюдаемой третьей части внутреннего оборота раковины, приблизительно при ее диаметре 13—15 мм, можно видеть 8 тонких ребер, которые ниже середины боковой поверхности разделяются на две ветви, наклоненные вперед. С сильным изгибом вперед они без перерыва переходят на другую сторону. Имеется пережим, перед которым ребро разветвляется на три части.

У раковины диаметром приблизительно 20—22 мм ребра становятся рельефными. При диаметре 43,75 мм высота оборота немного больше толщины. На доступной для наблюдения части оборота можно видеть, что ребра начинаются в верхней части пупковой стенки, сразу отклоняясь назад; перейдя пупковый перегиб, они приобретают почти радиальное направление и постепенно приподнимаются. Ниже середины боковой поверхности ребра разделяются на две ветви, причем передняя отклоняется вперед, а задняя — назад; таких ребер на 3 см по сифональной стороне насчитывается 4; кроме них, имеется одно неразветвленное ребро; ниже середины поверхности оборота, где у других ребер находится место ветвления, оно приподнимается и затем отклоняется назад. На сифональном перегибе как раздваивающиеся ребра, так и одиночное сильно наклоняются вперед. На сифональной стороне ребра ослабевают. При диаметре раковины 55 мм высота оборота остается больше толщины. Ребра на отпечатках, наблюдающихся на внутренней поверхности следующего оборота, ослабевают, а на сифональной стороне совершенно исчезают.

При диаметре раковины 94 мм на боковых поверхностях оборота скульптура остается только в виде чуть заметной волнистости. Последующие обороты совершенно гладкие.

Следует отметить, что все известные виды *Temnoptychites* — небольшой величины, и последние их обороты сохраняют скульптуру, хотя и сглаженную. На наших же экземплярах хорошо прослеживается постепенное и полное угасание скульптуры сначала на сифональной стороне (*T. grandiosus*), затем на боковых поверхностях оборотов (*T. prontschischtevi*); остаются только ребра на пупковом перегибе; наконец, исчезают и они.

Размеры (в мм)

Диаметр раковины . . . . .	220(100)	94(100)	55(100)	43,75(100)
Высота раковины . . . . .	115(52)	47,5(50)	26,50(48)	19,50(47)
Толщина оборота . . . . .	?	38,75(41)	22(40)	17,50(40)
Диаметр пупка . . . . .	32(15)	14(15)	9,50(17)	7,50(17)

Сравнение. Ребристые обороты описываемого вида по своей скульптуре напоминают *T. simplex* Bogoslawsky (1902, стр. 58, табл. XIV, фиг. 6а, в); отличаются от него трапецидальным очертанием поперечного разреза оборота, узким пупком и более грубой скульптурой.

От *T. rudis* B o d y l e v s k y (in litt.) описываемый вид отличается сильнее наклоненными вперед ребрами и значительно бóльшими размерами; размеры *T. rudis*: диаметр 46 мм (100), высота оборота 19 мм (46), толщина 22 мм (48), диаметр пупка — 13,50 мм (29).

Теми же признаками *T. grandiosus* отличается и от *T. syzranicus* P a v l o w (1902).

Местонахождение. Река Уджа, обр. 135з.

Возраст. Средний валанжин, зона *Temnoptychites*.

Распространение. Род *Temnoptychites* распространен в среднем валанжине Русской платформы, в низовьях Енисея; его представители встречены в валунах на Новой Земле.

## Семейство *Polyptychitidae* S p a t h, 1924

Род *Polyptychites* P a v l o w, 1892

Тип рода — *Ammonites polytychus* Keyserling, 1846

*Polyptychites* sp. nov. indet.

Табл. XLI, фиг. 1; табл. XLVIII, фиг. 2а, б

1913. *Polyptychites* cf. *ovatus* Павлов. Юрские и меловые Cephalopoda севера Сибири, стр. 22, табл. IV, фиг. 1а, б, с.

М а т е р и а л. Два экземпляра (колл. Е. С. Ершовой и Т. М. Емельянцева).

Описание. Хорошо сохранились только половины внешних оборотов раковин, принадлежащие почти полностью жилой камере. Оборот несколько сдавлен, и потому истинная толщина его неизвестна. Боковые поверхности несколько уплощены, сифональная — закругленная. Пупок довольно узкий. Пупковая стенка крутая, почти отвесная; пупковый перегиб закруглен. Внутренние ребра (числом 8) в виде удлинённых, почти прямо направленных бугорков начинаются от пупкового перегиба и быстро сглаживаются кверху. На сифональной стороне им соответствует 36 ребер, несколько наклоненных вперед. Связь между пупковыми и внешними ребрами почти не наблюдается. Недалеко от конца перегородчатой части оборота ясно виден наклоненный вперед пережим.

На отпечатке внутреннего оборота видно, как внутренние ребра разветвляются близ пупкового перегиба, образуя пучки с 4—5 ребрами.

Р а з м е р ы (в мм) (приблизительные)

Диаметр раковины . . . . .	90(100)	90(100)
Высота оборота . . . . .	44(49)	38(42)
Толщина оборота . . . . .	?	42(48)
Диаметр пупка . . . . .	23(25)	21,5(24)

С р а в н е н и е. Описываемые образцы надо сравнивать не с *Polyptychites ovatus* К о е п е н (1907, стр. 42, табл. XVIII, фиг. 1 и 2), а с *Polyptychites* cf. *ovatus*, который описан и изучен А. П. Павловым (1913, стр. 22, табл. IV, фиг. 1а—с). Последний вид мало похож на типичную форму.

От *Polyptychites* cf. *ovatus* P a v l. наш образец отличается лишь несколько меньшим размером, большей сглаженностью скульптуры на боковой поверхности (может быть, это объясняется тем, что оборот представлен жилой камерой) и несколько бóльшим числом внешних ребер. Если же сравнивать скульптуру внутренних оборотов нашей формы с экземпляром, имевшимся у А. П. Павлова (оборот более молодой), то можно убедиться, что скульптура обоих экземпляров совершенно совпадает.

Из-за отсутствия хорошего материала невозможно выделить *Polyptychites* sp. nov. indet. в самостоятельный вид.

Местонахождение. Полуостров Пахса, обр. 29а и 29а<sub>3</sub>.

Возраст. Средний валанжин.

*Polyptychites(?) subovatus* sp. nov.

Табл. XXXIII, фиг. 3

Материал. Один экземпляр (колл. Е. С. Ершовой и Т. М. Емельянцева).

Описание. Скульптура внешнего оборота (взрослого) отличается только несколько меньшим в сравнении с соответствующей скульптурой *Polyptychites ovatus* Коенен (1907, стр. 42, табл. XVIII, фиг. 1 и 2) расстоянием между ребрами. Зато скульптура предыдущего оборота от него сильно отличается (на табл. XXXIII, фиг. 3, представлен аммонит, у которого внешний оборот удален): внутренние ребра расположены так же, как на внешнем обороте, но разветвляются они на большее число тонких ветвей, расстояние между которыми равно ширине внешнего ребра, причем передняя ветвь скоро вновь раздваивается, а задняя ветвь преимущественно разделяется на четыре части по полиптихитовому типу; таким образом, во всем пучке можно насчитать шесть ребер. Ребра направлены вперед, и с изгибом вперед они переходят через сифональную сторону. Кроме того, на внутреннем обороте наблюдаем три пережима. Третий пережим, расположенный ближе к устью, глубокий, и после него начинаются более грубые и шире расставленные внешние ребра, постепенно переходящие в скульптуру, подобную скульптуре *Polyptychites ovatus*.

Ввиду своеобразия скульптуры внутренних оборотов нет уверенности в правильности родового определения.

Местонахождение. Полуостров Пахса, обр. 29а<sub>3</sub>.

Возраст. Средний валанжин, зона *Polyptychites*.

*Polyptychites* cf. *rinnei* Коенен

Табл. XLIII, фиг. 1а, б; 2а, б

1913. *Polyptychites* cf. *rinnei* Павлов. Юрские и меловые Cephalopoda севера Сибири, стр. 21, табл. III, фиг. 3а, б, с.

Материал. Два экземпляра (колл. Е. С. Ершовой и Т. М. Емельянцева).

Размеры (в мм)

Диаметр раковины . . . . .	42(100)
Высота оборота . . . . .	40(43)
Толщина оборота . . . . .	50(52)
Диаметр пупка . . . . .	22(24)

Описание. Раковина по внешней форме и орнаментации очень напоминает экземпляр, описанный А. П. Павловым со знаком cf. В то же время наши формы отличаются от *P. rinnei* Коенен (1907, стр. 70, табл. XXVIII, фиг. 1 и 2) размером раковины и более тонкими внешними ребрами.

Местонахождение. Полуостров Пахса, обр. 29а; кряж Прончищева, четвертая гряда.

Возраст. Средний валанжин.

Распространение *Polyptychites rinnei* Коенен. Средний валанжин Германии.

*Polyptychites conferticosta* P a v l o w

Табл. XLVII, фиг. 2а, б

1913. *Polyptychites conferticosta* П а в л о в. Юрские и меловые Cephalopoda севера Сибири, стр. 27, табл. V, фиг. 4.

М а т е р и а л. Один экземпляр (колл. Е. С. Ершовой и Т. М. Емельянцева).

Р а з м е р ы (в мм)

Диаметр раковины . . . . .	79(100)
Высота оборота . . . . .	34(43)
Толщина оборота . . . . .	36(44)
Диаметр пупка . . . . .	20(25)

О п и с а н и е. А. П. Павлов, описывая этот вид, считал его крайним членом ряда *Polyptychites densicosta* (1913, стр. 26, табл. V, фиг. 3). От последнего вида рассматриваемая форма отличается большим числом внутренних ребер и разветвлением ребер, расположенным ближе к лупковому перегибу. В коллекции А. П. Павлова этот вид представлен более молодым экземпляром, чем наш. На более молодых оборотах нашего аммонита число внутренних ребер соответствует числу ребер на образце А. П. Павлова. Наружные обороты нашего экземпляра сохраняют то же число внутренних ребер (15 на половину оборота) и тот же характер их ветвления, что и более молодой оборот.

М е с т о н а х о ж д е н и е. Полуостров Пахса, обр. 25а и 29а<sub>1</sub>.

В о з р а с т. Средний валанжин.

Р а с п р о с т р а н е н и е. Средний валанжин севера Сибири.

*Polyptychites* cf. *undulatocostatus* D o n o v a n

Табл. XLII, фиг. 2а, б

1953. *Polyptychites* cf. *undulatocostatus* D o n o v a n. The Jurassic and Cretaceous stratigraphy and palaeontology of Traill, East Greenland, стр. 104, табл. XXI, фиг. 5а, б.

М а т е р и а л. Один экземпляр (колл. В. А. Руцкова).

О п и с а н и е. Раковина несколько сдавлена с боков, но все равно толщина оборотов превосходит высоту. Поперечное сечение оборотов полукруглое. Пупок занимает немного более четверти оборота. Стенка пупка сначала покатаая, к устью почти отвесная. Внутренние ребра в виде 18 бугорков на протяжении оборота разветвляются на две ветви, каждая из которых разделяется на две. Через сифональную сторону ребра переходят с мало заметным наклоном вперед. С возрастом скульптура на боковой поверхности сглаживается, и бугорки теряют связь с внешними ребрами. На протяжении оборота наблюдаются три слабо выраженных пережима. Последнюю треть оборота занимает жилая камера.

Первое и второе боковые седла немного выше внешнего. Пупковый перегиб проходит после вспомогательного седла.

Р а з м е р ы (в мм)

Диаметр раковины . . . . .	60(100)
Высота оборота . . . . .	26(43)
Диаметр пупка . . . . .	17(28)

С р а в н е н и е. Наш экземпляр сходен с *Polyptychites undulatocostatus* D o n o v a n, но толщина оборота нашего экземпляра неизвестна. Поэтому мы вынуждены ограничиться приближенным определением. Д. Донован считал, что *P. undulatocostatus* очень похож на *P. middenдорффи* P a v l o w (1913, стр. 31, табл. VI, фиг. 2; табл. VII, фиг. 1 и 2) и на *P. stubendorffi* S c h m i d t (там же, стр. 29, табл. V, фиг. 5, б, 7; табл. VI, фиг. 1) и является дегенеративной формой. По сходству орна-

ментации он ближе к *P. stubendorffi*, но отличается более толстыми и высокими оборотами (при одинаковом диаметре раковины), более ярко выраженными пупковыми бугорками и сглаженностью ребер между бугорками и внешними ребрами.

Местонахождение. Кряж Прончищева, обр. 289/3.

Возраст. Средний валанжин.

Распространение вида. Средний валанжин восточной Гренландии.

*Polyptychites undulatocostatus* var. *multitudinis* var. nov.

Табл. XLI, фиг. 2а, б

Материал. Один образец (колл. К. Громова).

Сравнение. От типичной формы отличается более толстыми оборотами, несколько более грубыми бугорками и возобновлением полной скульптуры при приближении к устью.

Размеры (в мм)

Диаметр раковины . . . . .	60(100)
Высота оборота . . . . .	25(42)
Толщина оборота . . . . .	34(57)
Диаметр пупка . . . . .	16,5 (27)

Местонахождение. Хребет Прончищева, четвертая гряда, обр. 318.

Возраст. Тот же, что и у *Polyptychites undulatocostatus*.

Род *Virgatoptychites* Voronetz, 1958

Тип рода — *Virgatoptychites changalassensis* Voronetz, 1958

*Virgatoptychites(?) pakhsaensis* Voronetz

Табл. XLIV, фиг. 1а, б

1958. *Virgatoptychites(?) pakhsaensis* Воронец. Новый род *Virgatoptychites* из северных районов Сибири, стр. 72, табл. I, фиг. 1а, б.

Материал. Один экземпляр (колл. Е. С. Ершовой и Т. М. Емельянцева).

Описание. Раковина дискоидальная. Обороты уплощенные. Поперечное сечение несколько вытянуто в высоту, наибольшая толщина находится у пупкового перегиба. Обороты сильно объемлющие ( $9/10$ ); боковые стороны немного уплощены и наклонены к сифональной поверхности, которая сужена и закруглена. Пупок довольно узкий; пупковая стенка последнего оборота крутая; пупковый перегиб круто закруглен. На предпоследнем обороте ребра начинаются ниже середины пупковой стенки; сначала они отклоняются назад от радиуса, но, перейдя через пупковый перегиб, изгибаются и наклоняются вперед. Близ середины боковой поверхности они разделяются на три ветви. При приближении к сифональной стороне ребра еще более наклоняются вперед и, перейдя на сифональную сторону, образуют изгиб, направленный вперед. На наружном обороте, 0,9 которого занимает жилая камера, наблюдаются два слабых пережима в начале оборота и один — вдоль устья. На первой половине последнего оборота внутренние ребра довольно сильно приподнимаются, остаются тонкими (а не бугорчатыми) и раздваиваются на расстоянии одной трети высоты боковой поверхности от пупка; между пучками наблюдаются два вставных ребра, не соединяющихся с главными. К концу этой половины оборота два последних ребра бидихотомные, причем заднее раздвоенное ребро не соединено с передним и является как бы промежуточным. На этой половине число внутренних ребер 12 и, соответственно, внешних — 48. На внешней половине ребра начинают сглаживаться на боко-

вой поверхности, а затем близ пупка; внешние же ребра сохраняются до устья. Устье, по-видимому, простое.

Лопастная линия (рис. 28) мало изрезана. Все боковые и вспомогательные лопасти двураздельные. Первая боковая лопасть уже и короче сифональной; вторая боковая лопасть вдвое уже и короче первой; вспомогательные лопасти (их 4) постепенно убывают в сторону пупка. Внешнее седло разделено вспомогательной лопастью на две части, из которых внутренняя короче внешней. Первое, второе боковые и вспомогательные седла очень узкие — вдвое уже внешнего седла.

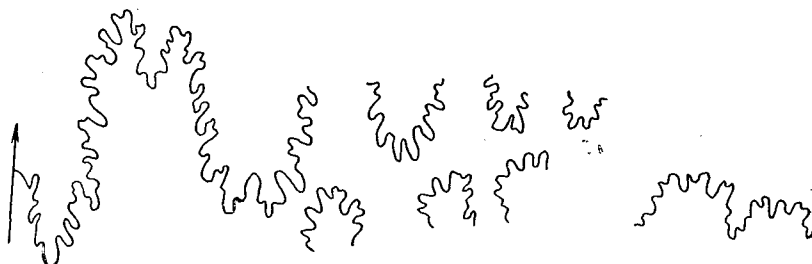


Рис. 28. Лопастная линия *Virgatoptychites(?) pakhsaensis* Voronetz [к табл. XLIV, фиг. 1 ( $\times 2.5$ )].

Размеры (в мм)

	Обр. 2) а
Диаметр раковины . . . . .	100(100)
Высота оборота . . . . .	40(40)
Толщина оборота . . . . .	36(36)
Диаметр пупка . . . . .	22(22)

Сравнение. Наш экземпляр по форме оборотов раковины и по характеру ветвления ребер на последнем обороте напоминает *Virgatoptychites changalassensis* Voronetz (1958, стр. 68, табл. I, фиг. 2, 3, 4), отличаясь от него лишь неясным виргатитовым ветвлением ребер, заканчивающимся ранее. Родовые признаки (Н. С. Воронец, 1958) выражены не вполне четко.

Местонахождение. Полуостров Пахса, обр. 29а.

Возраст. Средний валанжин.

Род *Euryptychites* Pavlow, 1913

Тип рода — *Polyptychites graversiformis* Pavlow, 1892

*Euryptychites pavlovi* sp. nov.

Табл. XXXIX, фиг. 2; табл. XL, фиг. 2а, б; табл. XLIX, фиг. 1а, б

1913. *Euryptychites graversiformis* Павлов. Юрские и меловые Cephalopoda севера Сибири, стр. 37, табл. XI, фиг. 2, 3.

Материал. Четыре экземпляра (колл. Е. Л. Ершовой и Т. М. Емельянцева).

Описание. Обороты инволютные, низкие и толстые; толщина превосходит высоту почти в два раза. Наибольшая толщина их приходится на пупковый перегиб. Боковая сторона очень короткая и быстро переходит в широкую и уплощенную сифональную сторону. Пупок умеренно широкий, глубокий, воронкообразной формы. Пупковый перегиб закругленно-острый. Пупковая стенка внутреннего оборота покрыта внутренними ребрами, отходящими от шва, на наружных оборотах ребра начинаются на середине стенки. Вначале ребра тонкие, подходя к перегибу, возвышаются и образуют на нем косо направленные вперед бугорки. На полный оборот приходится 16 бугорков. От бугорка отхо-



дят две ветви: передняя — почти одинаковой величины с бугорком, сильно наклонена вперед и представляет собой как бы продолжение бугорка; задняя — менее развитая, чем бугорок, отходит от нижней части последнего, почти радиально направлена. Иногда между этими двумя ветвями встречается вставная ветвь, которая примыкает к бугорку. Эти ребра делятся в свою очередь на две ветви. Внешние ребра — тонкие и острые; расстояние между ними шире толщины ребер. На половину оборота приходится 8 внутренних ребер; на сифональной стороне насчитывается 44 ребра. При приближении к жилой камере внешние ребра около бугорков сглаживаются, расстояния между ребрами на сифональной стороне расширяются, а на жилой камере ребра совсем сглаживаются. На обороте наблюдаются четыре пережима, из



Рис. 29. Лопастная линия *Euryptychites pavlovi* sp. nov. [к табл. XLIX, фиг. 1 (×2)].

которых один очень глубокий и широкий. Жилая камера сохранилась только частично.

Лопастная линия (рис. 29) сильно изрезана. Линия, соединяющая вершины седел, расположена почти радиально, понижены только вспомогательные седла. Сифональная лопасть длиннее первой боковой. Однако первая боковая лопасть вдвое длиннее и шире второй боковой лопасти. Внешнее и второе боковое седла очень широкие. Первое боковое седло на две трети уже как внешнего, так и второго седла. Второе боковое седло вспомогательной длинной лопастью разделено на две неравные части.

#### Размеры (в мм)

Диаметр раковины . . . . .	74(100)
Высота оборота . . . . .	30(40)
Толщина оборота . . . . .	58(78)
Диаметр пупка . . . . .	32(29)

Сравнение. Под названием *Euryptychites graversiformis* А. П. Павлов (1913) описал образец с севера Сибири. Этот экземпляр, так же как и наши, отличается от вида, установленного им из слоев Спитон в Англии [А. П. Павлов, 1892, стр. 482, табл. XII(VI), фиг. 7 и 8 в тексте], более высокими оборотами при одном и том же диаметре раковины, более узким пупком, большим числом ветвей в пучке ребер и лопастной линией с более широкими седлами. Из-за этих отличительных особенностей сибирских форм их необходимо выделить в новый вид.

Местонахождение. Полуостров Пахса, обр. 29а и 29а<sub>5</sub>.

Возраст. Средний валанжин.

Распространение *Euryptychites*. Средний валанжин Поволжья, Англии (слои «D» Спитона), севера Сибири.

*Euryptychites* sp. nov. indet.

Табл. XLII, фиг. 1; табл. L, фиг. 2

Материал. Два экземпляра (колл. Т. М. Емельянцева).

Описание. Обороты очень вздутые, сильно объемлющие, с толщиной, значительно превосходящей высоту. Наибольшая толщина оборотов у пупкового перегиба. С возрастом толщина оборота увеличивается, а высота уменьшается очень мало. Пупок довольно узкий; в дальнейшем его относительная величина не изменяется. Пупок воронкообразный; пупковая стенка крутая, гладкая в своей нижней части. Пупковый перегиб резко угловатый. На внутренних оборотах внешние ребра начинаются выше середины стенки, ближе к пупковому перегибу. Ребра (число их насчитывается 10 на половину оборота) имеют вид удлиненных, небольших и заостренных бугоркообразных возвышенно-

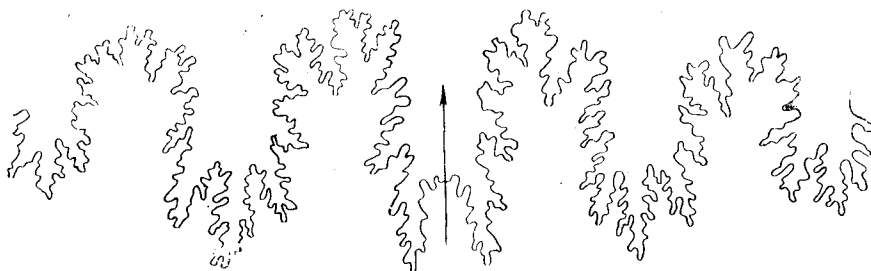


Рис. 30. Лопастная линия *Euryptychites* sp. nov. indet. [к табл. XLII, фиг. 1 ( $\times 1,5$ )].

стей, направленных немного вперед, понижающихся к середине боковой поверхности и опять усиливающихся с приближением к сифональной стороне, через которую переходят без перерыва. При диаметре раковины 19,5—40 мм рёбра разделяются на два или три ребра по полиптихитовому типу. При диаметре раковины 87 мм от бугорка отходит одно внешнее ребро, а остальные являются как бы вставными, к нему не присоединяющимися. При диаметре раковины 130 мм внутренние рёбра представлены небольшими, мало выдающимися круглыми бугорками; боковая поверхность совершенно сглажена, и рёбра наблюдаются только на сифональной стороне. Жилая камера сохранилась только частично.

Лопастная линия (рис. 30) разветвленная, несимметричная. Сифональная и первая боковая лопасти почти одинаковой длины и ширины. Внешнее и первое боковое седла вспомогательными лопастями несимметрично разделены на две части, причем меньшие их части обращены друг к другу. Первое боковое седло ниже внешнего. Второе боковое седло расположено на пупковом перегибе.

Размеры (в мм)

Последовательные измерения одного экземпляра

Диаметр раковины . . . . .	111,5(100)	87(100)	35(100)	19,5(100)
Высота оборота . . . . .	45(40)	35(40)	14(40)	8(42)
Толщина оборота . . . . .	92(83)	68(78)	20(72)	13(67)
Диаметр пупка . . . . .	26(23)	20(23)	8(23)	4,5(23)

Сравнение. Описываемые экземпляры напоминают *E. latissimus* Neumaug et Uhlig (1911, стр. 158, табл. XXVIII, фиг. 1a, b), но отличаются большей высотой и толщиной оборотов, значительно более узким пупком, меньшим числом внутренних ребер и пучком ребер на внешнем обороте, из которых (у нашего вида) только одно явно соединено с бугорком. Лопастная линия отличается более длинными

сифональной и первой боковой лопастью, более широкой второй боковой лопастью и более равномерно закругленным первым седлом.

Из-за отсутствия хорошего материала не представляется возможным выделить описываемые аммониты в новый вид.

Местонахождение. Тигано-Анабарский район, обр. 174 и 161. Возраст. Средний валанжин.

*Euryptychites pateraeformis* sp. nov.

Табл. XLVIII, фиг. 1; табл. LI, фиг. 1а, б; табл. LII, фиг. 1

Материал. Шесть образцов (колл. Е. С. Ершовой и Т. М. Емельянцева, колл. К. Громова).

Описание. Обороты инволютные, низкие и толстые; толщина внешнего оборота превосходит его высоту почти в два раза. Толщина внутренних оборотов превосходит высоту только в 1,4 раза. Наибольшая толщина оборота отмечается на пупковом перегибе. Поверхность боковых сторон короткая и сразу переходит в широкую и уплощенную сифональную сторону. Пупок широкий и глубокий. Стенка высокая и обрывистая, покрыта ребрами, сильно приподнимающимися при переходе через пупковый перегиб и образующими на нем наклоненные вперед бугорки. На наружном обороте ребра начинаются от середины высоты стенки. На внутренней половине оборота насчитывается 8 бугорков, на всем внешнем обороте — 15. От бугорков отходят три тонких, высоких внешних ребра. Среднее ребро является продолжением бугорка; переднее ребро отходит сбоку и наклоняется вперед, а заднее — начинается от бугорка у пупкового перегиба и направлено радиально. Далее ребра опять раздваиваются на равном расстоянии от пупка. Иногда встречаются вставные ребра. Все ребра через сифональную часть переходят почти прямо. На половину оборота приходится 51 внешнее ребро. Жилая камера занимает почти полный оборот. Бугорки на ней еще более возвышаются, внешние же ребра по мере приближения к устью сглаживаются. На обороте наблюдается три пережима, один недалеко от устья.

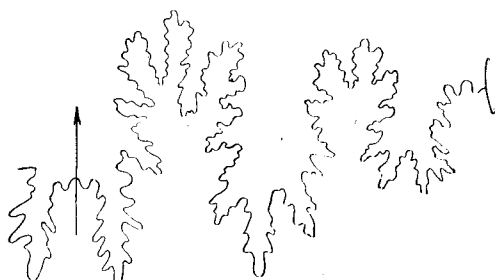


Рис. 31. Лопастная линия *Euryptychites pateraeformis* sp. nov. [к табл. LI, фиг. 1 (×2)].

Лопастная линия (рис. 31) отличается второй боковой лопастью, короткой и расширяющейся книзу, и широким вторым боковым седлом, расположенным на перегибе.

Размеры (в мм)

Диаметр раковины . . . . .	125(100)	80(100)
Высота оборота . . . . .	44(37)	32(40)
Толщина оборота . . . . .	84,5(68)	46(57)
Диаметр пупка . . . . .	45(36)	26(92)

Сравнение. От *Euryptychites globulosus* Коепен (1909, стр. 19, табл. 4, фиг. 1 и 2) описываемый вид отличается более низкими и менее толстыми оборотами, более узким пупком, иным характером менее многочисленных внутренних оборотов, большим числом внешних ребер и расширяющейся второй боковой лопастью.

От *Euryptychites pavlovi*, описанного выше, рассматриваемая форма отличается меньшей высотой и меньшей толщиной оборотов, большим

пупком, иным характером более многочисленных ребер и очертанием второй боковой лопасти.

Местонахождение. Полуостров Пакса, обр. 29а, 29а<sub>2</sub>, 29а<sub>4</sub>, 29а<sub>8</sub>; кряж Прончищева, четвертая гряда.

Возраст. Средний валанжин.

Род *Astieriptychites* Bodylevsky emend. Voronetz, 1958

Тип рода — *Simbirskites tonsbergensis* Pavlow (non Weerth), 1913

*Polyptychites astieriptychus* Bodylevsky, 1960 =

= *Astieriptychites astieriptychus* Bodylevsky, 1960

Табл. XLIV, фиг. 2а, б; табл. XLV, фиг. 3а, б; табл. XLVI, фиг. 2

1913. *Simbirskites tonsbergensis* Павлов. Юрские и меловые Cephalopoda севера Сибири, стр. 43, табл. XIV, фиг. 1 и 2.

1957. *Polyptychites astieriptychus* Бодылевский. Спорные вопросы стратиграфии юрских и меловых отложений Советской Арктики, стр. 98.

1958. *Astieriptychites astieriptychus* Воронеж. Аммониты полуострова Пакса, стр. 24, табл. 1, фиг. 2а, б, г; 3.

1960. *Astieriptychites astieriptychus* Бодылевский. Новые виды древних растений и беспозвоночных СССР, стр. 173, табл. 39, фиг. 1 и 2.

Материал. Четыре экземпляра (колл. Е. С. Ершовой и Т. М. Емельянцева).

Описание. Раковина дискоидальная. Обороты сильно объемлющие. Толщина и высота внешнего оборота варьируют. Пупок умеренно широкий, довольно мелкий, открытый. Пупковые стенки внутренних оборотов очень покатые, постепенно становятся все круче, и у последнего оборота они очень крутые. Пупковый перегиб закруглен. Внутренние ребра на пупковом перегибе образуют подобие удлинненных, возвышенных бугорков, наблюдаемых также и на внутреннем обороте. Не доходя середины боковой поверхности оборота, они затухают, а затем разделяются на три-четыре ветви; иногда внутреннее ребро непосредственно соединяется с одним, редко — двумя внешними ребрами. В последнем случае оно производит впечатление раздвоенного ребра. Кроме того, между пучками наблюдаются вставные ребра. Всего внешних ребер насчитывается 69. На жилой камере встречаются ребра бидихотомные. Жилая камера занимает 0,9 оборота. Устье простое, сопровождается пережимом.

Лопастная линия понижается к пупку. Можно наблюдать первую и вторую боковые лопасти и две вспомогательные лопасти, часть внешнего седла, первое и второе боковые седла и одно вспомогательное. Следует отметить, что первая вспомогательная лопасть косо поставлена, а вторая — очень короткая и широкая. Лопастные узкие, седла соответственно шире их.

Экземпляр, изображенный на табл. XLVI, фиг. 2, отличается от вышеописанного только большей толщиной оборота.

Размеры (в мм)

Диаметр раковины . . . . .	60(100)	70(100)
Высота оборота . . . . .	23(38)	28(40)
Толщина оборота . . . . .	28?(38?)	32?(47?)
Диаметр пупка . . . . .	19(31)	22(31)

Сравнение. Описываемые аммониты похожи на «*Simbirskites tonsbergensis* Pavlow (non Weerth) [см. синонимы]. Один из них отличается от последнего менее вздутыми оборотами, меньшим числом более грубых ребер и отсутствием пережимов; но у другого экземпляра толщина оборота соответствует генотипу. Теми же чертами он отличается и от *P. astieriptychus* Bodylevsky.

Местонахождение. Полуостров Пахса, обр. 25б, 29а, 29а<sub>4</sub>.

Возраст. Средний валанжин.

Распространение. Нижний готерив(?) среднего течения р. Попигай.

*Astieriptychites astieriformis* Voronetz

Табл. XLV, фиг. 4а, б

1958. *Astieriptychites astieriformis* Voronetz. Аммониты полуострова Пахса, стр. 26, табл. I, фиг. 1а, б, в.

Материал. Один экземпляр (колл. Е. С. Ершовой и Т. М. Емельянцева).

Описание. Раковина инволютная. Толщина оборотов превосходит высоту. Наибольшая их толщина находится близ пупкового перегиба. Пупок умеренно широкий; пупковая стенка на внутренних оборотах пологая; с возрастом становится более крутой, но на жилой камере, близ устья, опять становится более полой. Пупковый перегиб закруглен. Внутренние ребра, в количестве 20 на обороте, начинаются от середины стенки пупка, слабо наклоняясь назад, и почти в радиальном направлении переходят через пупковый перегиб, где они образуют валикообразные бугорки на каждом ребре; далее они разветвляются на пучки из 4—6 ветвей (всего 95), немного наклоненные вперед; с малозаметным изгибом вперед они переходят через сифональную сторону. При разветвлении иногда не все внешние ребра отходят от бугорка, а только задние или переднее и заднее, а среднее — к бугорку не причленяется; изредка встречаются вставные ребра. Всех ребер на брюшной стороне 105. В начале внешнего оборота наблюдается один пережим.

Лопастная линия плохо сохранилась. Первая и вторая боковые лопасти узкие; вторая боковая вдвое меньше и уже первой. Первая вспомогательная лопасть расположена на пупковом перегибе. Первое боковое седло узкое.

Размеры (в мм)

Диаметр раковины . . . . .	65(100)
Высота оборота . . . . .	25(38)
Толщина оборота . . . . .	32(49)
Диаметр пупка . . . . .	19,5(30)

Сравнение. Описываемый вид отличается от *Astieriptychites astieriptychus* Vodyulevsky мелким пупком, более многочисленными и тонкими ребрами, отсутствием бугорков на внутренних оборотах.

Местонахождение. Полуостров Пахса, обр. 25б.

Возраст. Средний валанжин.

Род *Neocraspedites* Spath, 1924

*Neocraspedites politus* sp. nov.

Табл. XLIX, фиг. 2а, б; табл. LII, фиг. 3

Материал. Один образец (колл. Е. С. Ершовой и Т. М. Емельянцева).

Описание. Раковина дискоидальная. Обороты объемлющие ( $\frac{4}{5}$ ). Высота их превосходит толщину. Наибольшая толщина — несколько ниже середины оборота. Боковые стороны и сифональная поверхность уплощены. Пупок довольно узкий и мелкий. Стенки пупка выпуклые и постепенно переходят в закругленный перегиб. Ребра тонкие, на пупковом перегибе направлены назад, но, перейдя его, меняют направление и отклоняются вперед; при приближении к сифональной части они еще больше наклоняются вперед и через наружную сторону переходят

с изгибом вперед. Внутренние ребра, число которых насчитывается до 16 на половине оборота, при приближении к середине боковой поверхности расширяются и разделяются на предпоследнем обороте на три ветви, а на наружном — на четыре. На половину оборота приходится 65 внешних ребер. На внешнем обороте при приближении к жилой камере, на середине боковой поверхности, ребра постепенно сглаживаются, и только на сифональной части они четко видны.

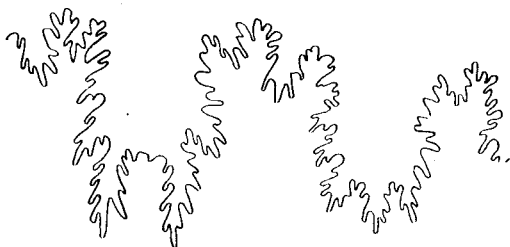


Рис. 32. Лопастная линия *Neocraspedites politus* sp. nov. [к табл. XLIX, фиг. 2 (×2,6)].

Лопастная линия (рис. 32), приподнимающаяся к пупку, сильно изрезана. Сифональная лопасть длинная, длиннее первой боковой. Первая боковая лопасть широкая; вторая — короткая и узкая. Внешнее седло широкое, вспомогательной лопастью разделено на две неравные части; первое боковое седло узкое, двураздельное; второе боковое седло очень плохо сохранилось.

#### Размеры (в мм)

Диаметр раковины . . . . .	74(100)
Высота оборота . . . . .	34(46)
Толщина оборота . . . . .	29,5(40)
Диаметр пупка . . . . .	15(20)

Сравнение. Описываемый вид характером ребристости напоминает до некоторой степени «*Craspedites*» *tenuis* Коенен (1902, стр. 76, табл. VI, фиг. 1—3); отличается от него более толстыми оборотами, меньшим пупком и более ранним сглаживанием ребер на середине боковой поверхности оборота. *Neocraspedites*, описанные Д. Донованом, отличаются иным поперечным разрезом оборотов, более грубыми ребрами и другой лопастной линией.

Местонахождение. Полуостров Пахса, обр. 29а<sub>5</sub>.

Возраст. Средний валанжин, слои с *Euryptychites pavlovi*.

## ПОДКЛАСС ENDOCOSMLIA

### Отряд Decapoda

#### Подотряд Belemnnoidea

Семейство *Belemnitidae* d'Orbigny, 1845

Подсемейство *Passaloteuthinae* Naef, 1922

Род *Nannobelus* Pavlow, 1913

Тип рода — *Belemnites acutus* Miller, 1823

*Nannobelus pavlovi* Grimholz

Табл. LIII, фиг. 8а, б; табл. LVIII, фиг. 6а, б

1913. *Belemnites* (*Nannobelus*) *brevis* Павлов. Юрские и меловые Cephalopoda севера Сибири, стр. 8, табл. I, фиг. 1.  
 1947. *Nannobelus pavlovi* Крымгольц. Атлас руководящих форм ископаемых фаун СССР, том VIII, стр. 198, табл. XXXIX, фиг. 1.  
 1953. *Nannobelus pavlovi* Крымгольц. Стратиграфия и фауна морских мезозойских отложений северной Сибири, стр. 84, табл. XII, фиг. 3—4.

Материал. Шесть экземпляров (колл. Е. С. Ершовой). Один из них (табл. LIII, фиг. 8) более молодой, а другой — более взрослый (лучшей сохранности).

Описание. Подробное описание этого вида можно найти у Г. Я. Крымгольца.

Местонахождение. Полуостров Урюнг-Тумус, в 0,9 км севернее устья р. Нефтяной, обр. 6.

Возраст. Верхний лейас.

Распространение. Верхний лейас бассейна р. Вилюя и севера Сибири.

*Nannobelus aff. janus* (Dumortier)

Табл. LVIII, фиг. 2а, б

Материал. Три экземпляра (колл. Е. С. Ершовой и Т. М. Емельянцева).

Описание. Ростр небольшой, субцилиндрического очертания, в задней части очень постепенно суживающийся к концу и оканчивающийся округлым тупым острием, немного приближенным к спинной стороне. Килеватость на нижнем конце спинной стороны, на которую указывал Е. Дюмортье (1869), не наблюдается. С боков ростр сильно сдавлен, и боковые поверхности уплощены. С каждой стороны наблюдается по широкой, неглубокой спинно-боковой вдавленности, проходящей от верхнего до нижнего конца. Альвеола глубокая, эксцентричная. Постальвеолярная часть короткая. Осевая линия расположена эксцентрично и, проходя от вершины альвеолы к нижнему концу ростра, образует широкую дугу с выпуклостью, обращенной к брюшной стороне.

Размеры (в мм) \*

<i>P.</i>	52(268)
<i>СБ</i>	19,5(100)
	(12+7,5)
<i>ББ</i>	14,5(74)
<i>О</i>	19(97)

Сравнение. От типичных *Belemnites janus* Dumortier (1869) описываемый вид отличается несколько более сжатым ростром и отсутствием килеватости спинной стороны у нижнего конца.

От *Nannobelus cf. janus* Pavlow (1913) наши экземпляры ничем не отличаются (*ББ*=78).

От *Nannobelus janus* Grimholz (1953, стр. 68, табл. XII, фиг. 5) из отложений верхнего лейаса бассейна р. Вилюя отличается большими размерами, более сжатым ростром и меньшей длиной постальвеолярной части.

Местонахождение. Анабарская губа, обр. 16а, полуостров Урюнг-Тумус, в 0,9 км от устья р. Нефтяной, обр. 6в; к северу от триангуляционного знака, обр. 1а.

Возраст. Верхний лейас.

Распространение. Верхний лейас бассейна р. Вилюй; средний лейас Франции.

*Nannobelus parvus* sp. nov.

Табл. LIII, фиг. 5а, б; 6; 7а, б

Материал. Восемь экземпляров (колл. Е. С. Ершовой и Т. М. Емельянцева; колл. К. Громова).

Описание. Ростр небольшой, субконический, сильно сдавленный с боков, имеющий овальное поперечное сечение, постепенно суживающееся книзу. Конец ростра заострен, расположен центрально. На

\* Принятые обозначения: *P* — общая длина ростра; *СБ* и *ББ* — спинно-брюшной и боковой диаметры ростра у начала альвеолы; *сб* и *бб* — то же в наиболее расширенном месте ростра; *О* — длина осевой части; *p* — расстояние от наиболее расширенного места ростра до заднего конца. Под величиной *СБ* (в скобках) указаны размеры спинного и брюшного радиусов.

поверхности роста не наблюдается никаких бороздок или полосок. Альвеола глубокая, ее вершина расположена эксцентрично, так же как и осевая линия. Постальвеолярная часть немного больше спинно-брюшного диаметра.

Размеры (в мм)

<i>P</i>	. . . . .	37(296)	36(313)
<i>CB</i>	. . . . .	12,5(100)	11,5(100)
		(7+5,5)	(6,6+5)
<i>BB</i>	. . . . .	9(71)	8(69)
<i>O</i>	. . . . .	13,5(100)	13,5(117)

Сравнение. От *Nannobelus pavlovi* Krimholz (1953) наш вид отличается меньшим размером роста, большей сжатостью с боков, центрально расположенным окончанием, короткой постальвеолярной частью. Глубокая альвеола придает сходство описываемому виду с представителями рода *Ceoloteuthis* Lissajous (1912); от них рассматриваемая форма отличается присутствием ясной осевой линии.

Местонахождение. Восточный берег Анабарской губы, обр. 470, 362, 405; западный берег Анабарской губы, обр. 8ж; полуостров Урюнг-Тумус, в 0,9 км от р. Нефтяной, обр. 6а, в.

Возраст. Верхний лейас.

*Nannobelus campus* sp. nov.

Табл. LIII, фиг. 2а, б, в

Материал. Три экземпляра (колл. Е. С. Ершовой).

Описание. Ростр небольшой субконического очертания, очень сжатый с боков, спинная сторона уже брюшной и постепенно суживается к нижнему концу, который оканчивается притупленно и расположен почти центрально. На боковых поверхностях проходят вдоль всего роста очень слабые и широкие бороздки, наиболее ясно выраженные в нижней части. Альвеола глубокая; вершина ее эксцентричная; постальвеолярная часть немного короче спинно-бокового диаметра у вершины альвеолы. Осевая линия ясная, прямо проходит от альвеолы к нижнему концу роста; вверху эксцентричная, у нижнего конца занимает почти центральное положение.

Размеры (в мм)

<i>P</i>	. . . . .	35,5(241)
<i>CB</i>	. . . . .	14,3(100)
		(8,3+6)
<i>BB</i>	. . . . .	10,5(71)
<i>O</i>	. . . . .	14(97)

Сравнение. По общему облику новый вид немного напоминает *Nannobelus pavlovi* (Крымголец, 1953), но отличается гораздо более коротким и широким ростром, гораздо более глубокой альвеолой и короткой постальвеолярной частью. От *Nannobelus* aff. *janus* (стр. 85) описываемый вид отличается более уплощенной формой, более субконическим очертанием роста, глубокой альвеолой и прямым расположением осевой линии.

Местонахождение. Полуостров Урюнг-Тумус, в 0,9 км к северу от р. Нефтяной, обр. 6а.

Возраст. Верхний лейас.

*Nannobelus difcilis* sp. nov.

Табл. LIII, фиг. 3а, б, в; 4а, б, в

Материал. Шесть образцов (колл. Е. С. Ершовой и Т. М. Емельянцева).



Описание. Ростр небольшой, субконического очертания, сильно сдавленный с боков, поперечное сечение овальное. К нижнему концу он быстро суживается и заканчивается притупленным окончанием, приближенным к спинной стороне. На уплощенных боковых сторонах наблюдаются малозаметные широкие борозды, протягивающиеся вдоль всего ростра и расположенные ближе к спинной части. Альвеола глубокая. Вершина ее, как и осевая линия, расположена сильно эксцентрично. Осевая линия прямая. Постальвеолярная часть меньше спинно-брюшного диаметра.

Размеры (в мм)

<i>P</i>	49(392)	35(318)
<i>CB</i>	12,5(100)	11(100)
	(4,5+8)	(6,75+4,25)
<i>BB</i>	8,75(70)	8(72)
<i>O</i>	11,5(92)	10,5(95)

Сравнение. От *Nannobelus parvus* sp. nov. описываемый вид отличается несколько более толстым ростром и более тупым нижним концом.

От *Nannobelus campus* sp. nov. (стр. 86) рассматриваемая форма отличается более быстро суживающимся книзу ростром, меньшей его уплощенностью и более глубокой альвеолой.

Наш вид напоминает *Coeloteuthis arctica* sp. nov., но отличается от него более постепенным суживанием ростра к нижнему концу его, менее глубокой альвеолой, большим эксцентриситетом вершинки альвеолы и присутствием осевой линии.

Местонахождение. Левый берег Анабарской губы, обр. 8ж<sub>10</sub>; полуостров Урюнг-Тумус, в 0,9 км к северу от устья р. Нефтяной, обр. 6г.

Возраст. Верхний лейас.

Род *Coeloteuthis* Lissajous, 1915

Тип рода — *Belemnites excavatus* Phillips, 1866

*Coeloteuthis arctica* sp. nov.

Табл. LIII, фиг. 1а, б, в

Материал. Один экземпляр (колл. Е. С. Ершовой).

Описание. Ростр небольших размеров, субконический, сдавленный с боков; брюшная сторона шире спинной и немного уплощена, благодаря чему поперечное сечение его неправильное удлиненное, овально-четырёхугольное. Книзу ростр быстро суживается. Притупленный конец несколько смещен к брюшной стороне. На уплощенных боковых сторонах наблюдаются широкие мелкие спинно-боковые вдавленности, сглаживающиеся по направлению к заднему концу. Альвеола глубокая; постальвеолярная часть значительно меньше спинно-брюшного диаметра. В начале фрагмокона сохранилась эмбриональная камера. Осевая линия не обнаруживается. Вершина альвеолы расположена эксцентрично, ближе к брюшной стороне.

В нашем распоряжении имеется только один экземпляр этого вида; самая верхняя часть ростра не сохранилась.

Размеры (в мм)

<i>P</i>	33,5(304)
<i>CB</i>	11(100)
	(5,6+4,5)
<i>BB</i>	7,5(68)
<i>O</i>	7,5(68)

Сравнение. От *Coeloteuthis excavata* Phillips (1865—1870, стр. 37, табл. XI, фиг. 4) описываемый вид отличается несколько более

стройной формой ростра, сильнее сжатого с боков, уплощенной брюшной стороной и менее глубокой альвеолой.

От *Coeloteuthis calcar* Phillips (там же, стр. 38, табл. II, фиг. 5, 1' 1'', поп сает.) наш вид, имея одинаковую с ним глубину альвеолы, отличается более сжатой формой ростра и уплощенной боковой стороной. Экземпляр, изображенный на этой же таблице (фиг. 5) под названием *B. calcar*, принадлежит другому виду, как указал еще Э. Вернер (1912). От этого изображенного вида рассматриваемая форма отличается меньшей стройностью и положением нижнего конца ростра.

По уплощенности ростра арктический вид напоминает *C. dens* (Simpson) [in Phillips, 1865, стр. 39, табл. II, фиг. 6], но отличается приближенным к брюшной стороне нижним концом и присутствием мелких спинно-боковых вдавленностей. *Belemnites excavatus* Werner (1912, стр. 112, табл. X, фиг. 6) и *Belemnites dens* Werner (l. c., стр. 113; табл. 10, фиг. 7) представляют собой один и тот же вид.

От *Belemnites excavatus* Phillips (1865) наш вид отличается уплощенной формой ростра. Кроме того, указанные формы распространены в более древних горизонтах юры в сравнении с распространенностью нашего экземпляра.

Местонахождение. Полуостров Урюнг-Тумус, в 0,9 км к северу от р. Нефтяной, обр. бг.

Возраст. Верхний лейас.

Распространение рода *Coeloteuthis*. Лейас Западной Европы.

Род *Dactyloteuthis* Bayle, 1878

Тип рода — *Belemnites irregularis* Schlotheim, 1819

*Dactyloteuthis* aff. *hebetata* Ernst

Табл. LV, фиг. 5а, б

Материал. Один экземпляр (колл. Е. С. Ершовой и Т. М. Емельянцева).

Описание. Ростр небольшой, субцилиндрического очертания, постепенно суживающийся к нижнему притупленному концу, который приближен к брюшной стороне, так что спинная сторона более изогнута, чем брюшная. С боков ростр сильно сжат: в спинной части сильнее, чем в брюшной. На боках, вдоль всего ростра, проходят слабые, плоские вдавленности. Бороздки не наблюдаются, может быть, из-за недостаточной сохранности белемнита. Альвеола узкая, очень глубокая и эксцентричная. Осевая линия эксцентричная и, по-видимому, прямо проходит от вершины альвеолы к нижнему концу.

Размеры (в мм)

<i>P</i>	53,5(329)
<i>CB</i>	16,25(100)
	(9,5+6,75)
<i>BB</i>	11,25(69)
<i>O</i>	16(98)

Сравнение. Из всех известных белемнитов рода *Dactyloteuthis* описываемая форма больше всего напоминает *Dactyloteuthis hebetata* Ernst [1923—1925, стр. 171, табл. V(XI), фиг. 10—13] из отложений верхнего лейаса (Fallaciosus-Zone и Dispansus-Zone), отличающаяся от него лишь большей сжатостью с боков, более глубокой и более эксцентричной альвеолой. От группы *Dactyloteuthis digitalis* (Vltz.) Vltz (1830, стр. 46, табл. II, фиг. 5) описываемый вид отличается субконическим очертанием ростра и значительно меньшим углом альвеолы.

Из-за недостатка материала не представляется возможным выделить этот экземпляр в самостоятельный вид. Безусловно только то,

что он близок к той группе белемнитов рода *Dactyloteuthis*, которая обладает коническими очертаниями ростра (*Dactyloteuthis hebetata* Ernst, *Dactyloteuthis attenuata* Ernst, 1923—1925).

Местонахождение. Восточный берег Анабарской губы, обр. 19в.

Возраст. Верхний лейас.

Распространение *Dactyloteuthis hebetata*. Верхний лейас Германии.

*Dactyloteuthis dolosa* sp. nov.

Табл. LV, фиг. 1а, б; 2а, б; 3а, б; 7а, б; 8

Материал. Десять экземпляров (колл. Е. С. Ершовой).

Описание. Ростры достигают средней величины; они не вполне симметричные, с несколько выпуклой брюшной стороной и менее выпуклой спинной, толстые, сильно сжатые с боков, имеют овальное поперечное сечение. Верхняя половина ростра овального сечения, постепенно суживающегося к нижнему концу. Ростр заканчивается сильно притупленным окончанием, вершина которого приближена к спинной стороне.

Посредине боковых сторон наблюдаются вдавленности, проходящие вдоль всего ростра. Кроме того, на вершине можно наблюдать очень слабые, довольно длинные спинно-боковые бороздки, проходящие параллельно вдавленностям, и очень слабо развитую короткую брюшную бороздку. Альвеола глубокая, слабо эксцентричная (табл. LV, фиг. 8), сдавленная с боков; осевая линия расположена мало эксцентрично и прямо проходит от вершины альвеолы к нижнему концу.

Размеры (в мм)

	Табл. LV, фиг. 1	Табл. LV, фиг. 2
<i>P</i> . . . . .	90(360)	73,5(327)
<i>СБ</i> . . . . .	25(100) (13,5+11,5)	22,5(100) (12,5+10)
<i>ББ</i> . . . . .	17,5(70)	17,75(80)
<i>О</i> . . . . .	4,4(176)	36,5(162)
	Табл. LV, фиг. 7	Табл. LV, фиг. 3
<i>P</i> . . . . .	61(348)	23,75(264)
<i>СБ</i> . . . . .	17,5(100) (9,5+8)	9(100) (5+4)
<i>ББ</i> . . . . .	13(74)	6,5(72)
<i>О</i> . . . . .	29,5(168)	8,5(95)

Сравнение. Описываемый вид напоминает представителей той группы *Dactyloteuthis* Bayle (1878), к которой относятся *Dactyloteuthis irregularis* (Schlotheim), *Dactyloteuthis digitalis* (Voltz) и *Dactyloteuthis similis* (Seebach). Рассматриваемый вид особенно близок к первым двум. Эта группа белемнитов прекрасно исследована и изображена у В. Эрнста [1923—1925, стр. 165—171, табл. V(XV), фиг. 1—9].

От *Dactyloteuthis digitalis* (Voltz) [1830, стр. 46, табл. II, фиг. 5; стр. 168, табл. V(XI), фиг. 3, 4, 5] новый вид отличается своим более толстым, коротким и сильнее расширяющимся кверху ростром, более

глубокой альвеолой и осевой линией, расположенной менее эксцентрично.

От *Dactyloteuthis irregularis* (Schlotheim) [см. Ernst, 1923—1925, стр. 165, табл. V(XI), фиг. 1 и 2] наш вид отличается более асимметричным очертанием ростра, большей его толщиной, более заостренным нижним концом, более мелкой альвеолой, меньшим эксцентриситетом ее и осевой линии.

Местонахождение. Полуостров Урюнг-Тумус, в 0,9 км к северу от устья р. Нефтяной, обр. 6г.

Возраст. Верхний лейас.

*Dactyloteuthis* aff. *dolosa* sp. nov.

Табл. LV, фиг. 6а, б; 9; табл. LVII, фиг. 2

Материал. Три образца (колл. Е. С. Ершовой).

Описание. Ростр небольшой, субцилиндрического очертания, сжатый с боков, поперечное сечение овальное; в верхней части он сужен, книзу постепенно расширяется; наибольшей толщины достигает у вершины альвеолы. Затем ростр постепенно опять начинает суживаться по направлению к нижнему концу. Притупленное окончание ростра приближено к спинной стороне. На боковых поверхностях наблюдаются очень слабо заметные спинно-боковые бороздки. Другие полоски и бороздки отсутствуют. Альвеола глубокая, эксцентричная; постальвеолярная часть короткая; осевая линия расположена эксцентрично.

Размеры (в мм)

<i>P</i>	. . . . .	53(294)
<i>CB</i>	. . . . .	18(100)
		(11+7)
<i>BB</i>	. . . . .	14(79)
<i>O</i>	. . . . .	23,5(130)

Сравнение. Описываемые экземпляры напоминают *Dactyloteuthis dolosa* sp. nov. (ср. с экземпляром на табл. LV, фиг. 7), но отличаются от него расширенным ростром в области альвеолярной вершины, сильно притупленным нижним его концом, отсутствием брюшной бороздки и боковых полосок, большим эксцентриситетом альвеолы и меньшим альвеолярным углом.

От *Dactyloteuthis digitalis* (Voltz) (1830) он отличается иным очертанием более короткого ростра, более глубокой альвеолой и меньшим ее углом.

Ввиду недостатка материала мы не имеем оснований выделять описываемые экземпляры в самостоятельный вид.

Местонахождение. Полуостров Урюнг-Тумус, в 0,9 км к северу от устья р. Нефтяной, обр. 6г.

Возраст. Верхний лейас.

Род *Salpingoteuthis* Lissajous, 1915 (= *Cuspiteuthis* Abel, 1916)

Тип рода—*Belemnites acuarius ventricosus* Quenstedt, 1849

*Salpingoteuthis tubularis* (Young et Bird)

Табл. LX, фиг. 1; 6а, б; 7а, б

1822. *Belemnites tubularis* Young et Bird. Geological Survey of the Yorkshire coast, стр. 259, табл. XVI, фиг. 2.

1846—1849. *Belemnites acuarius tubularis* Quenstedt. Petrefactekunde Deutschlands, Bd. 1, Cephalopoden, стр. 411, табл. XXV, фиг. 9 и 10.

1865—1870. *Belemnites tubularis* Phillips. A Monograph of British Belemnitidae, стр. 68, табл. XIV, фиг. 36.

1912. *Belemnites tubularis* Werner. Ueber die Belemniten des schwabischen Lias und die mit ihnen verwandten Formen des Braunen Jura (Acoeli), стр. 128.  
 1937. *Cuspitoothis tubularis* Крымгольц. Верхнелейасовый белемнит с р. Колымы, стр. 41, фиг. 1 (в тексте).  
 1947. *Cuspitoothis tubularis* Крымгольц. Атлас руководящих форм ископаемых фаун СССР, том VIII, стр. 100, фиг. 47 (в тексте).

Материал. Шесть целых экземпляров и много обломков (колл. Е. С. Ершовой и Т. М. Емельянцева; колл. Н. Кулакова).

Описание. Ростр длинный, узкий, постепенно суживающийся к нижнему заостренному концу. В альвеолярной области, в сторону верхнего конца, он более быстро расширяется. С боков ростр сильно сжат; поперечное сечение его овальное, но на середине расстояния между вершиной альвеолы и нижним концом поперечное сечение ро-стра округло-овальное. На поверхности ростра проходят длинные слабо развитые спинно-боковые бороздки и более ясно выраженная длинная брюшная борозда. На некоторых рострах все три бороздки сглажены. Альвеола очень маленькая, мало эксцентричная. Постальвеолярная часть очень длинная. Осевая линия мало эксцентрична (1:1,3). В центре осевой части ростра наблюдается пузыристое неслоистое вещество, тогда как наружная стенка имеет радиальнолучистую структуру, обычную для ростров.

Размеры (в мм)

<i>P</i>	95(1032)
<i>CB</i>	9,2(100)
	(5,2+4)
<i>BB</i>	6,5(70)
<i>O</i>	84(91)

Сравнение. По общей форме наши северные экземпляры очень похожи на представителей вида, приведенных в синонимике; отличие заключается в несколько более коротком ростре у описываемых экземпляров. Что же касается большей величины *BB* (83 мм) у экземпляра Ф. Квенштедта (1846—1849), то ее следует отнести за счет того, что место измерения ростра автор приурочивает к середине между вершиной альвеолы и нижним концом ростра. В этом пункте размеры наших ростров почти совпадают.

От близких видов других *Salpingoteuthis* (*B. acuaria ventricosta* Quenstedt, 1846—1849, стр. 411, табл. XXV, фиг. 8; *B. acuaria macer* Quenstedt, l. c., стр. 414, табл. XXV, фиг. 21—22; *B. acuaria brevisulcata* Quenstedt, l. c., стр. 403, табл. XXV, фиг. 1—3; *B. tripartita gracilis* Quenstedt, l. c., стр. 420, табл. XXVI, фиг. 17; *B. longisulcata* Voltz, 1830, стр. 57, табл. VI, фиг. 1) наши экземпляры отличаются более тонким, постепенно суживающимся ростром с гораздо меньшим расширением альвеолярной части.

Местонахождение. Оленекская протока, обр. 44а, 44в; Анабарская губа, обр. 8ж<sub>4</sub>, 19в.

Возраст. Верхний лейас.

Распространение. Верхний лейас р. Колымы; домерский ярус — нижний аален Западной Европы.

Род *Passaloteuthis* Lissajous, 1915

Тип рода — *Belemnites bruguierianus* d'Orbigny, 1843

*Passaloteuthis tolli* (Pavlov)

Табл. LVI, фиг. 1а, б; 2а, б; 3; 4а, б; 5а, б;  
табл. LVII, фиг. 1а, б; табл. LVIII, фиг. 4а, б

1913. *Belemnites (Megabelus) Tolli* Павлов. Юрские и меловые Cephalopoda севера Сибири, стр. 14, табл. 1, фиг. 4а, б, в.

Материал. Двадцать полных экземпляров и много обломков (колл. Е. С. Ершовой, П. В. Кулакова, Т. М. Емельянцева).

Описание. Ростр средней величины, субцилиндрического очертания, в верхней части несколько сужен, благодаря чему приобретает немного веретенообразную форму. В нижней части ростр довольно быстро суживается (с брюшной стороны быстрее, чем со спинной) и оканчивается приостренной вершиной, приближенной к спинной стороне. С боков ростр сильно сдавлен. Боковые стороны несколько уплощены и немного наклонены к брюшной стороне. Поперечный разрез верхней части ростра приближается к удлинненной трапеции, а в нижней — имеет форму почти правильного овала. На ростре наблюдаются спинно-боковые бороздки, протягивающиеся от нижнего конца вверх на 35 мм. Кроме того, на боковой поверхности хорошо заметны плоские и узкие вдавленности, начинающиеся от верхнего конца ростра и не доходящие на 40—45 мм до нижнего конца.

Альвеола овально-коническая, неглубокая, слабо эксцентричная. Осевая линия немного эксцентричная, слабо и плавно изгибающаяся, с выпуклостью к брюшной стороне.

На продольном разрезе видно, что у молодых экземпляров веретенообразная форма ростра менее выражена.

На табл. LVI, фиг. 4а, б, изображен *Passaloteuthis tolli*, поврежденный при жизни. Искривление произошло оттого, что у него был поранен правый бок.

Размеры (в мм)

	Табл. LVI, фиг. 1	Табл. LVII, фиг. 1
<i>P</i> . . . . .	111,5(518)	107(562)
<i>CB</i> . . . . .	21,5(100)	19(100)
	(11,5+10)	
<i>BB</i> . . . . .	16(73)	15(79)
<i>O</i> . . . . .	70(325)	75(389)
<i>cb</i> . . . . .	22,5(105—100)	19,5(103—100)
<i>bb</i> . . . . .	17,5(81—77)	165(87—85)
	Табл. LVI, фиг. 3	Табл. LVI, фиг. 2
<i>P</i> . . . . .	98,5(492)	99,4(53)
<i>CB</i> . . . . .	20(100)	20,5(100)
	(10,6+9,4)	
<i>BB</i> . . . . .	7	15,25(74)
<i>O</i> . . . . .	75(375)	70(341)
<i>cb</i> . . . . .	19(95—100)	18(88—100)

Сравнение. От голотипа, описанного и изображенного А. П. Павловым, наши экземпляры, по-видимому, ничем не отличаются. Отсутствие у наших форм вершинных тонких, расходящихся звездочкой лучей, описанных А. П. Павловым у *Passaloteuthis tolli*, можно объяснить недостаточной хорошей сохранностью.

От *Passaloteuthis armata* Dumortier (1864—1874, т. III, стр. 40, табл. I, фиг. 13—15) отличается более сжатым с боков, особенно в верхней части, ростром и наличием двойных боковых вдавленностей.

Местонахождение. Полуостров Урюнг-Тумус, в 0,9 км к северу от устья р. Нефтяной, обр. 6в и 6г; Анабарская губа, обр. 8жв, 19в; Оленекская протока, обр. 44г.

Возраст. Верхний лейас.

*Passaloteuthis inaudita* sp. nov.

Табл. LIX, фиг. 1а, б; 3а, б; 4а, б

**М а т е р и а л.** Три целых экземпляра и несколько обломков (колл. Е. С. Ершовой).

**О п и с а н и е.** Ростр средней величины, субцилиндрического, несколько веретенообразного очертания, постепенно суживающийся к нижнему заостренному концу, немного приближенному к спинной стороне. Боковые стороны сильно уплощены и слегка наклонены к брюшной стороне. Поперечное сечение в нижней части ростра овальное, в верхней — трапециoidalное, закругленное.

На ростре наблюдаются слабые спинно-боковые бороздки и сильно выраженные широкие вдавленности; последние прослеживаются от верхнего конца и сглаживаются, не доходя на 40 мм до нижнего конца. Альвеола очень мелкая; постальвеолярная часть длинная. Угол альвеолы небольшой; вершинка ее слабо эксцентрична, так же как и осевая линия. Экземпляр, изображенный на табл. LIX, фиг. 3, отличается несколько более узким и стройным ростром и более длинной постальвеолярной частью.

**Размеры (в мм)**

	Табл. LIX, фиг. 1	Табл. LIX, фиг. 4	Табл. LIX, фиг. 3
<i>P</i> . . . . .	107(807)	114,5(765)	111(964)
<i>СБ</i> . . . . .	13,25(100)	15(100)	11,5(100)
<i>ББ</i> . . . . .	10(75)	12(75)	8,5(74)
<i>О</i> . . . . .	85(641)	97(608)	94(818)
<i>сб</i> . . . . .	14,5(109—100)	16(106—100)	12,5(108—100)
<i>бб</i> . . . . .	11,5(86—79)	13,25(88—83)	9,5(83—76)

**С р а в н е н и е.** *Passaloteuthis inaudita* sp. nov. по общей субцилиндрической, немного веретенообразной форме ростра напоминает *Passaloteuthis tolli* Pavlov (1913), но отличается гораздо более длинной постальвеолярной частью, более стройным и тонким ростром, значительно менее глубокой и мало эксцентричной альвеолой и осевой линией и меньшим углом альвеолы.

**М е с т о н а х о ж д е н и е.** Полуостров Урюнг-Тумус, в 0,9 км к северу от устья р. Нефтяной, обр. ба, бб, бв.

**В о з р а с т.** Верхний лейас.

*Passaloteuthis subinaudita* sp. nov.

Табл. LVII, фиг. 4а, б; табл. LIX, фиг. 5а, б; 6а, б

**М а т е р и а л.** Шесть целых экземпляров и обломки (колл. Е. С. Ершовой и Т. М. Емельянцева).

**О п и с а н и е.** Ростр средней величины, субцилиндрического очертания, у вершины альвеолы слегка сжат с боков, а в 40 мм от конца ростр немного утолщается, после чего постепенно суживается и заканчивается острием, приближенным к спинной стороне. Эти небольшие сужения и утолщения придают ростру веретенообразное очертание. Спинная сторона почти прямая, брюшная — немного выпуклая, так что ростр, если его рассматривать сбоку, имеет несимметричное очертание. Боковые стороны в верхней части ростра сильно уплощены;

поперечное сечение овально-четырёхугольное, в нижней части закругленное, имеющее очертание довольно правильного эллипса.

Длинные спинно-боковые бороздки прослеживаются на нижней половине ростра. Кроме того, имеются слабые боковые вдавленности, проходящие от верхнего конца до области утолщения ростра. Брюшная бороздка не наблюдается. Альвеола короткая; постальвеолярная часть очень длинная. Острие и осевая линия расположены эксцентрично.

На табл. LIX, фиг. 5а, б, изображен интересный экземпляр, по-видимому, *Passaloteuthis subinaudita* sp. nov. У него сильно пострадала нижняя часть, которая, судя по пришлифовке (табл. LIX, фиг. 5б), была раздроблена и загнута до соприкосновения со спинной поверхностью.

В дальнейшем известковистый слой в 2 мм толщиной равномерно покрыл как верхнюю, так и нижнюю поврежденную часть. На поверхности загнутого нижнего конца наблюдаются две спинно-боковые бороздки; с одной стороны слабая, а с другой — глубокая, не доходящая до вершины. Кверху от перегиба на обломке хорошо видны спинно-боковые довольно глубокие бороздки.

Верхняя часть ростра не сохранилась. Осевая линия расположена эксцентрично.

Размеры (в мм)

	Табл. LIX, фиг. 6	Табл. LVII, фиг. 4
<i>P</i> . . . . .	113(1102)	116(948)
<i>СБ</i> . . . . .	10,25(100)	11(100)
<i>ББ</i> . . . . .	7(68)	7,5(68)
<i>О</i> . . . . .	98(956)	97,5(840)
<i>сб</i> . . . . .	10(97—100)	12,5(113—100)
<i>бб</i> . . . . .	8(78—80)	9,5(86—76)

Сравнение. От *Passaloteuthis inaudita* sp. nov. рассматриваемый вид отличается гораздо более стройным, более несимметричным ростром, более длинной постальвеолярной частью, большим углом альвеолы и большим эксцентриситетом осевой линии.

Местонахождение. Полуостров Урюнг-Тумус, в 0,9 км от устья р. Нефтяной, обр. 6а; Анабарская губа, обр. 8ж4, 8ж6, 19в.

Возраст. Верхний лейас.

Род *Hastites* Mayer-Eymar, 1883

Тип рода — *Belemnites clavatus* Stahl, 1824

*Hastites* aff. *toarcensis* (Oppel)

Табл. LV, фиг. 4а, б

Материал. Один экземпляр (колл. Т. П. Кочеткова).

Описание. Ростр небольшой, слабо веретенообразный, сжатый с боков. Альвеолярная часть ростра отсутствует. Вверху ростр сужен; поперечное сечение овальное; на середине он расширяется; поперечное сечение менее сдавлено с боков; затем, к нижнему концу, ростр постепенно суживается, а поперечное сечение становится почти круглым. Конец ростра заострен. Боковые стороны уплощены. Брюшная



сторона уплощена более спинной. Бороздки на ростре не наблюдаются. Осевая линия приближена к брюшной стороне.

Размеры (в мм)

<i>P</i>	. . . . .	47(?)
<i>СБ</i>	. . . . .	5(100)
<i>ББ</i>	. . . . .	4,5(90)
<i>O</i>	. . . . .	47(840)
<i>сб</i>	. . . . .	6(120—100)
<i>бб</i>	. . . . .	5,5(110—92)

Сравнение. От *Hastites toarcensis* (Orpel) (1862—1863) [in Kolb, 1942, стр. 150, табл. V; фиг. 4а, б; 21а, б] наш экземпляр отличается более длинным и заостренным нижним концом ростра.

От *Hastites subclavata* (Voltz) (1830, стр. 38, табл. I, фиг. 11), описанного и изображенного также Г. Кольбом (1942, стр. 149, табл. V, фиг. 1а, б и 2), рассматриваемый вид отличается более широкой верхней частью ростра, очень постепенно суживающейся нижней его частью и отсутствием бороздок; это может быть связано с поврежденностью поверхности ростра. Наш экземпляр является как бы переходной формой между *Hastites toarcensis* (Orpel) и *Hastites subclavata* (Voltz), но отсутствие бороздок (признак, встречающийся у первого вида) придает ему большее сходство с *Hastites toarcensis* (Orpel)

Местонахождение. В районе Тюмяти, скв. К-4, обр. 130, глубина 245, 35—248,8 м.

Возраст. Верхний лейас.

Распространение *Hastites toarcensis* (Orpel). Тоарский ярус Германии.

Род *Mesoteuthis* Lissajous, 1915

Тип рода—*Belemnites rhenanus* Orpel, 1858

*Mesoteuthis oxycona* (Hehl in Zieten)

Табл. LX, фиг. 2а, б; 8а, б

1830. *Belemnites oxyconus* Hehl in Zieten. Die Versteinerungen Württembergs, стр. 27, табл. XXI, фиг. 5.  
 1846—1849. *Belemnites tripartitus oxyconus* Quenstedt. Petrefactenkunde Deutschlands, Bd. 1, Cephalopoden, стр. 419, табл. XXVI, фиг. 19—21.  
 1856—1858. *Belemnites oxyconus* Orpel. Die Juraformation Englands, Frankreichs und des südwestliche Deutschlands, стр. 241.  
 1914. *Belemnites oxyconus* Werner. Über die Belemniten des schwäbischen Lias, стр. 127.  
 1947. *Mesoteuthis oxycona* Крымгольц. Атлас руководящих форм ископаемых фаун СССР, том VIII, стр. 201, табл. XL, фиг. 3.  
 1953. *Mesoteuthis oxycona* Крымгольц. Стратиграфия и фауна морских мезозойских отложений Северной Сибири, стр. 87, табл. XIII, фиг. 1 и 2.

Материал. Четыре целых экземпляра и обломки (колл. Е. С. Ершовой и Т. М. Емельянцева).

Описание. Ростр средней величины, конического очертания, постепенно суживающийся к заостренному, центрально расположенному нижнему концу, иногда вытянутому и более стройному. Поперечное сечение округлое, немного сдавленное с боков, угловатое. На острие начинаются три бороздки: спинно-боковые протягиваются до одной трети длины постальвеолярной части, слабо выражены; брюшная бороздка короткая и также плохо выражена. Альвеола занимает менее половины длины ростра (35 мм).

Размеры (в мм)

<i>P</i>	. . . . .	75(464)	77(490)	78(480)
<i>СБ</i>	. . . . .	16(100)	15,5(100)	16,5(100)
<i>ББ</i>	. . . . .	13(81)	11,5(74)	13(80)
<i>O</i>	. . . . .	46(288)	46,5(300)	52(320)

Сравнение. Описанные экземпляры совершенно похожи на *Mesoteuthis oyucona* в изображении и описании Ф. Квенштедта (1. с, 1846—1849). Э. Вернер (1914) считает эти экземпляры типичными. От *Mesoteuthis oyucona* Nehl (in Zieten, 1830, 1. с.) наши экземпляры отличаются, так же как и экземпляры Ф. Квенштедта, несколько менее удлиненным и несколько быстрее суживающимся ростром и более слабо выраженными бороздками.

От *Mesoteuthis tripartita* Schlotheim (1820) и от *Mesoteuthis triscissa* Janensch (1902) описываемые экземпляры отличаются значительно большей сдавленностью ростра с боков, более удлиненным заострением заднего конца и меньшей длиной альвеолы.

Местонахождение. Полуостров Урюнг-Тумус, в 0,9 км от устья р. Нефтяной, обр. 6г; Анабарская губа, обр. 8ж<sub>9</sub>.

Возраст. Верхний лейас.

Распространение. Тоарский ярус Северного Кавказа, Германии и Франции.

*Mesoteuthis aequalis* sp. nov.

Табл. LIX, фиг. 2; 7а, б

Материал. Четыре экземпляра (колл. Е. С. Ершовой и Т. М. Емельянцева).

Описание. Ростр средней величины, субконического очертания, от верхнего к нижнему концу суживающийся очень постепенно и оканчивающийся на нижнем конце острием, приближенным к спинной стороне. С боков ростр равномерно сжат сверху донизу; боковые стороны несколько уплощены и наклонены к спинной стороне; поперечное сечение овальное.

Спинно-боковые бороздки протягиваются от острия вверх, не доходя на 40 мм до верхнего конца ростра, где они сглаживаются. Кроме того, ясно видны брюшно-боковые вдавленности, проходящие от верхнего края ростра на стыке брюшной и боковых сторон и сглаживающиеся, не доходя до нижнего конца на 35 мм. Брюшная бороздка отсутствует.

Коническая, сильно сжатая с боков альвеола занимает немного больше трех пятых длины ростра. Осевая линия проходит почти центрально. Молодые особи повторяют форму взрослых.

Размеры (в мм)

	Табл. LIX, фиг. 7	Табл. LIX, фиг. 2	
<i>P</i> . . . . .	67,5(595)	43(661)	39(703)
<i>СБ</i> . . . . .	11,25(100)	6,5(100)	5,5(100)
<i>ББ</i> . . . . .	9,25(82)	5,5(84)	5(91)
<i>О</i> . . . . .	42(382)	32,5(500)	26(473)

Сравнение. Вышеописанный вид несколько напоминает *Mesoteuthis oyucona* (Nehl in Zieten, 1830, стр. 27, табл. XXI, фиг. 5); отличается более стройным, более сдавленным с боков ростром, более глубокой альвеолой, отсутствием брюшной бороздки и наличием брюшно-боковых вдавленностей. От *Mesoteuthis tripartita* Schlotheim (1820) отличается сильной сдавленностью ростра с боков и менее глубокой альвеолой.

От *Mesoteuthis triscissa* Janensch (1902) отличается сильной сдавленностью ростра и отсутствием брюшной бороздки.

Местонахождение. Левый берег Анабарской губы, обр. 8ж<sub>9</sub>; полуостров Урюнг-Тумус, в 0,9 км от устья р. Нефтяной, обр. 6г.

Возраст. Верхний лейас.

*Mesoteuthis laptinskajae* sp. nov.

Табл. LVIII, фиг. 5а, б

Материал. Один экземпляр (колл. Е. С. Ершовой).

Описание. Ростр средней величины, конусообразного очертания, стройный, очень постепенно суживающийся к заднему заостренному концу, несколько смещенному к спинной стороне. Ростр сжат с боков по всей длине; поперечное сечение его овальное. В верхней части ростра оно сужено к брюшной стороне, а в нижней части — к спинной. На острие наблюдаются две глубокие спинно-боковые бороздки, протягивающиеся вверх на 28 мм и затем пропадающие. Две брюшно-боковые вдавленности протягиваются от верхнего к нижнему концу, где, не доходя до него, сглаживаются. Кроме того, ростр покрыт многочисленными тонкими продольными струйками, начинающимися на острие и пропадающими выше начала альвеолы. Альвеола занимает немного больше трети длины всего ростра. Осевая линия приближена к спинной стороне.

Размеры (в мм)

Р	104(743)
СБ	14(100)
ББ	12(85)
О	64(457)

Сравнение. От *Mesoteuthis oxycona* (Hehl in Zieten) (1830, стр. 27, табл. XXI, фиг. 5) описываемый вид отличается более стройным, более постепенно суживающимся ростром с глубокими спинно-боковыми бороздками и отсутствием брюшной бороздки.

От *Mesoteuthis gracile* (Hehl in Zieten) (1830, стр. 28, табл. XXII, фиг. 2а—d) наш вид отличается более коротким и более быстро суживающимся ростром, овальным, неугловатым поперечным сечением ростра, наличием двух спинно-боковых бороздок и отсутствием брюшной бороздки.

От *Mesoteuthis subgracilis* (Kolb) (1942, стр. 161, табл. VIII, фиг. 5а, b; 6а, b) и от *Mesoteuthis graciliformis* (Kolb) (l. c., стр. 161, табл. VII, фиг. 7; табл. LX, фиг. 4а, b; 5а, b) наш экземпляр отличается менее стройным и более сдавленным с боков ростром, отсутствием брюшной борозды и наличием брюшно-боковых вдавленностей.

Местонахождение. Полуостров Урюнг-Тумус, в 0,9 км от устья р. Нефтяной, обн. 6, обр. 6г.

Возраст. Верхний лейас.

*Mesoteuthis conoidea* (Orpel)

Табл. LVIII, фиг. 3а, б

1846—1849. *Belemnites compressus conicus* Quenstedt. Petrefactenkunde Deutschlands, стр. 424, табл. XXVII, фиг. 4.

1856—1858. *Belemnites conoideus* Orpel. Die Juraformation Englands, Frankreichs und des südwestlichen Deutschlands, стр. 363.

1898. *Belemnites conoidea* Venencke. Beitrag zur Kenntnis der Jura in Deutsch-Lothringen, стр. 44, табл. III, фиг. 7; табл. IV, фиг. 1 и 2.

1902. *Belemnites conoidea* Japensch. Jurensisschichten des Elsas, стр. 120, табл. XI, фиг. 9—96.

1947. *Mesoteuthis conoidea* Крымгольц. Атлас руководящих форм ископаемых фаун СССР, стр. 202, табл. XXXIX, фиг. 6а, б.

Материал. Шесть экземпляров (колл. Е. С. Ершовой и Т. М. Емельянцева).

Описание. Ростр средней величины, конического очертания, с заостренным, почти центрально расположенным задним концом; сжат с боков. Поперечный разрез овальный, с несколько расширенной брюшной стороной.

На лучше сохранившихся экземплярах наблюдаются довольно длинные спинно-боковые бороздки. Параллельно им прослеживаются вдавленности, начинающиеся от верхнего конца ростра и постепенно сглаживающиеся близ его нижнего конца. Брюшная бороздка отсутствует.

Альвеола коническая, прямая, почти центральная, достигающая почти половины ростра. Осевая линия почти центральная.

Размеры (в мм)

<i>P</i>	. . . . .	88(400)	79(386)
<i>СБ</i>	. . . . .	22(100)	22(100)
<i>ББ</i>	. . . . .	18,25(83)	17(77)
<i>О</i>	. . . . .	56,5(257)	48(215)

Сравнение. От всех перечисленных в синонимике *Mesoteuthis conoidea* северные экземпляры отличаются очень слабыми спинно-боковыми бороздками и отсутствием брюшной борозды (что, может быть, зависит от степени сохранности ростров). Е. Бенеке (E. Beneske, 1898, 1. с., стр. 45) также отмечает, что у некоторых лотарингских экземпляров брюшная бороздка хорошо наблюдается, а у других она отсутствует.

От *Mesoteuthis quenstedti* Orpel (1862—1863, стр. 363; тип --- *Belemnites compressus paxilosus* Quenstedt, 1846—1849, табл. XXVII, фиг. 2 и 3) рассматриваемый вид отличается коническими очертаниями ростра и более глубокой альвеолой.

Местонахождение. Левый и правый берега Анабарской губы, обр. 8ж<sub>9</sub>, 19в<sub>10</sub>.

Возраст. Верхний лейас.

Распространение. Тоар и нижний аален Северного Кавказа; верхний лейас Германии и Франции.

*Mesoteuthis* aff. *conoidea* (Orpel)

Табл. LVII, фиг. 6 и 7а, б

Материал. Три экземпляра (колл. Е. С. Ершовой).

Описание. Ростр средней величины, субконического очертания, постепенно суживающийся от верхнего конца к нижнему, близ которого сужение ростра идет более быстро; нижний конец его заострен и немного приближен к брюшной стороне. С боков ростр уплощен и сжат; поперечное сечение овальное.

На боковых поверхностях наблюдаются спинно-боковые бороздки, отходящие от острия и простирающиеся вверх на 25 мм; выше они сглаживаются и переходят в уплощенные вдавленности, достигающие верхнего конца ростра. Ясно выраженная брюшная бороздка короче боковых. Альвеола довольно большая, занимает немного более половины ростра, сильно сдавлена с боков и мало эксцентрична. Осевая линия приближена к брюшной части.

Размеры (в мм)

<i>P</i>	. . . . .	72(395)	66(330)
<i>СБ</i>	. . . . .	18,2(100)	20(190)
<i>ББ</i>	. . . . .	14,75(81)	—
<i>О</i>	. . . . .	35,5(195)	34,5(172)

Замечание. Разбирая оба варианта *Belemnites compressus* Voltz (1830, стр. 53—57), Ф. Квенштедт (1883—1888, стр. 422) выделил из них три варианта: *Belemnites compressus gigas* Quenst., *Belemnites compressus paxilosus* Quenst., *Belemnites compressus conoideus* Quenst., которых А. Оппель (1862—1869, стр. 363) считал

отдельными видами, назвав их соответственно *Belemnites rhenani* Орр., *Belemnites quenstedti* Орр. и *Belemnites conoideus* Орр.

Сравнение. От *Mesoteuthis conoides* Оррел (1862—1869) описываемый вид отличается более коротким нижним концом ростра и большим углом более глубокой альвеолы.

От *Mesoteuthis janenschi* Ernst (1923—1925, стр. 85, табл. XII, фиг. 9—11) и от *Mesoteuthis subrostriformis* sp. nov. (стр. 100), наш вид отличается более стройным ростром, большей глубиной альвеолы и большим ее углом.

Местонахождение. Полуостров Урюнг-Тумус, в 0,9 км от устья р. Нефтяной, обр. 6г.

Возраст. Верхний лейас.

*Mesoteuthis subconoidea* sp. nov.

Табл. LVII, фиг. 3а, б; 5а, б

Материал. Два экземпляра (колл. Е. С. Ершовой).

Описание. Ростр средней величины, субконического очертания, постепенно суживающийся от верхнего конца до уровня альвеолярной вершины; отсюда он суживается неравномерно: более сильно с брюшной стороны, чем со спинной, благодаря чему ростр производит впечатление несколько изогнутого в этом месте, если смотреть сбоку. Острие приближено к спинной стороне. С боков ростр сильно сжат; поперечное сечение его овальное.

В нижней части ростра проходят длинные спинно-боковые бороздки (20—25 мм). Кроме того, наблюдаются две довольно глубокие вдавленности, начинающиеся от верхнего конца и пропадающие в 20—25 мм от острия. Брюшная бороздка не наблюдается. Альвеола довольно большая, занимает немного меньше половины ростра, сдавлена с боков и мало эксцентрична.

Размеры (в мм)

Табл. LVII, фиг. 5

<i>P</i>	77 (385)	75 (375)
<i>CB</i>	20 (100) (11+9)	20,25 (100) (11,5+8,5)
<i>BB</i>	15,5 (75)	15,5 (76)
<i>O</i>	38,5 (192)	36,75 (181)

Сравнение. Описываемый вид относится к группе *Mesoteuthis conoidea* Оррел, отличаясь от типичного вида очень несимметричной и сжатой с боков формой ростра, отсутствием брюшной бороздки и наличием ясно выраженных боковых вдавленностей.

От *Mesoteuthis janenschi* Ernst (1923—1925, стр. 85, табл. XII, фиг. 9—11) описываемый вид отличается более конической и несимметричной формой ростра, гораздо большей длиной спинно-боковых бороздок, отсутствием брюшной бороздки, большим углом альвеолы и меньшей эксцентричностью альвеолы и осевой линии.

От *Mesoteuthis subrostriformis* sp. nov. (стр. 100) он отличается теми же особенностями, что и от предыдущего вида, только угол альвеолы у *Mesoteuthis subconoidea* sp. nov. гораздо меньше, чем у *Mesoteuthis subrostriformis*.

Местонахождение. Полуостров Урюнг-Тумус, в 0,9 км от устья р. Нефтяной, обр. 6г.

Возраст. Верхний лейас.

*Mesoteuthis janenschi* (Ernst)

Табл. LIV, фиг. 1а, б; 2

1923—1925. *Belemnites (Odontobelus) Janenschi* Ernst. Zur Stratigraphie und Fauna des Lias im nordwestlichen Deutschland, стр. 85, табл. XII, фиг. 9—11.

1942. *Acrocoelites rostriformis* (Theodori) Quenstedt var. *Janenschi* Kolb. Die Belemniten des jüngeren Lias  $\zeta$  in Nordbayern, стр. 160, табл. 10, фиг. 5а—с; 6.

Материал. Пятнадцать экземпляров (колл. Е. С. Ершовой).

Описание. Ростр небольшой, субцилиндрического очертания, в верхней и средней части суживающийся очень постепенно, а затем, к нижнему концу, — быстро и заканчивающийся острием, слабо приближенным к спинной стороне. Он сжат с боков; поперечное сечение овальное. Имеются две спинно-боковые бороздки и одна брюшная; последняя короче спинно-боковых, но хорошо выражена. Кроме того, наблюдаются две плоские вдавленности, проходящие посредине боковых поверхностей ростра от верхнего его конца и сглаживающиеся в области окончания спинно-боковых бороздок. Альвеола, как и осевая линия, расположена эксцентрично и приближена к брюшной стороне.

Размеры (в мм)

<i>P</i>	64,5(379)	66,5(391)	65,5(374)
<i>CB</i>	17(100)	17(100)	17,5(100)
		(10+7)	(10,5+7)
<i>BB</i>	14(82)	14(82)	—
<i>O</i>	41,5(244)	40(235)	40(228)

Сравнение. Особенности описываемых ростров довольно хорошо соответствуют признакам *Belemnites janenschi* Ernst. Отличие заключается в несколько более длинном и менее заостренном нижнем конце ростра.

Наши арктические формы вполне сходны с рострами, описанными Г. Кольбом, который считает этот вид вариететом *Mesoteuthis rostriformis* (Theodori) Quenstedt.

От последнего вида наши экземпляры отличаются менее конической формой верхней части ростра и более близко расположенной к брюшной стороне апикальной линией.

Местонахождение. Полуостров Урюнг-Тумус, в 0,9 км к северу от устья р. Нефтяной, обр. ба.

Возраст. Верхний лейас.

Распространение. Верхний лейас Германии.

*Mesoteuthis subrostriformis* sp. nov.

Табл. LIII, фиг. 9а, б; табл. LIV, фиг 3—12

Материал. Семнадцать целых экземпляров и много обломков (колл. Е. С. Ершовой и Т. М. Емельянцева).

Описание. Ростр небольшой, субконического очертания, от верхнего конца к нижнему постепенно суживается, но на расстоянии 8—11 мм от заднего конца (в зависимости от величины ростра) сужение идет очень быстро, причем с брюшной стороны сильнее, чем со спинной, благодаря чему ростр заканчивается острием, приближенным к брюшной стороне. Спинная сторона изогнута сильнее брюшной. В области начала альвеолы ростр несколько суживается. С боков ростр сжат, поперечное сечение овальное. На ростре наблюдаются две спинно-боковые бороздки, проходящие от острия до начала альвеолярной области, у которой они постепенно сглаживаются. Здесь, рядом с ними, но ближе к брюшной стороне, появляются слабо выпуклые полоски, которые идут вдоль всей верхней части ростра и пропадают у верхнего его конца. У некоторых особей спинно-боковые бороздки

достигают верхнего конца ростра, и тогда полоски располагаются параллельно им. Брюшная бороздка наблюдается не у всех особей; если же она присутствует, то всегда бывает коротка и очень слабо выражена. Довольно глубокая и широкая альвеола, так же как и осевая линия, расположена эксцентрично. Осевая линия, изгибаясь, следует продольному очертанию брюшной стороны, проходит почти параллельно и приближается к ней только на острие.

На основе продольного разреза ростра по спинно-брюшной плоскости удалось подобрать более молодые экземпляры, которые изображены в настоящей работе. При просмотре их можно наблюдать, что чем моложе особь (табл. LIV, фиг. 10, 11, 12), тем яснее выделяется коническое очертание ростра и, наоборот, у более старых особей (табл. LIV, фиг. 9, 7, 6, 5, 4) это очертание приближается к цилиндрическому.

#### Размеры (в мм)

	Табл. LIV, фиг. 3	Табл. LIV, фиг. 4	Табл. LIV, фиг. 5	Табл. LIV, фиг. 6	Табл. LIV, фиг. 7
<i>P</i> . . . . .	60(433)	69(431)	62,5(417)	58,5(468)	55,5(444)
<i>СБ</i> . . . . .	13,5(100)	15,5(100)	15(100)	12,5(100)	12,5(100)
<i>ББ</i> . . . . .	—	13,5(88)	12(83)	11(88)	10,2(82)
<i>О</i> . . . . .	36(268)	40,5(261)	38(253)	36,5(270)	36,5(292)
	Табл. LIV, фиг. 8	Табл. LIV, фиг. 9	Табл. LIV, фиг. 10	Табл. LIV, фиг. 11	Табл. LIV, фиг. 12
<i>P</i> . . . . .	54(469)	52(462)	50(454)	44(429)	26,6(415)
<i>СБ</i> . . . . .	11,5(100)	11,25(100)	11(100)	10,25(100)	6,5(100)
<i>ББ</i> . . . . .	—	9,75(86)	9,5(87)	8,75(85)	5,75(88)
<i>О</i> . . . . .	31,5(274)	30(267)	29(281)	24(254)	14(215)

Сравнение. Новый вид очень напоминает *Mesoteuthis rostriformis* (Teodori) Quenstedt (Kolb, 1942, стр. 159, табл. 10, фиг. 2; 3а, б; 4а, б), отличается более стройной формой верхней части ростра, немного суживающегося у начала альвеолы, а главное — более короткой альвеолой со значительно большим вершинным углом. От *Mesoteuthis janenschi* Ernst (1923—1925, стр. 85, табл. XII, фиг. 9—11) отличается, кроме упомянутых выше особенностей, еще и более приближенной к брюшной стороне осевой линией.

Местонахождение. Полуостров Урюнг-Тумус, в 0,9 км к северу от устья р. Нефтяной, обр. 6а; восточный берег Анабарской губы, обр. 16в.

Возраст. Верхний лейас.

Род *Megateuthis* Bayle, 1878, emend. Lissajous, 1915

Тип рода — *Belemnites giganteus* Schlotheim, 1820

*Megateuthis gigantoides* (Pavlov)

Табл. LVIII, фиг. 1а, б

1913. *Belemnites (Megabelus) gigantoides* Павлов. Юрские и меловые Cephalopoda севера Сибири, стр. 13, табл. I, фиг. 3.

Материал. Один образец (колл. Е. С. Ершовой и Т. М. Емельянцева).

Описание. Ростр средней величины, субцилиндрического очертания, сильно сжат с боков, имеет довольно правильный овал попе-

речного сечения. Острие обломано, но, судя по очертанию ростра, оно должно быть несколько приближено к спинной стороне. Заметны слабые спинно-боковые бороздки, проходящие от обломанного нижнего конца до верхнего. Альвеола слегка изогнута в спинно-брюшном направлении. Ось расположена слабо эксцентрично.

Размеры (в мм)

<i>P</i>	?
<i>СБ</i>	24(100)
<i>ББ</i>	18,75(78)
<i>О</i>	63?(262?)

Сравнение. Описываемый ростр почти тождествен ростру *Belemnites gigantoides* Ramelow. Незначительное отличие заключается в присутствии слабых бороздок на нашем экземпляре, что может быть объяснено его лучшей сохранностью.

В числе близких к описанному белемниту форм А. П. Павлов называет *Belemnites gigas* Blainville (1827, стр. 91, табл. III, фиг. 9), отличающийся боковыми уплощениями ростра и поперечным разрезом, близким к четырехугольному.

Местонахождение. Левый берег Анабарской губы, обр. 8жж.  
Возраст. Верхний лейас.

Подсемейство *Belemnopsinae* Naef, 1922 (= *Hastatidae* Stolley, 1919)

Род *Hibolites* Montfort, 1808, emend. Stolley, 1911

Тип рода — *Belemnites hastatus* Blainville, 1827

*Hibolites*(?) sp. indet.

Табл. LX, фиг. 4а, б

Материал. Один экземпляр (колл. Е. С. Ершовой и Т. М. Емельянцева).

Описание. Ростр маленький, с боков слабо сжатый, веретенообразной формы, с расширяющейся нижней частью и постепенно суживающейся верхней частью. Поперечное сечение близ вершины альвеолы овальное (83 мм), близ нижнего конца — круглое. Альвеолярная часть и бороздки ее сохранились. Брюшная бороздка узкая, мелкая, не доходящая до верхнего конца и теряющаяся ниже расширенной части ростра. Кроме того, в верхней части ростра на боках наблюдаются слабые двойные бороздки, достигающие его расширенной части.

Размеры (в мм)

<i>P</i>	34?
<i>СБ</i>	2,75(100)
<i>ББ</i>	2,5(91)
<i>О</i>	34(1236)
<i>сб</i>	5(200—100)
<i>бб</i>	4,5(180—90)

Сравнение. Описываемый белемнит от рода *Hastites* отличается присутствием брюшной бороздки, а от *Hibolites* — брюшной бороздкой, которая начинается в 8 мм ниже вершины альвеолы, и слабыми боковыми бороздками. По общей форме ростр очень напоминает лейасового *Hastites neumarktensis* Orpel (in Kolb, 1942, стр. 150, табл. V, фиг. 21а, б), от которого отличается присутствием брюшной борозды. Близок к *Hibolites*, выделенным М. Лисажу (Lissajous, 1925) под названием *Rhopaloteuthis*.

Местонахождение. Анабарская губа, обр. 11а<sub>12</sub>.

Возраст. Нижний келловей, слои с *Cadoceras elatmae*.



Подсемейство *Cylindroteuthinae* Naef, 1922

Род *Cylindroteuthis* Bayle, 1878

Тип рода — *Belemnites puzosianus* d'Orbigny, 1843

*Cylindroteuthis subobeliscoides* sp. nov.

Табл. LXI, фиг. 1а, б

Материал. Один неполный экземпляр (колл. Е. С. Ершовой и Т. М. Емельянцева).

Описание. Верхняя и нижняя часть ростра обломаны; сохранились нижняя часть альвеолярной, верхняя и средняя части постальвеолярной области. Этот участок ростра имеет субцилиндрическую форму; длина его 180 мм. Поперечное сечение у вершины альвеолы сжато с боков (100:92) и суживается к спинной стороне; в нижней части сжато в спинно-брюшном направлении (100:105); в средней — округлое (100:100). Радиус спинной равен 5,2 мм, брюшной — 4,2 мм. Боковые стороны верхней части ростра несколько уплощены. На брюшной стороне наблюдается широкая и глубокая борозда, сглаживающаяся на середине длины постальвеолярной части. Осевая линия расположена немного эксцентрично, ближе к брюшной стороне.

Сравнение. Описанный экземпляр напоминает *Belemnites obeliscoides* Pavlow [1892, стр. 222, табл. IV(1), фиг. 2 и 1913, стр. 15, табл. I, фиг. 5 и 6], но отличается от него формой ростра (у *Cylindroteuthis obeliscoides* Pavl. почти не отмечается уплощение на брюшной стороне и ось расположена ближе к центру) с ясно выраженной брюшной бороздой.

В. И. Бодылевский (1953, стр. 21) *Belemnites (Piesetrobelus) obeliscoides* Pavlow (1913, табл. I, фиг. 6), так же как и *Belemnites (Piesetrobelus) magnificus* Pavlow (1913, стр. 16, табл. I, фиг. 8; табл. II, фиг. 4), на основании отличия их от типичных форм выделил в самостоятельный вид *Cylindroteuthis subporrecta* Bodyl.

От *Belemnites obeliscus* Phillips (1865, стр. 123, табл. XXXIII, фиг. 83) наш вид отличается формой ростра, суженного с боков в верхней части и в направлении СБ — в нижней части, и осью, расположенной ближе к брюшной стороне.

Местонахождение. Полуостров Пахса, обр. 23а.

Возраст. Нижний валанжин, слои с *Tollia tolli*.

*Cylindroteuthis comes* sp. nov.

Табл. LXI, фиг. 2а, б, в, г; 3а, б, в, г; 4а, б, в, г.

Материал. Один целый экземпляр и обломки (колл. Е. С. Ершовой и Т. М. Емельянцева).

Описание. Целый ростр состоит из трех отдельных кусков — частей: нижней (табл. LXI, фиг. 3), средней (табл. LXI, фиг. 4) и верхней (табл. LXI, фиг. 2). Ростр очень длинный, субцилиндрический. Нижний конец сильно сжат в спинно-брюшном направлении (100:130 на фиг. 3г); выше сечение сдавлено в боковом направлении (100:96 на фиг. 3в); то же отношение сохраняется до начала альвеолы. Альвеолярная часть (сохранился только задний участок) сдавлена в спинно-брюшном направлении. Вдоль всего ростра на брюшной стороне проходит глубокая борозда, которая исчезает только на очень небольшом участке близ нижнего конца. Другие бороздки на ростре не наблюдаются. Осевая линия приближена к брюшной области.

Сравнение. Ростр несколько напоминает *Cylindroteuthis* aff. *porrecta* Pavlow [1898, стр. 224, табл. IV(1), фиг. 5], но отличается формой ростра, сдавленного с боков, а не в спинно-брюшном направлении. От *Cylindroteuthis subporrecta* Bodyl. отличается присут-

ствием борозды, проходящей по всему роstrу, и приближенностью осевой линии к брюшной стороне.

От *Cylindroteuthis absoluta* (Fischer) (Крымголец, 1929, стр. 116) отличается меньшей сдавленностью роstrа и более высоким положением осевой линии. От *Belemnites obeliscoides* Pavlow [1892, стр. 222, табл. IV(1), фиг. 2] отличается более сдавленным с боков роstrом в средней его части и более низко расположенной осевой линией. От *Cylindroteuthis subobeliscoides*, описанного выше, *Cylindroteuthis comes* отличается формой роstrа, сдавленного с боков, и глубокой брюшной бороздой, проходящей по всему роstrу.

Местонахождение. Полуостров Пахса, обр. 26а<sub>23</sub>.

Возраст. Верхний волжский ярус, слои с *Aucella subinflata*.

---

## ЛИТЕРАТУРА

- Атлас руководящих форм ископаемой фауны СССР, т. VIII, М.—Л., 1947.
- Богословский Н. А. Рязанский горизонт (фауна, стратиграфические отношения и вероятный возраст этого горизонта). Материалы для геологии России, т. XVIII, СПб., 1896.
- Богословский Н. А. Материалы для изучения нижнемеловой аммонитовой фауны центральной и северной России. Труды Геол. ком., нов. сер., вып. 2, СПб., 1902.
- Бодылевский В. И. Развитие *Cadoceras elatmae* (Nik.). Ежегодн. Русск. Палеонт. об-ва, т. V, ч. 1, Л., 1925.
- Бодылевский В. И. К стратиграфии мезозойских отложений Анабаро-Хатангского района. Проблемы Арктики, № 10—11, 1939.
- Бодылевский В. И. О возрасте суракского и иноцерамового ярусов. Записки Ленинградского горного ин-та, т. XVII—XVIII, 1948.
- Бодылевский В. И. О значении некоторых аммонитов для стратиграфии юрских и нижнемеловых отложений Русской платформы. Труды Всесоюзного совещания по разработке унифицированной схемы стратиграфии мезозойских отложений Русской платформы, 1956.
- Бодылевский В. И. Новый род *Taimyroceras* из Северной Сибири. Материалы по палеонтологии, ВСЕГЕИ. Сборник «Новые семейства и роды», 1956.
- Бодылевский В. И. Спорные вопросы стратиграфии юрских и меловых отложений Советской Арктики. Труды Межведомственного совещания по разработке унифицированных стратиграфических схем Сибири (1956), 1957.
- Бодылевский В. И. Новые виды древних растений и беспозвоночных СССР, часть II. М., 1960а.
- Бодылевский В. И. Стратиграфия восточных областей Советского Союза. Записки Ленинградского горного института, том XXXVII, вып. 2. М., 1960б.
- Бодылевский В. И., Кипарисова Л. Д. Стратиграфия мезозойских отложений Советской Арктики. Труды XVII сессии Международного геологического конгресса, т. V, 1940.
- Бодылевский В. И., Шульгина Н. И. Юрские и меловые фауны низовьев Енисея. Труды Института геологии Арктики, т. 93, 1958.
- Борисяк А. А. Фауна Донецкой юры. I. Труды Геол. ком., нов. сер., вып. 37, СПб., 1908.
- Борисяк А. А. Геологический очерк Сибири, 1923.
- Вахрамеев В. А. Стратиграфия мезозойских отложений восточной и южной частей Сибирской платформы. Труды Межведомственного совещания по разработке унифицированных стратиграфических схем Сибири (1956), 1937.
- Воронец Н. С. Мезозойская фауна хребта Хараулахского. Труды Арктического ин-та, т. XXXVII, 1936.
- Воронец Н. С. Первые находки *Morrisiceras* и *Xenocephalites* на севере Сибири. Сборник статей по палеонтологии и биостратиграфии, вып. 2. Изд. Института геологии Арктики, 1957.
- Воронец Н. С. Новые аммониты полуострова Пахса на южном берегу моря Лаптевых. Сборник статей по палеонтологии и биостратиграфии, вып. 7. Изд. Института геологии Арктики, Л., 1958а.
- Воронец Н. С. Новый род *Virgatoptychites* из северных районов Сибири. Сборник статей по палеонтологии и биостратиграфии, вып. 9. Изд. Института геологии Арктики, 1958б.
- Емельянцева Т. М. Геологические исследования в районе Нордвика и острова Бегичева в 1933 г. Сборник «Геологические исследования Нордвик-Хатангского района». Изд. Горно-геол. упр. Главсевморпути, 1939.
- Иловайский Д. И., Флоренский К. П. Верхнеюрские аммониты бассейнов рек Урала и Илека. Материалы к познанию геологического строения СССР, нов. сер., вып. 1 (5), 1941.

Кошелкина З. В. Палеонтологическое обоснование ярусного расчленения юрских отложений Виллойской впадины и Приверхоанского краевого прогиба. Труды Межведомственного совещания по разработке унифицированных стратиграфических схем Сибири (1956), 1957.

Крымголец Г. Я. Верхнеюрские *Cylindroteuthinae* Тимана, бассейна р. Сысолы в Оренбургской губ. Изв. Геол. ком., т. XLVIII, № 7, 1929.

Крымголец Г. Я. Материалы по стратиграфии морской юры р. Бурен. Труды ЦНИГРИ, вып. 117, 1939.

Крымголец Г. Я. Верхнелейасовый белемнит с р. Колымы. Труды гостреста «Дальстрой», Материалы по изучению Охотско-Колымского края, сер. 1, вып. 5, М., 1937.

Лагузен И. Фауна юрских образований Рязанской губернии. Труды Геол. ком., т. 1, СПб, 1883.

Луппов Н. П. Нижнемеловые отложения северо-западного Кавказа и их фауна. Труды Всес. нефтяного научн.-исслед. геол.-разв. ин-та, нов. сер., вып. 65, 1952.

Михайлов Н. П. Зоны подмосковного портланда. Бюллетень Моск. об-ва испытателей природы, отд. геол., т. XXXII (5), 1957.

Михальский А. Аммониты нижнего волжского яруса. Труды Геол. ком., т. VIII, № 2, СПб, 1890.

Никитин С. Н. Аммониты группы *Amaltheus juniferus* Phill. Bull. Soc. Imp. des Natur. de Moscou, v. LIII, № 2, 1872.

Никитин С. Н. Юрские образования между Рыбинском, Мологою и Мышкиным. Материалы для геологии России, т. X, СПб, 1881.

Никитин С. Н. Общая геологическая карта России, лист 56-й. Труды Геол. ком., т. 1, № 2, СПб, 1884.

Никитин С. Н. Общая геологическая карта России, лист 71-й. Труды Геол. ком., т. II, № 1, СПб, 1885.

Никитин С. Н. Следы мелового периода в Центральной России. Труды Геол. ком., т. V, № 2, СПб, 1888.

Огнев В. Н. Верхнеюрские окаменелости с острова Гукера Земли Франца-Иосифа. Труды Арктического ин-та, т. XII, 1933.

Павлов А. П. Юрские и меловые *Cephalopoda* севера Сибири. Записки Российской имп. Акад. наук, сер. VIII, физ.-мат., т. XXI, № 4, СПб, 1913.

Пригоровский М. М. Новые данные об аммонитах группы *Olcostephanus okensis* (*Craspedites* Pavl. et Lampl.) из Ярославской губ. Записки Минер. об-ва, т. XLIV, вып. 2, СПб, 1907.

Решения Всесоюзного совещания по разработке унифицированной схемы стратиграфии мезозойских отложений Русской платформы. Мин. нефт. пром. СССР, 1955.

Решения Межведомственного совещания по разработке унифицированных стратиграфических схем Сибири. Госгеолтехиздат, 1959.

Сазонов Н. Т. О некоторых малоизученных аммонитах нижнего мела. Бюллетень Моск. об-ва испытателей природы, отд. геол., т. XXVI(5), 1951.

Сазонов Н. Т. Унифицированная схема стратиграфии нижнемеловых отложений Русской платформы. Труды Всесоюзного совещания по разработке унифицированной схемы стратиграфии мезозойских отложений Русской платформы, 1956.

Сазонов Н. Т. Унифицированная схема стратиграфии юрских отложений Русской платформы. Труды Всесоюзного совещания по разработке унифицированной схемы стратиграфии мезозойских отложений Русской платформы, 1956.

Сакс В. Н. Стратиграфия мезозойских отложений Усть-Енисейской и Хатангской впадин. Труды Межведомственного совещания по разработке унифицированных стратиграфических схем Сибири (1956), 1957.

Смородина (Молчанова) Н. О. О генетических взаимоотношениях аммонитов сем. *Cardioceratidae*. Изв. Ассоц. научно-исслед. институтов при физ.-мат. фак. Московского гос. университета, т. 1, вып. 1—2, 1928.

Соколов Д. Н. Мезозойские окаменелости с о. Преображения и о. Бегичева. Труды Геол. музея им. Петра Великого при Росс. имп. Акад. Наук, т. IV, СПб, 1910.

Соколов Д. Н. К аммонитовой фауне Печорской юры. Труды Геол. ком., нов. сер., вып. 76, СПб, 1912.

Соколов Д. Н. Окаменелости из валунов на Новой Земле. Труды Геол. музея им. Петра Великого при Росс. имп. Акад. наук, т. VII, вып. 2, СПб, 1913.

Сороков Д. С. Стратиграфия морских мезозойских отложений северной части Ленского и Лено-Хатангского прогибов. Труды Межведомственного совещания по разработке унифицированных стратиграфических схем Сибири (1956), 1957.

Толль Э. В. Очерк геологии Ново-Сибирских островов и важнейшие задачи исследования полярных стран. Записки Российской имп. Акад. Наук по физ.-мат. отд., т. IX, СПб, 1900.

Толмачев И. П. Объяснительная записка к геологической карте стоверстового масштаба района Хатангской экспедиции 1905 г. Изв. Русск. геогр. об-ва, т. XLVIII, 1905.

Худяев И. Е. Мезозойские отложения в районе р. Сысолы (Печора). Труды Геол. ком., т. XLVI, № 5, 1927.

Фришенфельд Г. Э. Новые данные по геологии Анабарско-Хатангского района. Сборник «Академику В. А. Обручеву к 50-летию», т. 1, 1938.

Чекановский А. Л. Дневник экспедиции А. Л. Чекановского по рр. Н. Тунгуске, Оленеку и Лене в 1873—1875 гг. Записки Русск. Геогр. об-ва по общей географии, № 1, СПб., 1896.

Arkell W. J. A Monograph on the Ammonites of the English Corallian Beds. Palaeontogr. Soc., v. LXXXVIII—XCVI, London, 1935—1944.

Arkell W. J. Jurassic geology of the World, Edinburgh—London, 1956.

Венеcke E. W. Beitrag zur Kenntnis des Jura in Deutsch-Lothringen. Abhandl. zur Geol. Specialkarte von Elsass-Lothringen, N. F. H. I, Strassburg, 1898.

Blainville D. Mémoire sur les Bélemnites considérées zoologiquement et géologiquement. Paris, 1827.

Boden K. Die Fauna des unteren Oxford von Popilani in Litauen. Geol. u. Pal. Abh., N. F., Bd. X(XIV), H. 2, Jena, 1911.

Boehm I. Beiträge zur Geologie von Niederländisch—Indien, v. I, Palaeontographica. Suppl. IV, Lief. 3, Freiburg, 1912.

Buckman S. S. A Monograph of the Inferior Oolite Ammonites of the British Islands. Palaeontogr. Soc., London, 1887—1907.

Buckman S. S. and Tutchter J. W. Type Ammonites. London, 1909—1930.

Burckhardt C. Jura- und Kreideformation der Cordillere. Stuttgart, 1903.

Burckhardt C. La Faune Jurassique de Mazapil avec un Appendice sur les Fossiles du Crétacé inférieur. Instituto Geologico de México, Bull. № 23, México, 1906.

Burckhardt C. Cefalopodos del Jurásico medio de Oaxaca y Guerrero. Instituto Geologico de México. Bull. № 47, México, 1927.

Clerc M. Etude monographique des fossiles du Dogger de quelques gisements classiques du Jura Newchatelois et Vaudois. Mém. de la Soc. paléontologique Suisse, v. XXXI, № 6, 1904.

Cossmann M. Seconde note sur le Mollusques du Bathonien de Saint-Gaultier (Indre). Bull. de la Soc. Géol. de France, 3 sér., t. XXVIII, Paris., 1900.

Crickmay C. H. Fossils from Harrison Lake area, British Columbia. Contributions to Canadian Palaeontology, Bull. № 63, Geol. Ser., № 59, Ottawa, 1930.

Donovan D. The Jurassic and Cretaceous stratigraphy and palaeontology of Traill. East Greenland. Meddelelser om Grønland, Bd. 111, № 4, København, 1953.

Dumortier E. Etudes paléontologiques sur les dépôts jurassiques du bassin du Rhône, v. I—IV. Paris, 1863—1874.

Engel Th. Geognostischer Wegeveiser durch Württemberg. Anleit. und zum Erkennen der Schichten und zum Sammeln der Petrefakten, Zweite Auflage, 1908.

Ernst W. Zur Stratigraphie und Fauna des Lias im nordwestlichen Deutschland. Palaeontographica, Bd. 65—66, Stuttgart, 1923—1925.

Fischer de Waldheim L. Oryctographie du Gouvernement de Moscou, 1830—1837.

Frebold H. Verbreitung und Ausbildung des Mesozoikums in Spitzbergen. Skr. om Svalbard og Ishavet, № 31, Oslo, 1930.

Gottsche A. Ueber jurassische Versteinerungen aus der argentinischen Cordillere. Palaeontographica, Suppl. III, Stuttgart, 1876.

Grossouvre A. Bajocien-Bathonien dans la Nievre. Bull. de la Soc. Géol. de France, 4 sér., t. 18, Paris, 1918.

Ilovaisky D. L'Oxfordien et le Séquanien des gouvernements de Moscou et de Riasan. Bull. de la Soc. Imp. des Naturalistes de Mosclou, 1903, N. S., t. XVII, M., 1904.

Imlay R. W. Characteristic marine jurassic fossils from the Western Interior of the United States. Geol. Surv. Prof. Paper, 214—B, Washington, 1948.

Imlay R. W. Callovian (Jurassic) Ammonites from the United States and Alaska, Pt. I, Western Interior United States. Geol. Surv. Prof. Paper, 249—A, Washington, 1953.

Imlay R. W. Callovian (Jurassic) Ammonites from the United States and Alaska. Pt. 2. Alaska Peninsula and Cook Inlet Regions. Geol. Surv. Prof. Paper, 249—B, Washington, 1953.

Imlay R. W. Characteristic jurassic mollusks from Northern Alaska. Geol. Surv. Prof. Paper, 174—D, Washington, 1955.

Janensch W. Die Jurensisschichten des Elsass. Abhandl. zur Geol. Specialkarte von Elsass-Lothringen., N. F., H. V, Strassburg, 1902.

Keyserling A. Wissenschaftliche Beobachtungen auf eine Reise in das Petschora-Land. SPb., 1846.

Keyserling A. Fossile Mollusken. In.: A. Middendorf. Sibirische Reise, Bd. 1, SPb., 1846.

Koenen A. V. Die Ammonitiden des Norddeutschen Neocom. (Valanginien, Hauterivien, Barremien und Aptien). Abhandl. der König. Preuss. Geolog. Landesanstalt und Bergakademie, N. F., H. 24, Berlin, 1902.

Koenen A. Die Polytychites-Arten des Unteren Valanginien. Abh. k.-preuss. Geol. Landesanstalt, N. F., H. 59, Berlin, 1909.

- Kolb H. V. Die Belemniten des jüngeren Lias  $\zeta$  in Nordbayern. Zeitschr. d. Deutsch. Geol. Gesellsch., Bd. 94, H. 3/4, Berlin, 1942.
- Lahusen I. Die Inoceramen-Schichten an dem Olenek und der Lena. Mém. Acad. Imp. d. Sci. Pétersbourg, Ser. VII, t. XXXIII, № 7, 1886.
- Lang W. D. The Belemnite Marls of Charmouth, a series in the Lias of the Dorset Coast. Quart. Journ. of the Geol. Soc., London, 1927.
- Lemoine P. Ammonites du jurassique supérieur du Cercle d'Analava (Madagascar). Ann. de Paléont., t. V—VI, Paris, 1910—1911.
- Lissajous M. Toarcien des environs de Mâcon. Mâcon, 1906.
- Lissajous M. Jurassique mâconnais. Fossils caractéristiques. Bull. de la Soc. d'Histoire naturelle de Mâcon, 1907, 1911.
- Lissajous M. Sur une coupe de Lias moyen et supérieur dans le Mâconnais. Mâcon, 1912.
- Lissajous M. Quelques remarques sur les Bélemnites jurassiques. Bull. de la Soc. d'Histoire naturelle de Mâcon, 1915.
- Lissajous M. A propos de Bélemnites canaliculatus Schlötheim. Soc. Géol. de France, C. R. S., Paris, 1919.
- Lissajous M. Répertoire alphabétique des Bélemnites Jurassique précédé d'un essai de classification. Trav. Laborat. d. Géologie de Lyon.; Fasc. 8, Mém. 7, Lyon, 1925.
- Loriol P. L'études sur les mollusques et brachiopoda de l'Oxfordien supérieur et moyen du Jura Bernois 1—re partie. Mém. Soc. Paléont. Suisse, v. XXIII, mém. № 4, Genève, 1896.
- Madsen V. On Jurassic Fossils from East-Greenland. Meddelelser om Grønland, № 29, København, 1909.
- Mascke E. Die Stephanoceras—Verwandten in dem Coronatenschichten von Norddeutschland. Göttingen, 1907.
- McLearn F. Some Canadian Jurassic. Royal. Soc. Canada Trans., 3—d ser, v. 21, ser. 4, Ottawa, 1927.
- McLearn F. Contributions of the Stratigraphy and Palaeontology of Skidegatoinet, Queen Charlotte Islands, B. C. Contributions to Canadian. Palaeontology, Bull. № 54, Ottawa, 1929.
- Morris I. and Lycett J. A. Monograph of Mollusca from the Great Oolite, chiefly from Minchinhampton and the coast of Yorkshire (pt. I, II). London, 1850—1853.
- Naef A. Die Fossilen Tintenfische. Jena, 1922.
- Neumayr M. und Uhlig V. Ueber Ammonitiden aus den Hilsbildungen Norddeutschlands. Palaeontographica, Bd. XXVII, 1881.
- Newton E. T. and Teall I. L. Notes on a collection of Rocks and Fossils from Franz-Joseph-Land, made by the Jackson-Harmsworth Expedition during 1894—1896. Quart. Journ. of the Geol. Soc. of London, v. LIII, London, 1897.
- Nikitin S. N. Der Jura der Umgegend von Elatma. Nouv. Mém, d. 1. Soc. d. Natur. de Moscou, t. XIV, XV, 1881, 1885.
- Ooster W. N. Catalogue des Cephalopodes fossiles de Alpes Suisses. P. 1, Cephalopodes acétabulifères, Paris, 1857.
- Ooster W. A. Le Corallien de Wimmis. Petrification remarquables des Alpes Suisses, Paris, 1869.
- Oppel A. Der mittlere Lias Schwabens. Ver. xür vaterl. Naturkunde, Bd. X, Stuttgart, 1853.
- Oppel A. Die Juraformation Englands, Frankreichs u. des südwestl. Deutschlands, Stuttgart, 1856—58.
- Oppel A. Ueber jurassische Cephalopoden. Mitteilungen aus dem Museum des kgl, bayerischen States, 1, Stuttgart, 1862—69.
- Orbigny A. Paléontologie Française. Terrains jurassiques, v. 1, Cephalopodes. Paris, 1842.
- Orbigny A. Mollusques jurassiques. In Murchison, Verneuil et Keyserling Geologie de la Russie, v. II, pt 3, London—Paris, 1845.
- Parkinson J. Organic remains of a former World. An examination of the mineralized remains of the vegetable and animals of the antediluvian world generally termed extraneous fossils, v. 1, London, 1811.
- Pavlov A. Etudes sur les couches jurassiques et crétacées de la Russie, I. Jurassiques supérieur et crétacé inférieur de la Russie. Bull. Soc. Nat. Moscou, t. II, № 1, 1889.
- Pavlov A. Bélemnites de Speeton et leurs rapport avec les Bélemnites des autres pays. In A. Pavlov et G. Lamplugh. Argiles de Speeton et leurs equivalents. Bull. Soc. Imp. des Natur de Moscou, N. S., t. V, № 3 et 4, M., 1892.
- Pavlov A. Ammonites de Speeton. In A. Pavlov et G. Lamplugh. Argiles de Speeton et leurs equivalents. Bull. Soc. Imp. des Natur de Moscou, N. S., t. V, № 3 et 4, M., 1892.
- Phillips J. Illustrations of the Geology of Yorkshire. London, 1835.
- Phillips J. A Monograph of British Belemnitidae. Palaeontogr. Soc., v. XVII, XVIII, XX, XXII, XXIII, London, 1865—1870.

Pompeckj J. F. Beiträge zu eine Revision der Ammoniten des schwäbischen Jura. Lief. I—II, Stuttgart, 1893—1896.

Pompeckj J. F. The Jurassic Fauna of Cap Flora, Franz Joseph Land with a geological sketch of Cap Flora and its neighbourhood. Norwegian North Polar Exped. 1893—1896. results, 1, № 2, 1899.

Pompeckj J. Jura-Fossilien aus Alaska. Verhandlungen der Keis. russ. mineral. Gesellschaft (zu St.-Peterburg), 2 ser., Bd. 38, № 1, SPb., 1900.

Quenstedt F. Petrefactenkunde Deutschlands. Bd. 1, Cephalopoden. Tübingen, 1846—1849.

Quenstedt F. Der Jura. Tübingen, 1858.

Quenstedt F. Die Ammoniten des schwäbischen Jura. Bd. 1, Der Schwarze Jura; Bd. II, Der Braune Jura; Bd. III, Der Weisse Jura. Stuttgart, 1883—1888.

Ravn J. On Jurassic and Cretaceous fossils from North-East Greenland. Medd. om Grønland, Bd. XLV, № 10, København, 1911.

Riche A. Etude stratigraphique et paléontologique sur la zone Lioceras concavum du Mont d'Or Lyonnais. Annales de l'université de Lyon, N. S., fasc. 14, 1904.

Reeside J. B. Some American Jurassic Ammonites of the genera Quenstedti-ceras, Cardioceras, and Ammoceras, family Cardioceratidae. Washington, 1919.

Roemer F. A. Die Versteinerungen des Norddeutschen Oolithen-Gebirges. Ein Nachtrag, Hannover, 1839.

Rosenkrantz A. The lower jurassic rocks of East Greenland, pt. 1. Medd. om Grønland, Bd. CX, № 1, København, 1934.

Salfeld H. Die Cardioceraten des oberen Oxford und Kimmeridge. Monographie der Gattung Cardioceras Neumayr et Uhlig. Zeitschrift der Deutsch. Geolog. Gesellschaft. (Abhandlungen und Monatsberichte), Bd. 67, Berlin, 1916.

Salfeld H. und Frebold H. Jura und Kreidefossilien von Nowaja Semlja. Report of the scientific results of the Norwegian expedition to Nowaja Zemlia, № 23, Kristiania, 1924.

Schmidt F. Wissenschaftliche Resultate der zur Aufsuchung eines angekündigten Mammuthcadavers von der kaiserlichen Akademie der Wissenschaften an den Unteren Jenissei ausgesandten Expedition. Mém. Acad. Imp. Sci. SPb., VII ser. t. XVIII, № 1, 1872.

Schneider N. Etude stratigraphique et paléontologique de l'Aalénien de Gundershoffen (Bas-Rhin). Mém. du Serv. d. l. Carte Géol. d'Alsace et de Lorraine, № 3, Strasbourg, 1927.

Shimer H. and Shrock R. Index fossils of North America. v. II, New York, 1947.

Simpson M. The fossils of the Yorkshire Lias described from nature, with short outline of the Yorkshire coast. London, 1855.

Simpson M. Inferior oolite. Lias Belemnites of the Yorkshire coast. The geological and natural history repertory, Hull, 1865—1867.

Skeat E. The Jurassic Rocks at East Greenland, Proceedings of the Geologist's Association, v. 8, London, 1903—1904.

Soergel W. Lias und Dogger von Jefbie und Fialpopo (Misolarchipel). Neues Jahrb. f. Miner., Beilage, Bd. XXXVI, Stuttgart, 1913.

Sokolov D. und Bodylevsky V. Jura- und Kreidefaunen von Spitzbergen. Skrift. om Svalbard og Ishavet, № 35, Oslo, 1931.

Sowerby J. The Mineral Conchology of Great Britain. Deutsch bearb. von Desor und Agassiz, Solothurn, 1842—1844.

Spath L. F. Revision of the Jurassic cephalopod fauna, of Kach (Cutch), Paleont. Indica, N. S., v. IX, mem. 2, Calcutta, 1927—1933.

Spath L. F. The invertebrate Faunas of the Bathonian-Callovian deposits of Jameson Land (East Greenland). Medd. om Grønland, Bd. LXXXVII, № 7, København, 1932.

Spath L. F. The Upper Jurassic invertebrate faunas of Cape Leslie, Milne Land. 1. Oxfordian and Lower Kimmeridgian. Medd. om Grønland, Bd. XLIX, № 2, København, 1935.

Spath L. F. The upper jurassic invertebrate faunas of Cape Leslie, Milne Land, 2. Upper Kimmeridgian and Portlandian. Medd. om Grønland, Bd. XCIX, № 3, København, 1936.

Spath L. F. Additional observations on the invertebrates (chiefly Ammonites) of the Jurassic and Cretaceous of East Greenland. 1, The Hectoroceras fauna of S.-W. Jameson Land. Medd. om Grønland, Bd. CXXXII, № 2, København, 1949.

Spath L. F. Additional observation on the Invertebrates (chiefly Ammonites) of the Jurassic and Cretaceous of East Greenland, Medd. om Grønland, Bd. CXXXIII, N. 4, 1952.

Stanton T. The fauna of the Knoxville beds. Bull. U. S. Geol. Surv., № 133, Washington, 1895.

Stehn E. Beiträge zur Kenntnis des Bathonien und Callovien in Südamerika. N. Jahrb. Mineralogie etc. Beil. Bd. XLIX (Beiträge zur Geologie und Paläontologie von Südamerika), Berlin, 1924.

- Swinerton H. H. The rocks below the red chalk of Lincolnshire, and their Cephalopod faunas. *Quart., Journ. of the Geol. Soc. of London*, v. XCI, pt. 1, 1935.
- Terquem O. Paleontologie de l'étage inférieur de la formation liasique de la province de Luxemburg, Grand-Duché (Hollande) et de Hattange, du département de la Moselle. *Mém. de la Soc. Géol. de la France*, 2 sér., t. V, pt. 2, Paris, 1855.
- Terquem O. et Jourdy E. Monographie de l'étage Bathonien dans le département de la Moselle. *Mém. de la Soc. Géologique de France*, 2 sér. t. IX, 1869.
- Tornquist A. Die degenerierten Perisphinctiden des Kimmeridge von Je Havre. *Abhandl. der schweizerischen paläontol. Gesell.* v. XXII, Zürich, 1896.
- Tornquist A. Der Dogger am Espinazito-Pass nebst einer Zusammensteellung der jetzigen Kenntnisse von der Argentinischen Juraformation. *Palaeontologische Abhandlungen*, Bd. VIII, (N. F. Bd. IV) H. 2, Jena, 1898.
- Types du prodrome de Paléontologie de d'Orbigny. *Annales de Paleontologie*, t. III, Paris, 1908.
- Uhlig V. Die marinen Reiche des Jura und des Unterkreide. *Mitteilungen der Geologischen Gesell. in Wien*, Bd. 4, 1911.
- Voltz P. L. Observations sur les Bélemnites. *Mém. de la Soc. d'hist. nat. de Strassburg*, t. I, Paris, 1830.
- Waagen L. Cephalopoda of the Jurassic deposits of Kutch. *Paleont. Indica*, ser. IX, v. I, Calcutta, 1873—76.
- Weerth O. Die Fauna des Neocomsandsteins im Teutoburger Walde. *Palaeontologische Abhandlungen*, Bd. 2, H. 1, Berlin, 1884.
- Werner E. Ueber die Belemniten des schwabischen Lias und die mit ihnen verwandten Formen des braunen Jura (Acoeli). *Palaeontographica*, Bd. LIX, Stuttgart, 1912.
- White Ch. A. A small collection of mesozoic fossil collected in Alaska by Mr. W. H. Dall of the United States Coast Survey. *Bulletin of the U. S. G. S.*, No 1, 1884.
- Whitehouse F. W. Some Jurassic from western Australia. *Journ. of the Royal Soc. of western Australia*, v. VII, 1924—1925.
- Whitfield R. P. and Hovey E. O. Remarks on and Description of Jurassic Fossils of the Black Hills. New York, 1906.
- Young G. and Bird I. A geological Survey of the Yorkshire coast. Whitby, 1822.
- Zieten C. Die Versteinerungen Württembergs. Stuttgart, 1830.
- Zittel K. Die Cephalopoden des Stamberger Schichten. *Palaeont. Mitt. aus dem Museum des k. bayerischen Staates*, Bd. II, Stuttgart, 1868.
-



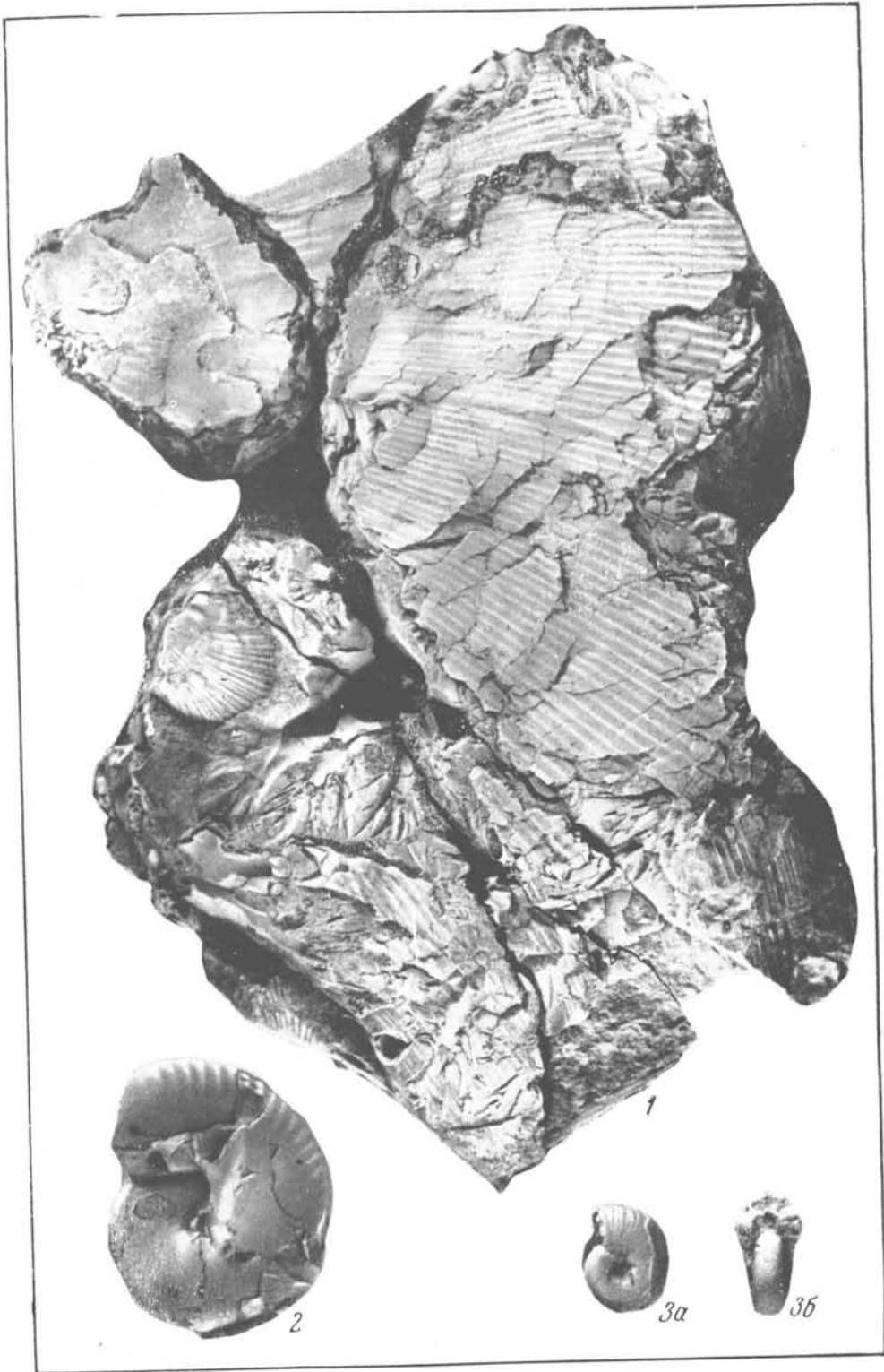
# ТАБЛИЦЫ И ОБЪЯСНЕНИЯ К НИМ

КОЛЛЕКЦИЯ ПОД № 9209 ХРАНИТСЯ  
В ЦЕНТРАЛЬНОМ ГЕОЛОГИЧЕСКОМ МУЗЕЕ  
ИМЕНИ Ф. Н. ЧЕРНЫШЕВА В ЛЕНИНГРАДЕ

(Все изображения,  
кроме особо отмеченных,  
даны в натуральную величину)

ТАБЛИЦА I

- Фиг. 1. *Phylloceras* sp. (ex gr. *heterophyllum* Sowerby). Обломок боковой стороны. Анабарский залив, обр. 4а (см. табл. II, фиг. 1). Юра. Верхний(?) лейас.
- Фиг. 2. *Phylloporachyceras praeinfundibulum* sp. nov. Вид сбоку. Полуостров Пахса, обр. 1025/2, 23а (см. табл. II, фиг. 3). Нижний мел (нижний валанжин).
- Фиг. 3. *Phylloporachyceras praeinfundibulum* sp. nov. (внутренний оборот). 3а — вид сбоку; 3б — вид со стороны устья.



## ТАБЛИЦА II

- Фиг. 1. *Phylloceras* sp. (ex gr. *heterophyllum* Sowerby). Часть боковой стороны крупного экземпляра. Анабарский залив, обр. 4а (см. табл. I, фиг. 1). Юра. Верхний(?) лейас.
- Фиг. 2. *Phylloceras subattas* sp. nov. Вид сбоку. Полуостров Урюнг-Тумус, обр. 5б (см. табл. III, фиг. 6а—г). Средняя юра (средний бат; слои с *Morrisiceras*).
- Фиг. 3. *Phyllopachyceras praeinfundibulum* sp. nov. Вид сбоку. Полуостров Пахса, обр. 25б (см. табл. I, фиг. 2). Нижний мел (нижний валанжин).



### ТАБЛИЦА III

- Фиг. 1. *Phyllorachyceras*(?) *lenaense* sp. nov. Вид сбоку. Река Лена, обр. 20. Нижний мел (нижний валанжин).
- Фиг. 2. *Dactylioceras micronatum* (d'Orbigny). 2a — вид сбоку; 2б — вид с наружной стороны. Анабарская губа, обр. 8ж<sub>10</sub>. Нижняя юра (тоарский ярус).
- Фиг. 3. *Amaltheus margaritatus* var. *compressa* (Quenstedt). Вид сбоку. Река Уджа, обр. 2836б. Нижняя юра (домерский ярус).
- Фиг. 4. *Dactylioceras commune* (Sowerby). Вид сбоку. Анабарская губа, обр. 19б. Нижняя юра (тоарский ярус).
- Фиг. 5. *Dactylioceras* cf. *crassulosum* (Simpson). Вид сбоку. Полуостров Урюнг-Тумус, обр. 6б. Нижняя юра (тоарский ярус).
- Фиг. 6. *Calliphylloceras subatlas* sp. nov. 6a — вид сбоку; 6б — вид с наружной стороны; 6в — вид сбоку внутреннего оборота; 6г — то же, что и на фиг. 6в, вид с наружной стороны. Полуостров Урюнг-Тумус, обр. 5б (см. табл. II, фиг. 2, тот же экземпляр, сфотографированный при ином освещении). Средняя юра (средний бат).
- Фиг. 7. *Amaltheus margaritatus* var. *compressa* (Quenstedt). Вид сбоку. Анабарская губа, обр. 8г. Нижняя юра (домерский ярус).
- Фиг. 8. *Amaltheus margaritatus* var. *depressa* (Quenstedt). 8a — вид сбоку; 8б — вид со стороны устья. Река Уджа, обр. 1/1812. Нижняя юра (домерский ярус).

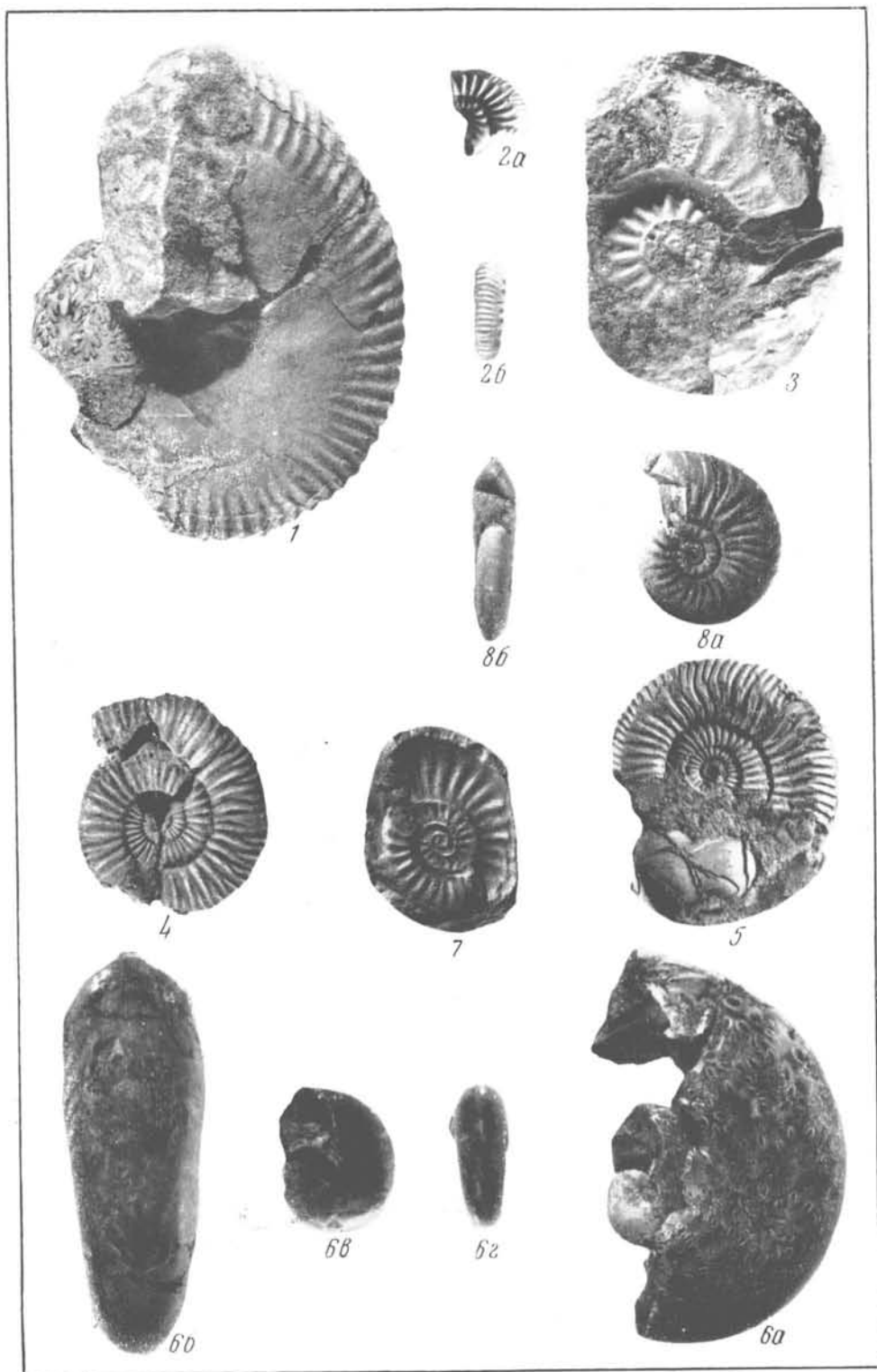


ТАБЛИЦА IV

- Фиг. 1. *Cranoccephalites vulgaris* S p a t h. 1a — вид с левой стороны; 1б — вид с правой стороны; 1в — вид с наружной стороны. Полуостров Урюнг-Тумус, обр. 5а (см. табл. V, фиг. 1а, б; табл. VIII, фиг. 1а, б; табл. X, фиг. 1а, б; табл. XXII, фиг. 1а, б). Средняя юра (нижний бат).
- Фиг. 2. *Cranoccephalites gracilis* var. *dissimularis* var. nov. 2а — вид сбоку; 2б — вид с наружной стороны. Полуостров Урюнг-Тумус, обр. 4г. Средняя юра (нижний бат).
- Фиг. 3. *Cranoccephalites(?) nordvikensis* sp. nov. 3а — вид сбоку; 3б — вид с наружной стороны. Полуостров Урюнг-Тумус, обр. 5г (см. табл. VI, фиг. 1а, б; табл. XIII, фиг. 2а, б; 3а, б). Средняя юра (нижний бат).





1a



1b



2b



3b



1b



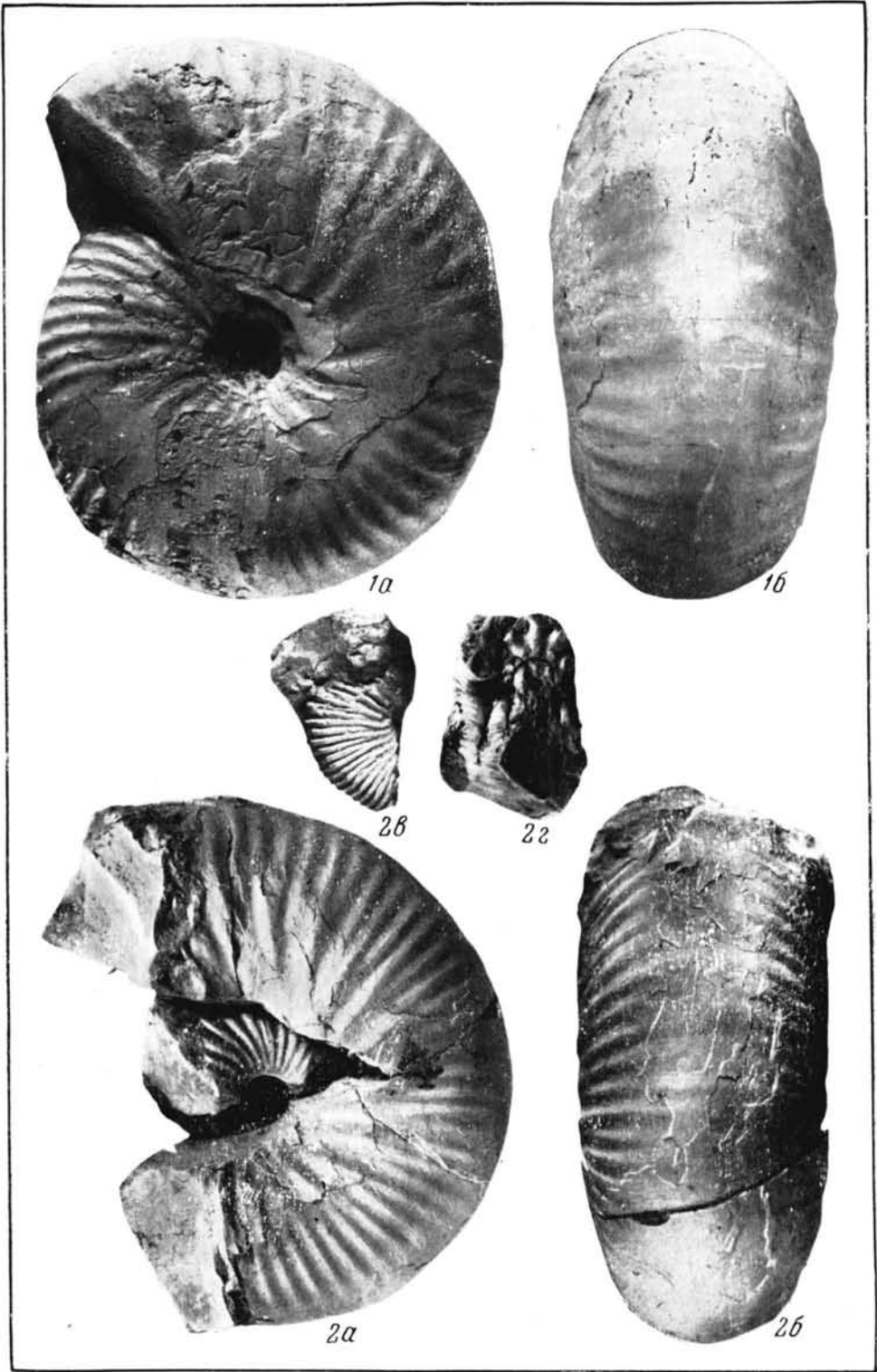
2a



3a

#### ТАБЛИЦА V

- Фиг. 1. *Cranoccephalites vulgaris* Spath. 1a — вид сбоку; 1б — вид с наружной стороны. Новая Земля, обр. 240 из валуна (см. табл. IV, фиг. 2а, б; табл. VIII, фиг. 1а, б; табл. X, фиг. 1а, б; табл. XXII, фиг. 2а, б). Средняя юра (нижний бат).
- Фиг. 2. *Cranoccephalites gracilis* Spath. 2а — вид сбоку; 2б — вид с наружной стороны; 2в — вид внутреннего оборота сбоку; 2г — поперечный разрез внутреннего оборота. Полуостров Урюнг-Тумус, обр. 2б. Средняя юра (нижний бат).



#### ТАБЛИЦА VI

- Фиг. 1. *Cranosephalites nordvikensis* sp. nov. 1a — вид сбоку; 1б — вид с наружной стороны. Полуостров Урюнг-Тумус, обр. 5г (см. табл. IV, фиг. 3а, б; табл. XIII, фиг. 2а, б; 3а, б). Средняя юра (нижний бат).
- Фиг. 2. *Cranosephalites potreckji* var. *laevis* Spath. Вид сбоку. Полуостров Урюнг-Тумус, обр. 2г. Средняя юра (нижний бат).



1a



1b



2

ТАБЛИЦА VII

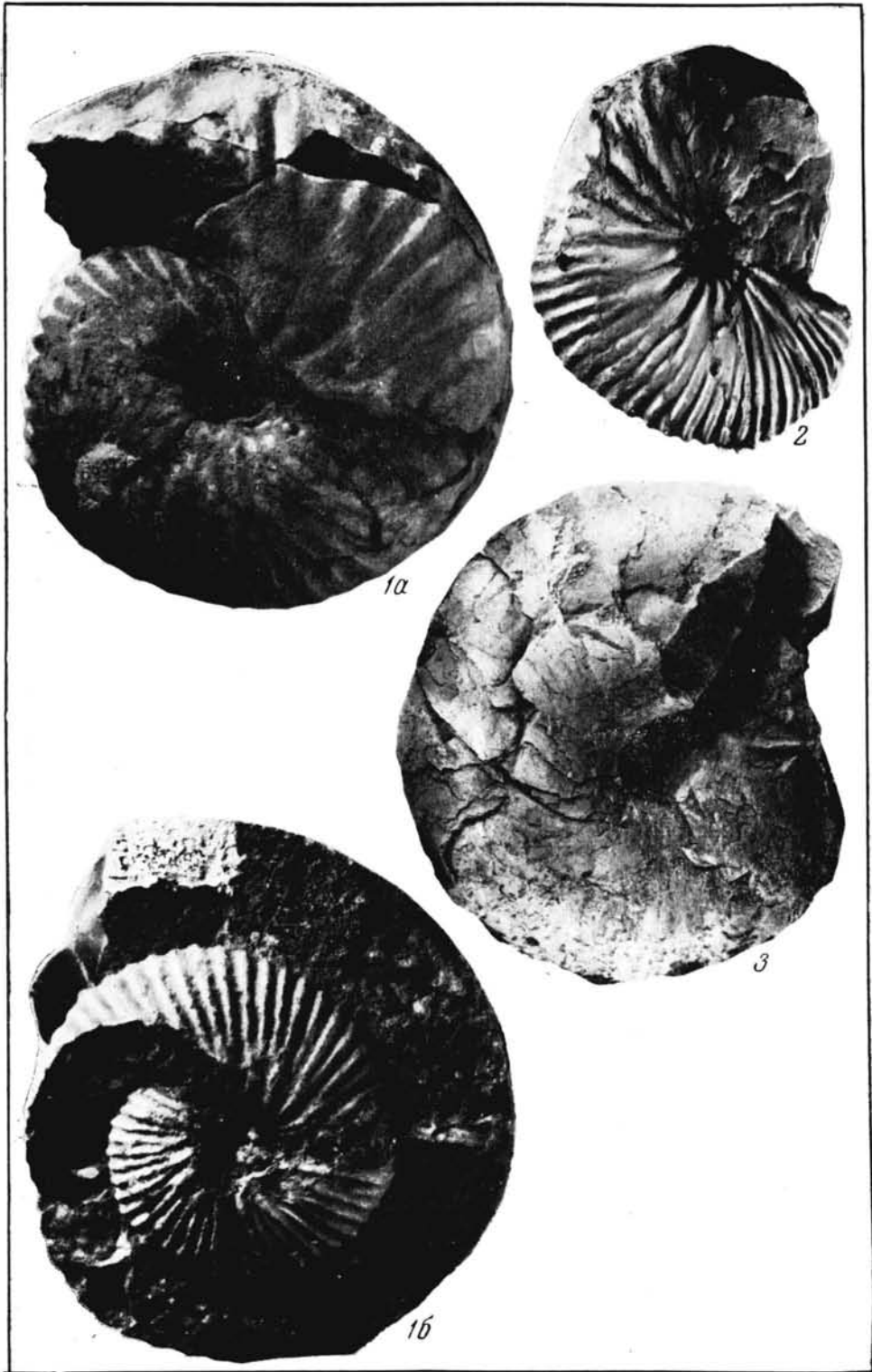
- Фиг. 1. *Cranocerphalites potreckji* (Madsen).  
1а — вид сбоку; 1б — вид с наружной стороны. Полуостров Урюнг-Тумус, обр. 3е. Средняя юра (нижний бат).
- Фиг. 2. *Cadoceras falsum* sp. nov. Вид со стороны устья. Анабарский залив, обр. 11а<sub>22</sub> (см. табл. XI, фиг. 1а, б; табл. XVIII, фиг. 1а, б; табл. XIX, фиг. 1 и 2а, б). Верхняя юра (нижний келловей).



### ТАБЛИЦА VIII

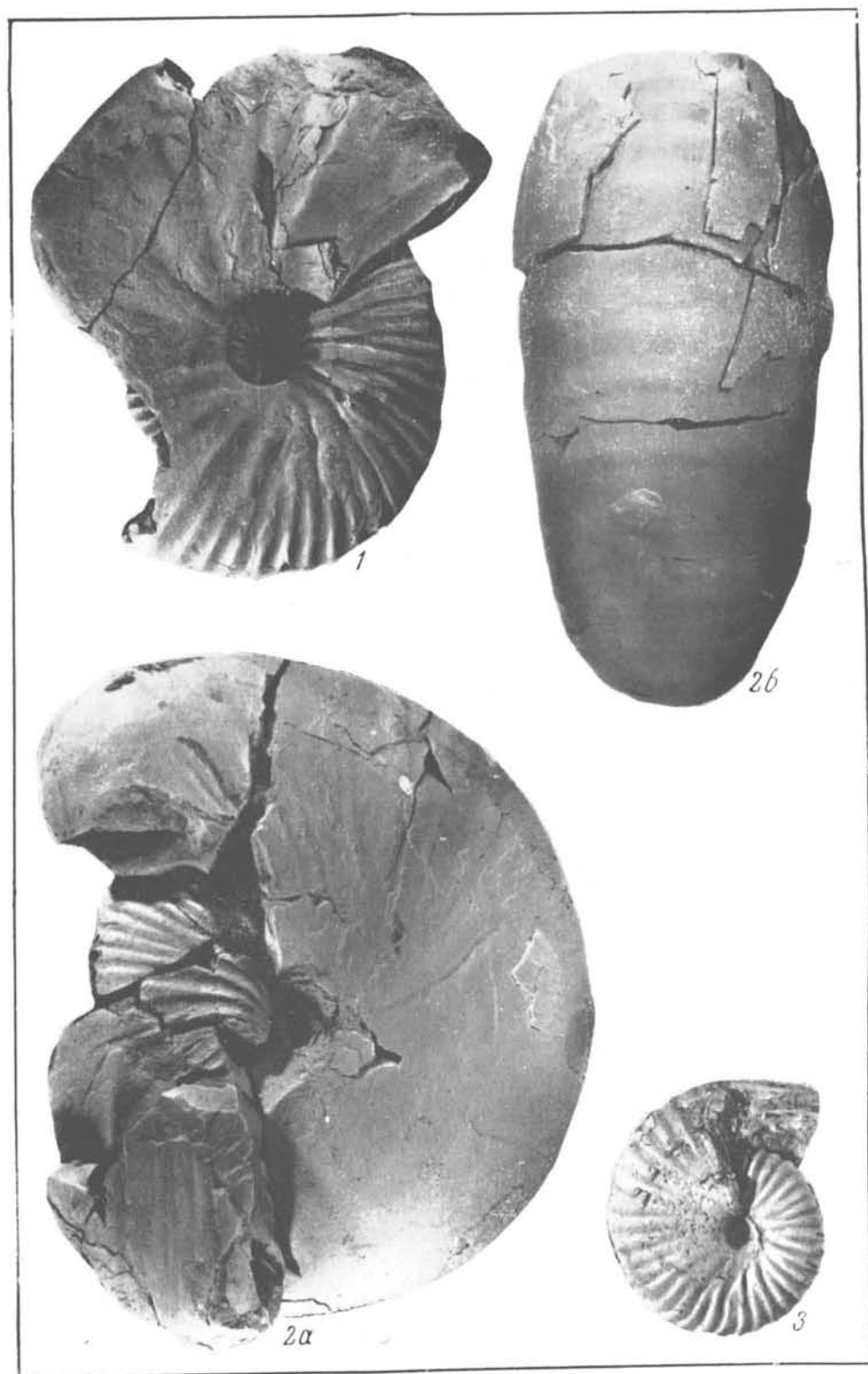
- Фиг. 1. *Cranoccephalites vulgaris* S p a t h. 1a — вид сбоку; 1б — внутренний оборот, вид сбоку. Река Лена, Жиганский район, обр. 5062д (см. табл. IV, фиг. 1а, б, в; табл. V, фиг. 1а, б; табл. X, фиг. 1а, б; табл. XXII, фиг. 2а, б. Средняя юра (нижний бат).
- Фиг. 2. *Cranoccephalites defonticeroides* sp. nov. Вид сбоку. Полуостров Урюнг-Тумус, обр. 5д. Средняя юра (нижний бат).
- Фиг. 3. *Arctoccephalites nudus* S p a t h. Вид сбоку. Полуостров Урюнг-Тумус, обр. 2г. Средняя юра (верхний бат).





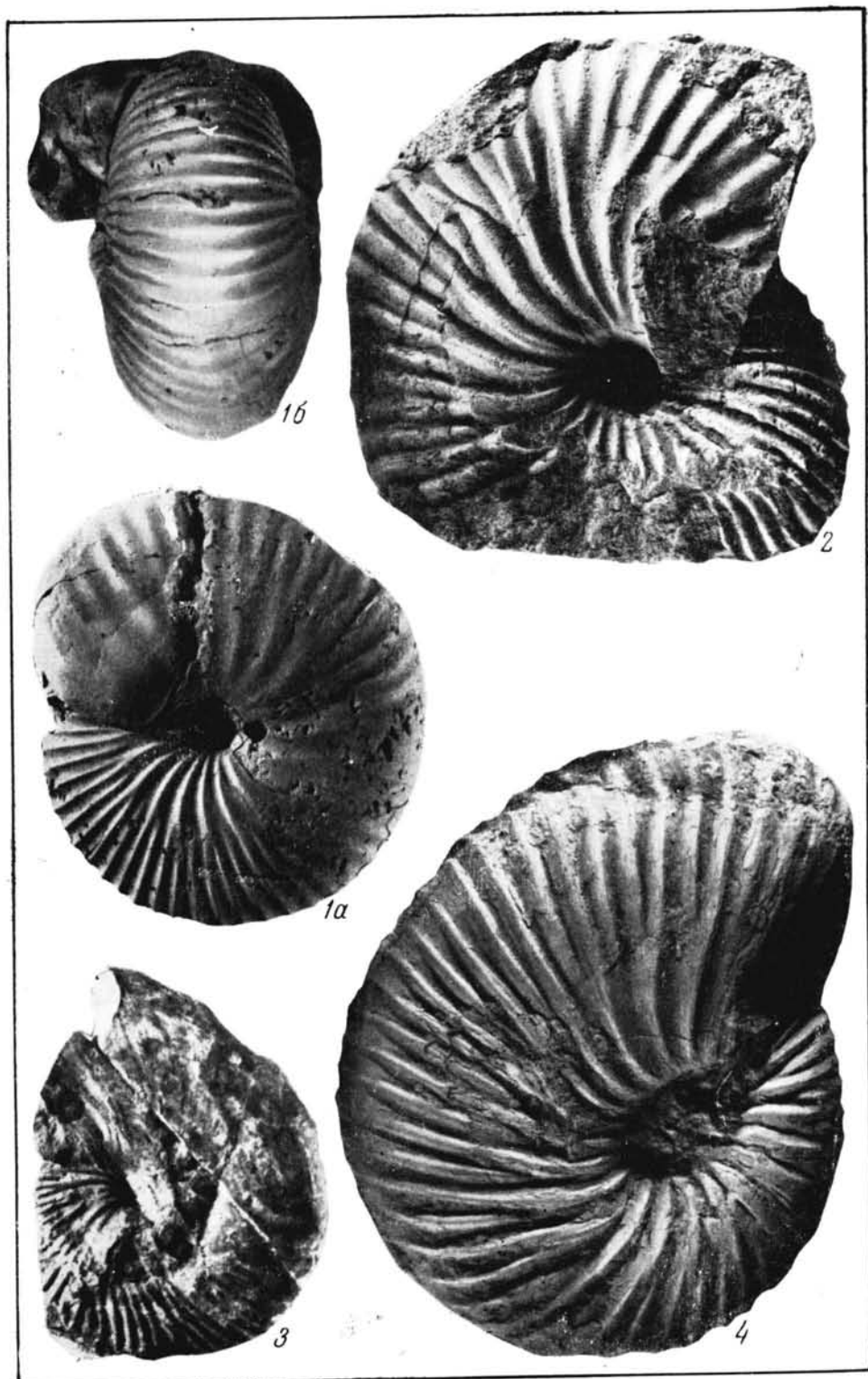
#### ТАБЛИЦА IX

- Фиг. 1. *Cranocephalites furcatus* Spath. Вид сбоку. Полуостров Урюнг-Тумус, обр. 4б. Средняя юра (нижний бат).
- Фиг. 2. *Arctocephalites kigilakhensis* sp. nov. 2а — вид сбоку; 2б — вид с наружной стороны. Река Лена, район р. Кигилях, обр. 593г. Средняя юра [верхний(?) бат].
- Фиг. 3. *Xenocephalites kononovaе* sp. nov. Вид сбоку. Мыс Кыстатым, обр. 5114а. Средняя юра [бат(?)] и верхняя юра [келловей(?)].



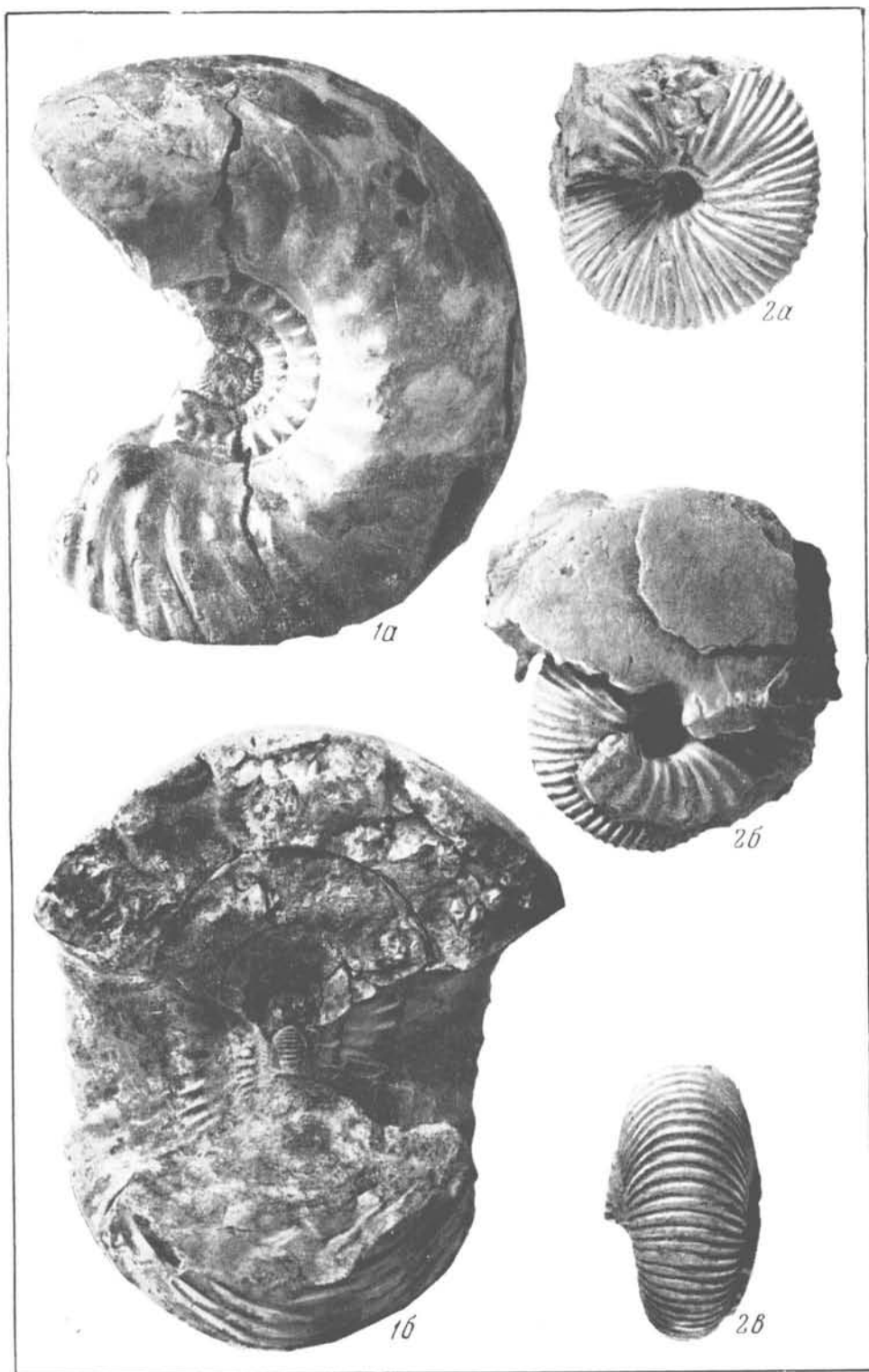
#### ТАБЛИЦА X

- Фиг. 1. *Cranoccephalites vulgaris* Spath. 1a — вид сбоку; 1б — вид с наружной стороны. Полуостров Урюнг-Тумус, обр. 5г (см. табл. IV, фиг. 1а, б, в; табл. V, фиг. 1а, б; табл. VIII, фиг. 1а, б; табл. XXII, фиг. 2а, б). Средняя юра (нижний бат).
- Фиг. 2. *Arcticoceras ishmae* Keyserling. Вид сбоку. Река Хатыстах, обр. 63/9а. Верхняя юра (нижний келловей).
- Фиг. 3. *Arctocephalites* sp. indet. (aff. *elegans* Spath). Вид сбоку. Река Эбетем, обр. 8. Средняя юра (верхний бат).
- Фиг. 4. *Arcticoceras excentricum* sp. nov. Вид сбоку. Полуостров Урюнг-Тумус, обр. 2г (см. табл. XIV). Верхняя юра (нижний келловей).



#### ТАБЛИЦА XI

- Фиг. 1. *Cadoceras falsum* sp. nov. 1a — вид сбоку; 1б — поперечный разрез раковины. Анабарская губа, обр. 11a<sub>12</sub> (см. табл. VII, фиг. 2; табл. XVIII, фиг. 1а, б; табл. XIX, фиг. 2а, б). Верхняя юра (нижний келловей).
- Фиг. 2. *Arctocephalites* aff. *ellipticus* Spath. 2a — вид сбоку; 2б — внутренний оборот, вид сбоку; 2в — вид с наружной стороны. Анабарская губа, обр. 22г (см. табл. XXII, фиг. 4). Средняя юра (верхний бат).



## ТАБЛИЦА XII

- Фиг. 1. *Cadoceras* cf. *elatmae* (Nikitin). Внутренний оборот. 1а — вид сбоку; 1б — вид со стороны устья. Анабарская губа, обр. 11а<sub>12</sub>. Верхняя юра (нижний келловей).
- Фиг. 2. *Cadoceras* cf. *elatmae* (Nikitin). 2а — вид сбоку; 2б — вид с наружной стороны. Анабарская губа, обр. 11а<sub>12</sub> (см. табл. XXVI, фиг. 1а, б). Верхняя юра (нижний келловей).
- Фиг. 3. *Cranoccephalites pompeckji* var. *sublaevis* var. nov. Вид сбоку. Полуостров Урюнг-Тумус, обр. 5и. Средняя юра (нижний бат).





1a



1b



2a



2b



3

### ТАБЛИЦА XIII

- Фиг. 1. *Cadoceras milaschevici* var. *pura* var. nov.  
Вид сбоку. Новая Земля, обр. 259/405 из  
валуна (см. табл. XVI, фиг. 1). Верхняя  
юра (средний келловей).
- Фиг. 2. *Cranocephalites(?) nordvikensis* sp. nov.  
*2a* — вид сбоку внутреннего оборота;  
*2б* — поперечный разрез внутреннего обо-  
рота ( $\times 2$ ). Полуостров Урюнг-Тумус,  
обр. 2г (см. табл. IV, фиг. 3а, б; табл. VI,  
фиг. 1а, б). Средняя юра (нижний бат).
- Фиг. 3. *Cranocephalites(?) nordvikensis* sp. nov.  
*3a* — вид внутреннего оборота сбоку ( $\times 4$ );  
*3б* — поперечный разрез внутреннего обо-  
рота ( $\times 4$ ). Полуостров Урюнг-Тумус,  
обр. 2г. Средняя юра (нижний бат).

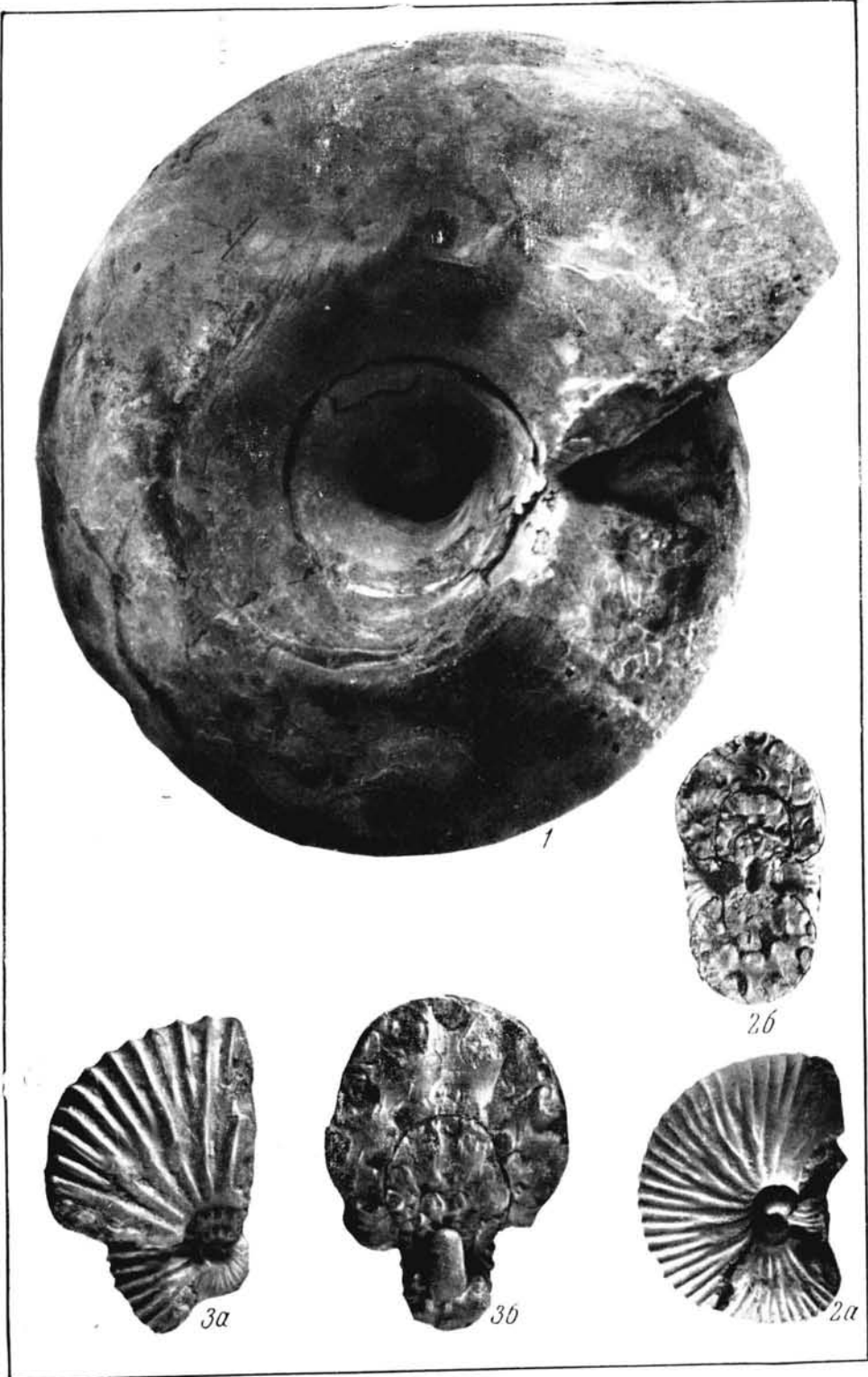


ТАБЛИЦА XIV

*Arcticoceras excentricum* sp. nov. Вид  
сбоку. Река Хатыстах, обр. 63/3а (см.  
табл. X, фиг. 4). Верхняя юра (нижний  
келловей).



ТАБЛИЦА XV

- Фиг. 1. *Cadoceras(?) perrarum* sp. nov. 1a — вид сбоку; 1б — вид с наружной стороны. Река Лена, Чекуровка, обр. 1057. Верхняя юра (нижний келловей).
- Фиг. 2. *Morrisiceras sibiricum* V o g o n e t z. 2a — вид с правой стороны; 2б — вид с левой стороны; 2в — вид со стороны устья. Полуостров Урюнг-Тумус, обр. 5г. Средняя юра (нижний бат).
- Фиг. 3. *Morrisiceras lapinskajae* V o g o n e t z. 3a — вид сбоку; 3б — вид с наружной стороны. Полуостров Урюнг-Тумус, обр. 5б. Средняя юра (нижний бат).

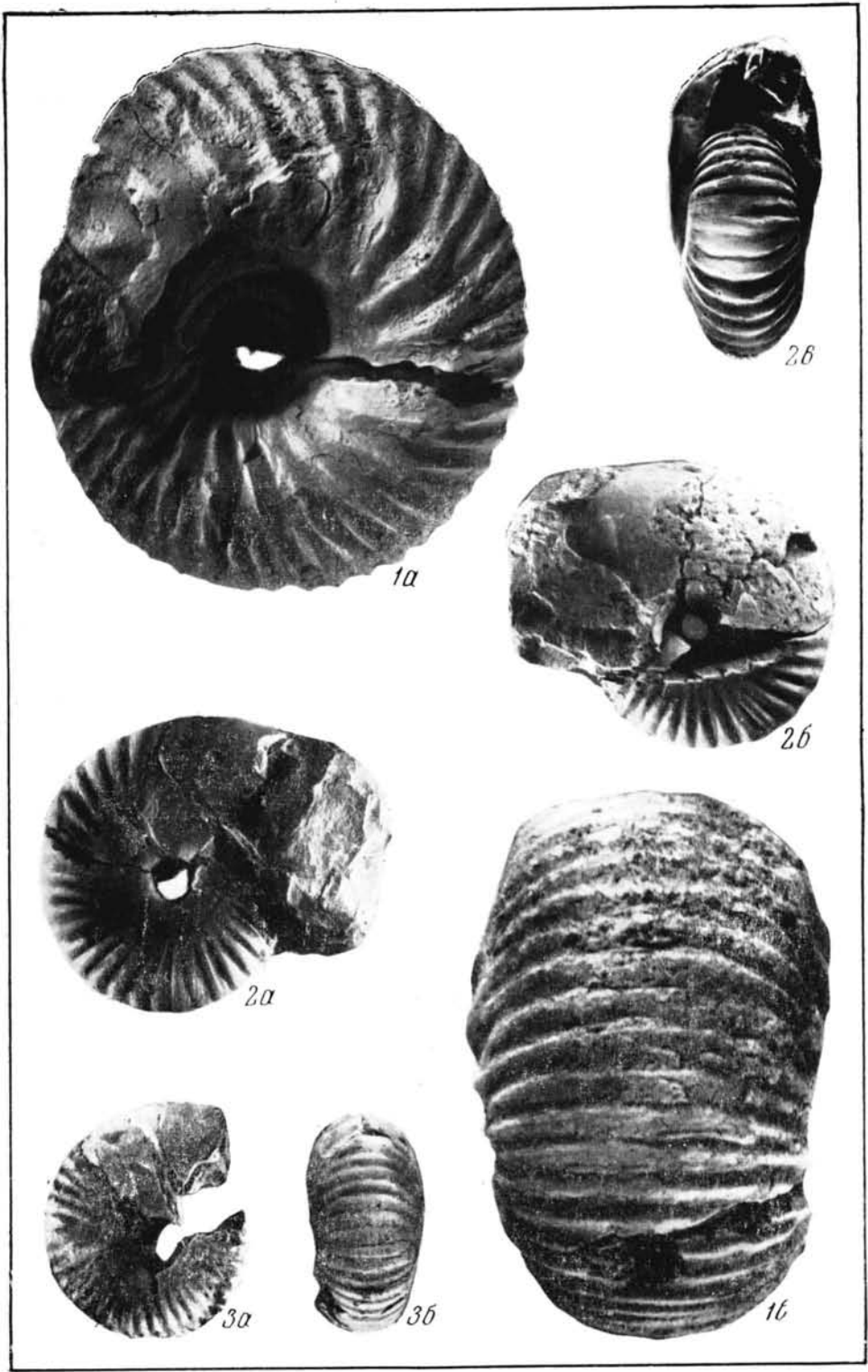


ТАБЛИЦА XVI

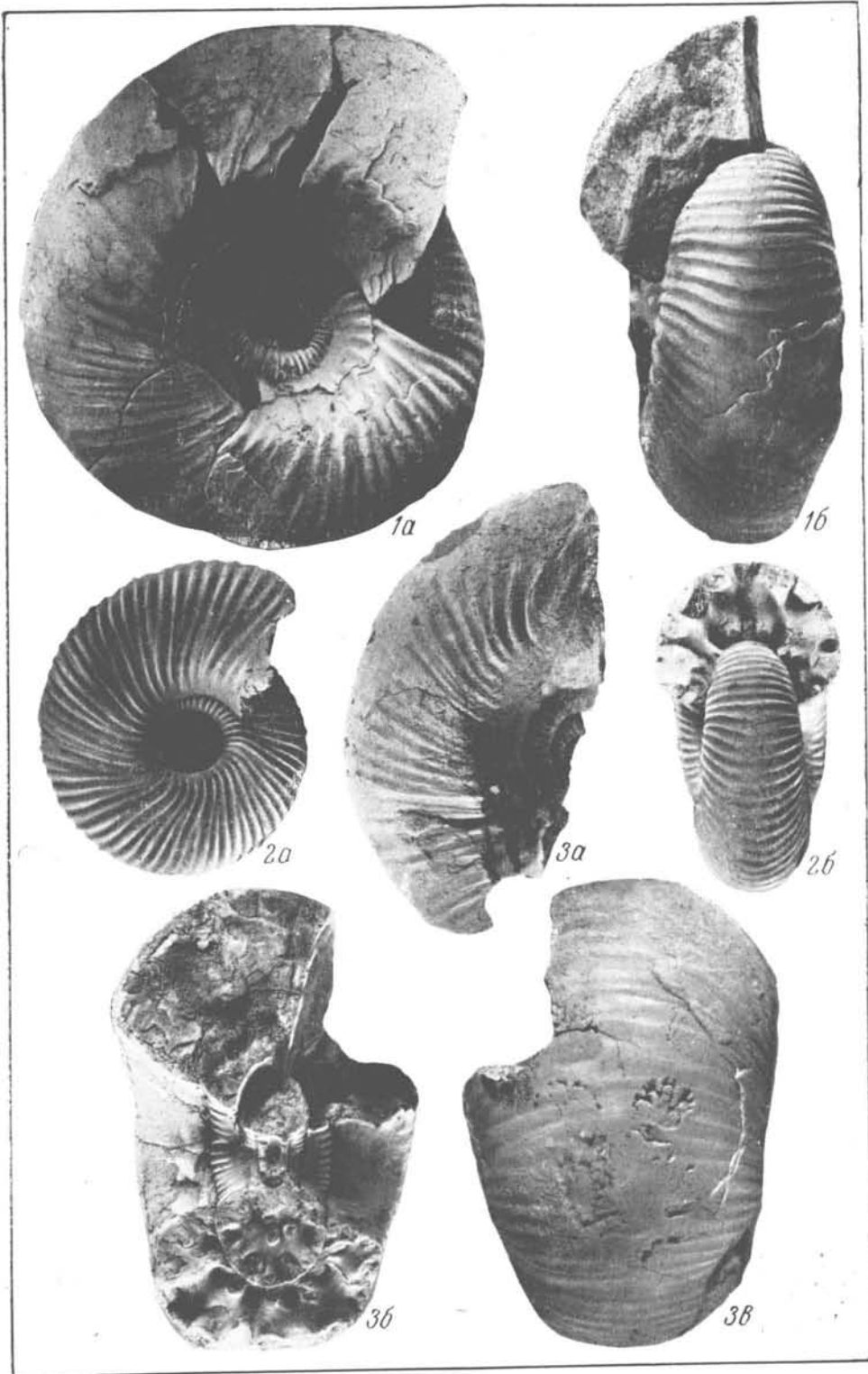
- Фиг. 1. *Cadoceras milaschevići* var. *pura* var. nov. Вид со стороны устья. Новая Земля, обр. 259/405 из валуна (см. табл. XIII, фиг. 1). Верхняя юра (средний келловей).
- Фиг. 2. *Cardioceras excavatum* var. *arctica* Pavlow. 2a — вид сбоку; 2б — вид с наружной стороны. Анабарская губа, обр. 12a (см. табл. XXVI, фиг. 2a, б и 3a, б; табл. XXVIII, фиг. 1a, б; 4; 5a, б; табл. XXIX, фиг. 5a, б). Верхняя юра (нижний оксфорд).





#### ТАБЛИЦА XVII

- Фиг. 1. *Cadoceras subtenuicostatum* sp. nov. 1a — вид сбоку; 1б — вид со стороны устья. Анабарская губа, обр. 11a<sub>12</sub> (см. табл. XXV, фиг. 2а, б). Верхняя юра (нижний келловей).
- Фиг. 2. Тот же экземпляр, внутренние обороты. 2a — вид сбоку; 2б — вид со стороны устья.
- Фиг. 3. *Cadoceras subtenuicostatum* sp. nov. 3a — вид сбоку; 3б — поперечный разрез раковины; 3в — вид с наружной стороны. Анабарская губа, обр. 11a<sub>12</sub> (см. табл. XXV, фиг. 2а, б). Верхняя юра (нижний келловей).



#### ТАБЛИЦА XVIII

- Фиг. 1. *Cadoceras falsum* sp. nov. 1a — вид сбоку; 1б — вид со стороны устья. Анабарская губа, обр. 11a<sub>12</sub> (см. табл. VII, фиг. 2; табл. XI, фиг. 1а, б; табл. XIX, фиг. 1 и 2а, б). Верхняя юра (нижний келловей).
- Фиг. 2. *Cadoceras emelianzevi* sp. nov. Внутренние обороты. 2а — вид сбоку; 2б — вид со стороны устья; 2в — вид с наружной стороны. Анабарская губа, обр. 11a<sub>12</sub> (см. табл. XXI, фиг. 1а, б; табл. XXII, фиг. 1). Верхняя юра (нижний келловей).



#### ТАБЛИЦА XIX

- Фиг. 1. *Cadoceras falsum* sp. nov. Вид сбоку. Анабарская губа, обр. 11a<sub>12</sub> (см. табл. VII, фиг. 2; табл. XI, фиг. 1а, б; табл. XVIII, фиг. 1а, б). Верхняя юра (нижний келловей).
- Фиг. 2. То же. Внутренние обороты. 2а — вид сбоку; 2б — вид со стороны устья.



## ТАБЛИЦА XX

- Фиг. 1. *Cadoceras subcalyx* sp. nov. 1а — вид сбоку; 1б — вид со стороны устья. Нижнее течение р. Лены, р. Чубукулах, обр. 18б. Верхняя юра (нижний келловей).
- Фиг. 2. То же. Внутренние обороты. Вид сбоку.
- Фиг. 3. *Cadoceras variabilis* Spath. 3а — вид сбоку; 3б — поперечный разрез раковины. Нижнее течение р. Лены, р. Чубукулах, обр. 18б. Верхняя юра (нижний келловей).
- Фиг. 4. *Cadoceras subcalyx* sp. nov. Внутренние обороты. 4а — вид сбоку; 4б — поперечный разрез раковины. Нижнее течение р. Лены, р. Чубукулах, обр. 18б. Верхняя юра (нижний келловей).
- Фиг. 5. *Cadoceras densicostatum* sp. nov. Вид сбоку. Нижнее течение р. Лены, р. Чубукулах, обр. 18б. Верхняя юра (нижний келловей).



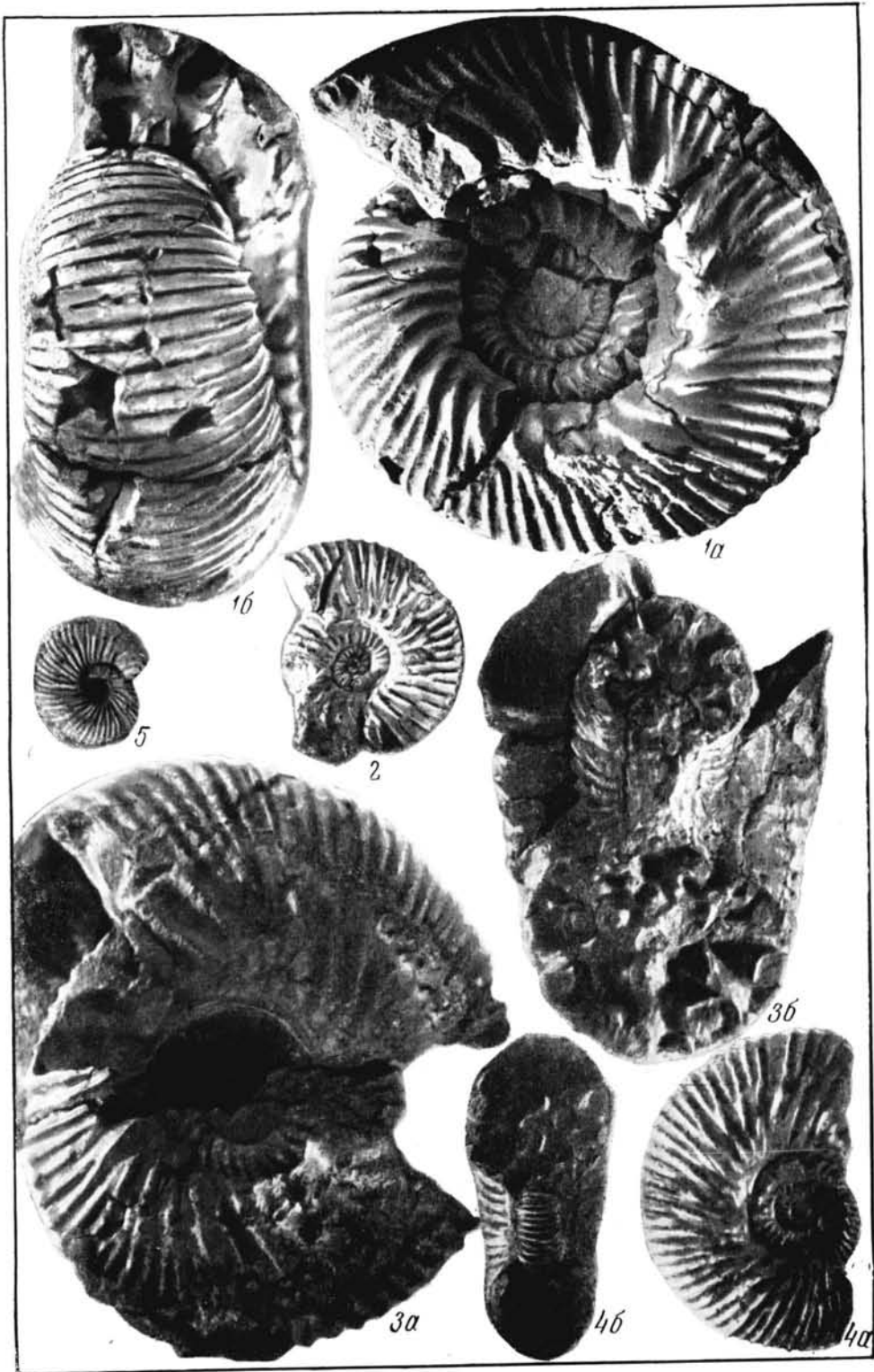
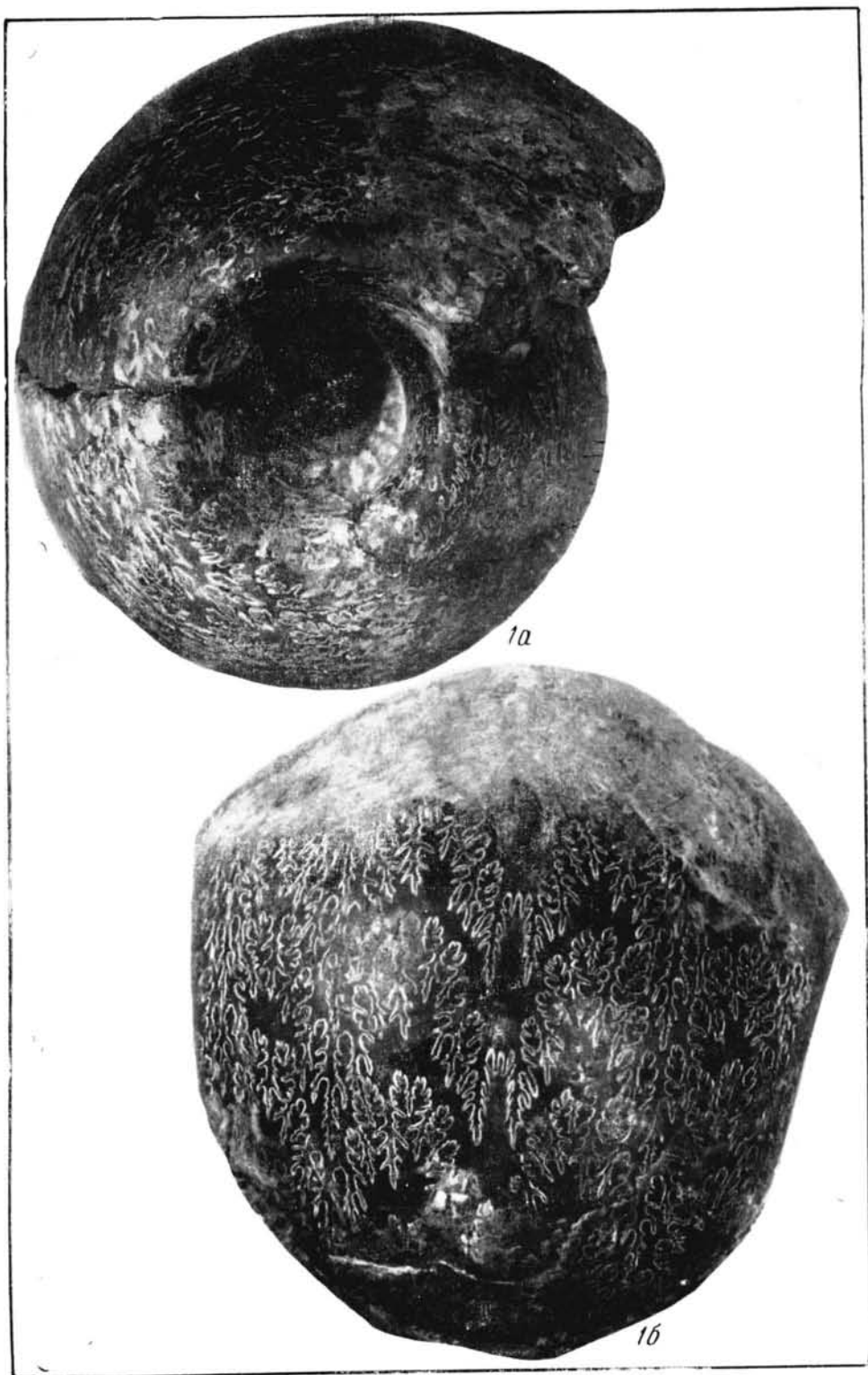


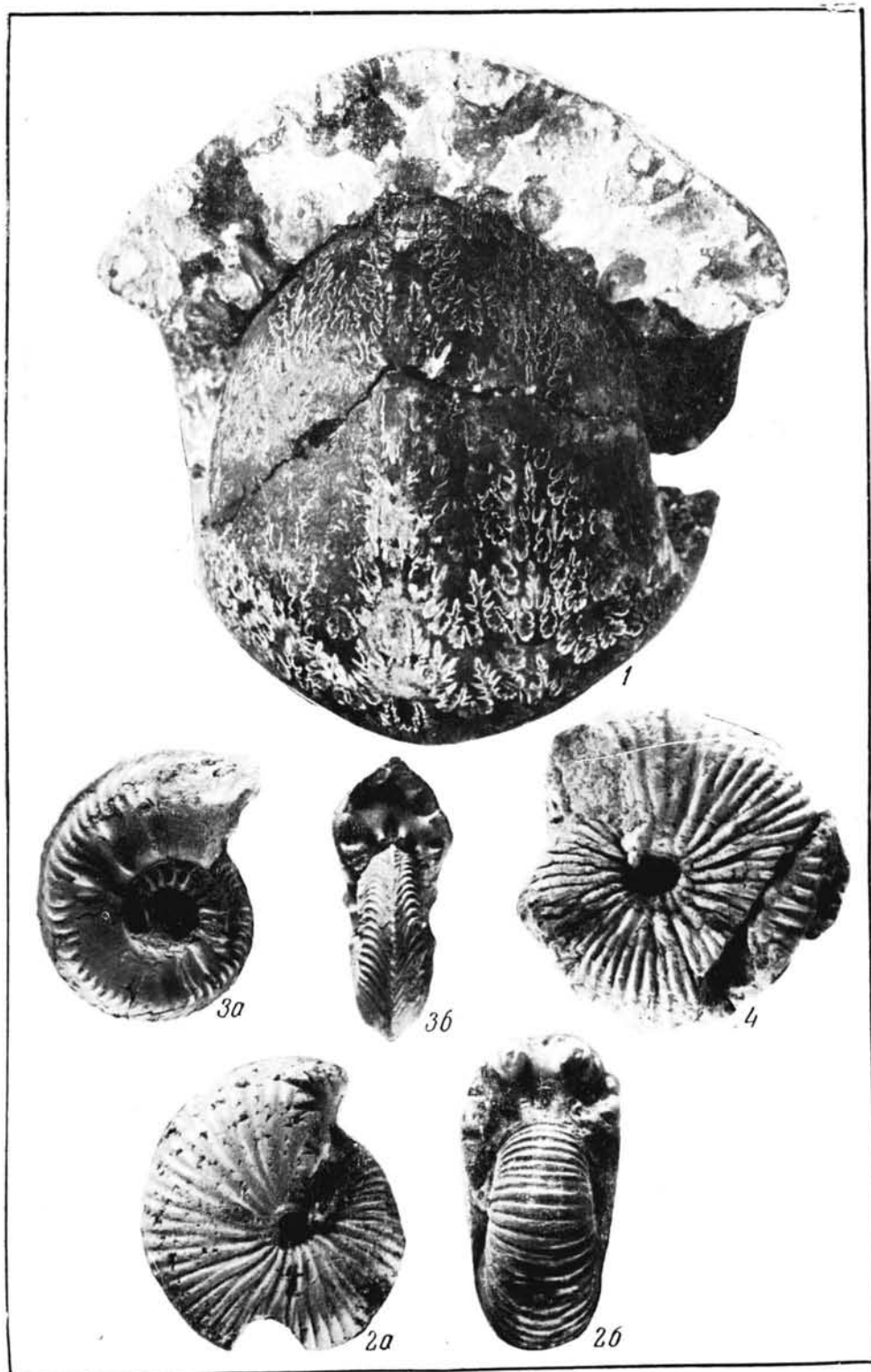
ТАБЛИЦА XXI

Фиг. 1. *Cadoceras emelianzevi* sp. nov. 1a — вид сбоку; 1б — вид с наружной стороны. Анабарский залив, обр. 11а<sub>1/2</sub> (см. табл. XVIII, фиг. 2а, б, в; табл. XXII, фиг. 1). Верхняя юра (нижний келловей).



#### ТАБЛИЦА XXII

- Фиг. 1. *Cadoceras emelianzevi* sp. nov. Вид со стороны устья. Анабарская губа, обр. 11а<sub>12</sub> (см. табл. XVIII, фиг. 2а, б, в; табл. XXI, фиг. 1а, б). Верхняя юра (нижний келловей).
- Фиг. 2. *Cranoccephalites vulgaris* Spath. 2а — вид сбоку; 2б — вид со стороны устья. Полуостров Урюнг-Тумус, обр. 5г<sub>2</sub> (см. табл. IV, фиг. 1а, б, в; табл. V, фиг. 1а, б; табл. VIII, фиг. 1а, б; табл. X, фиг. 1а, б). Средняя юра (нижний бат).
- Фиг. 3. *Cardioceras subcordatum* Pavlow. 3а — вид сбоку; 3б — вид со стороны устья. Анабарская губа, обр. 12а. Верхняя юра (нижний оксфорд).
- Фиг. 4. *Arctoccephalites* aff. *ellipticus* Spath. Вид сбоку. Полуостров Урюнг-Тумус, обр. 5г<sub>2</sub> (см. табл. XI, фиг. 2а, б, в). Средняя юра (верхний бат).



### ТАБЛИЦА XXIII

- Фиг. 1. *Cadoceras ventroplanum* sp. nov. 1a — вид сбоку; 1б — вид с наружной стороны. Нижнее течение р. Лены, мыс Чекуровка, обр. 1057. Верхняя юра (келловей).
- Фиг. 2. *Cadoceras ognevi* Bodylevsky. Вид сбоку. Нижнее течение р. Лены, р. Чубукулах, обр. 18а. Верхняя юра (нижний келловей).
- Фиг. 3. *Cranoccephalites potreckji* (Madsen). Вид сбоку. Полуостров Урюнг-Тумус, обр. 2в. Средняя юра (нижний бат).

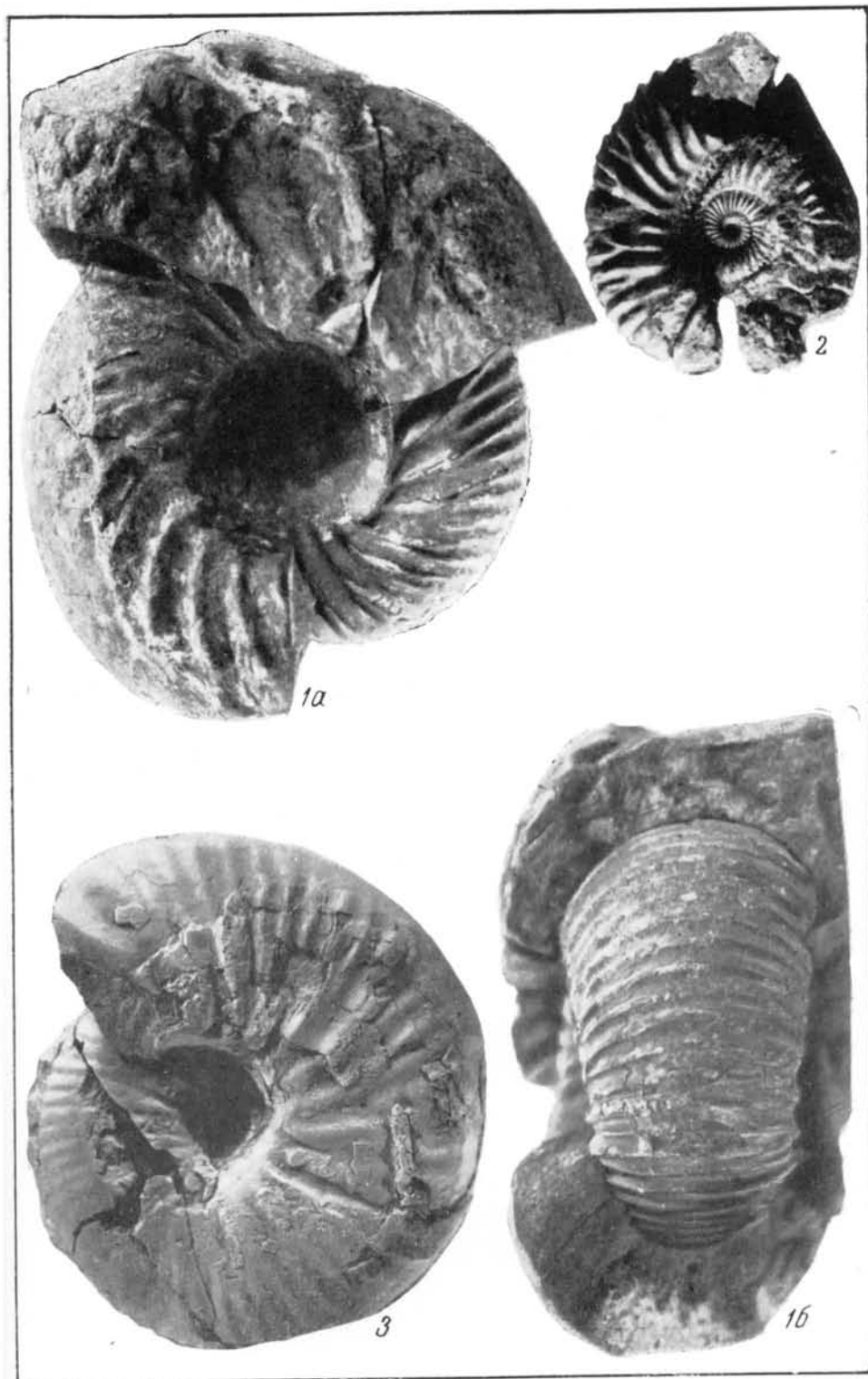
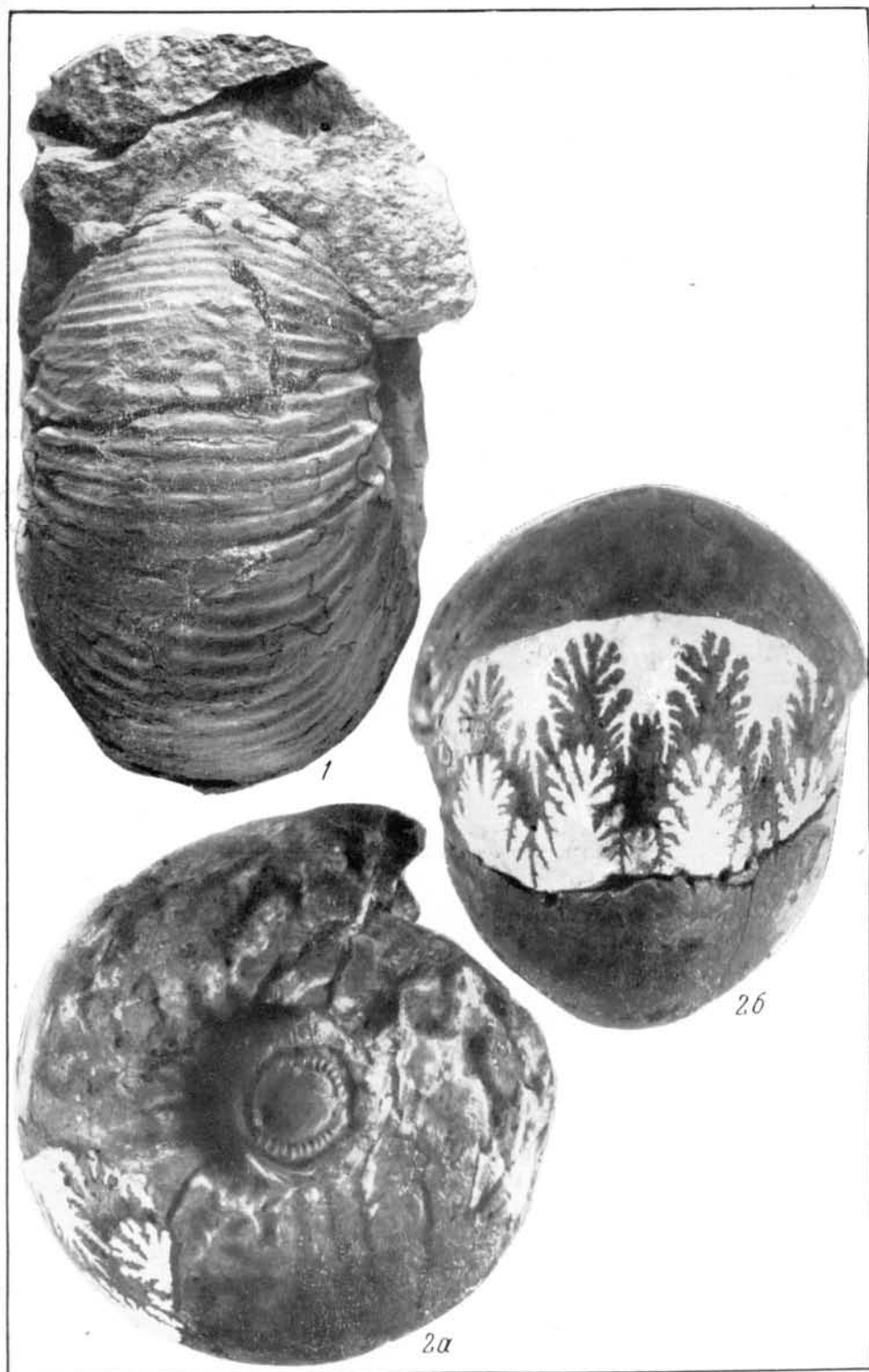


ТАБЛИЦА XXIV

- Фиг. 1. *Cadoceras subcatostoma* sp. nov. Вид со стороны устья. Нижнее течение р. Лены, мыс Чуча, обр. 1г (см. табл. XXV, фиг. 1). Верхняя юра (нижний келловей).
- Фиг. 2. *Cadoceras declinatum* sp. nov. 2a — вид сбоку, 2б — вид с наружной стороны. Оленекская протока, обр. 395 (см. табл. XXVII, фиг. 1а, б, в). Верхняя юра (средний келловей).





#### ТАБЛИЦА XXV

- Фиг. 1. *Cadoceras subcatostoma* sp. nov. Вид сбоку. Нижнее течение р. Лены, мыс Чуча, обр. 1г (см. табл. XXIV, фиг. 1). Верхняя юра (нижний келловей).
- Фиг. 2. *Cadoceras subtenuicostatum* sp. nov. 2а — вид сбоку; 2б — вид со стороны устья. Анабарская губа, обр. 11а<sub>12</sub> (см. табл. XVII, фиг. 1а, б; 2а, в; 3а, б). Верхняя юра (нижний келловей).

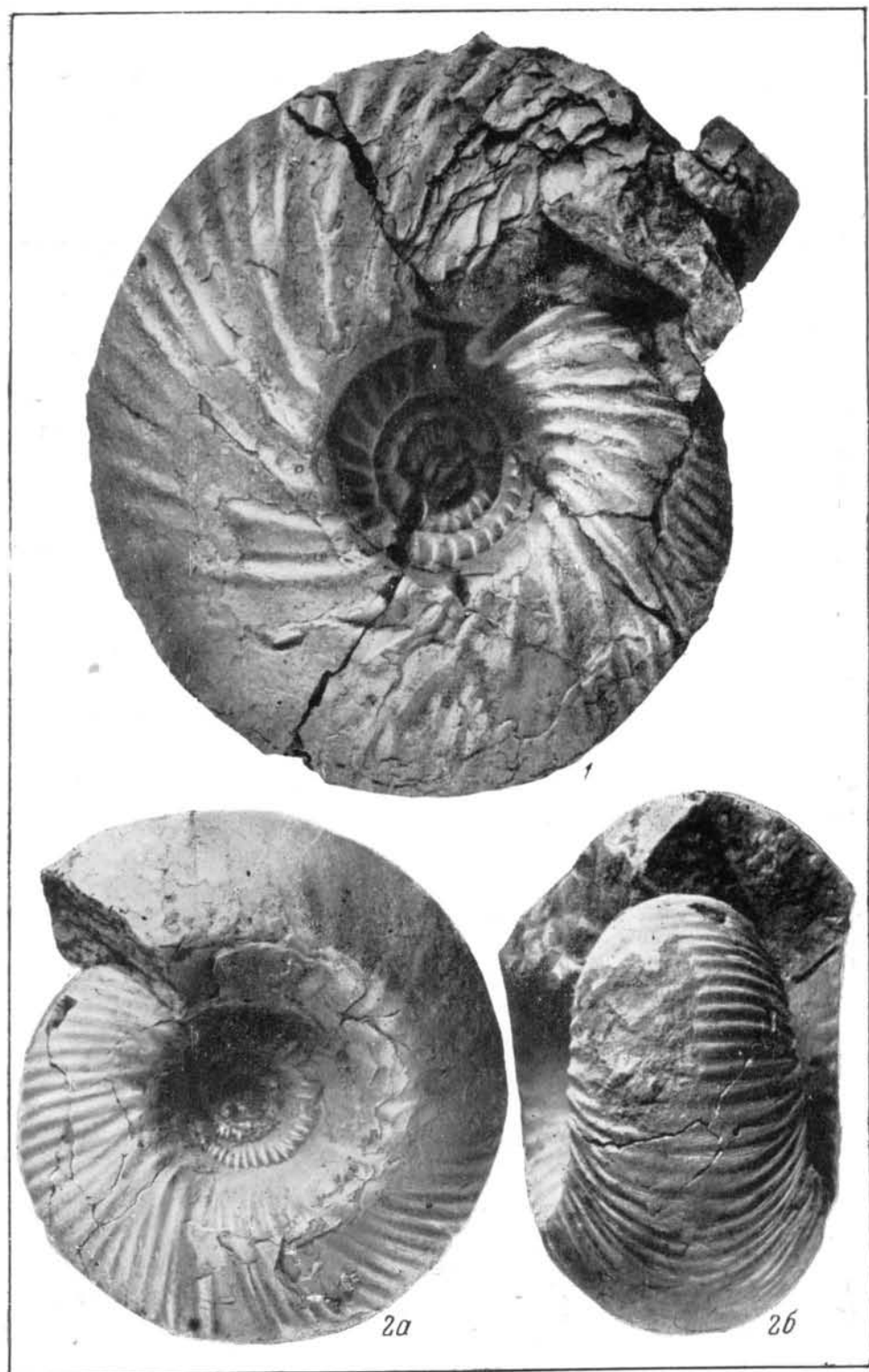


ТАБЛИЦА XXVI

- Фиг. 1. *Cadoceras* cf. *elatmae* Nikitin. 1а — вид сбоку; 1б — вид со стороны устья. Анабарская губа, обр. 11а<sub>12</sub> (см. табл. XII, фиг. 1а, б; 2а, б). Верхняя юра (нижний келловей).
- Фиг. 2. *Cardioceras excavatum* var. *arctica* Pavlov. 2а — вид сбоку; 2б — вид с наружной стороны. Анабарская губа, обр. 12а (см. табл. XVI, фиг. 2а, б; табл. XXVIII, фиг. 4; табл. XXIX, фиг. 5а, б). Верхняя юра (нижний оксфорд).
- Фиг. 3. *Cardioceras excavatum* var. *arctica* Pavlov. 3а — вид сбоку; 3б — вид со стороны устья. Анабарская губа, обр. 638 (см. табл. XVI, фиг. 2а, б; табл. XXVIII, фиг. 1а, б; 4; 5а, б; табл. XXIX, фиг. 5а, б). Верхняя юра (нижний оксфорд).

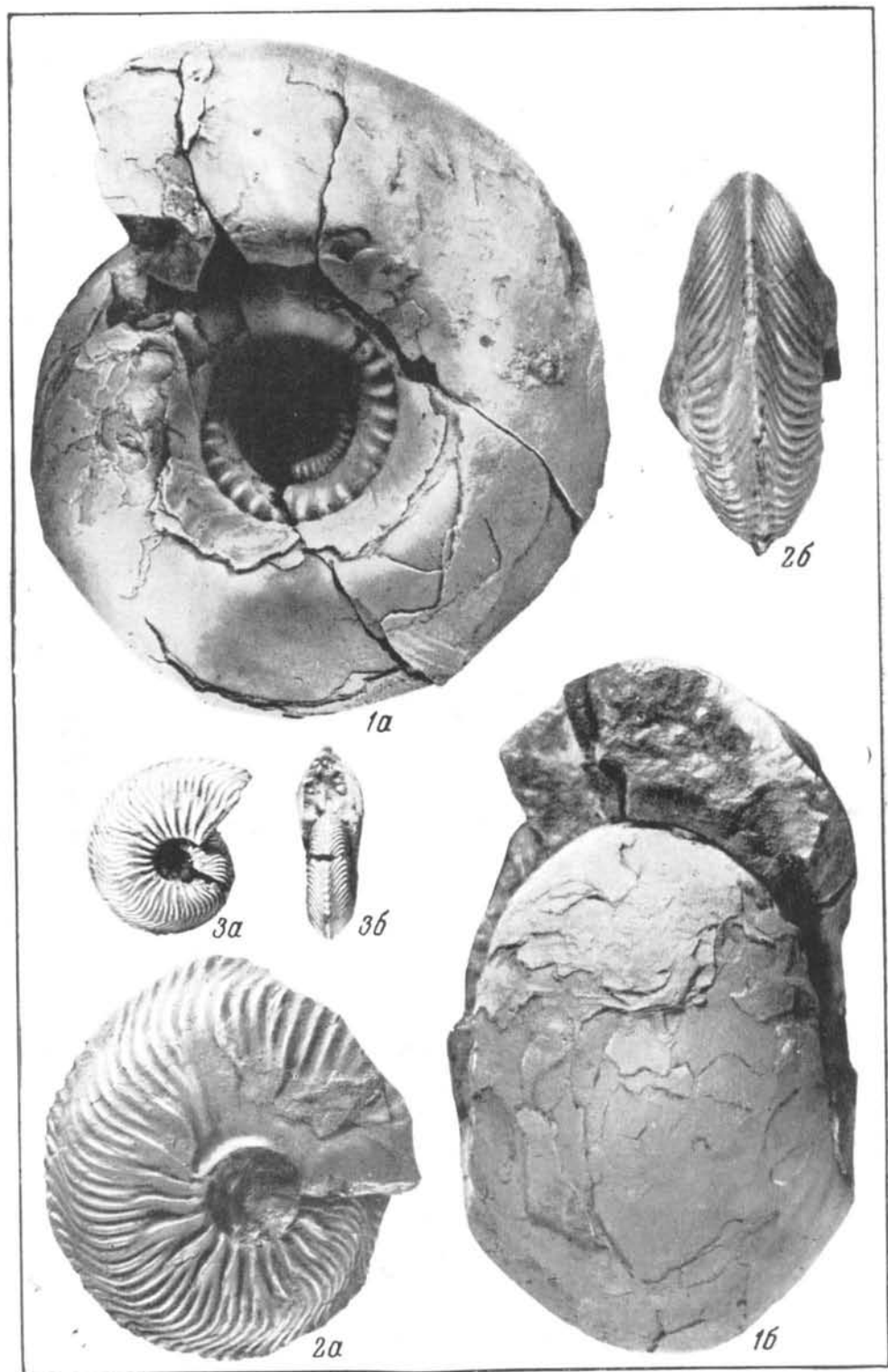


ТАБЛИЦА XXVII

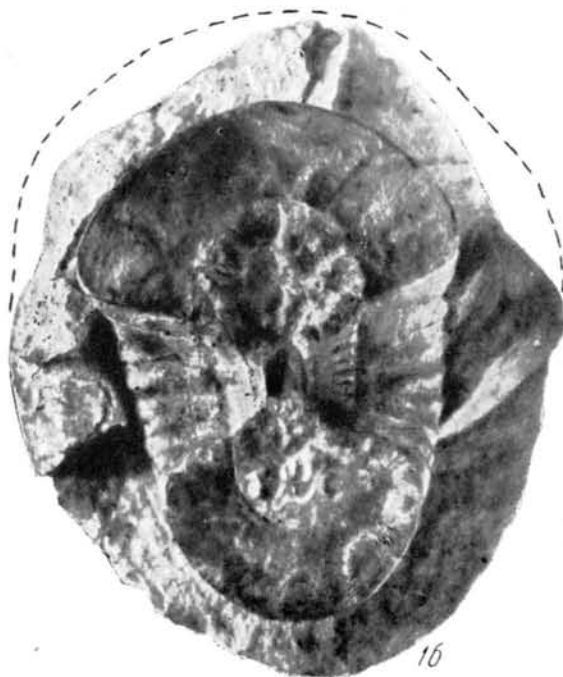
Фиг. 1. *Cadoceras declinatum* sp. nov. 1a — вид сбоку; 1б — поперечный разрез раковины; 1в — вид со стороны устья. Оленекская протока, обр. 222/327е (см. табл. XXIV, фиг. 2а, б). Верхняя юра (средний келловей).



1a



1b



1b

ТАБЛИЦА XXVIII

- Фиг. 1. *Cardioceras excavatum* var. *arctica* Pavlow. 1a — вид сбоку; 1б — вид со стороны устья. Анабарская губа, обр. 12a (см. табл. XVI, фиг. 2a, б; табл. XXVI, фиг. 2a, б; 3a, б; табл. XXIX, фиг. 5a, б). Верхняя юра (нижний оксфорд).
- Фиг. 2. *Cardioceras excavatum* var. *scoticum* Buisson. 2a — вид сбоку; 2б — вид со стороны устья. Анабарская губа, обр. 12a. Верхняя юра (нижний оксфорд).
- Фиг. 3. *Cardioceras popilaniense* Boden. 3a — вид сбоку; 3б — вид с наружной стороны. Анабарская губа, обр. 12a. Верхняя юра (нижний оксфорд).
- Фиг. 4. *Cardioceras excavatum* var. *arctica* Pavlow. Вид сбоку. Анабарская губа, обр. 12a (см. табл. XVI, фиг. 2a, б; табл. XXVI, фиг. 2a, б; 3a, б; табл. XXIX, фиг. 5a, б). Верхняя юра (нижний оксфорд).
- Фиг. 5. *Cardioceras excavatum* var. *arctica* Pavlow. 5a — вид сбоку; 5б — вид со стороны устья. Анабарская губа, обр. 12a (см. табл. XVI, фиг. 2a, б; табл. XXVI, фиг. 2a, б; 3a, б; табл. XXIX, фиг. 5a, б). Верхняя юра (нижний оксфорд).



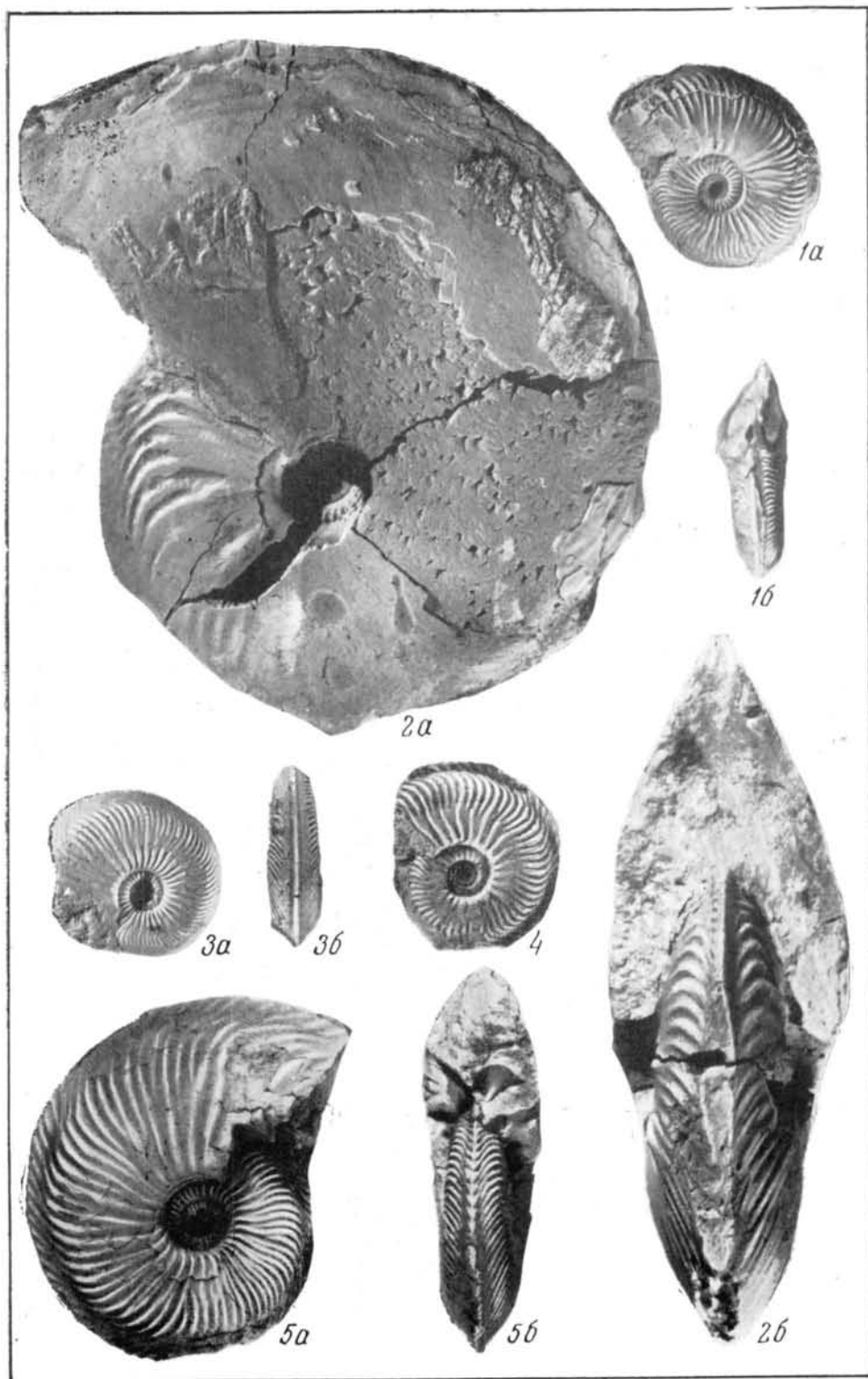


ТАБЛИЦА XXIX

- Фиг. 1. *Amoeboceras* (*Amoebites*) ex gr. *kitchini* Salfeld. Вид части раковины сбоку. Анабарская губа, обр. 26б<sub>10</sub>. Верхняя юра (нижний кимеридж).
- Фиг. 2. *Cardioceras delicatum* В u s k m a n. 2a — вид сбоку; 2б — вид со стороны устья. Анабарская губа, обр. 638. Верхняя юра (нижний оксфорд).
- Фиг. 3. *Amoeboceras* (*Euprionicer*?) cf. *aldingeri* S p r a t h. Вид сбоку. Анабарская губа, обр. 26б<sub>8</sub>. Верхняя юра (нижний кимеридж).
- Фиг. 4. *Cardioceras excavatum* var. *mutabilis* var. nov. 4a — вид сбоку; 4б — вид с наружной стороны. Анабарская губа, обр. 12a<sub>4</sub>. Верхняя юра (нижний оксфорд).
- Фиг. 5. *Cardioceras excavatum* var. *arctica* P a v l o w. 5a — вид сбоку; 5б — вид со стороны устья. Анабарская губа, обр. 638 (см. табл. XVI, фиг. 2а, б; табл. XXVI, фиг. 2а, б; табл. XXVIII, фиг. 4). Верхняя юра (нижний оксфорд).
- Фиг. 6. *Amoeboceras* (*Amoebites*) ex gr. *kitchini* Salfeld. Вид сбоку. Анабарская губа, обр. 26б<sub>5</sub>. Верхняя юра (нижний кимеридж).

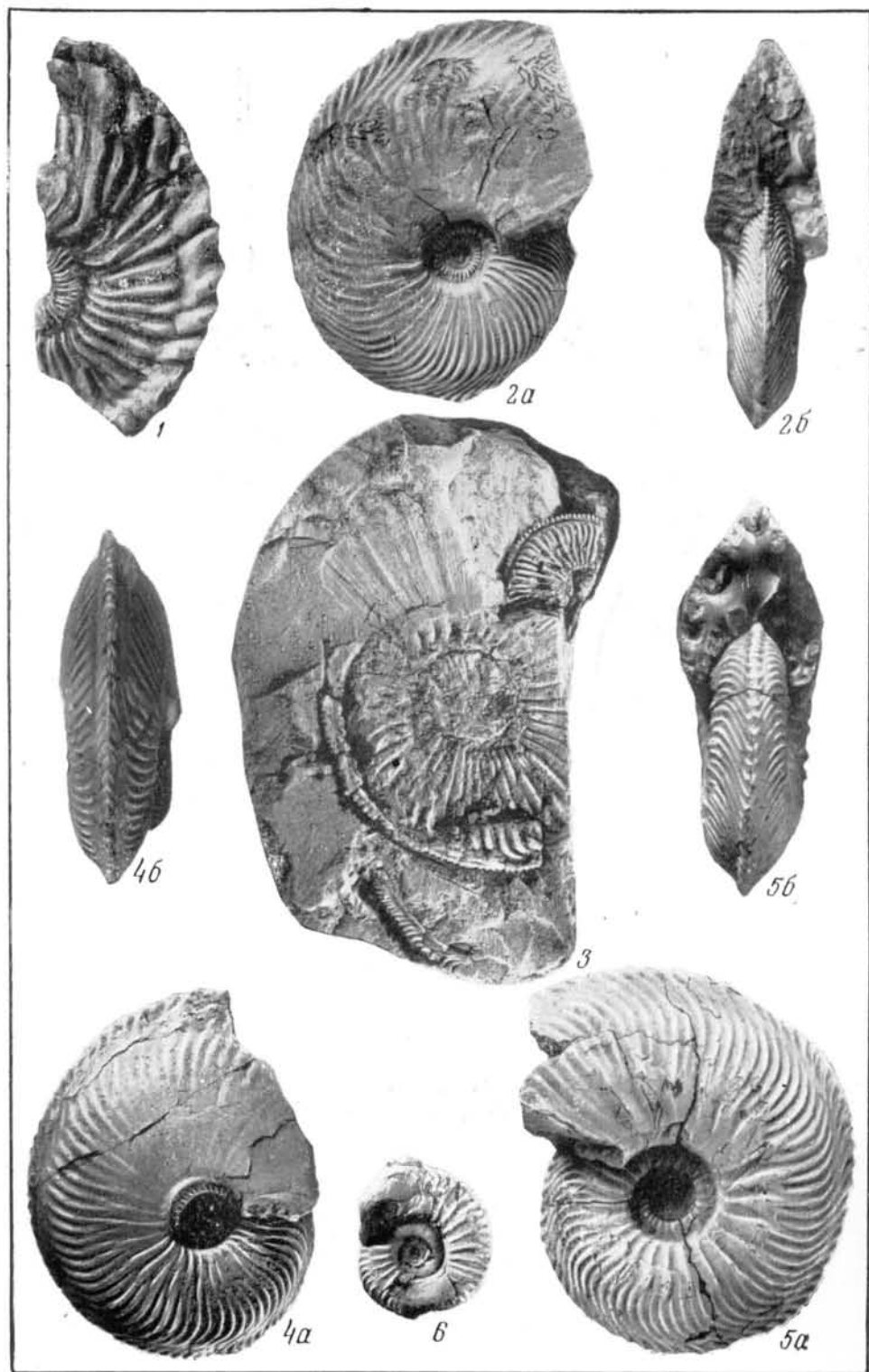


ТАБЛИЦА XXX

- Фиг. 1. *Cardioceras pavlovi* sp. nov. 1a — вид с правой стороны; 1б — вид с левой стороны. Анабарская губа, обр. 12а. Верхняя юра (нижний оксфорд).
- Фиг. 2. То же. Молодой экземпляр. 2a — вид сбоку; 2б — поперечное сечение.
- Фиг. 3. То же. Молодой экземпляр. 3a — вид сбоку; 3б — вид с наружной стороны.
- Фиг. 4. *Cardioceras* cf. *vertebrale* (Sowerby). 4a — вид сбоку; 4б — вид с наружной стороны. Анабарская губа, обр. 12а<sub>14</sub>. Верхняя юра (нижний оксфорд).
- Фиг. 5. *Cardioceras pavlovi* sp. nov. 5a — вид сбоку; 5б — вид со стороны устья. Анабарская губа, обр. 12а. Верхняя юра (нижний оксфорд).
- Фиг. 6. *Amoeboceras alternans* (Busch). Вид неполной раковины сбоку. Полуостров Пахса, обр. 16б<sub>11</sub>. Верхняя юра (верхний оксфорд).

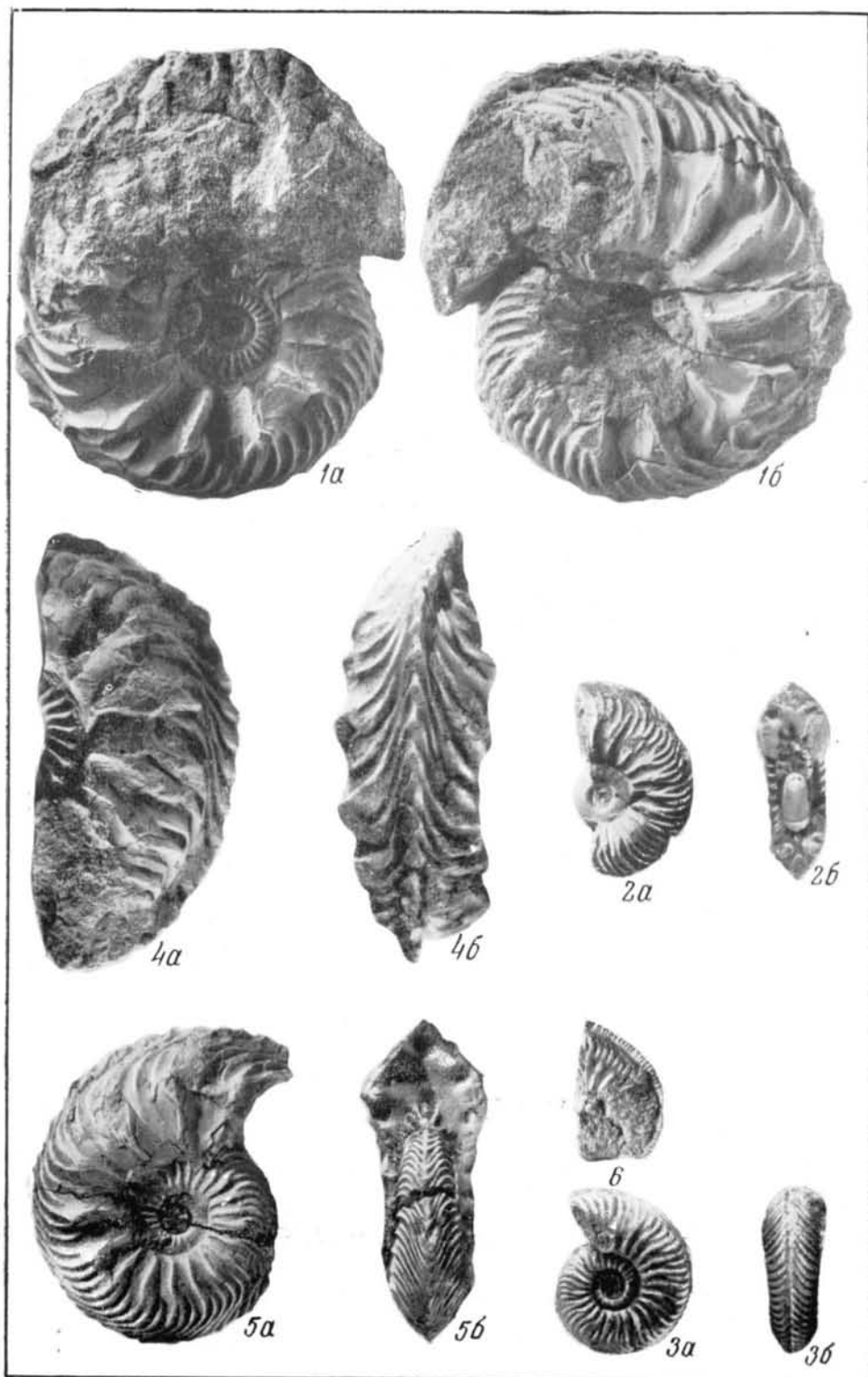


ТАБЛИЦА XXXI

- Фиг. 1. *Tollia emelianzevi* sp. nov. Вид сбоку. Полуостров Пахса, обр. 25в (см. табл. XXXII, XXXIII, фиг. 1; табл. XXXIV). Нижний мел (нижний валанжин).
- Фиг. 2. *Taimyroceras(?) bодylevskiyi* sp. nov. 2а — вид сбоку; 2б — вид с наружной стороны; 2в — поперечный разрез раковины. Полуостров Пахса, обр. 26а<sub>15</sub>. Нижний мел (нижний валанжин).

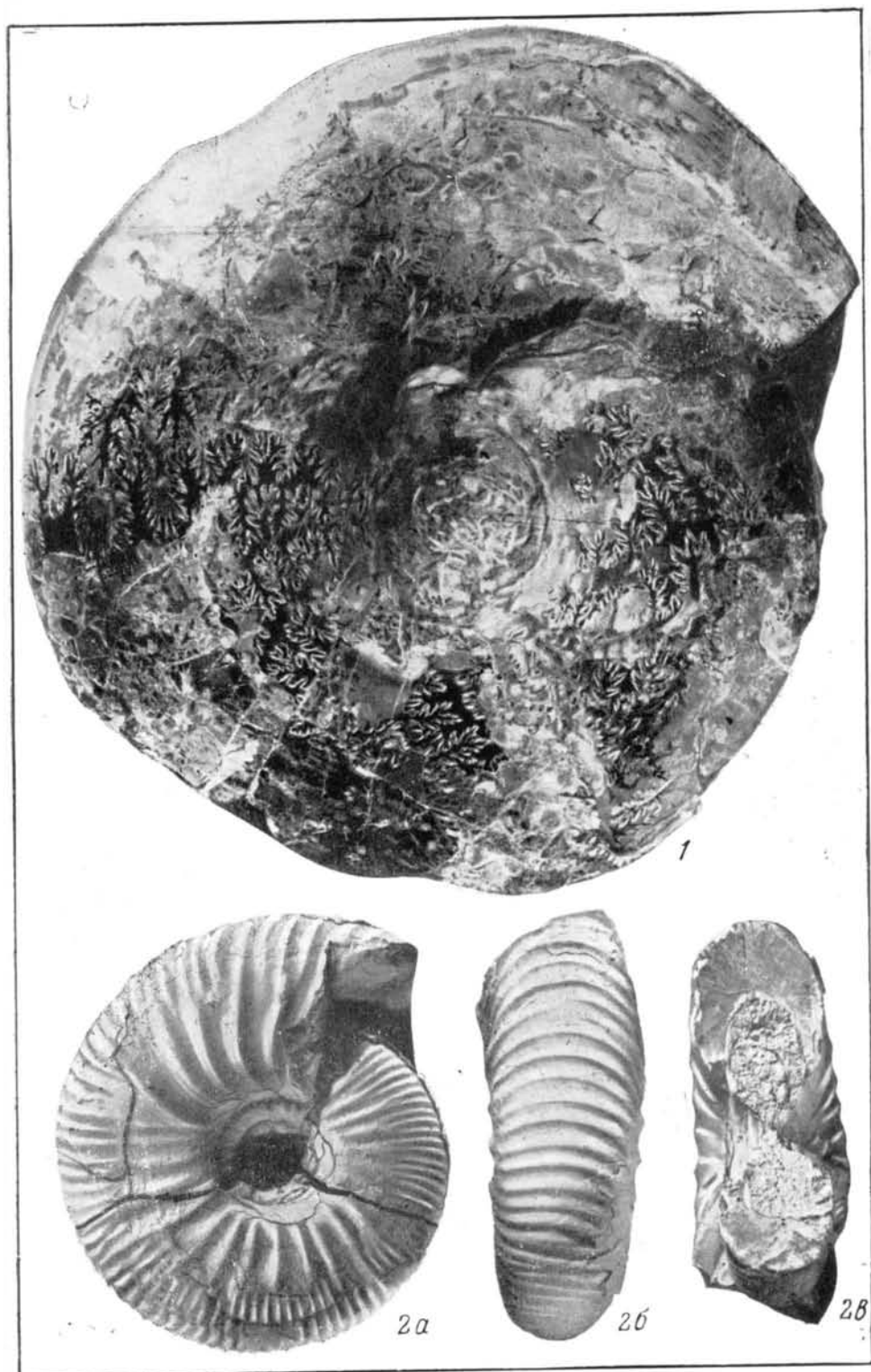
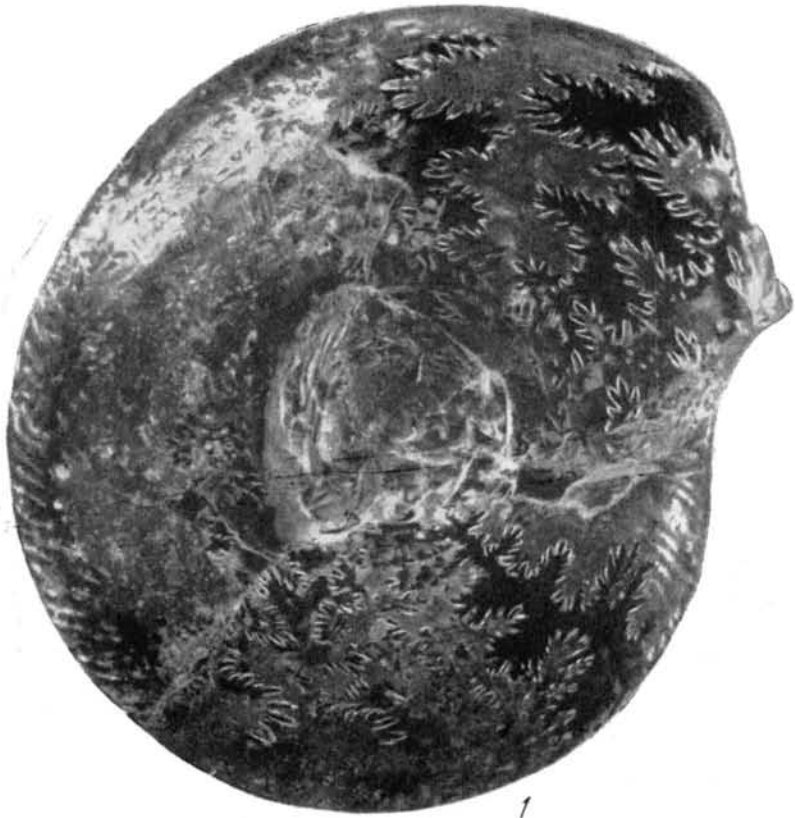


ТАБЛИЦА XXXII

- Фиг. 1. *Tollia emelianzevi* sp. nov. Вид сбоку. Полуостров Пахса, обр. 25в (см. табл. XXXI, фиг. 1; XXXIII, XXXIV). Нижний мел (нижний валанжин).
- Фиг. 2. *Tollia emelianzevi* sp. nov. Тот же экземпляр, что и на фиг. 1, но без наружного полуоборота. 2а — вид сбоку; 2б — вид с наружной стороны. Полуостров Пахса, обр. 25в. Нижний мел (нижний валанжин).





1



2a



2b

ТАБЛИЦА XXXIII

- Фиг. 1. *Tollia emelianzevi* sp. nov. Вид сбоку. Полуостров Пахса, обр. 25в (см. табл. XXXI, фиг. 1; табл. XXXII и XXXIV). Нижний мел (нижний валанжин).
- Фиг. 2. *Tollia kordikovi* Bodylevsky (ex MS). Вид сбоку. Полуостров Пахса, обр. 26а<sub>13</sub> (см. табл. XXXV, фиг. 1). Нижний мел (нижний валанжин).
- Фиг. 3. *Polyptychites subovatus* sp. nov. Вид внутреннего оборота сбоку. Полуостров Пахса, обр. 29а<sub>3</sub>. Нижний мел (средний валанжин).

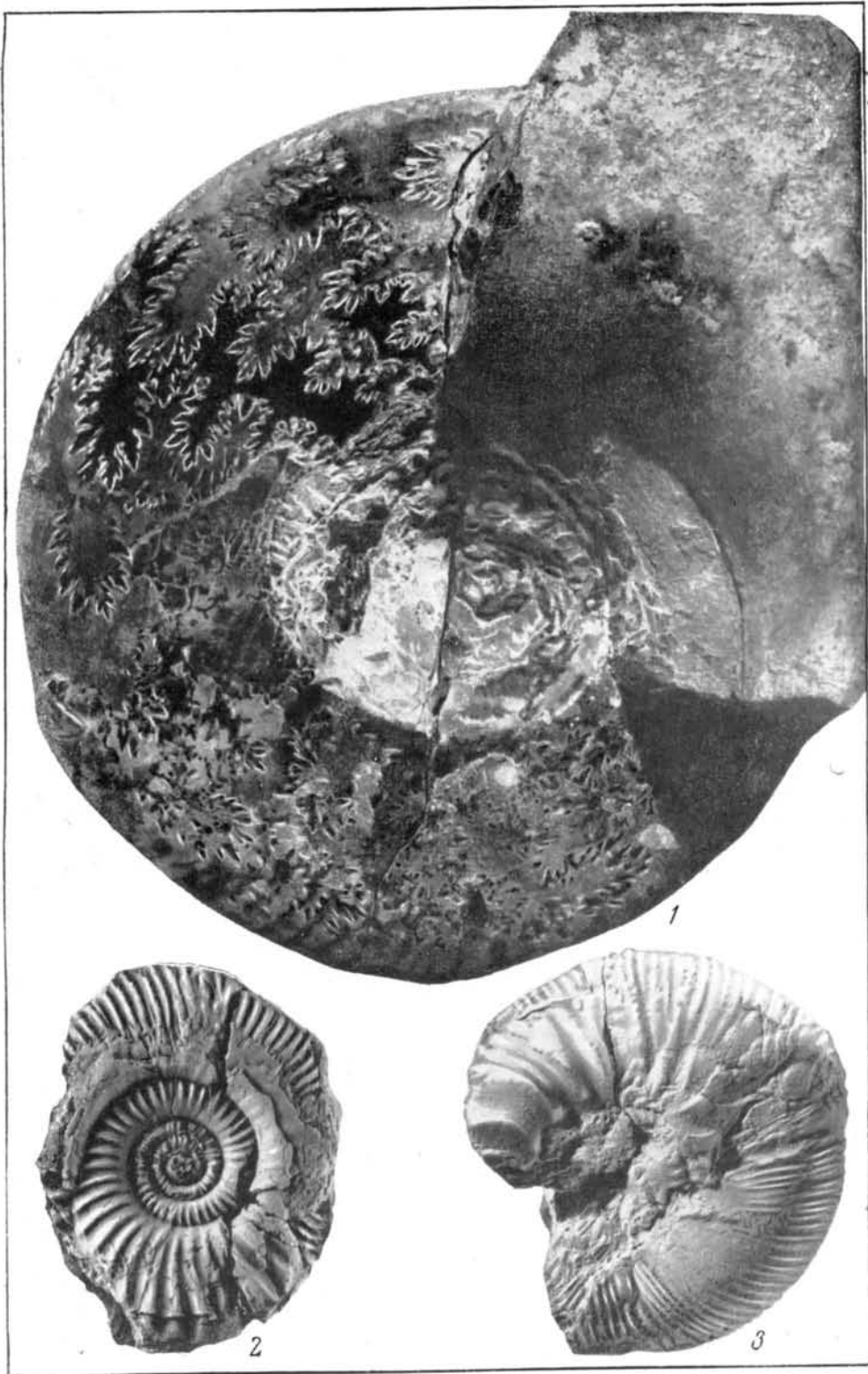
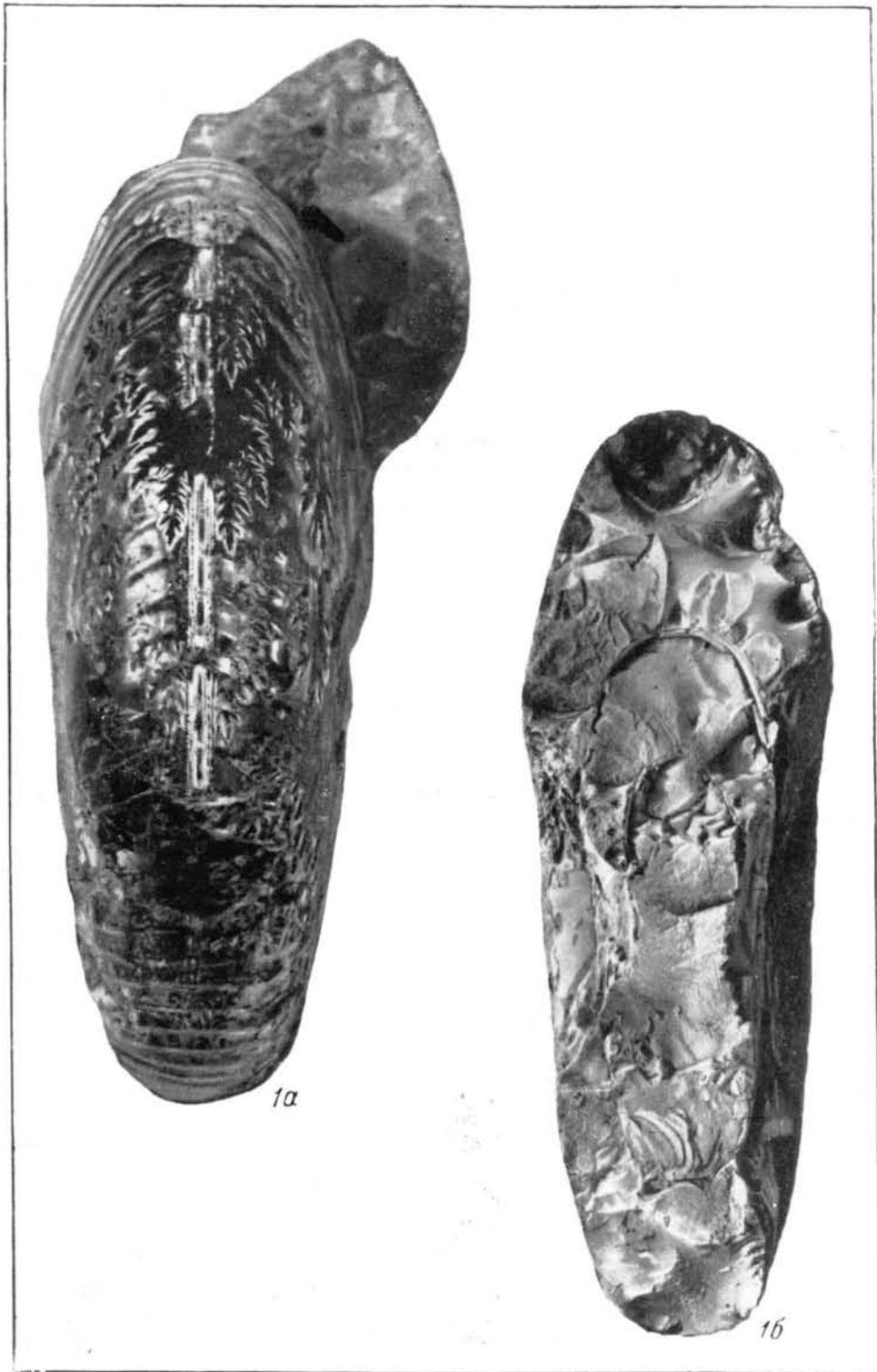


ТАБЛИЦА XXXIV

Фиг. 1. *Tollia emelianzevi* sp. nov. 1a — вид с наружной стороны; 1б — поперечный разрез раковины. Полуостров Пахса, обр. 25в (см. табл. XXXI, XXXII, XXXIII). Нижний мел (нижний валанжин).



1a

1b

ТАБЛИЦА XXXV

- Фиг. 1. *Tollia kordikovi* Bodylevsky (ex MS). Вид сбоку. Полуостров Пахса, обр. 25а<sub>13</sub> (см. табл. XXXIII, фиг. 2). Нижний мел (нижний валанжин).
- Фиг. 2. *Tollia tolmatschowi* Pavlow. 2а — вид сбоку; 2б — вид с сифональной стороны. Полуостров Пахса, обр. 25в. Нижний мел (нижний валанжин).

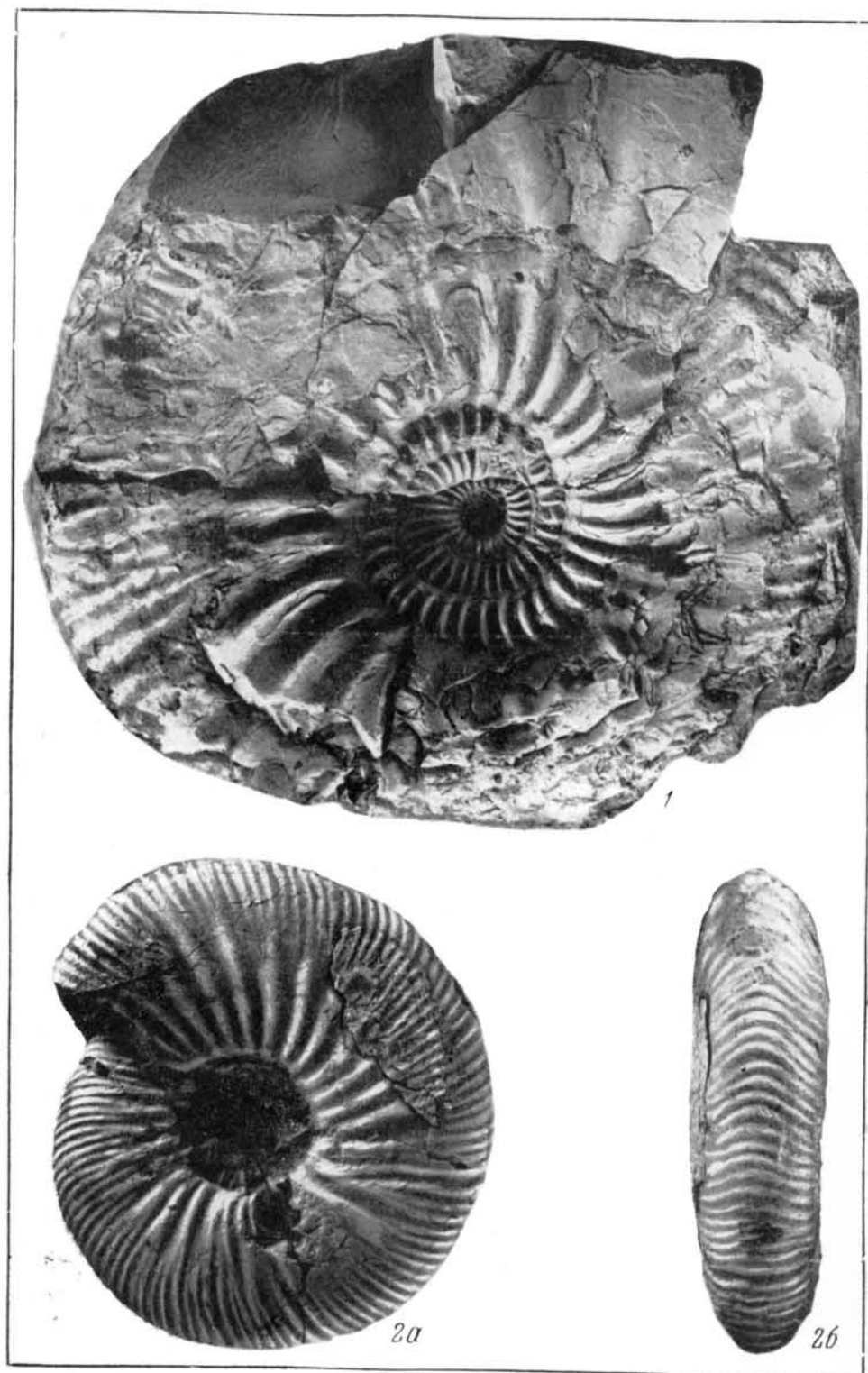


ТАБЛИЦА XXXVI

*Tollia profundumbilicata* sp. nov. Вид  
сбоку. Река Анабар, кряж Прончищева,  
обр. 111 (см. табл. XXXVII, фиг. 1).  
Нижний мел (нижний валанжин).



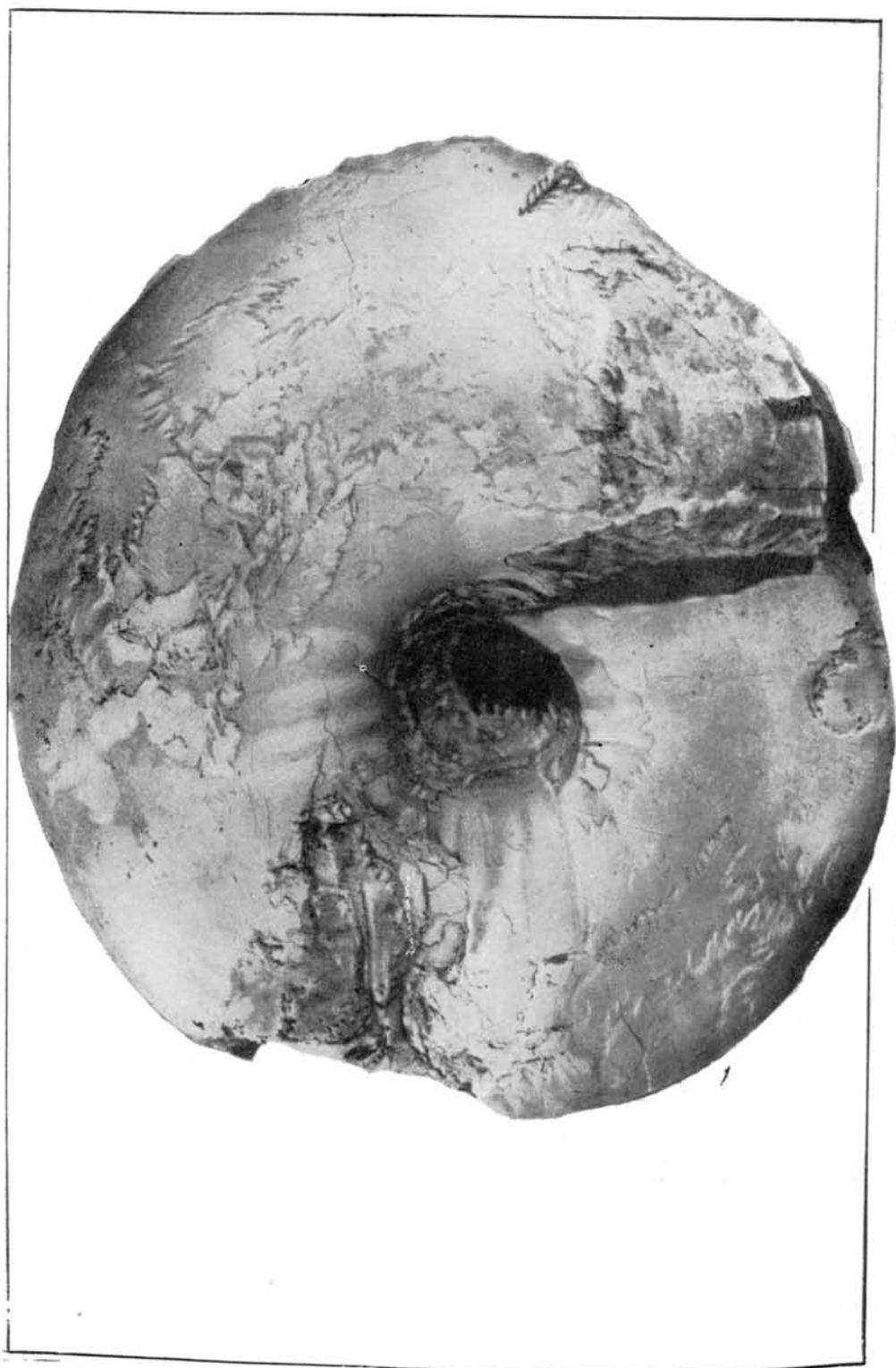


ТАБЛИЦА XXXVII

- Фиг. 1. *Tollia profundoumbilicata* sp. nov. Вид с наружной стороны. Река Анабар, кряж Прончищева, обр. 111 (см. табл. XXXVI). Нижний мел (нижний валанжин).
- Фиг. 2. *Temnoptychites pronschischtevi* sp. nov. 2a — вид сбоку; 2б — вид с наружной стороны. Кряж Прончищева, обр. 429. Нижний мел (средний валанжин).

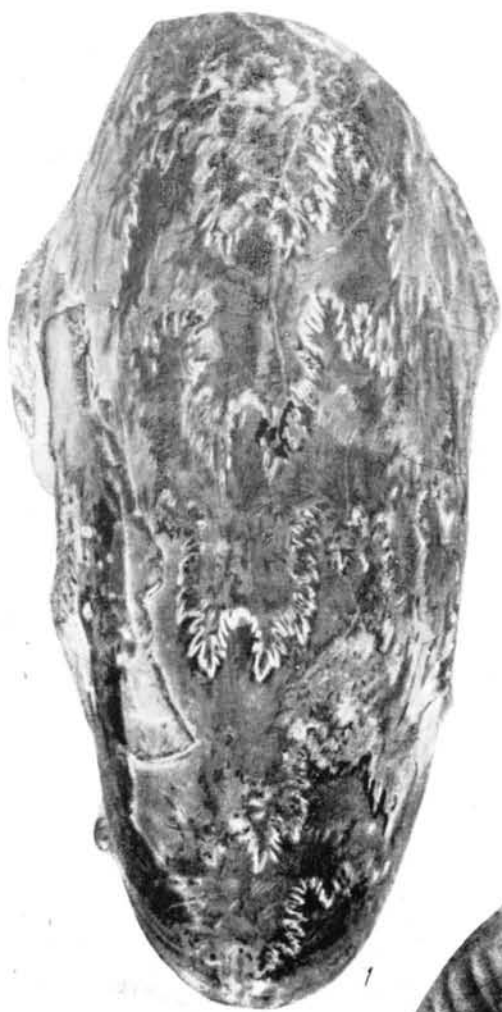


ТАБЛИЦА XXXVIII

- Фиг. 1. *Temnoptychites grandiosus* sp. nov. 1a — вид сбоку; 1б — вид внутреннего оборота с сифональной стороны. Река Уджа, обр. 135з (см. табл. XLVII, фиг. 1; табл. L, фиг. 1). Нижний мел (средний валанжин).
- Фиг. 2. *Temnoptychites grandiosus* sp. nov. Вид наружного оборота сбоку. Река Уджа, обр. 135з (см. табл. XLVII, фиг. 1; табл. L, фиг. 1). Нижний мел (средний валанжин).



ТАБЛИЦА XXXIX

- Фиг. 1. *Tollia kordikovi* var. *subtilis* var. nov. 1а— вид сбоку; 1б — вид с наружной стороны. Полуостров Пахса, обр. 25в. Нижний мел (нижний валанжин).
- Фиг. 2. *Euryptychites pavlovi* sp. nov. Вид молодого экземпляра сбоку. Полуостров Пахса, обр. 25а (см. табл. XL, фиг. 2а, б; табл. XLIX, фиг. 1а, б). Нижний мел (средний валанжин).



1a



2



1b

ТАБЛИЦА XL

- Фиг. 1. *Tollia* sp. indet. Вид сбоку. Полуостров Пахса, обр. 25. Нижний мел (нижний валанжин).
- Фиг. 2. *Euryptychites pavlovi* sp. nov. 2a — вид сбоку; 2б — вид с наружной стороны. Полуостров Пахса, обр. 29а (см. табл. XXXIX, фиг. 2; табл. XLIX, фиг. 1а, б). Нижний мел (средний валанжин).



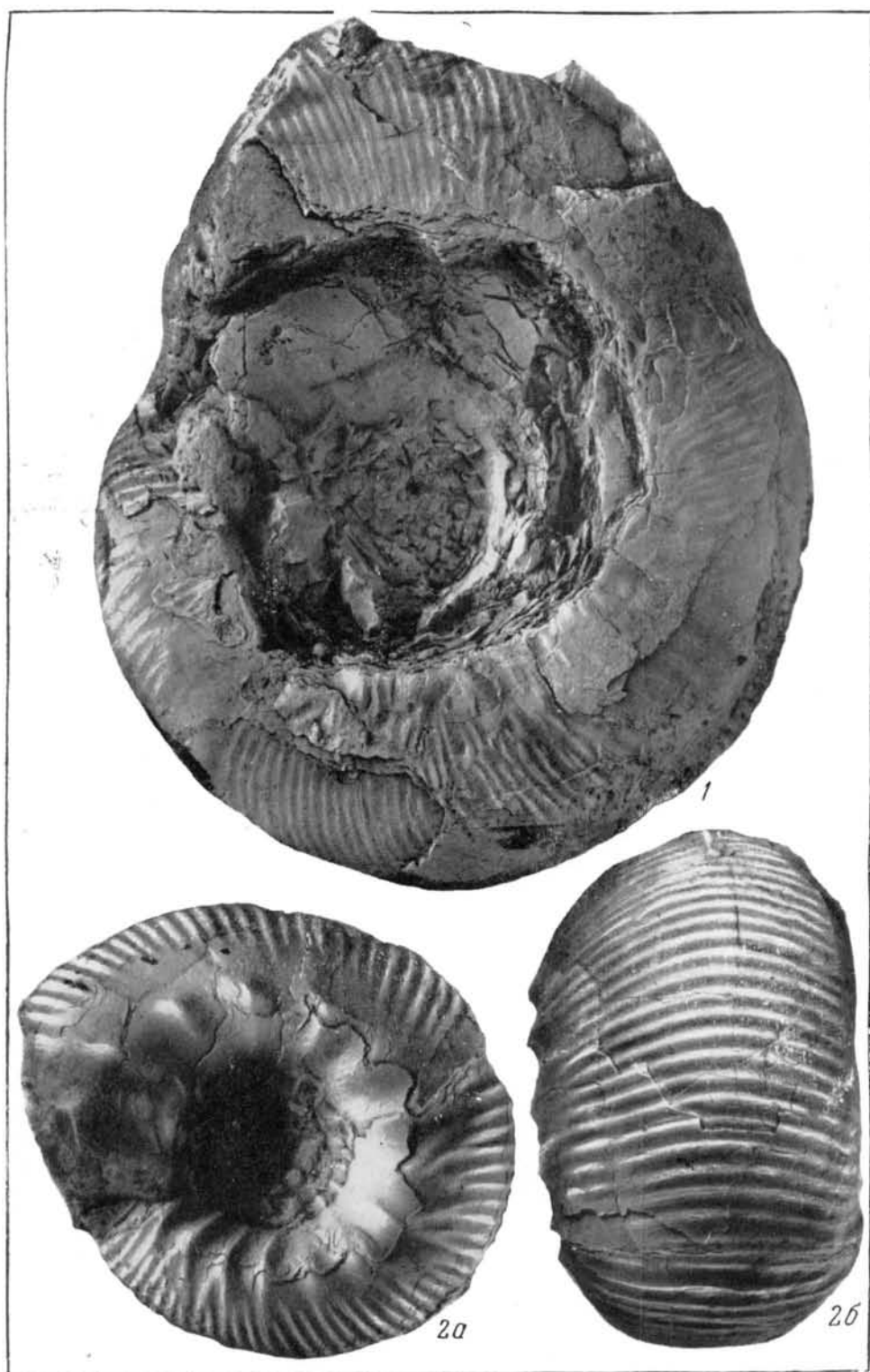
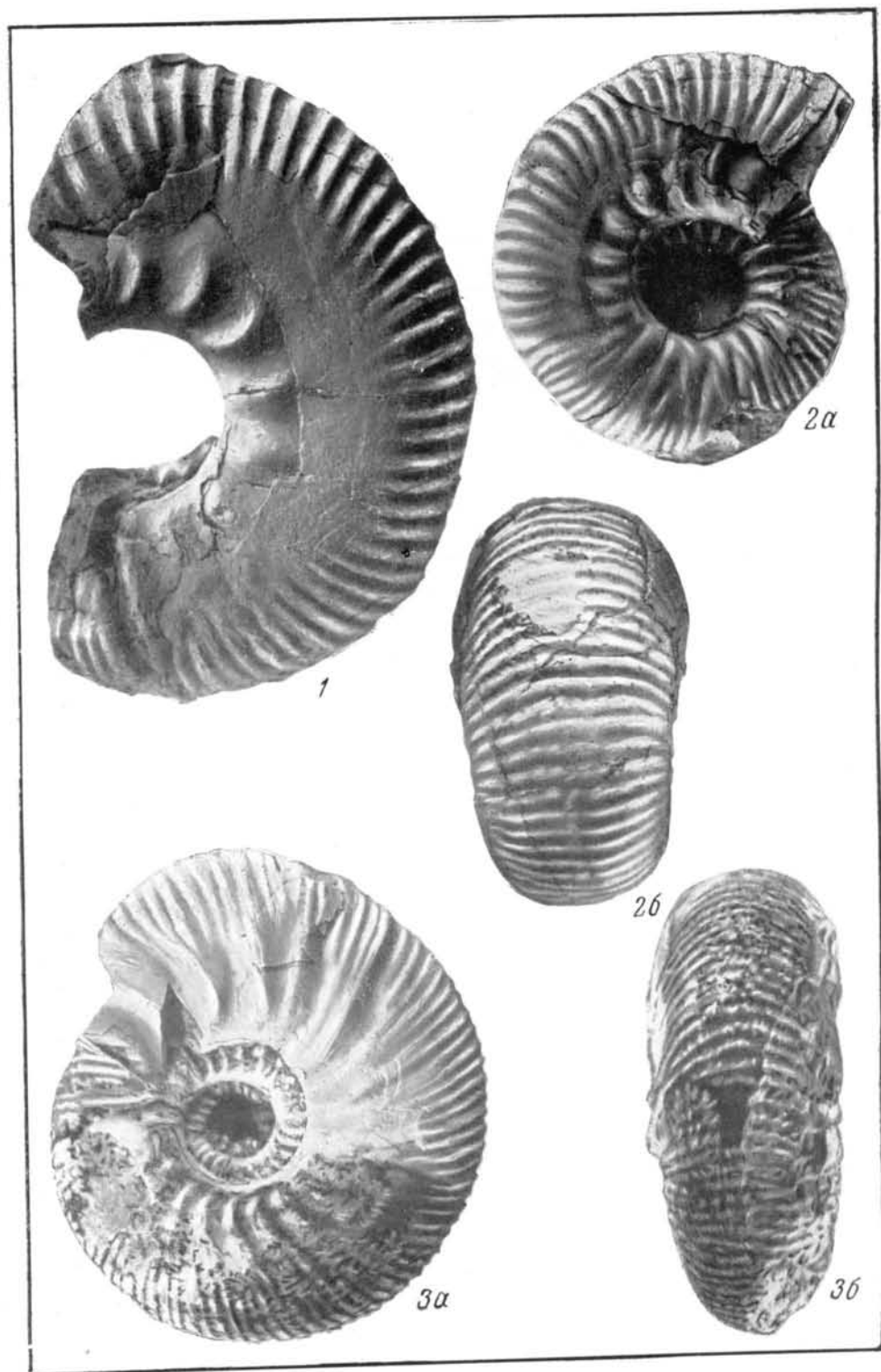


ТАБЛИЦА ХЛІ

- Фиг. 1. *Polyptychites* sp. nov. indet. Вид сбоку. Полуостров Пахса, обр. 29а (см. табл. XLVIII, фиг. 2а, б). Нижний мел (средний валанжин).
- Фиг. 2. *Polyptychites undulatocostatus* var. *multitudinis* var. nov. 2а — вид сбоку; 2б — вид с наружной стороны. Полуостров Пахса, обр. 29а. Нижний мел (средний валанжин).
- Фиг. 3. *Tollia (Polyptychites?) mira* sp. nov. 3а — вид сбоку; 3б — вид с наружной стороны. Полуостров Пахса, обр. 29а. Нижний мел (средний валанжин).



#### ТАБЛИЦА XLII

- Фиг. 1. *Euryptychites* sp. nov. indet. Поперечное сечение раковины. Тигяно-Анабарский район, обр. 174 (см. табл. L, фиг. 1). Нижний мел (средний валанжин).
- Фиг. 2. *Polyptychites undulatocostatus* Д о п о в а н. 2а — вид сбоку; 2б — вид с наружной стороны. Кряж Прончищева, обр. 289/3. Нижний мел (средний валанжин).



ТАБЛИЦА XLIII

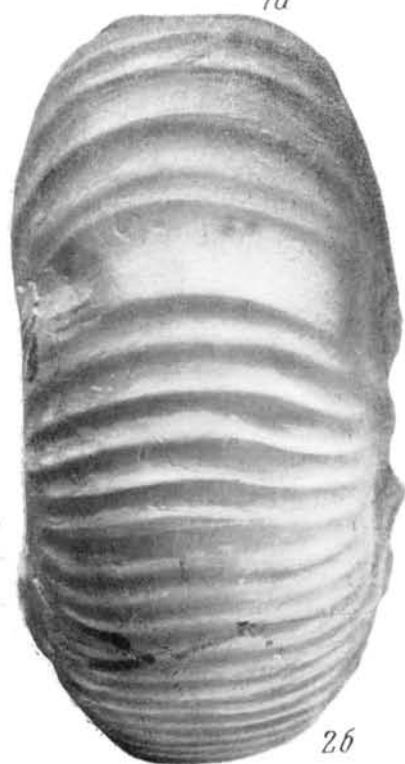
- Фиг. 1. *Polyptychites* cf. *rinnei* Коепен. 1а — вид сбоку; 1б — вид с наружной стороны. Кряж Прончищева, гряда 4, обр. 29а. Нижний мел (средний валанжин).
- Фиг. 2. *Polyptychites* cf. *rinnei* Коепен. 2а — вид сбоку; 2б — вид с наружной стороны. Полуостров Пахса, обр. 29а. Нижний мел (средний валанжин).



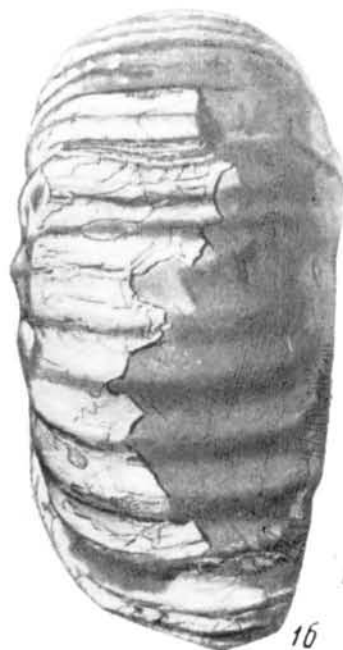
1a



2a



2b



1b

ТАБЛИЦА XLIV

- Фиг. 1. *Virgatoptychites*(?) *pakhsaensis* V o g o p e t z. 1a — вид сбоку; 1б — вид со стороны устья. Полуостров Пахса, обр. 29а. Нижний мел (средний валанжин).
- Фиг. 2. *Astieriptychites* *astieriptychus* B o d y l e v s k y (ex MS). 2a — вид сбоку; 2б — вид с наружной стороны. Полуостров Пахса, обр. 29в<sub>1</sub> (см. табл. XLV, фиг. 3; табл. XLVI, фиг. 2). Нижний мел (средний валанжин).



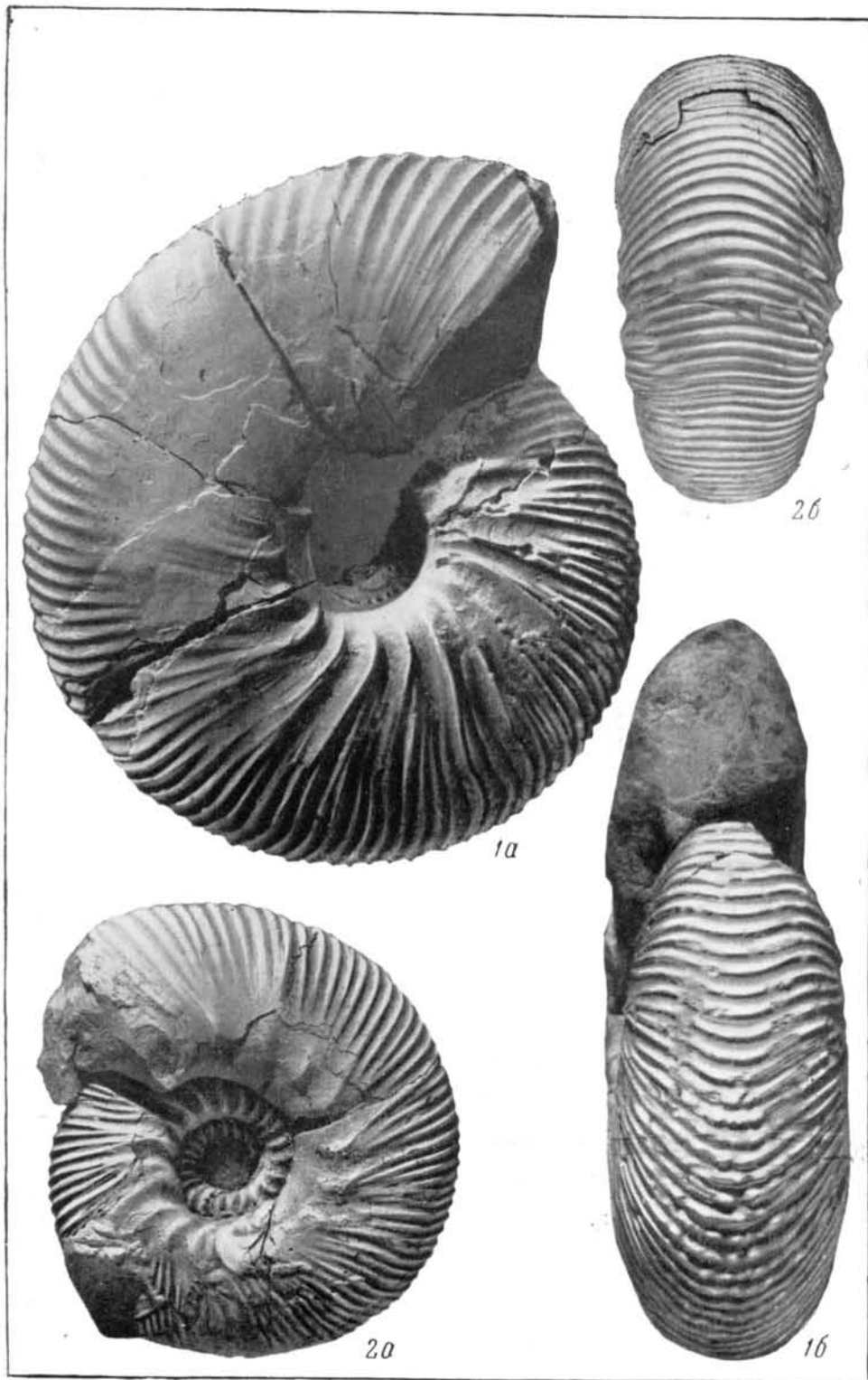


ТАБЛИЦА XLV

- Фиг. 1. *Subcraspedites* ex gr. *bidevexus* Bogoslovsky. Вид сбоку. Полуостров Пахса, обр. 26a<sub>13</sub>. Нижний мел (нижний валанжин).
- Фиг. 2. Тот же экземпляр. Вид сбоку, без части последнего оборота (виден более молодой оборот).
- Фиг. 3. *Astierptychites astierptychus* Bodylevsky. 3a — вид сбоку; 3б — вид с наружной стороны. Полуостров Пахса, обр. 25б (см. табл. XLIV, фиг. 2а, б; табл. XLVI, фиг. 2). Нижний мел (средний валанжин).
- Фиг. 4. *Astierptychites astieriformis* Voronetz. 4a — вид сбоку; 4б — вид с наружной стороны. Полуостров Пахса, обр. 25б. Нижний мел (средний валанжин).

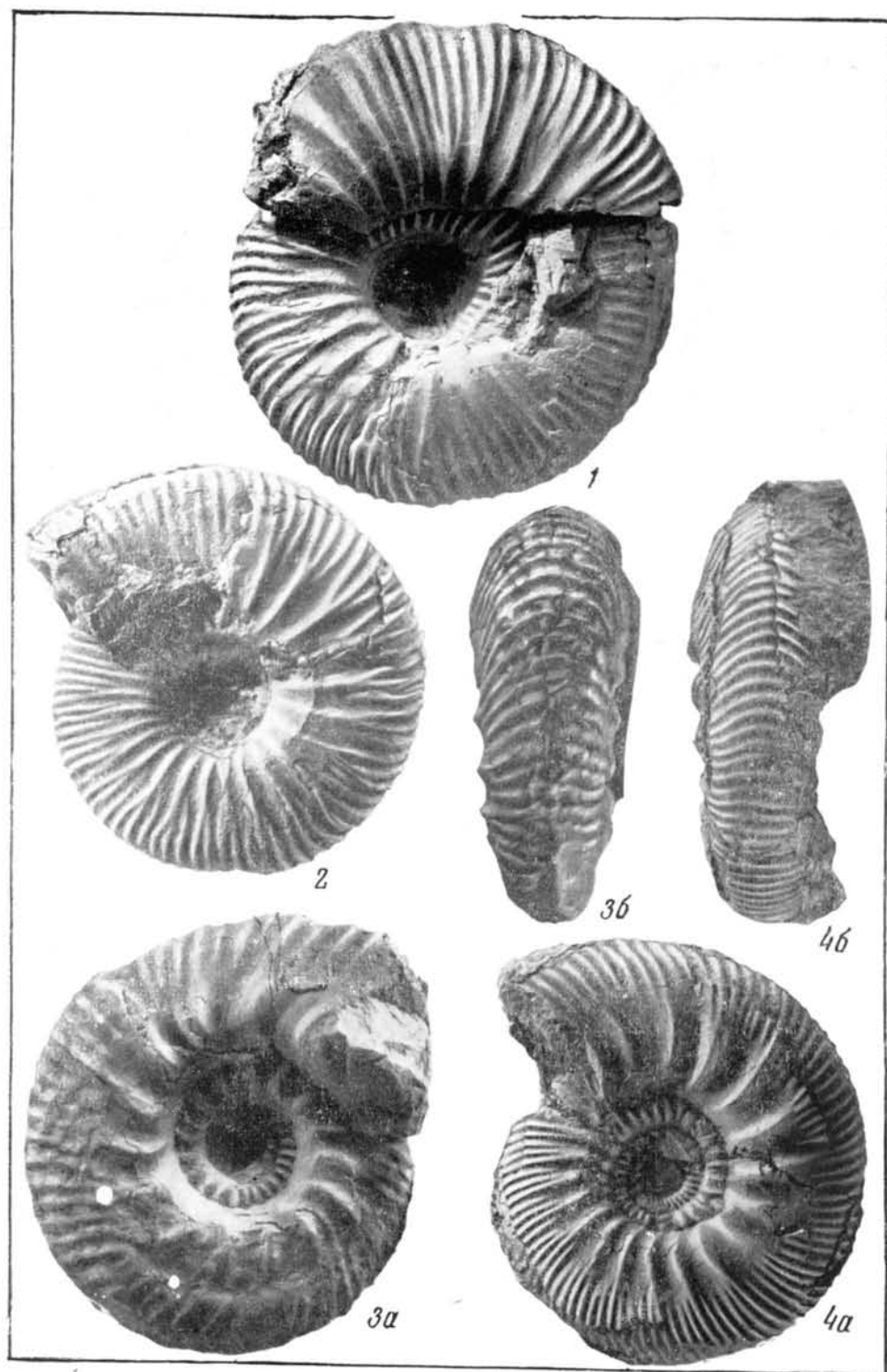


ТАБЛИЦА XLVI

- Фиг. 1. *Tollia pakhsaensis* sp. nov. Вид сбоку. Полуостров Пахса, обр. 26а. Нижний мел (нижний валанжин).
- Фиг. 2. *Astieriptychites astieriptychus* Bodylevsky. Вид сбоку. Полуостров Пахса, обр. 25в (см. табл. XLIV, фиг. 2а, б; табл. XLV, фиг. 3а, б). Нижний мел (средний валанжин).
- Фиг. 3. *Tollia pakhsaensis* sp. nov. Вид молодого экземпляра сбоку. Полуостров Пахса, обр. 26а. Нижний мел (нижний валанжин).

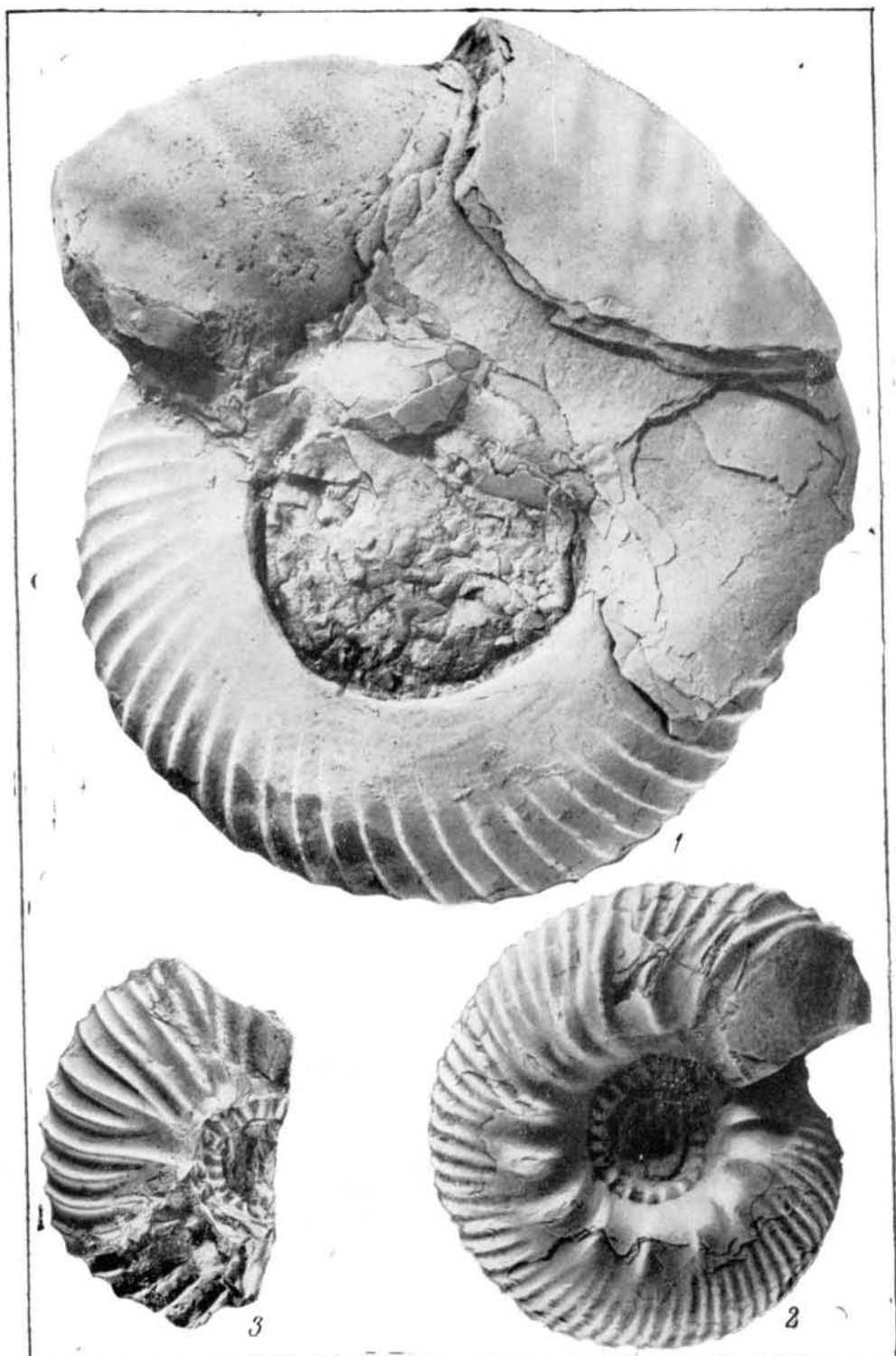


ТАБЛИЦА XLVII

- Фиг. 1. *Temnoptychites grandiosus* sp. nov. ( $\times 1/2$ ).  
Река Уджа, обр. 135з (см. табл. XXXVIII,  
фиг. 1 и 2; табл. L, фиг. 1). Нижний мел  
(средний валанжин).
- Фиг. 2. *Polyptychites conferticosta* Pavlow. 2a—  
вид сбоку; 2б—вид с наружной стороны.  
Полуостров Пахса, обр. 25а. Нижний мел  
(средний валанжин).

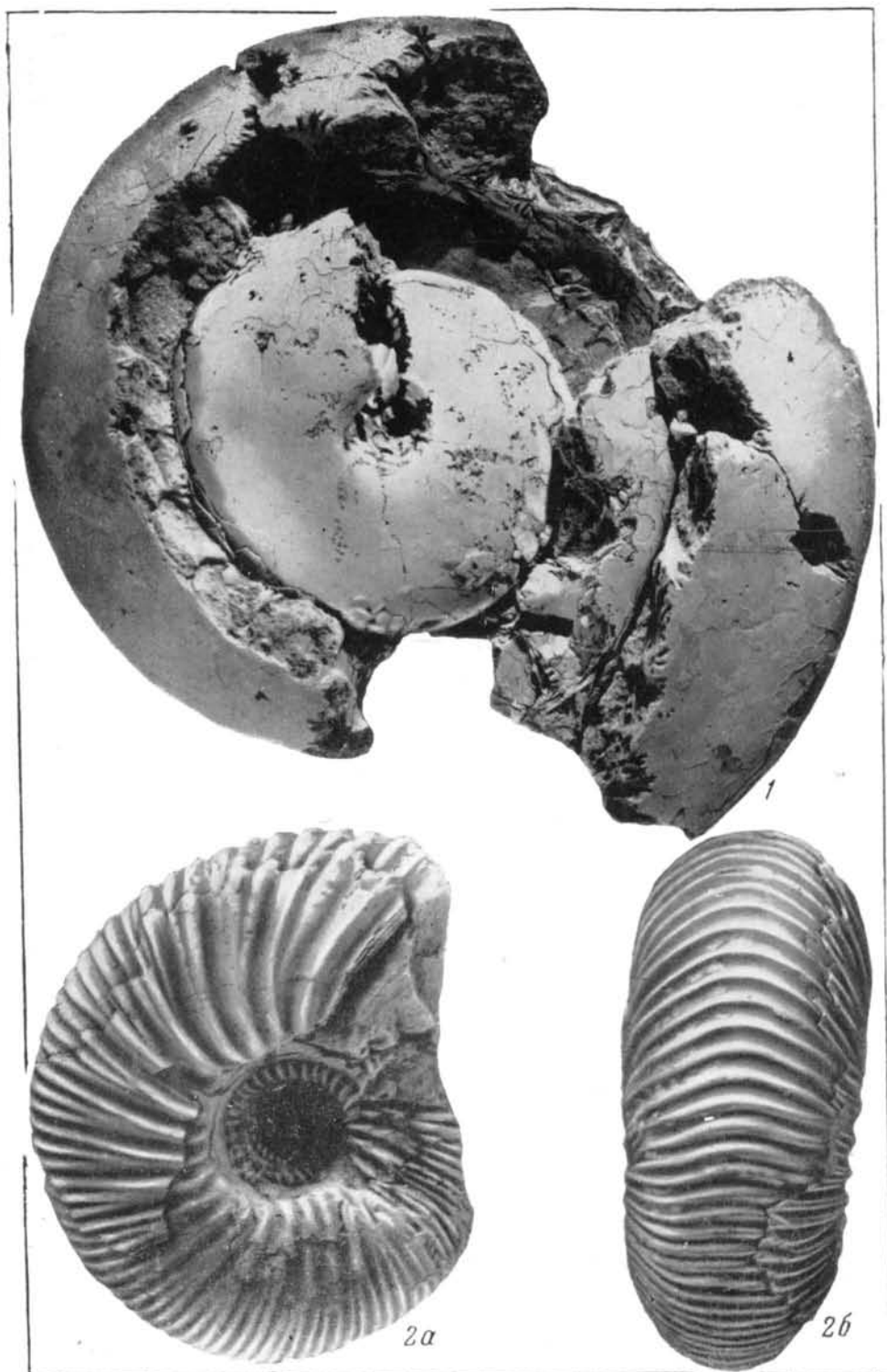
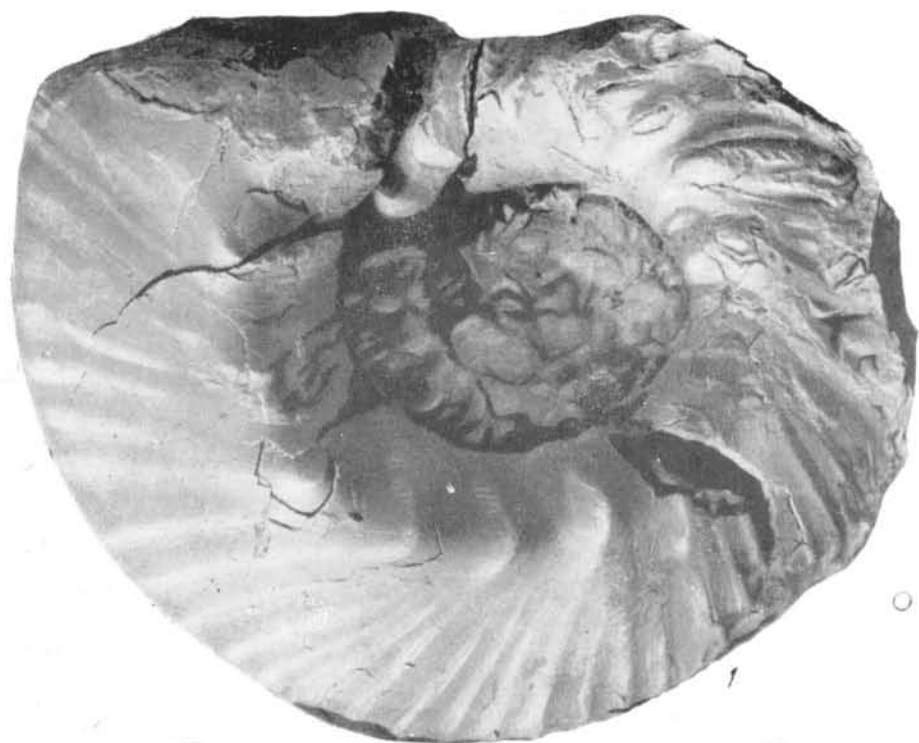


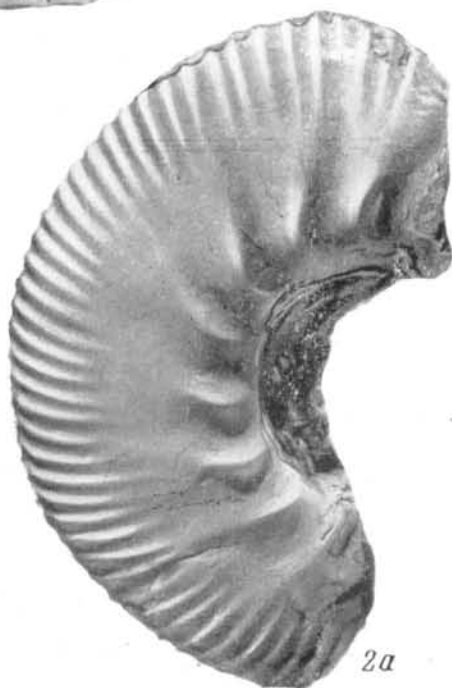
ТАБЛИЦА XLVIII

- Фиг. 1. *Euryptychites pateraeformis* sp. nov. Вид сбоку. Полуостров Пахса, обр. 29а<sub>8</sub> (см. табл. LI, фиг. 1а, б; табл. LII, фиг. 1). Нижний мел (средний валанжин).
- Фиг. 2. *Polyptychites* sp. nov. indet. 2а—вид сбоку; 2б — вид с наружной стороны (со следом повреждения). Полуостров Пахса, обр. 29а<sub>8</sub> (см. табл. XLI, фиг. 1). Нижний мел (средний валанжин).





26



2a

ТАБЛИЦА XLIX

- Фиг. 1. *Euryptychites pavlovi* sp. nov. 1a — вид сбоку; 1б — вид с наружной стороны. Полуостров Пахса, обр. 29а (см. табл. XXXIX, фиг. 2; табл. XL, фиг. 2а, б). Нижний мел (средний валанжин).
- Фиг. 2. *Neocraspedites politus* sp. nov. 2a — вид сбоку; 2б — вид с наружной стороны. Полуостров Пахса, обр. 29а<sub>5</sub> (см. табл. LIII, фиг. 3). Нижний мел (средний валанжин).

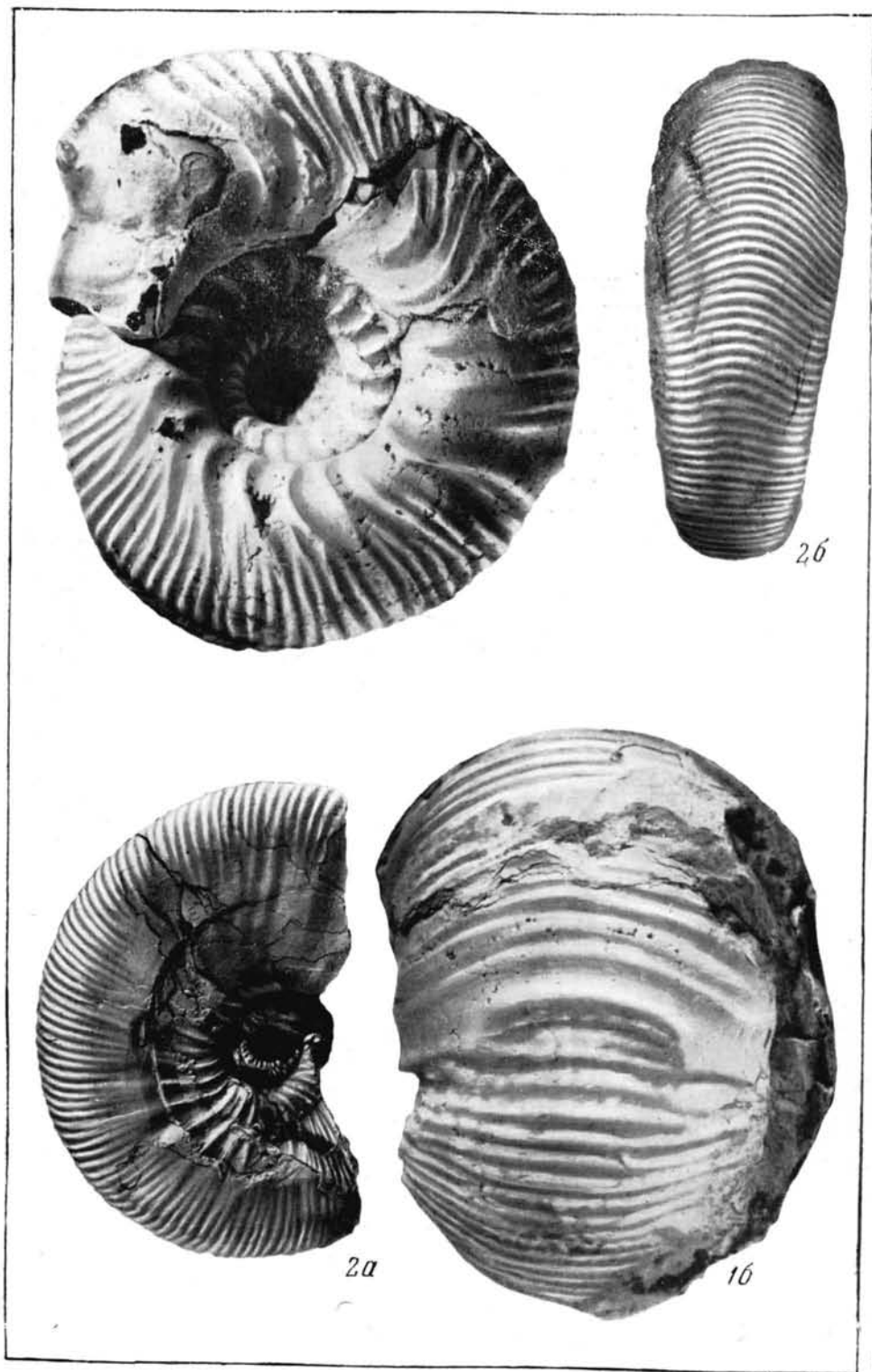


ТАБЛИЦА I

- Фиг. 1. *Temnoptychites grandiosus* sp. nov. 1a — вид сбоку; 1б — поперечный разрез. Река Уджа, обр. 135з (см. табл. XXXVIII, фиг. 1 и 2; табл. XLVII, фиг. 1). Нижний мел (средний валанжин).
- Фиг. 2. *Euryptychites* sp. nov. indet. Вид с наружной стороны. Тигяно-Анабарский район, обр. 174 (см. табл. XLII, фиг. 1). Нижний мел (средний валанжин).

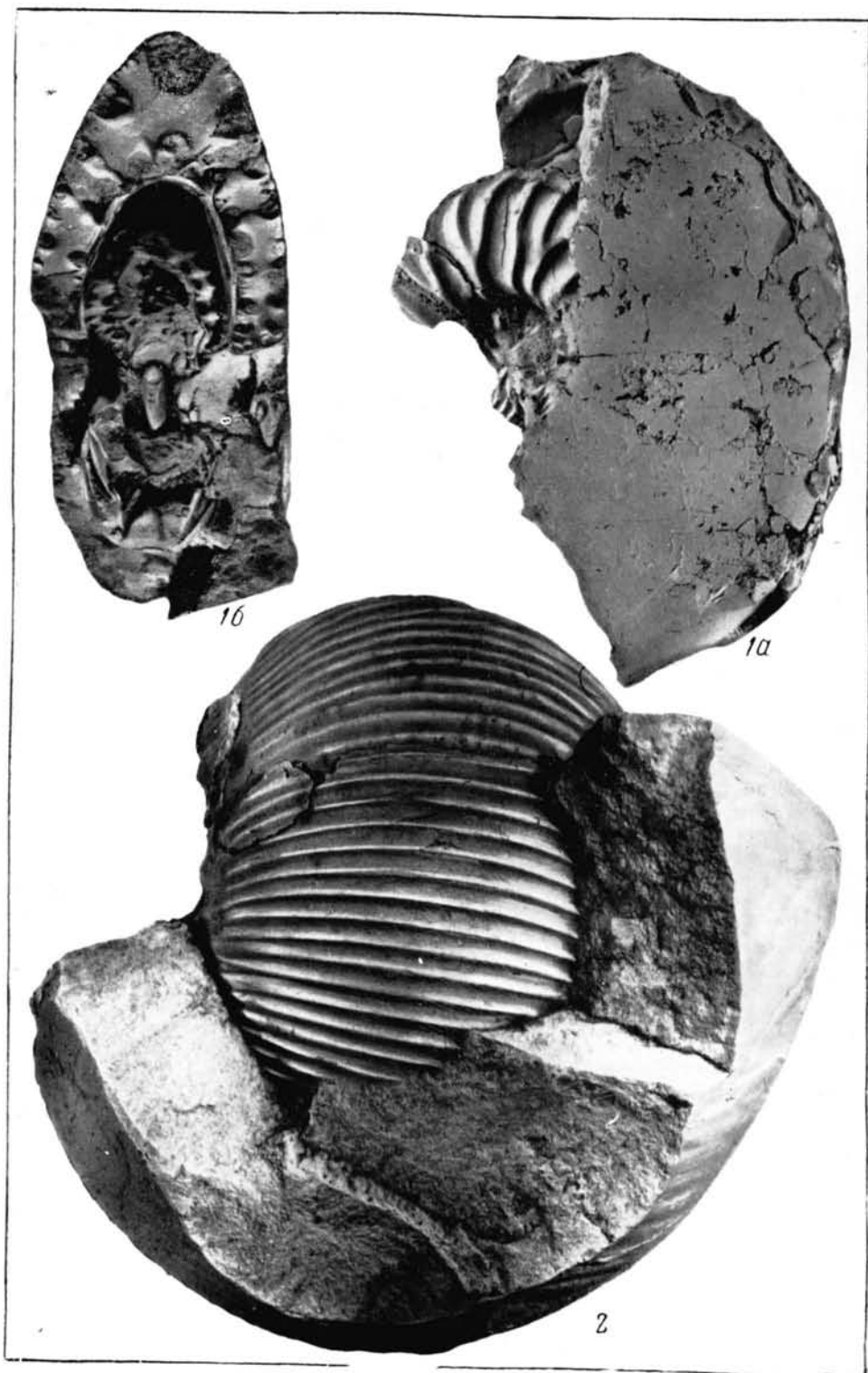
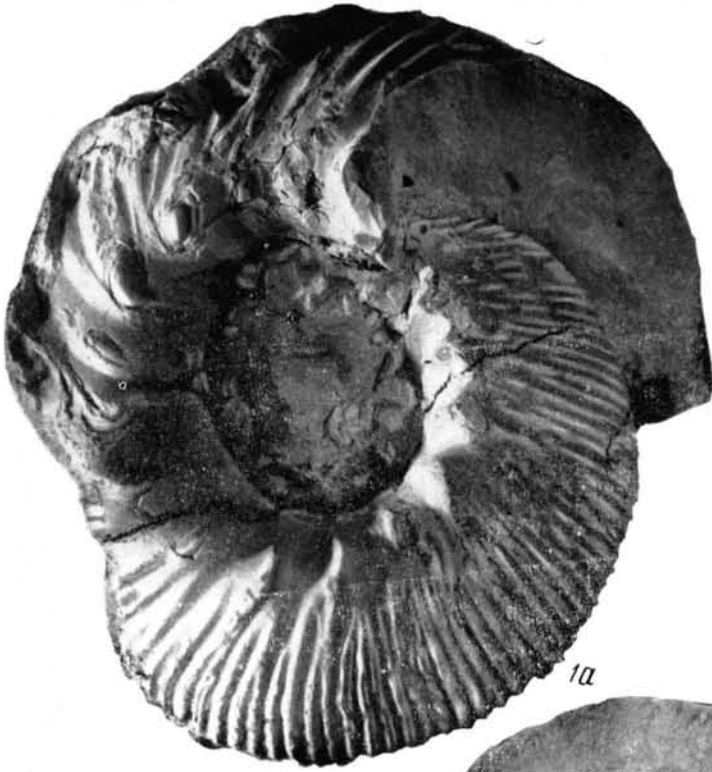


ТАБЛИЦА LI

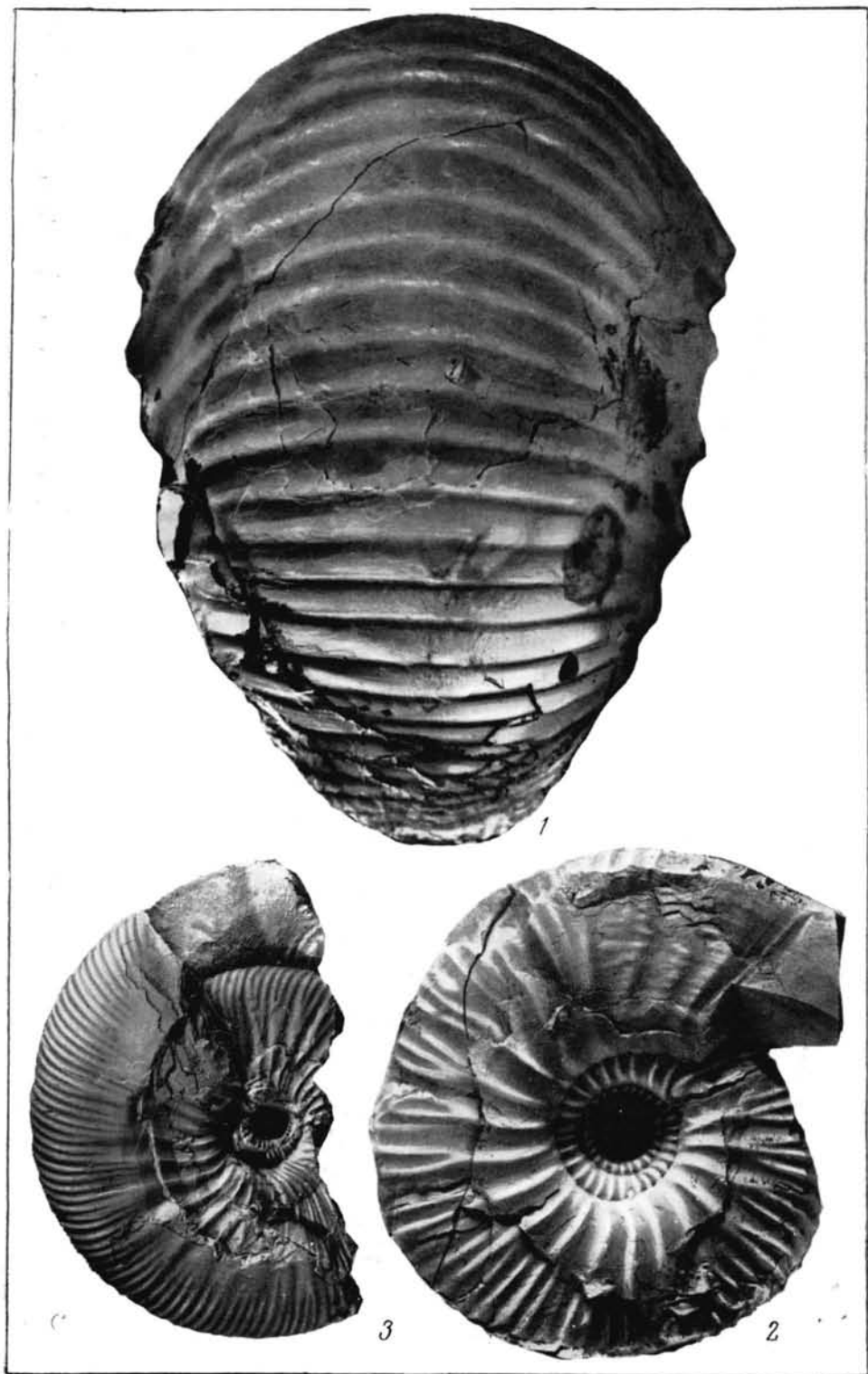
Фиг. 1. *Euryptychites pateraeformis* sp. nov. 1а — вид сбоку; 1б — вид со стороны устья внутреннего оборота образца, изображенного на табл. LI, фиг. 1; табл. XLVIII, фиг. 1. Полуостров Пахса, обр. 29а<sub>8</sub>. Нижний мел (средний валанжин).



#### ТАБЛИЦА LI

- Фиг. 1. *Euryptychites pateraeformis* sp. nov. Вид с наружной стороны. Полуостров Пахса, обр. 29a<sub>8</sub> (см. табл. LI, фиг. 1а, б). Нижний мел (средний валанжин).
- Фиг. 2. *Subcraspedites* ex gr. *bidevexus* Bogoslovsky. Вид сбоку. Полуостров Пахса, обр. 26a<sub>10</sub>. Нижний мел (нижний валанжин).
- Фиг. 3. *Neocraspedites politus* sp. nov. Вид сбоку. Часть внешнего оборота снята с обр. 29a<sub>5</sub>, изображенного на табл. XLIX, фиг. 2а, б. Нижний мел (средний валанжин).





### ТАБЛИЦА LIII

- Фиг. 1. *Coeloteuthis arctica* sp. nov. 1а — боковая сторона; 1б — брюшная сторона; 1в — продольный разрез по спинно-брюшной плоскости ( $\times 2$ ). Полуостров Урюнг-Тумус, обр. 6г. Юра (верхний лейас).
- Фиг. 2. *Nannobelus campus* sp. nov. 2а — боковая сторона; 2б — брюшная сторона; 2в — продольный разрез по спинно-брюшной плоскости. Полуостров Урюнг-Тумус, обр. 6а. Юра (верхний лейас).
- Фиг. 3. *Nannobelus difcilis* sp. nov. 3а — боковая сторона; 3б — брюшная сторона; 3в — продольный разрез по боковой плоскости. Полуостров Урюнг-Тумус, обр. 6г. Юра (верхний лейас).
- Фиг. 4. *Nannobelus difcilis* sp. nov. 4а — боковая сторона; 4б — брюшная сторона; 4в — продольный разрез по боковой плоскости. Левый берег Анабарской губы, обр. 8ж<sub>10</sub>. Юра (верхний лейас).
- Фиг. 5. *Nannobelus parvus* sp. nov. 5а — боковая сторона; 5б — брюшная сторона. Бус-Хая, обр. 362. Юра (верхний лейас).
- Фиг. 6. *Nannobelus parvus* sp. nov. Продольный разрез. Полуостров Урюнг-Тумус, обр. 6в. Юра (верхний лейас).
- Фиг. 7. *Nannobelus parvus* sp. nov. 7а — боковая сторона; 7б — брюшная сторона. Полуостров Урюнг-Тумус, обр. 6а. Юра (верхний лейас).
- Фиг. 8. *Nannobelus pavlovi* Grimholz. 8а — боковая сторона; 8б — брюшная сторона. Полуостров Урюнг-Тумус, обр. 6. Юра (верхний лейас).
- Фиг. 9. *Mesoteuthis subrostriformis* sp. nov. 9а — боковая сторона; 9б — брюшная сторона. Тюмяти, скв. К-35, обр. 11, глубина 155,0—155,20 м. Юра (верхний лейас).

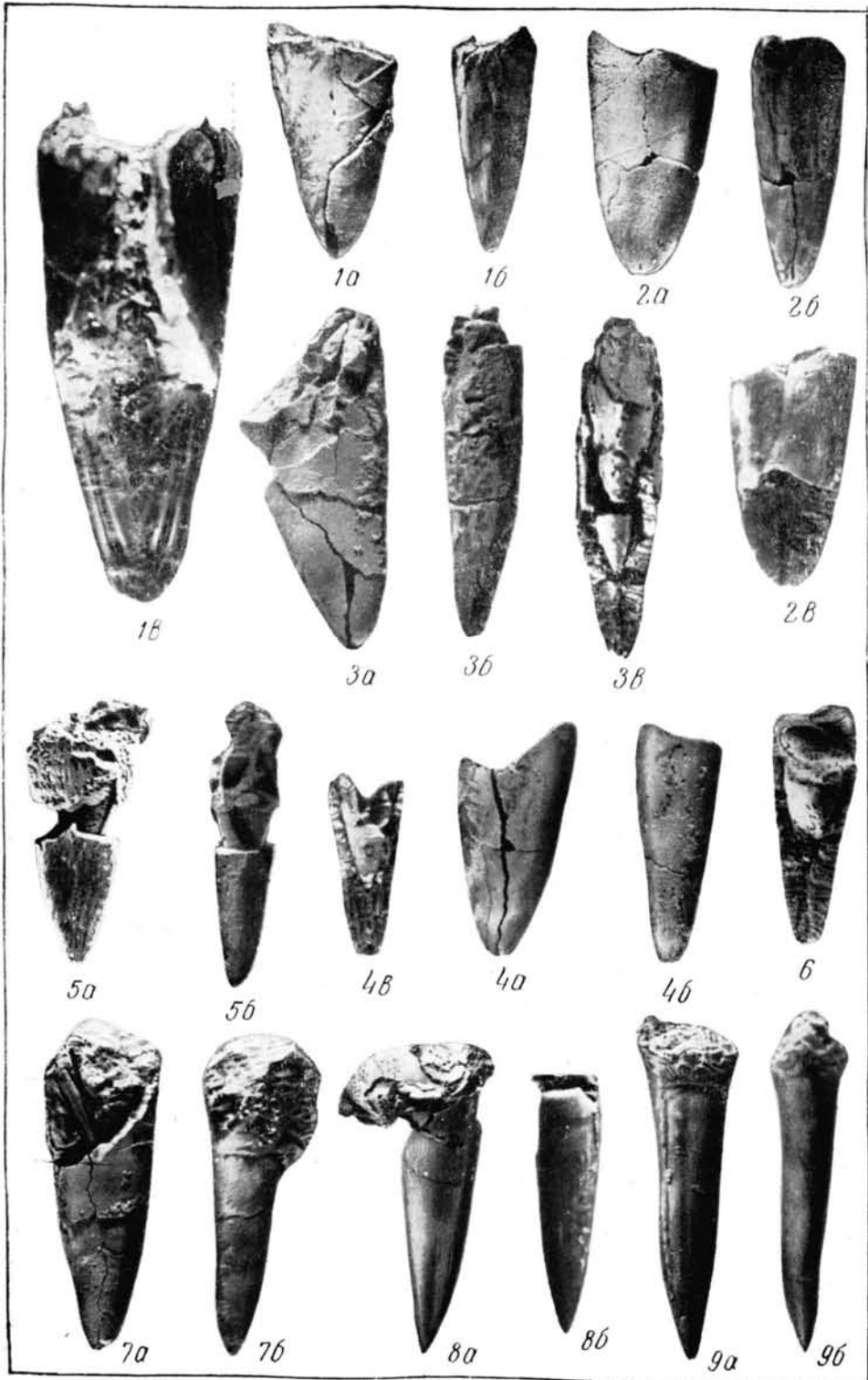


ТАБЛИЦА LIV

- Фиг. 1. *Mesoteuthis janenschi* (Ernst). 1a — боковая сторона; 1б — брюшная сторона. Полуостров Урюнг-Тумус, обр. 6в. Юра (верхний лейас).
- Фиг. 2. *Mesoteuthis janenschi* (Ernst). Продольный разрез по спинно-брюшной плоскости. Полуостров Урюнг-Тумус, обр. 6в. Юра (верхний лейас).
- Фиг. 3. *Mesoteuthis subrostriformis* sp. nov. Продольный разрез по спинно-брюшной плоскости. Полуостров Урюнг-Тумус, обр. 6а. Юра (верхний лейас).
- Фиг. 4. *Mesoteuthis subrostriformis* sp. nov. 4a — боковая сторона; 4б — брюшная сторона. Полуостров Урюнг-Тумус, обр. 6а. Юра (верхний лейас).
- Фиг. 5. *Mesoteuthis subrostriformis* sp. nov. 5a — боковая сторона; 5б — брюшная сторона. Полуостров Урюнг-Тумус, обр. 6а. Юра (верхний лейас).
- Фиг. 6. *Mesoteuthis subrostriformis* sp. nov. 6a — боковая сторона; 6б — брюшная сторона. Полуостров Урюнг-Тумус, обр. 6а. Юра (верхний лейас).
- Фиг. 7. *Mesoteuthis subrostriformis* sp. nov. 7a — боковая сторона; 7б — брюшная сторона. Полуостров Урюнг-Тумус, обр. 6а. Юра (верхний лейас).
- Фиг. 8. *Mesoteuthis subrostriformis* sp. nov. Продольный разрез по спинно-брюшной плоскости. Полуостров Урюнг-Тумус, обр. 6а. Юра (верхний лейас).
- Фиг. 9. *Mesoteuthis subrostriformis* sp. nov. 9a — боковая сторона; 9б — брюшная сторона. Полуостров Урюнг-Тумус, обр. 6а. Юра (верхний лейас).
- Фиг. 10. *Mesoteuthis subrostriformis* sp. nov. 10a — боковая сторона; 10б — брюшная сторона. Полуостров Урюнг-Тумус, обр. 6а. Юра (верхний лейас).
- Фиг. 11. *Mesoteuthis subrostriformis* sp. nov. 11a — боковая сторона; 11б — брюшная сторона. Полуостров Урюнг-Тумус, обр. 6а. Юра (верхний лейас).
- Фиг. 12. *Mesoteuthis subrostriformis* sp. nov. 12a — боковая сторона; 10б — брюшная сторона. Полуостров Урюнг-Тумус, обр. 6а. Юра (верхний лейас).

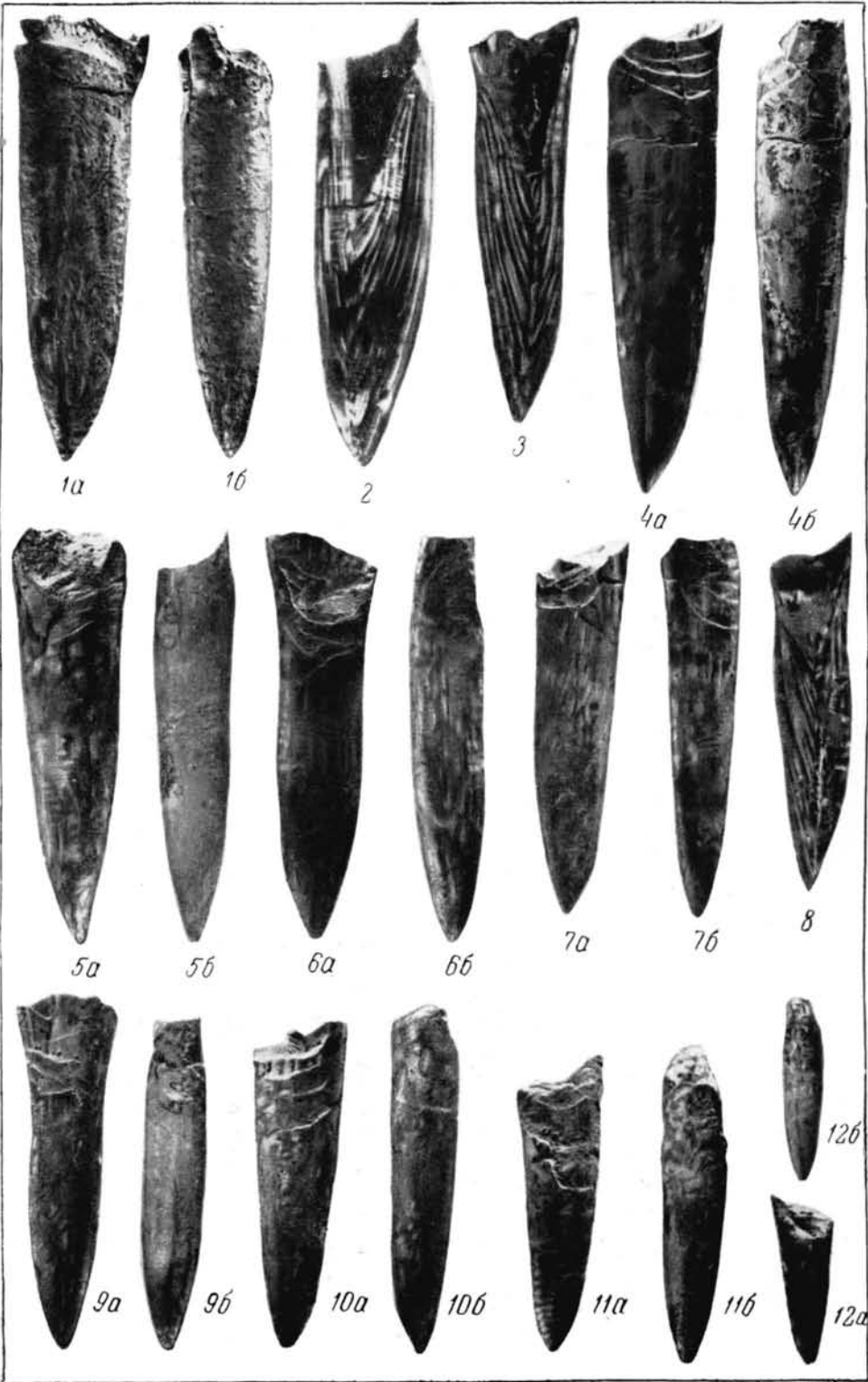


ТАБЛИЦА LV

- Фиг. 1. *Dactyloteuthis dolosa* sp. nov. Старая особь. 1а — боковая сторона; 1б — брюшная сторона. Полуостров Урюнг-Тумус, обр. 6г. Юра (верхний лейас).
- Фиг. 2. *Dactyloteuthis dolosa* sp. nov. Особь среднего возраста. 2а — боковая сторона; 2б — брюшная сторона. Полуостров Урюнг-Тумус, обр. 6г. Юра (верхний лейас).
- Фиг. 3. *Dactyloteuthis dolosa* sp. nov. Нижнее окончание молодой особи. 3а — боковая сторона; 3б — брюшная сторона. Полуостров Урюнг-Тумус, обр. 6г. Юра (верхний лейас).
- Фиг. 4. *Nastites* aff. *toarcensis* (O p p.). 4а — боковая сторона; 4б — брюшная сторона. Тюмяти, скв. К-4, обр. 130 с глубины 245,35 — 248,8 м. Юра (верхний лейас).
- Фиг. 5. *Dactyloteuthis* aff. *hebetata* Ernst. 5а — боковая сторона; 5б — брюшная сторона. Восточный берег Анабарской губы, обр. 19в. Юра (верхний лейас).
- Фиг. 6. *Dactyloteuthis* aff. *dolosa* sp. nov. 6а — боковая сторона; 6б — брюшная сторона. Полуостров Урюнг-Тумус, обр. 6г. Юра (верхний лейас).
- Фиг. 7. *Dactyloteuthis dolosa* sp. nov. Молодой экземпляр. 7а — боковая сторона; 7б — брюшная. Полуостров Урюнг-Тумус, обр. 6г. Юра (верхний лейас).
- Фиг. 8. *Dactyloteuthis dolosa* sp. nov. Продольный разрез по спинно-брюшной плоскости. Полуостров Урюнг-Тумус, обр. 6г. Юра (верхний лейас).
- Фиг. 9. *Dactyloteuthis* aff. *dolosa* sp. nov. Продольный разрез по спинно-брюшной плоскости. Полуостров Урюнг-Тумус, обр. 6г. Юра (верхний лейас).

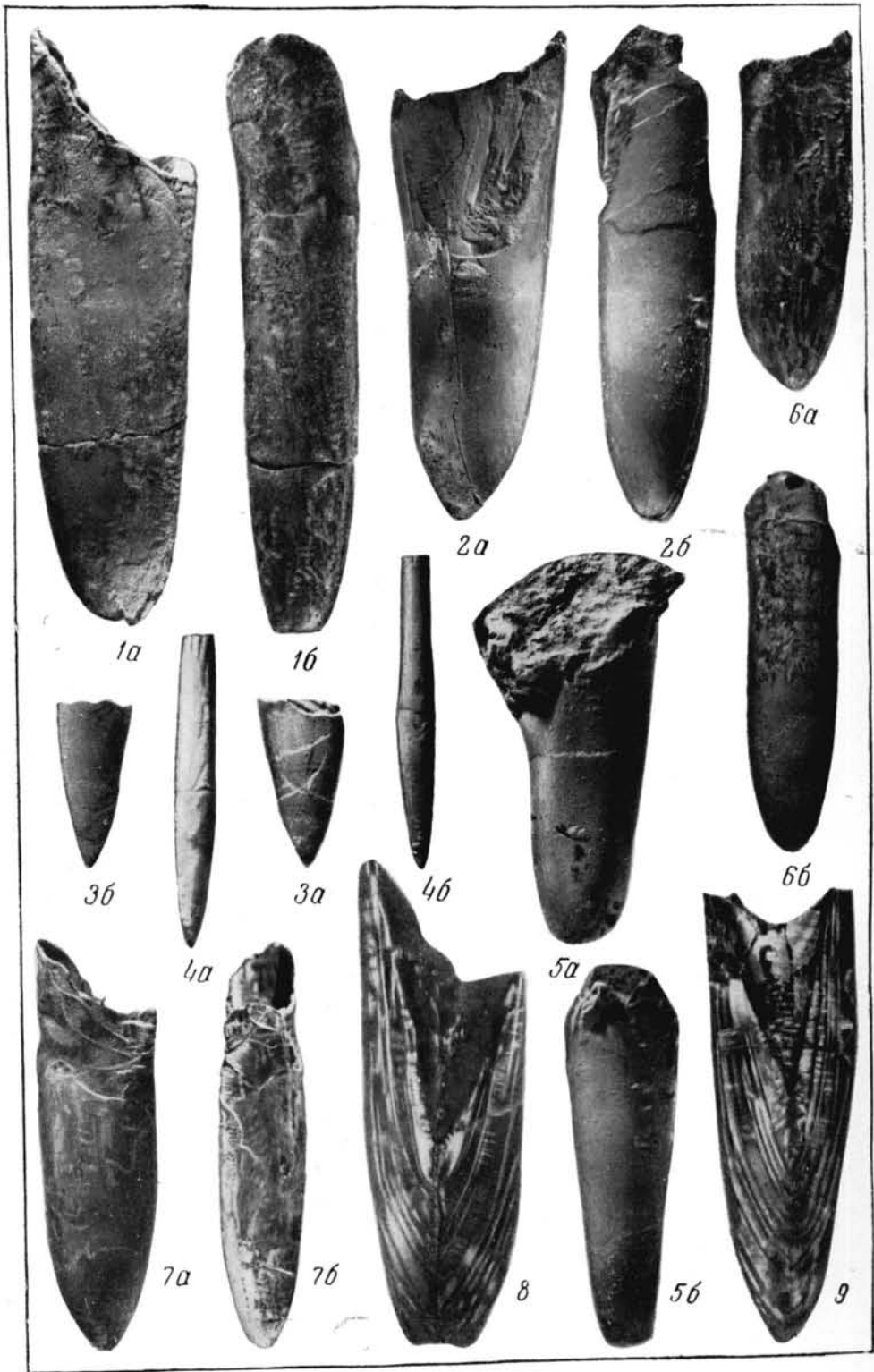


ТАБЛИЦА LVI

- Фиг. 1. *Passaloteuthis tolli* (P a v l o w). 1а — боковая сторона; 1б — брюшная сторона. Полуостров Урюнг-Тумус, обр. 6г. Юра (верхний лейас).
- Фиг. 2. *Passaloteuthis tolli* (P a v l o w). Ростр, почти не суженный в начале альвеолярной части. 2а — боковая сторона; 2б — брюшная сторона. Анабарская губа, обр. 8ж8. Юра (верхний лейас).
- Фиг. 3. *Passaloteuthis tolli* (P a v l o w). Продольный разрез по спинно-брюшной плоскости. Полуостров Урюнг-Тумус, обр. 6г. Юра (верхний лейас).
- Фиг. 4. *Passaloteuthis tolli* (P a v l o w), поврежденный при жизни. 4а — боковая сторона; 4б — брюшная сторона. Полуостров Урюнг-Тумус, обр. 6г. Юра (верхний лейас).
- Фиг. 5. *Passaloteuthis tolli* (P a v l o w). 5а — боковая сторона; 5б — брюшная сторона. Полуостров Урюнг-Тумус, обр. 6г. Юра (верхний лейас).



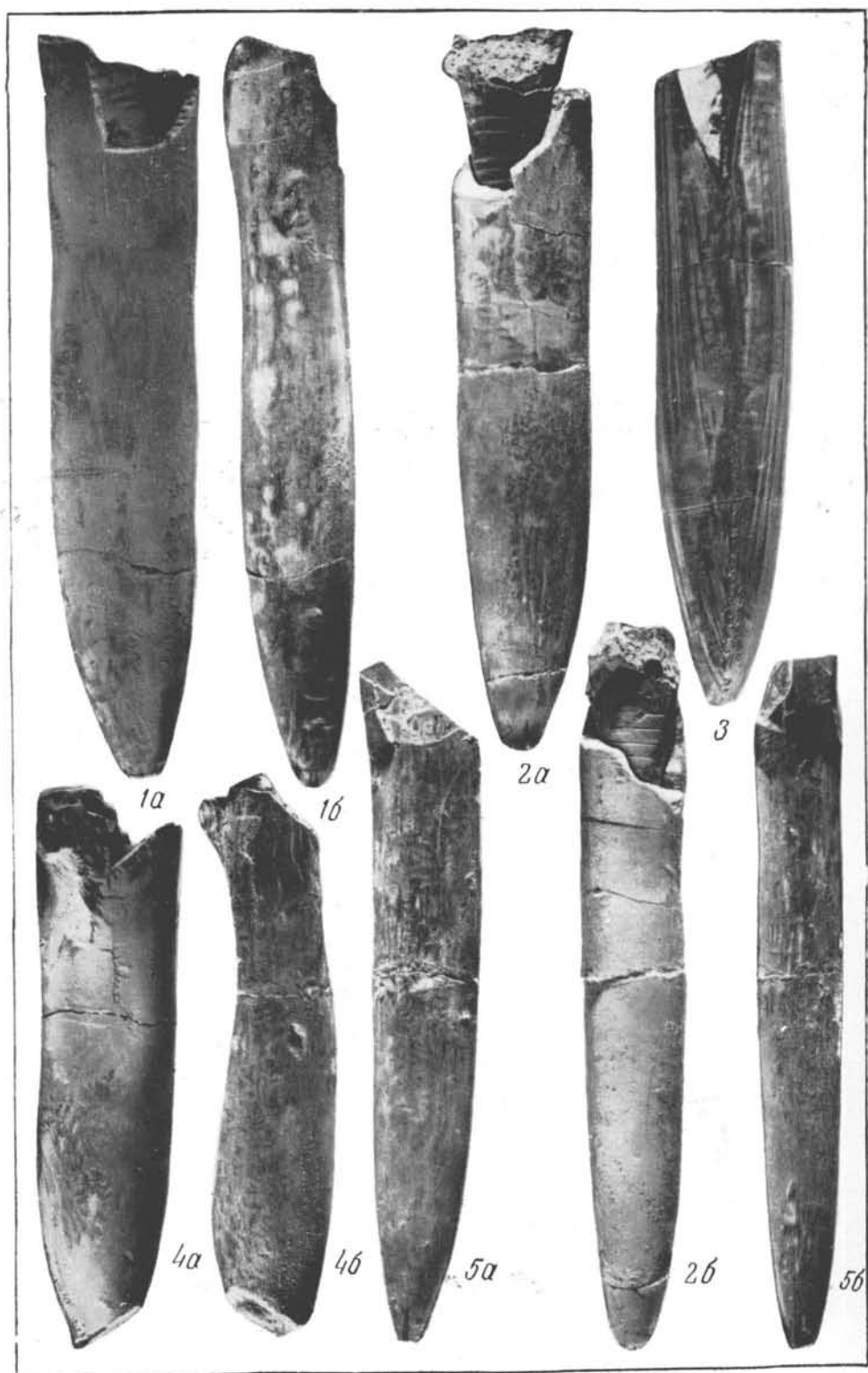
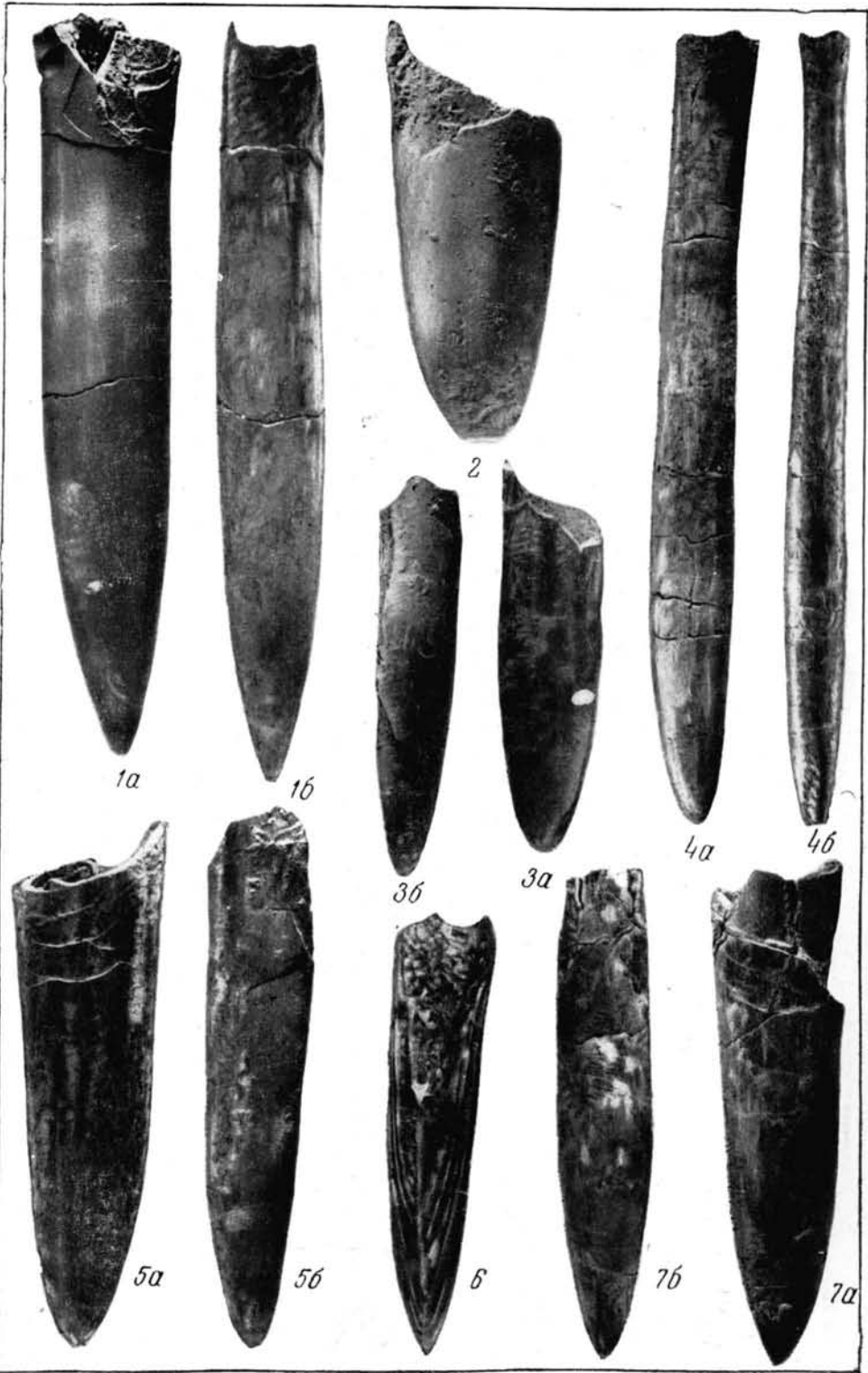


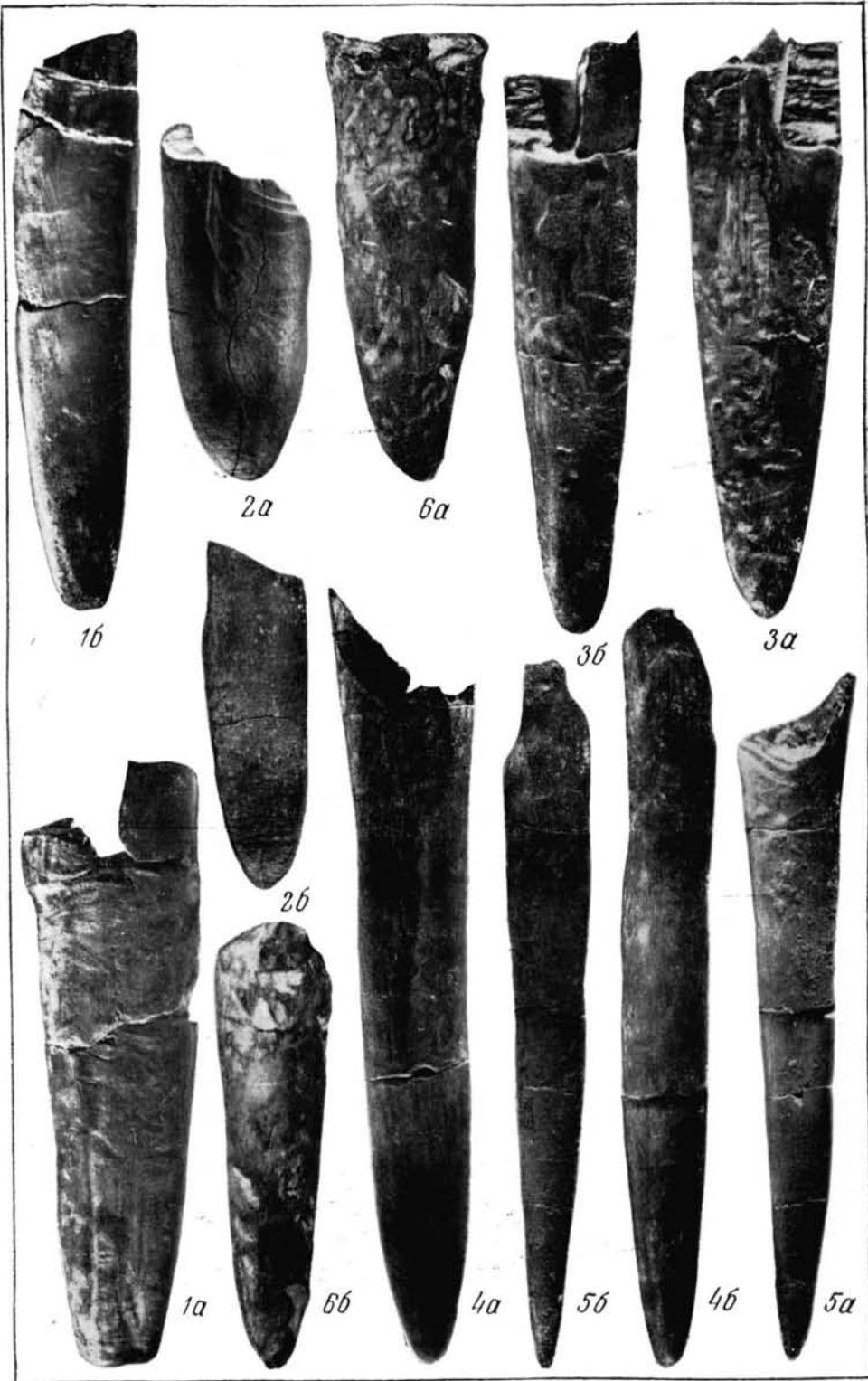
ТАБЛИЦА LVII

- Фиг. 1. *Passaloteuthis tolli* (P a v l o w). Экземпляр с заостренным концом. *1а* — боковая сторона; *1б* — брюшная сторона. Анабарская губа, обр. 8ж<sub>8</sub>. Юра (верхний лейас).
- Фиг. 2. *Dactyloteuthis* aff. *dolosa* sp. nov. Боковая сторона. Полуостров Урюнг-Тумус, обр. 6г. Юра (верхний лейас).
- Фиг. 3. *Mesoteuthis subconoidea* sp. nov. *3а* — боковая сторона; *3б* — брюшная сторона. Полуостров Урюнг-Тумус, обр. 6г. Юра (верхний лейас).
- Фиг. 4. *Passaloteuthis subinaudita* sp. nov. *4а* — боковая сторона; *4б* — брюшная сторона. Анабарская губа, обр. 8ж<sub>1</sub>. Юра (верхний лейас).
- Фиг. 5. *Mesoteuthis subconoidea* sp. nov. *5а* — боковая сторона; *5б* — брюшная сторона. Полуостров Урюнг-Тумус, обр. 6г. Юра (верхний лейас).
- Фиг. 6. *Mesoteuthis* aff. *conoidea* (O r p e l). Продольный разрез по спинно-брюшной плоскости. Полуостров Урюнг-Тумус, обр. 6г. Юра (верхний лейас).
- Фиг. 7. *Mesoteuthis* aff. *conoidea* sp. nov. *7а* — боковая сторона; *7б* — брюшная сторона. Полуостров Урюнг-Тумус, обр. 6г. Юра (верхний лейас).



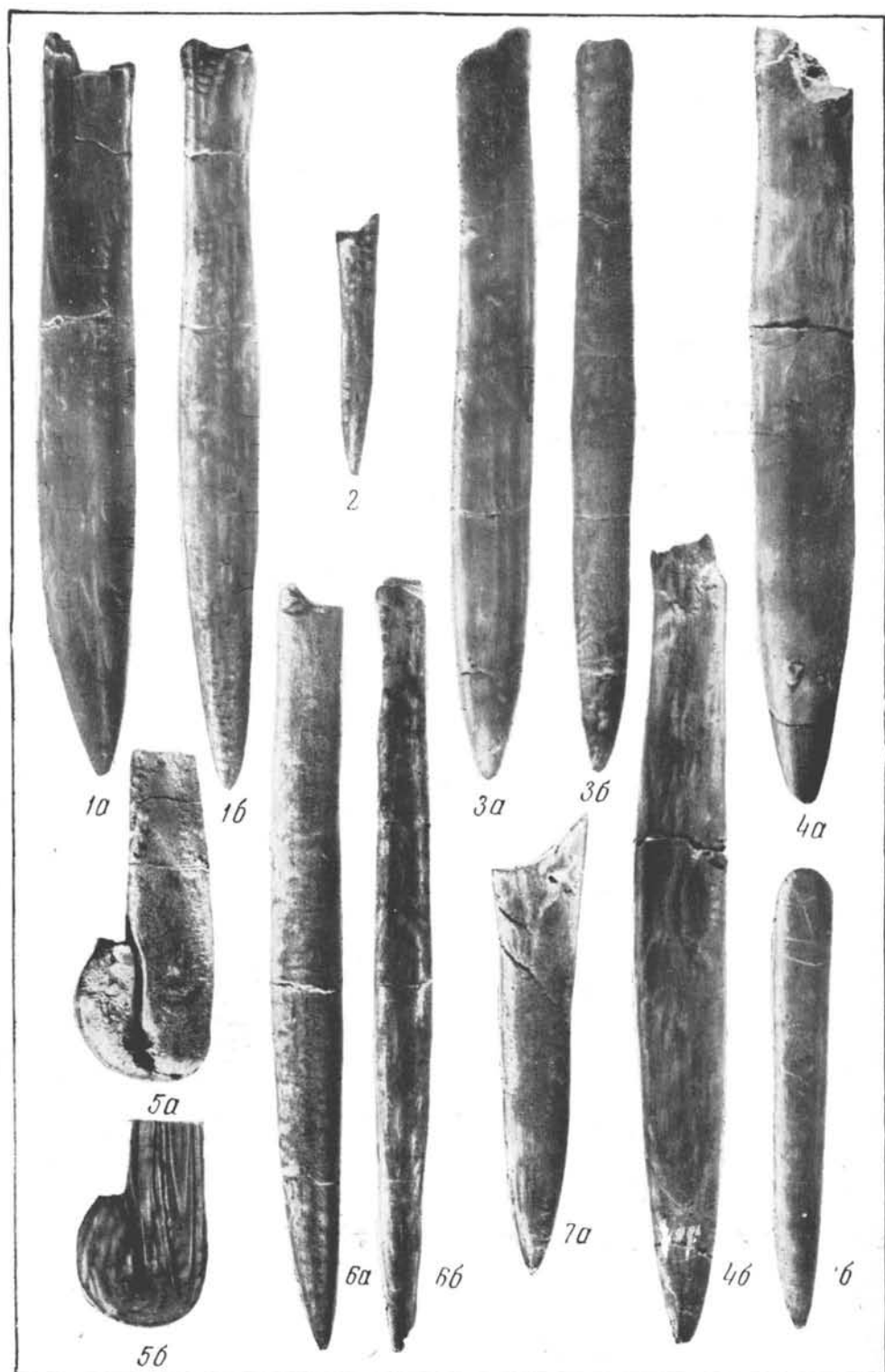
#### ТАБЛИЦА LVIII

- Фиг. 1. *Megateuthis gigantoides* (Pavlov). 1а — боковая сторона; 1б — брюшная сторона. Анабарская губа, обр. 8ж<sub>8</sub>. Юра (верхний лейас).
- Фиг. 2. *Nannobelus* aff. *janus* (Dumortier). 2а — боковая сторона; 2б — брюшная сторона. Полуостров Урюнг-Тумус, обр. 6в. Юра (верхний лейас).
- Фиг. 3. *Mesoteuthis conoidea* (Orpel). 3а — боковая сторона; 3б — брюшная сторона. Анабарская губа, обр. 8ж<sub>8</sub>. Юра (верхний лейас).
- Фиг. 4. *Passaloteuthis tolli* (Pavlov). 4а — боковая сторона; 5б — брюшная сторона. Полуостров Урюнг-Тумус, обр. 6г. Юра (верхний лейас).
- Фиг. 5. *Mesoteuthis lapinskajae* sp. nov. 5а — боковая сторона; 5б — брюшная сторона. Полуостров Урюнг-Тумус, обр. 6г. Юра (верхний лейас).
- Фиг. 6. *Nannobelus pavlovi* Grimholz. 6а — боковая сторона; 6б — брюшная сторона. Полуостров Урюнг-Тумус, обр. 6. Юра (верхний лейас).



#### ТАБЛИЦА LIX

- Фиг. 1. *Passaloteuthis inaudita* sp. nov. 1а — боковая сторона; 1б — брюшная сторона. Полуостров Урюнг-Тумус, обр. 6а. Юра (верхний лейас).
- Фиг. 2. *Mesoteuthis aequalis* sp. nov. Молодой экземпляр, боковая сторона. Полуостров Урюнг-Тумус, обр. 6г. Юра (верхний лейас).
- Фиг. 3. *Passaloteuthis inaudita* sp. nov. 3а — боковая сторона; 3б — брюшная сторона. Полуостров Урюнг-Тумус, обр. 6а. Юра (верхний лейас).
- Фиг. 4. *Passaloteuthis inaudita* sp. nov. 4а — боковая сторона; 4б — брюшная сторона. Полуостров Урюнг-Тумус, обр. 6б. Юра (верхний лейас).
- Фиг. 5. *Passaloteuthis subinaudita* sp. nov. Экземпляр, поврежденный при жизни. 5а — боковая сторона; 5б — продольный разрез по спинно-брюшной плоскости. Анабарская губа, обр. 8жз. Юра (верхний лейас).
- Фиг. 6. *Passaloteuthis subinaudita* sp. nov. Молодой экземпляр. 6а — боковая сторона; 6б — брюшная сторона. Полуостров Урюнг-Тумус, обр. 6а. Юра (верхний лейас).
- Фиг. 7. *Mesoteuthis aequalis* sp. nov. 7а — боковая сторона; 7б — брюшная сторона. Полуостров Урюнг-Тумус, обр. 6г. Юра (верхний лейас).



#### ТАБЛИЦА LX

- Фиг. 1. *Salpingoteuthis tubularis* (Young et Bird). Продольный разрез по спинно-брюшной плоскости. Анабарская губа, обр. 8ж<sub>4</sub>. Юра (верхний лейас).
- Фиг. 2. *Mesoteuthis oxysona* (Hehl in Zieten). 2а — боковая сторона; 2б — брюшная сторона. Полуостров Урюнг-Тумус, обр. 5а<sub>1</sub>. Юра (верхний лейас).
- Фиг. 3. *Hastites clavata* (Schlotheim in d'Orbigny). 3а — боковая сторона; 3б — брюшная сторона. Анабарская губа, обр. 8р<sub>1</sub>. Средняя юра (ааленский ярус).
- Фиг. 4. *Hibolites* (?) sp. indet. 4а — боковая сторона; 4б — брюшная сторона. Анабарская губа, обр. 11а<sub>12</sub>. Верхняя юра (келловей, зона *Cadoceras elatmae*).
- Фиг. 5. *Hastites* cf. *clavata* (Schlotheim). 5а — боковая сторона; 5б — брюшная сторона. Анабарская губа, обр. 8р<sub>1</sub>. Средняя юра (ааленский ярус).
- Фиг. 6. *Salpingoteuthis tubularis* (Young et Bird). 6а — боковая сторона; 6б — брюшная сторона. Анабарская губа, обр. 8ж<sub>4</sub>. Юра (верхний лейас).
- Фиг. 7. *Salpingoteuthis tubularis* (Young et Bird). 7а — боковая сторона; 7б — брюшная сторона. Анабарская губа, обр. 8ж<sub>4</sub>. Юра (верхний лейас).
- Фиг. 8. *Mesoteuthis oxysona* (Hehl in Zieten). 8а — боковая сторона; 8б — брюшная сторона. Анабарская губа, обр. 8ж<sub>9</sub>. Юра (верхний лейас).



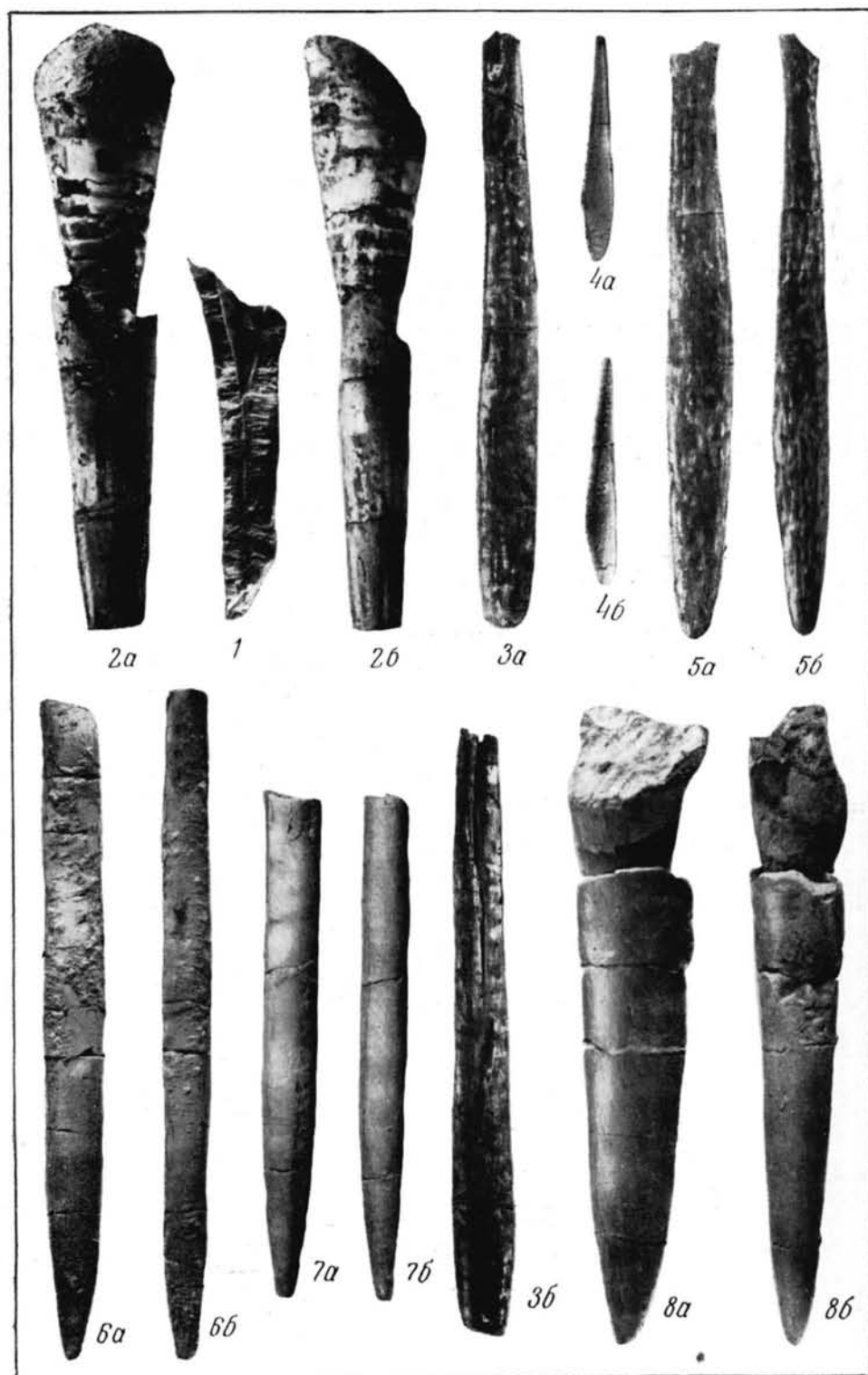
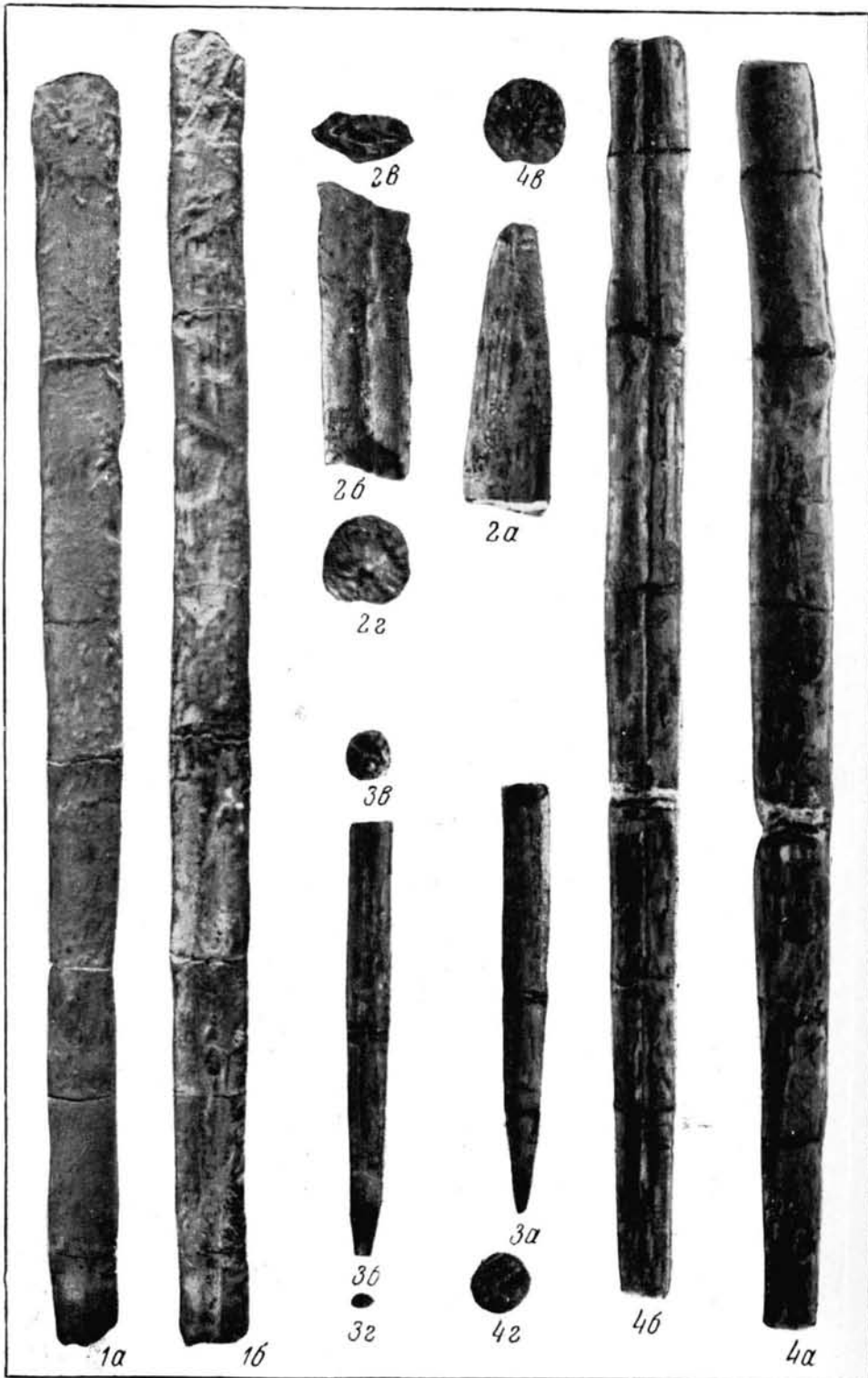


ТАБЛИЦА LXI

- Фиг. 1. *Cylindroteuthis subobeliscoides* sp. nov. 1а— боковая сторона; 1б— брюшная сторона. Полуостров Пахса, обр. 23а. Нижний мел (нижний валанжин).
- Фиг. 2. *Cylindroteuthis comes* sp. nov. Верхняя часть ростра. 2а— боковая сторона; 2б— брюшная сторона; 2в— поперечный разрез через альвеолу выше ее вершины; 2г— поперечный разрез ниже вершины альвеолы. Полуостров Пахса, обр. 26а<sub>23</sub>. Верхняя юра (верхний волжский ярус, слои с *Aucella subinflata* Pavl.).
- Фиг. 3. *Cylindroteuthis comes* sp. nov. Нижняя постальвеолярная часть ростра. 3а— боковая сторона; 3б— брюшная сторона; 3в— верхний поперечный разрез; 3г— нижний поперечный разрез. Полуостров Пахса, обр. 26а<sub>23</sub>. Верхняя юра (верхний волжский ярус, слои с *Aucella subinflata* Pavl.).
- Фиг. 4. *Cylindroteuthis comes* sp. nov. Средняя постальвеолярная часть ростра. 4а— боковая сторона; 4б— брюшная сторона; 4в— верхний поперечный разрез; 4г— поперечное сечение близ острия. Полуостров Пахса, обр. 26а<sub>23</sub>. Верхняя юра (верхний волжский ярус, слои с *Aucella subinflata* Pavl.).



## СОДЕРЖАНИЕ

	Стр.
Введение . . . . .	3
История изучения головоногих моллюсков из юрских и нижнемеловых отложений Лено-Анабарского района . . . . .	5
Краткая характеристика опорных разрезов . . . . .	12
Сопоставление схем расчленения юрских и нижнемеловых отложений Лено-Анабарского района со схемами центральной части севера Сибири и других районов . . . . .	20
<b>ОПИСАНИЕ ФАУНЫ</b>	
Тип <i>Mollusca</i> . . . . .	24
Класс <i>Cephalopoda</i> . . . . .	24
Подкласс <i>Ectocochlia</i> . . . . .	24
Надотряд <i>Ammonoidea</i> . . . . .	24
Отряд <i>Ammonitida</i> . . . . .	24
Подотряд <i>Phylloceratina</i> . . . . .	24
Надсемейство <i>Phyllocerataceae</i> . . . . .	24
Семейство <i>Phylloceratidae</i> Zittel, 1884 . . . . .	24
Подсемейство <i>Phylloceratinae</i> Zittel, 1884 . . . . .	24
Род <i>Phylloceras</i> Suess, 1865 . . . . .	24
<i>Phylloceras</i> sp. (ex gr. <i>heterophyllum</i> Sowerby) . . . . .	24
<i>Phylloceras</i> (?) <i>subatlans</i> sp. nov. . . . .	25
Подсемейство <i>Phyllopachyceratinae</i> Collignon, 1937 . . . . .	26
Род <i>Phyllopachyceras</i> Spath, 1927 . . . . .	26
<i>Phyllopachyceras praeinfundibulum</i> sp. nov. . . . .	26
<i>Phyllopachyceras lenuense</i> sp. nov. . . . .	26
Надсемейство <i>Eoderoceratidae</i> . . . . .	27
Семейство <i>Dactylioceratidae</i> Hyatt, 1867 . . . . .	27
Род <i>Dactylioceras</i> Hyatt, 1867 . . . . .	27
<i>Dactylioceras commune</i> (Sowerby) . . . . .	27
<i>Dactylioceras mucronatum</i> (d'Orbigny) . . . . .	28
<i>Dactylioceras</i> aff. <i>crassulosum</i> (Simpson) . . . . .	29
Надсемейство <i>Amaltheaceae</i> . . . . .	29
Семейство <i>Amaltheidae</i> Hyatt, 1867 . . . . .	29
Род <i>Amaltheus</i> Montfort, 1808 . . . . .	29
<i>Amaltheus margaritatus</i> var. <i>compressa</i> Quenstedt . . . . .	29
<i>Amaltheus margaritatus</i> var. <i>depressa</i> (Quenstedt) . . . . .	30
Надсемейство <i>Stephanocerataceae</i> . . . . .	30

Семейство Macrocephalitidae Buckman, 1922 . . . . .	30
Род <i>Morrisiceras</i> Buckman, 1920 . . . . .	30
<i>Morrisiceras lapinskajae</i> Voronetz . . . . .	30
<i>Morrisiceras sibiricum</i> Voronetz . . . . .	31
Род <i>Cranocephalites</i> Spath, 1932 . . . . .	32
<i>Cranocephalites vulgaris</i> Spath . . . . .	32
<i>Cranocephalites pompeckji</i> (Madsen) . . . . .	33
<i>Cranocephalites pompeckji</i> var. <i>laevis</i> Spath . . . . .	34
<i>Cranocephalites pompeckji</i> var. <i>sublaevis</i> var. nov. . . . .	35
<i>Cranocephalites furcatus</i> Spath . . . . .	36
<i>Cranocephalites gracilis</i> Spath . . . . .	37
<i>Cranocephalites gracilis</i> var. <i>dissimularis</i> var. nov. . . . .	38
<i>Cranocephalites nordvikensis</i> sp. nov. . . . .	39
<i>Cranocephalites defonticeroides</i> sp. nov. . . . .	41
Род <i>Arctocephalites</i> Spath, 1928 . . . . .	42
<i>Arctocephalites nudus</i> Spath . . . . .	42
<i>Arctocephalites</i> aff. <i>ellipticus</i> Spath . . . . .	43
<i>Arctocephalites</i> sp. indet. (aff. <i>elegans</i> Spath) . . . . .	44
<i>Arctocephalites kigilakhensis</i> sp. nov. . . . .	44
Род <i>Xenocephalites</i> Spath, 1928 . . . . .	45
<i>Xenocephalites kononovae</i> Voronetz . . . . .	45
Семейство Cardioceratidae H. Douvillé, 1890 . . . . .	46
Род <i>Arcticoceras</i> Spath, 1924 . . . . .	46
<i>Arcticoceras excentricum</i> sp. nov. . . . .	46
Род <i>Cadoceras</i> Fischer, 1882 . . . . .	47
<i>Cadoceras</i> cf. <i>elatmae</i> (Nikitin) . . . . .	47
<i>Cadoceras ognevi</i> Bodylevsky . . . . .	47
<i>Cadoceras falsum</i> sp. nov. . . . .	49
<i>Cadoceras emelianzevi</i> sp. nov. . . . .	50
<i>Cadoceras subcalyx</i> sp. nov. . . . .	51
<i>Cadoceras subtenuicostatum</i> sp. nov. . . . .	53
<i>Cadoceras subcatostoma</i> sp. nov. . . . .	54
<i>Cadoceras ventroplanum</i> sp. nov. . . . .	54
<i>Cadoceras</i> (?) <i>perrarum</i> sp. nov. . . . .	55
<i>Cadoceras milascheviči</i> var. <i>pura</i> var. nov. . . . .	56
<i>Cadoceras declinatum</i> sp. nov. . . . .	57
Род <i>Cardioceras</i> Neumayr et Uhlig, 1881 . . . . .	58
<i>Cardioceras subcordatum</i> Pavlow . . . . .	58
<i>Cardioceras pavlovi</i> sp. nov. . . . .	59
<i>Cardioceras excavatum</i> var. <i>arctica</i> Pavlow . . . . .	60
<i>Cardioceras excavatum</i> var. <i>scolica</i> Buckman . . . . .	60
<i>Cardioceras excavatum</i> var. <i>mutabilis</i> var. nov. . . . .	61
<i>Cardioceras delicatum</i> Buckman . . . . .	61
<i>Cardioceras popilaniense</i> Boden . . . . .	62
<i>Cardioceras</i> cf. <i>vertebrate</i> (Sowerby) . . . . .	63
Род <i>Amoeboceras</i> Hyatt, 1900 . . . . .	63
<i>Amoeboceras</i> cf. <i>alternans</i> (Buch) . . . . .	63
<i>Amoeboceras</i> ( <i>Amoebites</i> ) ex gr. <i>kitchini</i> Salfeld . . . . .	63
<i>Amoeboceras</i> ( <i>Euprionicer</i> ?) cf. <i>aldingeri</i> Spath . . . . .	64
Надсемейство Perisphinctaceae Wedekind, 1917 . . . . .	64
Семейство Craspeditidae Spath, 1924 . . . . .	64
Род <i>Subcraspedites</i> Spath, 1924 . . . . .	64

	Стр.
<i>Subcraspedites</i> ex gr. <i>bidevexus</i> Bogoslovsky . . . . .	64
Род <i>Tollia</i> Pavlow, 1913 . . . . .	65
<i>Tollia tolli</i> Pavlow . . . . .	65
<i>Tollia tolmatshowi</i> Pavlow . . . . .	65
<i>Tollia kordikovi</i> Bodylevsky (ex MS) . . . . .	65
<i>Tollia kordikovi</i> var. <i>subtilis</i> var. nov. . . . .	66
<i>Tollia pakhsaensis</i> sp. nov. . . . .	66
<i>Tollia emelianzevi</i> sp. nov. . . . .	67
<i>Tollia profundoumbilicata</i> sp. nov. . . . .	69
<i>Tollia</i> ( <i>Polyptychites</i> ?) <i>mira</i> sp. nov. . . . .	69
<i>Tollia</i> sp. indet. . . . .	70
Род <i>Taimyroceras</i> Bodylevsky, 1956 . . . . .	71
<i>Taimyroceras</i> (?) <i>bodylevskiyi</i> sp. nov. . . . .	71
Род <i>Temnoptychites</i> Pavlow, 1913 . . . . .	72
<i>Temnoptychites prontschischevi</i> sp. nov. . . . .	72
<i>Temnoptychites grandiosus</i> sp. nov. . . . .	73
Семейство Polyptychitidae Spath, 1924 . . . . .	74
Род <i>Polyptychites</i> Pavlow, 1892 . . . . .	74
<i>Polyptychites</i> sp. nov. indet. . . . .	74
<i>Polyptychites</i> (?) <i>subovatus</i> sp. nov. . . . .	75
<i>Polyptychites</i> cf. <i>rinnei</i> Koenen . . . . .	75
<i>Polyptychites conferticosta</i> Pavlow . . . . .	76
<i>Polyptychites</i> cf. <i>undulatocostatus</i> Donovan . . . . .	76
<i>Polyptychites undulatocostatus</i> var. <i>multitudinis</i> var. nov. . . . .	77
Род <i>Virgatoptychites</i> Voronetz, 1958 . . . . .	77
<i>Virgatoptychites</i> (?) <i>pakhsaensis</i> Voronetz . . . . .	77
Род <i>Euryptychites</i> Pavlow, 1913 . . . . .	78
<i>Euryptychites pavlovi</i> sp. nov. . . . .	78
<i>Euryptychites</i> sp. nov. indet. . . . .	80
<i>Euryptychites pateraeformis</i> sp. nov. . . . .	81
Род <i>Astieriptychites</i> Bodylevsky emend. Voronetz, 1958 . . . . .	82
<i>Polyptychites astieriptychus</i> Bodylevsky, 1960= . . . . .	82
= <i>Astieriptychites astieriptychus</i> Bodylevsky, 1960 . . . . .	82
<i>Astieriptychites astieriformis</i> Voronetz . . . . .	83
Род <i>Neocraspedites</i> Spath, 1924 . . . . .	83
<i>Neocraspedites politus</i> sp. nov. . . . .	83
Подкласс Endocochlia . . . . .	84
Отряд Decapoda . . . . .	84
Подотряд Belemnioidea . . . . .	84
Семейство Belemnitidae d'Orbigny, 1845 . . . . .	84
Подсемейство Passaloteuthinae Naef, 1922 . . . . .	84
Род <i>Nannobelus</i> Pavlow, 1913 . . . . .	84
<i>Nannobelus pavlovi</i> Krimholz . . . . .	84
<i>Nannobelus</i> aff. <i>janus</i> (Dumortier) . . . . .	85
<i>Nannobelus parvus</i> sp. nov. . . . .	85
<i>Nannobelus campus</i> sp. nov. . . . .	86
<i>Nannobelus difcilis</i> sp. nov. . . . .	86
Род <i>Coeloteuthis</i> Lissajous, 1915 . . . . .	87
<i>Coeloteuthis arctica</i> sp. nov. . . . .	87

	Стр.
Род <i>Dactylotheuthis</i> Bayle, 1878 . . . . .	88
<i>Dactylotheuthis</i> aff. <i>hebetata</i> Ernst . . . . .	88
<i>Dactylotheuthis dolosa</i> sp. nov. . . . .	89
<i>Dactylotheuthis</i> aff. <i>dolosa</i> sp. nov. . . . .	90
Род <i>Salpingoteuthis</i> Lissajous, 1915 . . . . .	90
<i>Salpingoteuthis tubularis</i> (Young et Bird) . . . . .	90
Род <i>Passaloteuthis</i> Lissajous, 1915 . . . . .	91
<i>Passaloteuthis tolli</i> (Pavlov) . . . . .	91
<i>Passaloteuthis inaudita</i> sp. nov. . . . .	93
<i>Passaloteuthis subinaudita</i> sp. nov. . . . .	93
Род <i>Hastites</i> Mayer-Eymar, 1833 . . . . .	94
<i>Hastites</i> aff. <i>toarcensis</i> (Oppel) . . . . .	94
Род <i>Mesoteuthis</i> Lissajous, 1915 . . . . .	95
<i>Mesoteuthis oxycona</i> (Hehl in Zieten) . . . . .	95
<i>Mesoteuthis aequalis</i> sp. nov. . . . .	96
<i>Mesoteuthis laptinskajae</i> sp. nov. . . . .	97
<i>Mesoteuthis conoidea</i> (Oppel) . . . . .	97
<i>Mesoteuthis</i> aff. <i>conoidea</i> (Oppel) . . . . .	98
<i>Mesoteuthis subconoidea</i> sp. nov. . . . .	99
<i>Mesoteuthis janenschi</i> (Ernst) . . . . .	100
<i>Mesoteuthis subrostriiformis</i> sp. nov. . . . .	100
Род <i>Megateuthis</i> Bayle, 1878, emend. Lissajous, 1915 . . . . .	101
<i>Megateuthis gigantoides</i> (Pavlov) . . . . .	101
Подсемейство Belemnopsinae Naef, 1922 (=Hastatidae Stolley, 1919)	102
Род <i>Hibolites</i> Montfort, 1808, emend. Stolley, 1911 . . . . .	102
<i>Hibolites</i> (?) sp. indet. . . . .	102
Подсемейство <i>Cylindroteuthinae</i> Naef, 1922 . . . . .	103
Род <i>Cylindroteuthis</i> Bayle, 1878 . . . . .	103
<i>Cylindroteuthis subobeliscoides</i> sp. nov. . . . .	103
<i>Cylindroteuthis comes</i> sp. nov. . . . .	103
Литература . . . . .	105
Таблицы и объяснения к ним . . . . .	111

#### ИСПРАВЛЕНИЕ

В схеме сопоставления юрских и нижнемеловых отложений (графа «Центральная часть Северной Сибири, 1961») указанный для нижнего валанжина вид *Cylindroteuthis comes* sp. nov. относится к верхнему волжскому ярусу.

---

Зак. 603/81



*Н. С. ВОРОНЕЦ*  
СТРАТИГРАФИЯ И ГОЛОВОНОГИЕ МОЛЛЮСКИ  
ЮРСКИХ И НИЖНЕМЕЛОВЫХ ОТЛОЖЕНИЙ  
ЛЕНО-АНАБАРСКОГО РАЙОНА

Редактор издательства *П. Л. Абкевич*

Технический редактор *С. А. Пенькова*

Корректор *К. С. Бржеская*

---

Сдано в набор 22/1 1962 г. Подписано к печати 28/V 1962 г.  
Формат бумаги 70×108<sup>1</sup>/<sub>16</sub>. Печ. л. 20,5+2 кл.=1,5 печ. л. Бум. л. 9,0. Уч.-изд. л. 18,25  
Т 04894 Тираж 700 экз. Зак. 81 Цена 1 р. 28 к.

---

Картфабрика Госгеолтехиздата  
Ленинград, В-26, 19 линия, дом 20

# С Х Е М А

## СОПОСТАВЛЕНИЯ ЮРСКИХ И НИЖНЕМЕЛОВЫХ ОТЛОЖЕНИЙ СЕВЕРНЫХ РАЙОНОВ ЦЕНТРАЛЬНОЙ ЧАСТИ СИБИРИ И ДРУГИХ СТРАН

С О В Е Т С К И Й С О Ю З										С Е В Е Р О - З А П А Д Н А Я Е В Р О П А И А М Е Р И К А									
С И С Т Е М Ы		О Т Д Е Л		Я Р У С Ы		П О Т Е Р Я Н Н Ы Е		М Е Л О В Ы		Я Р У С Ы		О Т Д Е Л Ы		С И С Т Е М Ы					
С И С Т Е М Ы		О Т Д Е Л		Я Р У С Ы		П О Т Е Р Я Н Н Ы Е		М Е Л О В Ы		Я Р У С Ы		О Т Д Е Л Ы		С И С Т Е М Ы					
С И С Т Е М Ы		О Т Д Е Л		Я Р У С Ы		П О Т Е Р Я Н Н Ы Е		М Е Л О В Ы		Я Р У С Ы		О Т Д Е Л Ы		С И С Т Е М Ы					
<p>Усть-Енисейский район (по В.И. Богданичеву и В.Н. Сахсу, 1957г.)</p> <p>Анабар-Затаненский район (по В.И. Богданичеву, 1959г.)</p> <p>Анабар Урюмь-Тумус и край Промчицеба (по Н.С. Воронеч, 1955г.)</p> <p>Лено-Оленекский район (по Н.С. Воронеч, 1952г.)</p> <p>Центральная часть Северной Сибири (по Н.С. Воронеч, 1961г.)</p> <p>Север Сибири (фауна приведена не полностью, 1959г.)</p> <p>Русская платформа (1955г.)</p>					<p>Восточная Гренландия (по Л.С. Слэту, 1935, 1936, 1952гг.)</p> <p>Аляска и район острова Кука (по Р. Умлею, 1953, 1955гг.)</p> <p>Северо-Западная Европа (зоны по В. Аркеллу, 1936г.)</p>					<p>Ярубы</p> <p>Потерянные</p> <p>Валланжинский</p> <p>Меловые</p>		<p>Ярубы</p> <p>Потерянные</p> <p>Валланжинский</p> <p>Меловые</p>							
<p><i>Sibirskites</i></p> <p><i>Polyptychites cf. stubendorfii</i></p> <p><i>Temnoptychites cf. syzranicus</i></p> <p><i>Tollia</i></p> <p><i>Subcraspedites</i></p> <p><i>Taimyroceras</i></p> <p><i>Craspedites okensis</i></p> <p><i>Laugeites</i> (?)</p> <p><i>Subplanites</i>, <i>Dorsoplanites</i></p> <p><i>Amoeboceras decipiens</i>, <i>Amoeboceras sokolovi</i>, <i>Amoeboceras cf. kochi</i>, <i>Amoeboceras kitchini</i>, <i>Plectonca</i></p> <p><i>Amoeboceras alternans</i></p> <p><i>Amoeboceras cf. alternoides</i></p> <p><i>Cardioceras jacuticum</i></p> <p><i>Cadoceras cf. nikitini</i>, <i>Quenstedticeras</i></p> <p><i>Arcticoceras</i> (?)</p> <p><i>Arctoccephalites</i></p> <p><i>Meleagrinea decussata</i></p> <p><i>Tancredia subtilis</i></p> <p><i>Arctotus lenaensis</i></p> <p><i>Mytiloides aff. amygdaloides</i></p> <p><i>Pseudomonotis substriata</i></p> <p><i>Harpax laevigatus</i>, <i>Pecten cf. subulatus</i>, <i>Meleagrinea cf. delata</i></p>					<p><i>Neocraspedites</i>, <i>Bachianites demissus</i></p> <p><i>Polyptychites sp.</i> (cf. <i>tschenkanoi</i>)</p> <p><i>Neocraspedites</i>, <i>Polyptychites</i></p> <p><i>Dichotomites</i></p> <p><i>Polyptychites michalskii</i>, <i>Euriplychites sp.</i></p> <p><i>Temnoptychites granitschischevianus</i>, <i>Temnoptychites syzranicus</i>, <i>Temnoptychites sp.</i></p> <p><i>Tollia tolli</i>, <i>Tollia tolmatschowi</i>, <i>Phylloceras sp.</i></p> <p><i>Paracraspedites suprasubditus</i>, <i>Paracraspedites (?) rossica</i>, <i>Subcraspedites ex gr. biderusovi</i>, <i>Taimyroceras (?) bogdanovi</i>, <i>Cylindroteuthis comes sp. nov.</i>, <i>Perisphinctes sp.</i></p> <p><i>Aucella subinflata</i>, <i>Pachyteuthis russensis</i>, <i>Craspedites okensis</i></p> <p><i>Laugeites</i> (?)</p> <p><i>Dorsoplanites</i>, <i>Subplanites</i>, <i>Cylindroteuthis magnifica</i></p> <p><i>Amoeboceras sokolovi</i>, <i>Amoeboceras kitchini</i>, <i>Plectonca</i>, <i>Rasenia</i></p> <p><i>Amoeboceras alternans</i></p> <p><i>Amoeboceras alternoides</i></p> <p><i>Cardioceras cordatum</i>, <i>Cardioceras jacuticum</i>, <i>Cardioceras excavatum</i>, <i>Cardioceras tolli</i>, <i>Pachyteuthis pandericana</i></p> <p><i>Cadoceras cf. nikitini</i>, <i>Quenstedticeras sp.</i>, <i>Quenstedticeras novosemelicum</i>, <i>Cadoceras nikitini</i></p> <p><i>Cadoceras declinatum</i>, <i>Cadoceras nicholaevi</i></p> <p><i>Cadoceras elatmae</i>, <i>Cadoceras subcalyx</i>, <i>Arcticoceras sp.</i>, <i>Cylindroteuthis subatensa</i></p> <p><i>Arctoccephalites</i>, <i>Arctotus lenaensis</i>, <i>Arctoccephalites</i></p> <p><i>Meleagrinea decussata</i>, <i>Harpax sp.</i>, <i>Inoceramus ex gr. retrorsus</i></p> <p><i>Ludwigia concava</i>, <i>Arctotus lahuseni</i></p> <p><i>Pseudoloceras beyrichi</i></p> <p><i>Dactylioceras aff. annulatum</i>, <i>Mannabellus subulatus</i>, <i>Hastites exilis</i>, <i>Mannabellus</i>, <i>Pasatoteuthis (?) arctica</i></p> <p><i>Pasatoteuthis tolli</i></p> <p><i>Amaltheus margaritatus</i></p> <p><i>Meleagrinea usabetae</i>, <i>Panopaea emilianovi</i></p>					<p>Пурбекский</p> <p>Ландский</p> <p>Кимериджский</p> <p>Оксфордский</p> <p>Келловейский</p> <p>Батский</p> <p>Байосский</p> <p>Тоарский</p> <p>Плинбахский</p>		<p>Пурбекский</p> <p>Ландский</p> <p>Кимериджский</p> <p>Оксфордский</p> <p>Келловейский</p> <p>Батский</p> <p>Байосский</p> <p>Тоарский</p> <p>Плинбахский</p>							

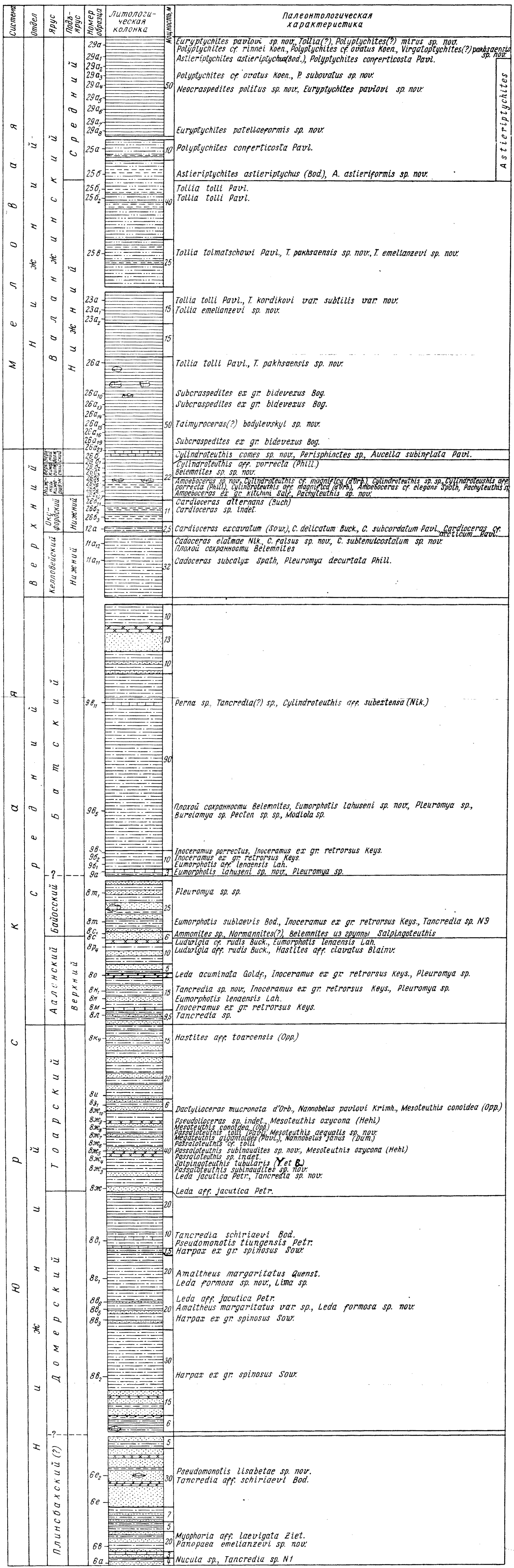


Рис. 3. Стратиграфический разрез морских юрских и меловых отложений левого берега Анабарской губы и восточного берега полуострова Юрских в меловых отложениях. Составил Т. М. Емельянев.

1 — песчаник; 2 — алевролит; 3 — алевроит; 4 — аргиллит; 5 — глины; 6 — известняк; 7 — известковый песчаник